

ДЛЯ СЛУЖЕБНОГО ПОЛЬЗОВАНИЯ

КАНАЛ  
МОСКВА  
ВОДЫ  
МОСТЫ  
ДОРОГИ

1951 - 1952

Издательство Академии Наук СССР





196-10

Пролетарии всех стран, соединяйтесь!



# СХЕМА КАНАЛА **МОСКВА-ВОЛГА**

Схема каналов

— Сеть водоснабжения

— Дренаж

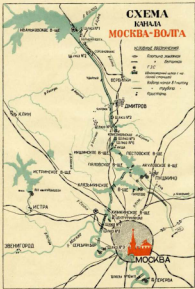
■ ПКС

— Магистральный канал с водоподъемной станцией

— Вспомогательный канал с водоподъемной станцией

— Трубопровод

— Каналы



МКИД СССР  
ДОРОГО ТЕХНИЧЕСКОГО ОФИЦЕТА О СТРОИТЕЛЬСТВЕ КАНАЛА  
МОСКВА—ВОЛГА

Для служебного  
использования  
№ 515

КАНАЛ  
МОСКВА—ВОЛГА  
МОСТЫ и ДОРОГИ

1952—1957 гг.

ГОСУДАРСТВЕННОЕ ИЗДАТЕЛЬСТВО СТРОИТЕЛЬНОЙ ЛИТЕРАТУРЫ  
МОСКВА 1941. ЛЕНИНГРАД

## Редактор проф. Е. Е. Гебшман

В настоящем выпуске телевизионного отчета о строительстве канала Москва—Балтия приведены основные технические работы по сооружению дамбы и земляной грунтовой плотины. Вспомогательные работы, связанные с укладкой асфальтобетонных покрытий на земляной грунт и прокладкой магистральных коммуникаций, не изложены в настоящем выпуске. Выпуск рассчитан на инженеров и техников промышленности и строительства.

В составление настоящего выпуска телевизионного отчета в строгом смысле канала Москва—Балтия привлечены инженеры А. А. БЕЛОГОЛОВЫЙ, В. В. КИРЕЕВ и А. И. ПЕТРОВ.

Редактирование проведено режиссерской комиссией в составе главного режиссера драмквартиры С. Н. БОРК, нач. главного режиссора и сцен. гл. М. ГРИШИНА и членов: И. Н. БОЛТОВА, В. Д. ЖУРНА, А. Н. БАУЧКОВЫХ, В. А. СЕМЕНИКОВА и А. О. ВИЛЬДСКОГО.

Ответственный за выпуск кин. В. В. КИРЕЕВ.

## ОГЛАВЛЕНИЕ

Стр.

<b>Раздел I. Основные сооружения и сооружения на новых и дорогах</b>	
<b>Глава I. Переустройство шоссейных дорог</b>	7
1. Переустройство Симбирской линии Краснолинейной маг. . . . .	—
2. Переустройство Островской м. д. . . . .	16
3. Переустройство Казанской (Б. ММД) м. д. . . . .	14
<b>Глава II. Переустройство капитальных и местечковых дорог</b>	17
1. Переустройство Димитровского шоссе . . . . .	—
2. Переустройство Балашовского шоссе . . . . .	29
3. Переустройство Ленинградского шоссе . . . . .	29
<b>Глава III. Переустройство местечковых дорог местного значения</b>	29
1. Переустройство Хуриевского шоссе . . . . .	—
2. Переустройство Марийского шоссе . . . . .	34
3. Местечко деревни Бородиново села . . . . .	—
4. Переустройство села Рогачево шоссе в Димитрове . . . . .	34
5. Постройка новых дорог, связанных с местечковой сетью . . . . .	—
6. Парковые постройки . . . . .	35
<b>Глава IV. Проектирование переустройства дорог в первоначальной планировке</b>	35
1. Технические решения и выбор вариантов . . . . .	—
2. Основные принципы и технические условия проектирования . . . . .	38
3. Объемы и виды работ и сроки их выполнения . . . . .	40
 <b>Раздел II. металлические мосты</b>	
<b>Глава I. Железнодорожный мост Самарской линии близ села Б. д. .</b>	43
1. Характеристика моста пересечения . . . . .	—
2. Основные мости . . . . .	47
3. Результаты испытаний . . . . .	49
<b>Глава II. Мост на Ленинградском шоссе через Халиловский водопропускник</b>	53
1. Характеристика моста пересечения . . . . .	—
2. Основные мости . . . . .	51
3. Результаты испытаний . . . . .	53
 <b>Раздел III. мостообразующие конструкции</b>	
<b>A. Халиловский железнодорожный мост</b>	
<b>Глава I. Обзор вопросов проектирования и строительства . . . . .</b>	59
1. Характеристика моста пересечения . . . . .	—
2. Угловые-консольные мости в областном пути . . . . .	59
3. Число пролетов мосту . . . . .	60
4. Устройство оснований и опор . . . . .	62
<b>Глава II. Выбор типа моста . . . . .</b>	63
1. Варианты из-за линейного балочного моста . . . . .	—
2. Варианты металлического пролетного моста . . . . .	68
3. Варианты металлического арочного моста . . . . .	72
4. Сравнение вариантов и выбор типа моста . . . . .	73

<b>Глава III. Конструирование моста</b>	68
1. Типоразмеры арок и опор	—
2. Ширина чистой	73
3. Плановая и стальная	78
4. Опоры моста	78
<b>Глава IV. Расчет временного строения</b>	82
1. Технические условия проектирования	—
2. Продолжительность	82
3. Периодичность баланса	89
4. Ариф	—
5. Сроки между временем	91
6. Повинение	92
<b>Глава V. Физико-химия работы во временных мостах</b>	—
1. Строительная площадка	—
2. Последовательность и объемы основных работ	94
<b>Глава VI. Работы по восстановлению опорной и опирющей части</b>	95
1. Открытие вентиляции	—
2. Утверждение опорных колонн	95
3. Опорные колонны за временной отметкой	99
4. Заделка свай основной	101
5. Испытание грунта и свай приложением нагрузки	102
6. Работы по облицовыванию опор	103
<b>Глава VII. Работы во временных промежуточных строениях</b>	107
1. Направления и кружки	—
2. Способ облицовывания и опалубка арок	109
3. Ветровозражение промежуточной части и колонн	118
4. Испытания, приемка подпор систем бетонов; контроль испытаний	120
5. Арматура	122
6. Угловые деформации бетонной колонны	126
<b>Глава VIII. Вход в работу отдельных частей разрушенной и нового моста в целях</b>	126
1. Реконструкция арок	—
2. Реконструкция промежуточной части	126
3. Испытание моста промежуточной нагрузкой	131
4. Наблюдение во время эксплуатации моста	134
<b>Б. Железнодорожный мост Калининской ж. д.</b>	
через реку Ж. Б	
<b>Глава I. Общие вопросы проектирования и инженерии</b>	136
1. Характеристика моста перегонной	—
2. Выбор типа моста	136
<b>Глава II. Конструирование моста</b>	139
1. Промежуточные строения	—
2. Опоры моста	145
<b>Глава III. Данные по расчету временного строения</b>	147
1. Технические условия проектирования	—
2. Баланс надводного спрямления	148
3. Срок	—
<b>Глава IV. Строительство моста</b>	149
<b>Глава V. Реконструкция и восстановление моста</b>	153
<b>В. Хороминский городской мост</b>	
<b>Глава I. Общие вопросы проектирования и инженерии</b>	157
1. Характеристика моста перегонной	—
2. Выбор типа моста	158

<b>Глава II. Конструкция моста</b>	104
1. Главные пролетные строения	—
2. Боргосные пролетные строения	106
3. Отпорные части	120
4. Опоры моста	124
<b>Глава III. Данные по расчету пролетных строений</b>	125
<b>Глава IV. Строительство моста</b>	179
<b>Глава V. Расчуждование и конструирование</b>	181
1. Расчуждование	—
2. Конструирование временной нагрузкой	183
<b>Г. Железнодорожный пешеходный мост</b>	
<b>Глава I. Общие сведения о мосте</b>	184
<b>Глава II. Основные расчетные данные</b>	188
<b>Глава III. Результаты вычисления конца</b>	190
<b>Раздел IV. Трунки</b>	
<b>Глава I. Трунки под первым Волжским мостом</b>	192
1. Общее описание и основные размеры сооружения	—
2. Конструирование, расчеты и материалы	194
<b>Глава II. Трунки под Высоководским мостом</b>	197
1. Общее описание и основные размеры сооружения	—
2. Гидрологические данные и устройство основания	201
3. Конструирование и расчет трунков	—
4. Изготовление трунков, отливка бетона, монтирование и выравнивание	203
5. Нагружение из сооружения	207
<b>Раздел V. Изменение строительства Южного моста в Бакинской губе и спортивной Большой лестнице</b>	216

В связи с сооружением большого количества новых железнодорожных линий, вторых путей и автомагистралей, мостостроение в Советском Союзе пришло значительные размеры.

При строительстве одного из величайших сооружений II Стalinской пятилетки — канала Москва—Волга — построено 2 тутеска, 18 пролетных и 8 железнодорожных мостов, из них 8 мостов с пролетами свыше 100 м.

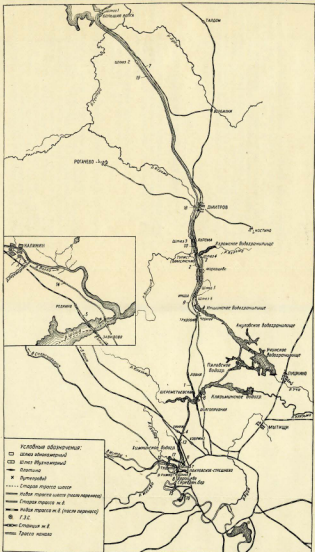
В этот период строительство шестистенных мостов больших пролетов на канале Москва—Волга было самым крутным, что же касается железнодорожных мостов, то в числе их два являются первыми крупнейшими железнодорожными мостами в Советском Союзе.

С точки зрения мостостроения наибольший интерес представляют нововведения при строительстве камня железобетонные мости больших пролетов различных систем, впервые в таком большом количестве осуществленные в Советском Союзе.

Так как цель настоящего издания прежде всего отчетная, то здесь приводится краткое описание всех сооружений, а подробно описаны лишь наиболее интересные мосты, по которым приводятся данные о конструкции, расчете и производстве работ.

Редакционная коллегия полагает, что настоящий выпуск Отчета, содержащий наложение опыта Строительства канала Москва—Волга по проектированию и постройке крупных мостов и дорог, представляет большой интерес для конструкторов и строителей мостовых и дорожных сооружений.

РЕДАКЦИОННАЯ КОЛЛЕГИЯ



Фиг. 51. Схема плана с показанными перевозами дорог:

1—переустройство Савакинской линии Краснодар ж. д. на участке Долгоруково—Широкополье с мостами через реки и Каналы; 2—переустройство Савакинской линии на участке Николаевка—Наро-Фоминск с мостом через р. Нару; 3—переустройство Савакинской линии на участке Хоркино—Канки с мостом через Канкинскую водопропускную линию; 4—переустройство Октябрьской ж. д. на участке Хоркино—Канки с мостом через р. Шону; 5—переустройство Калининской ж. д. на участке Покровское—Стрелково—Тулакино с мостом через реку Малую Реку и кутлером на Волынковском мосту; 6—переустройство пяти Синявинской линии на участке Верблаково—Белка с мостом через р. Сестру; 7—переустройство Дмитровского шоссе у ст. Григорьевка с мостом через Кизильниковскую водопропускную линию; 8—переустройство Дмитровского шоссе на участке между селениями Черкас и Миргород (ту ст. Ижни) с путепроводом через Савакинскую линию у ст. Григорьевка; 9—переустройство Дмитровского шоссе на участке между селениями Громы и Балаки с мостом через реку Канку у ст. Астрахань; 10—переустройство Бахчисарайского шоссе с мостами через реки Канки и Канкальян и мостом через р. Канку; 11—переустройство Бахчисарайского шоссе у села Канки с мостом через Канкинскую водопропускную линию Судакской ГЭС; 12—переустройство Бахчисарайского шоссе у села Канки с мостом через Канкинскую водопропускную линию; 13—переустройство Ленинградского шоссе на перегоне Канка—Канки с мостами через Перегородчинский ручей и р. Шенги; 14—переустройство Хоркинского шоссе с мостом через притоки реки Малыгина; 15—переустройство Малыгинского шоссе с мостом через реку № 9; 16—мосты через деревенский канал Судакской ГЭС; 17—переустройство Бахчисарайского шоссе у села Канки с мостом через Канкинскую водопропускную линию; 18—переустройство Бахчисарайского шоссе у села Канки с мостом через реку № 8.

# I. ОБЩИЙ ОБЗОР СООРУЖЕННЫХ И ПЕРЕУСТРОЕННЫХ МОСТОВ И ДОРОГ

Трасса канала Москва—Шалта (фиг. 1) на своем протяжении многократно пересекает ряд магистральных железнодорожных и автомобильных дорог, а также дорог районного и местного значения. Все пересечения канала с автомобильными дорогами решены в разных уровнях посредством устройства мостов. Пересечения канала с магистральными автомобильными дорогами решены также в разных уровнях, но дважды: в одних случаях с помощью мостов, в других — устройством туннелей под каналом. Дороги районного и местного значения в большинстве случаев пересекаются в одном уровне с помощью паровых переправ (фиг. 1).

## ГЛАВА I

### ПЕРЕУСТРОЙСТВО ЖЕЛЕЗНЫХ ДОРОГ

В связи с сооружением канала Москва—Шалта произведена постройка ряда новых автомобильных мостов и переустройство отдельных автомобильных или подъездных участков на трех автомобильных магистралях:

- 1) на Саваловской линии Ярославской ж. д.;
- 2) на главной линии Октябрьской ж. д.;
- 3) на Калининской ж. д.

#### 1. ПЕРЕУСТРОЙСТВО САВАЛОВСКОЙ ЛИНИИ ЯРОСЛАВСКОЙ Ж. Д.

На Саваловской линии переустроены три участка.

Первый из них, считая от Москвы, является участком между остановочными пунктами Долгопрудная и Шереметьевская. Этот участок ж. д. пересекается каналом между Химкинским и Клязьминским водозащитными сооружениями. Для обеспечения заданных подъездовых габаритов потребовалось поднять автомобильное полотно в месте пересечения на 12 м. Столь значительное повышение уровня пути, да еще в пределах станций (трасса канала пересеклась со старой трассой железной дороги в пределах ст. Хлебниково), было невозможно без коренного переустройства всего участка, которое потребовало выполнения следующих работ:

- 1) устройство нового двухпутного автомобильного полотна (одно — по ходу движения — от существующего) с укладкой первого строения;
- 2) постройки двухпутного моста через канал;
- 3) сооружение двухпутного моста через р. Клязьму на перегоне Долгопрудная — Хлебниково;
- 4) дополнительной укладки путей на ст. Лобня, куда переносились все機關ации, производившиеся ранее на ст. Хлебниково;

5) постройки на 192-м км моста, ближе к ст. Лобня, платформы Новое Хлебниково;

6) устройства прямых связи путь кирпичного завода к ст. Лобня (правое кольцо прямосалка к ст. Хлебниково);

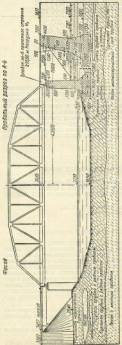
7) постройки трех новых искусственных сооружений.

Заводное здание возводено на берегустриманском участке нормального поперечного профиля сооружено на местных грунтах. Наименьший радиус закругления принят равным 600 м, наибольший угол — 9,2°...

После из якорем отвода сооружено двухпутного железнодорожного полотна 4,9 км, а однопутного — 8,5 км, из которых 4,6 км приходится на путь к кирпичному заводу. Балласт для верхнего строения прямосалка зернистый; рельсы — типа №6.

Мост через канал (фиг. 2 и 3) — однопролетный, под два пути; пролетные строения — типовые металлические однопутные, с щелдой внизу; расчетный пролет — 87,6 м; нагрузка — во схеме Н.

Устои моста — раздельного типа, массивные, из бетонной кладки без облицовки. Береговой пролет перекрыт отдельными подкладами путь типовыми железобетонными строениями, расчетный пролет которых — 15 м. Фундаменты устроены в береговых бывших валиконах и открытых колодцах, непосредственно на грунте. В основании опор заложены золотые суглинки.



Фиг. 2. Фрагмент продольной разреза моста через канал на Сапожковской линии Красногорской железной дороги.

Конусы отсыпаны из песчаного грунта и имеют в верхней части высоту 6,0 м и уклон 1 : 1, а в нижней — 1 : 1,25.

У двухпутного моста через р. Клязьму речной пролет перекрыт тяжелыми металлическими промежуточными строениями, стальные под каждый путь, с «одной» консолью; расчетный пролет их — 46,0 м (для одного пути исполнено промежуточное строение, скатое с ранее существовавшего моста через р. Клязьму). Береговые пролеты перекрыты такими же типовыми железобетонными балочными промежуточными строениями, как и мосту через канал.

Опоры Клязьминского моста того же типа, что и у моста через канал, причем фундаменты опор московского были в Дмитровском обычного устого типа.



Фиг. 3. Вид головного моста у с. Клязьмово.

В связи с колебанием во времени отсыпки головной части насыпи московского подхода вытеснением грунта в основание вокруг московского конуса отсыпан специальный почвенный бантон шириной примерно 10,0 м с пологими откосами. Бантон и конусы укреплены килем.

Основная часть бетонных работ на обеих мостах были выполнены в летнее время; бетон приготавливается в бетонопечальных, установленных непосредственно на понтонных мостах.

Металлические промежуточные строения обоих мостов были собраны и склонены на поддонах, в пролете.

Перестановка старого промежуточного строения на новые опоры моста через р. Клязьму осуществляется путем гидравлической передвижки по специальному устроенному подиуму.

Вторым переустроенным участком Симоновской линии является перегон между станциями Иван и Турист. Старая трасса железной дороги пересекалась здесь с каналом в четырех местах, и потому пришлось вывести железнодорожный путь почти всего перегона Иван—Турист на новую трассу, которая проходит западнее ранее существовавшего железнодорожного путька и проходит по восторгу: частые и высокие, частые (во все пересечении р. Иван) и высокие. В связи уменьшением объема работ новая трасса дороги проведена в извилистое близкое расположение от канала. На переустроенном участке произведены следующие работы:

1) постройка двухпутного земляного полотна на протяжении 3,7 км с уклоном первого строения;

2) постройка трех малых искусственных сооружений;

3) постройка моста через р. Ивану.

Земляное полотно возведено из местных грунтов и имеет

нормальный поперечный профиль. Минимальный радиус закругления принят равным 600 м, максимальный уклон  $3,2\%$ .

Паркетное полотно уложено на песчаном балласте, рельсы — типа Ра.

Мост через р. Ишку — однопролетный с металлическими пролетными строениями в виде балок со сплошными стенками. Устои моста — массивные бетонные; фундаменты устоев заложены в открытых котлованах; на деревянных сваях. Отверстие моста — 17,2 м.

Третьим переустроенным участком является перегон между станцией Турист и Яхрома. Этот перегон пришлось переустроить потому, что он пересекался каналом. Здесь произведены следующие работы:

1) постройка на протяжении 2,8 км нового двухпутного земляного полотна с укладкой первого строящегося пути;

2) постройка моста через канал;

3) возведение четырех малых искусственных сооружений;

4) устройство путевых зданий и перекладки.

Проложение по новой трассе на протяжении 2,8 км двухпутного земляного полотно значительно приводит по времени со старым полотном, что вызвано необходимостью обеспечить под мостом требуемый судоходный габарит.

Чрезвычайно неблагоприятные топографические условия заставили применить на подъезде со стороны Дмитрова на одном пути радиус закругления в 600 м. Минимальный же радиус закругления на отводе 600 м, а максимальный уклон —  $9\%$ .

Земляное полотно имеет нормальный поперечный профиль. Балласт для верхнего строения песчаный; рельсы — типа Ша.

Малые искусственные сооружения на переустроенных участках выполнены из железобетона.

Мост через канал (близ цехов № 4) 11-пролетный. Средний проект перекрывает типовыми металлическими пролетными строениями, одеваемыми под кирпичный путь, с сайдой поверху; их расчетный пролет — 166,4 м. Верховые пролеты (по пять с каждой стороны) представляют собой подкосочные балочные вставки с типовыми различными балочными железобетонными пролетными строениями. Переходение каналы осуществлено в плане под углом  $64^\circ$ . Подробное описание моста приведено ниже в разделе «Металлические мосты».

Кроме перечисленных объектов Строительство начало в порядке реконструкции Симбирской линии построен за участке от ст. Хлебников до ст. Дмитров (около 45 км) в горной штуль со всеми искусственными сооружениями, стационарными устройствами и путевыми зданиями.

## В. ПЕРЕУСТРОЙСТВО ОКТИЯБРЬСКОЙ ж. д.

Линия Москва — Ленинград Октябрьской ж. д. переустроена и связана с сооружением канала на двух участках — на перегонах между станцией Козлово и Химки и станцией Завидово и Редкино.

На перегоне Химкино — Химки в южном направлении дорога пересекает канал Москва — Волга близ ст. Химки и месте, где канал образует Химкинское водохранилище. Канал проходит здесь по долине р. Химки, прокусившейся ранее под железодорожной насыпью в каменной трубе отверстием 4,26 м. Насыпь в месте пересечения железной дорогой долины р. Химки имеет высоту до 17,0 м. Для обеспечения необходимого подмостового габарита железодорожные полотно потребовалось поднять еще на 3,8 м. Полы железодорожной линии при переустройстве не изменились; лишь вымытого сдвинут московский путь для обходления подклупутый в 4,10 м.

Земляное полотно отсыпано в зоне затопления под четыре пути; на оставшем протяжении — под два пути. Поперечный профиль из-

для имеет нормальное сечение. Однако в нижней ее части ширину наименее для придания ей устойчивости значительно увеличивают путем присыпки балластом шириной поверху 8 м. с пологими откосами (фиг. 4). Балласт для верхнего строения приводят шебеночный, слоем 0,25 м на песчаной подушке 0,2 м. Рельсы — типа Ia.

В месте пересечения железнодорожного полотна с каналом построен железобетонный арочный мост расчетным пролетом 115,0 м с одним пролетным строением под четыре пути (подробно об этом сказано при описание моста).

В период производства работ по переустройству железнодорожного пути и постройке моста через канал движение осуществлялось по стационарному устремленному краевому двухпутному обходу (частично разложенному на эстакаде). Описание моста и производства работ по его постройке приведено ниже в разделе «Железобетонные мосты».

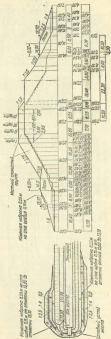
Основными работами по переустройству верхнего Ховрино — Лихий каналов:

1) понижение отметки земляного полотна на протяжении 4,5 км и укладка на этом протяжении верхнего строения;

2) отсыпка балластом обеим сторонам наимен в зоне захвата с устройством каменного крепления;

3) постройка моста через канал под четыре пути;

4) постройка железобетонного путепровода (измен разобранный) в месте пересечения железнодорожных путей с автотрассой дорогой;



Фиг. 3. План земляного полотна и разрез моста на Канале и канале в Ховрино — Лихий.

б) переустройство ст. Кимен;

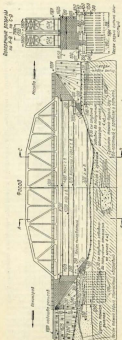
б) перенос блок-поста и працелогии к нему зданий;

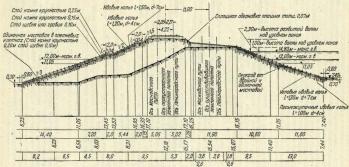
7) постройка временного обходного пути на всей длине переустройства и сооружение временной эстакады рядом со строящимися мостами через канал (в триптических участках старой насыпи, разобранный подольством при рытье колодцев и устройстве канала).

Постройка временного обхода началась в период май—июнь 1934 г. Все основные основные работы закончены к ноябрю 1935 г.

Переустройство участка Завидово—Редкино вызвало затопление насыпи за протяжением около 5 км левого Волжского водоточника, образовавшегося в долине р. Шоши. Кроме того требование к подводному габариту обусловили перестройку существовавшего ранее моста через р. Шошу. Несмотря на построенный драгоценный мост (фиг. 5) имеет один пролет, перекрытый типовыми металлическими однопутными пролетными строениями под нагрузку 16, расчетным пролетом 87,5 м. Устои моста — массивные бетонные, Т-образной формы, с фундаментами, основанными на ленточных сваях. Облицовка устоев выполнена из гранита. В месте пересечения р. Шоши отметка пути поднята на 160 м.

Земляное полотно переустроено на протяжении 9 км. Слева по ходу погекта полностью пропольвано посредством дресаки грунта к старой насыпи.





Фиг. 8. Типичный поперечный профиль перегородочного участка Омутнинской р. в.

Однако постоянное подтаяние насыпи сохраняется на сравнительно большом протяжении и после ее переустройства; кроме того в связи с большой водной поверхностью Бодайского водогравианника насыпь подвергается воздействию сравнительно сильной волны (согласно расчету высота разбитой волны достигает 1,45 м). Поэтому очертание верхнего профиля и конструкция насыпи было сделано особенно болотные назначения, в частности со стороны насыпи, обращенной к водогравианнику (левой по ходу извилины), применены искусственные бермы: низкая на откосах, соответствующая уровню гребня разбитой волны при нормальном горизонте водогравианника; верхняя — на уровне гребня разбитой волны при расчетном весеннем паводковом горизонте. Крутинка откосов насыпи в верхней части приведена 1 : 1,5; между первой и второй бермами — 1 : 2; в нижней части — 1 : 3.

Крепление откосов насыпи устроено следующим образом (фиг. 6).

1. В нижней части (до отметки на 1 м выше уровня нормального горизонта воды) откосы укреплены одиночной мостовой. Выше указанной отметки вплоть до верхней бермы (т. е. в пределах колебания горизонтов и действия разбитой волны) крепление откосов выполнено тщательной укладкой камня в залежевых клетках в два слоя, на склонах или щебне.

2. Верхняя берма (со стороны водогравианника) укреплена слоем гравия в 10 см.

3. Со стороны залива бермы укреплены одиночной мостовой.

4. Откосы насыпи, расположенные выше действия разбитой волны, укреплены одиночной.

Для расположения новых путевых, служебных и жилых зданий потребовалось устройство специальных трапециев, укрепленных аналогично насыпи.

Отсыпка земляного полотна производилась из тиховых грунтов местных карьеров с иссушительной разработкой; грунт транспортировался гаковым образом по железнодорожной нормальной колее в частично (около 10%) засыпанном.

Верхнее строение переустроенного участка было уложено на песчаном балласте с рельсами типа Іа. В пойме к мосту, на протяжении 60 м в каждую сторону, путь уложен на щебеночном балласте.

Основными работами по переустройству перегона Западово — Редкино являются:

1) отсыпка и укрепление новой насыпи;

2) постройка нового моста через р. Шину;

3) постройка блок-поста, а также путевых, служебных и жилых помещений.

Работы по отсыпке и укреплению насыпей были произведены с мая по октябрь 1936 г.

Все путевые работы и постройка моста были завершены к маю 1937 г., когда движение было переведено на новые пути.

## 8. ПЕРЕУСТРОЙСТВО КАЗАНИНСКОЙ (б. КББ) ж. д.

Ввиду особо стесненных топографических условий и отсутствия свободной территории в районе пересечения Казанинской ж. д. каналом (перегон Покровское-Стрешнево — Тушино) вопрос о переустройстве этого участка железной дороги был подвергнут самой тщательной проработке, и выбранное в конечном итоге решение было рассмотрено и утверждено Правительством.

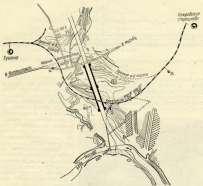
Согласно этому решению железнодорожный путь на перегоне Покровское-Стрешнево — Тушино был перенесен на новую трассу.

Принятая новая трасса дороги по выходе со ст. Покровское-Стрешнево отклонится на запад и, пересекав низкую камбузу шлюза № 8

под углом (в плане) 58°, винтится в старое направление в пределах московской горловины ст. Тушину (фиг. 7).

План и профиль новой линии выполнены в соответствии с существующими на Калужской ж. д. руководящим указом и минимальным радиусом закруглений. Линия из подъезда к ст. Тушину между стесненными усадьбами, с особого разрешения Правительства, допущен радиус 450 м.

Полная длина отвода по новой трассе 2,7 км.



Фиг. 7. План нового Калужской ж. д.

Земляное полотно устроено над два пути и выполнено из песчаных и супесчаных грунтов, вынутых из котлована шлюза и канала. Поперечное сечение насыпи имеет нормальные очертания. Одна из подъездов к мосту имеет большую высоту насыпи (более 20 м) и предполагает поперечное сечение, представляемое на фиг. 8. Верхнее строение уложено из рельсов типа На на песчаном балласте<sup>1</sup> и лишь для одного пути, поскольку движение по этой линии пока однокутное.

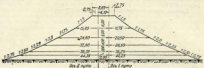
Каналы (верхне, нижний каналы шлюза) перекрыты железобетонными двухкутными арочными мостами (фиг. 9), расчетный пролет которого 120,0 м. Подробное описание конструкции этого моста и производства работ по его востройке приведено ниже в разделе «Железобетонные мосты».

Кроме моста через канал на рассматриваемом участке были построены также следующие сооружения: трехпролетный путепровод для про-

<sup>1</sup> Правительственной комиссией предложено Управлению Калужской ж. д. заменить песчаный балласт на щебеночный.

пуска под железной дорогой Волоколамского шоссе и две железобетонные трубы отверстия 3 и 2 м для пропуска рек Хиновы и Чернушки.

Расчетный проект двух крайних пролетов путепровода — по 14 м, а среднего 19 м. Путепровод запроектирован и построен косым, так



Фиг. 8. Поперечный профиль насыпи на подходах к мосту на участке Покровское—Стрешнево—Тушево.

как пересечение автомобильной дороги с Волоколамским шоссе осуществляется под углом  $70^{\circ}12'$ . Опоры путепровода выполнены из бетона; фундаменты залияны непосредственно на грунте; пролетные строения представляют собой разрезные железобетонные балки с балластным корытом, образуемым железобетонной плитой. Следует отметить, что чрезвычайно строгие условия выбора новой трассы, о которых упоминалось выше, заставили расположить путепровод на закруглении с радиусом 450 м, совпадающим с уклоном 7,65%.



Фиг. 9. Общий вид моста через реку № 8.

- 2) сооружение двухпутного арочного моста через канал;
- 3) постройка путепровода в двух бетонных трубах;
- 4) переустройство монжеской горловины ст. Тушево.

Кроме перечисленных работ на эксплуатируемых железных дорогах строительство канала Москва—Волга осуществляло постройку железнодорожной ветви Вербка—Большая Волга (значая как временной, обслуживавший стройплощадку Волжского гидроузла, а затем как постоянной местного значения). Общая длина ветви 39,5 км, а со стационарными путями — 80 км. На ветви построены четыре остановочных пункта, один разъезд, двадцать три производственных и разгрузочных тупика и мост через р. Сестру.

Мост через р. Сестру — однопролетный, с тяжелым металлическим строением расчетных пролетов 37,6 м. Опоры моста выполнены массивными, бетонными и основаны на деревянных сваях. Мост рассчитан под нагрузку Н.

По окончании строительства канала линия Пербаски—Большой Волга сдана Ярославской ж. д. и находится в настоящее время в нормальном постоянном эксплуатации.

Page 11

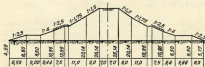
#### **ПЕРЕСТРОЙКА МАСТЕРСТВЕННЫХ И ШОССЕЙНЫХ ДОРОГ**

При сооружении из них пересечены следующие магистральные  
и соединительные дороги:

- 1) Димитровградский шоколад;
  - 2) Новотроицкий шоколад;
  - 3) Дзержинский шоколад.

#### **4. Performance Measurement**

Дмитровское шоссе переустроено и связано с тем, что это пересекается каналом линии: в пределах Клязьминского вододрaininga, у ст. Хлебниково Савинской линии Ярославской ж. д. и в пас-ном подводке к каналу № 3 близ ст. Ярома той же дороги. Кроме того на протяжении 10,3 км в районе ст. Ильи и Нижегородского вододрaininga Дмитровское шоссе переведено на новую трассу по имеющему направлению.



філ. Н. Примите скромное мнение о сюжете Дантесского письма у автора и изложите Елановское подлинное письмо.

В связи с пересечением Дмитровского шоссе (на 24-м километре) Клязьминским водогравийным потребовалось построить мост через водогравийные и поднять на большом протяжении полотно шоссейной дороги. На пересечении участке трассы Дмитровского шоссе по существу проходила по новому направлению, в

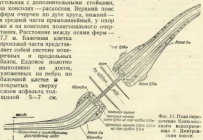
Ширина земляного полотна перекрестенного участка 13,0 м при ширине проезжей части 6,0 м. Тип покрытия на подходах к мосту — бульбовая мостовая. Минимальный радиус закругления — 150 м и максимальный угол наклона — 4%. Наибольшая высота подходов выше самого моста достигает высоты 21,2 м, ширина берегов воды в месте пересечения — свыше 600 м. Вследствие этого конструкции подходов к мосту выполнены по инженерному проекту на основе расчета гидрологической части насыпи на устойчивость. Поперечное сечение насыпи в плане показано на рисунке № 10 и 11.

На подходах к мосту, в пределах подгрунтия насыпи, отсыпаны бермы, укрепленные каменной наброской на свое избыток.

В подошве лобовой части насыпи отсыпаны каменные упорные призмы.

На пересечении с каналом построен однопролетный двухконсольный мост, расчетный пролет которого — 107,8 м; длина консолей — 23,10 м. Фасад и разрезы моста приведены на фиг. 12, а общий вид представлен на фиг. 13. Ширина проезда на мосту составляет 6,5 м, ширина тротуаров — по 1,5 м. Опоры моста — бетонные, в виде отдельных столбов под каждую ферму на общем фундаменте, основанных на деревянных сваях.

Пролетное строение моста — металлическим двухконсольным с покосами опорными узлами. Система reaction в пролете — треугольная с дополнительными стойками, на консолях — раскосная. Верхний пояс ферм очерчен по дуге круга, нижний — в средней части прямолинейный, у опор же и на консолях пологоградиентного очертания. Расстояние между осями ферм — 7,7 м. Балочная клетка проезжей части представлена собой систему поперечных и продольных балок. Балковое пакетно выполнено из досок, уложенных на ребро по балочной клетке и покрытых сверху слоем асфальта толщиной 5—7 см.



Фиг. 11. План пересечения Канала с Дорогой с Донетровским мостом.

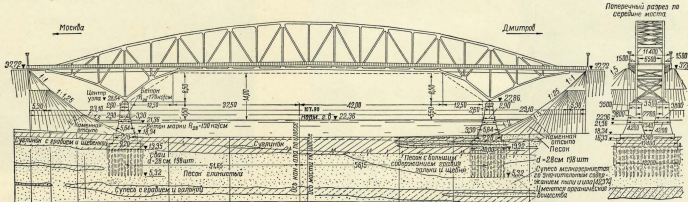
Мост рассчитан на временную нагрузку по классу Н<sub>2</sub>. Сопряжение моста с насыпями выполнено с помощью специальных переходных пристоев.

Необходимо отметить, что в первый период эксплуатации на обеих берегах возникли просадки насыпи подъездов к мосту, что следует отнести за счет несвоевременного устройства упорных каменистых призм, не предусматривающей гравийного промежуточного слоя на стыке внутренней поверхности призмы с грунтом насыпи. Под действием воды, смыкающей каменную призму, сквозь поры этой призмы вымывался грунт, в результате чего и образовались просадки земляного полотна подъездов.

После того как нарушение поверхность этих призм была покрыта слоем песка и гравия, пригрузленными южной наброской, указанные деформации пришли затухающий характер. Движение по новой трассе автодороги открыто в октябре 1936 г.

На новом участке также кроме моста через канал построены два железобетонных моста с отверстиями 4 и 6 м.

Вторичное Донетровское шоссе пересекается с каналом, как указано выше, близ с. Яхрома Савинской линии Ярославской ж. д. (в окрестах подъезда виадука № 3). В месте пересечения с каналом построен однопролетный мост с двухконсольным металлическим про-

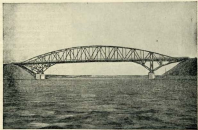


Фиг. 12. Мост через Каязьминское водохранилище на Дмитровском шоссе; фасад и поперечный разрез по середине моста.

летным строением, тождественным примененному для моста на Днепр, реконструкция ул. Клебанова. Опоры моста электростаровки также по типу опор центрального моста у Хлебников и отличаются лишь узлами, что обусловлено различием в высотах насыпи.

Старое направление шоссе на перегоне между станциями Туррист и Ядрона неоднократно пересекалось с трассой канала, местами вообще совпадая с ней. Это обстоятельство сразу же заставило принять решение о переносе Дмитровского шоссе на этом участке на новую трассу.

Новая трасса шоссе от ст. Туррист идет вдоль канала с левобережной стороны его. В месте пересечения канала с отводом Симбирской земли Ярославской ж. д. новая трасса шоссе пересекается с железной дорогой в разных уровнях, проходя в один из пролетов подъездной



Фиг. 13. Общий вид моста через Клебановскую водопропускную.

вспахи железобетонного моста. За ст. Ядрона Симбирской ж. д. Дмитровское шоссе сворачивает вправо и, пересекая канал, вливается в существующую ранее трассу. На этом участке Дмитровскому шоссе придана ширина земляного полотна 10,5 м при ширине проезжей части 5,5 м. Покрытие служит гудронированное щебечочное шоссе (толщина щебечочного покрытия 0,06 м) по каменному покрытию толщиной 0,12 м. На подходах к мосту и пределах высотных насыпей проезжая часть была временно (до окончания осадки земляного полотна) замощена бульяжным камнем.

Минимальный радиус закругления на переустроенном участке — 150 м, максимальный уклон — 4%, и длина в подъезде к мосту допущен подъем 4,2%. Полная длина переустроенного участка — 5,0 км.

Представляет интерес железобетонный мост, сооруженный на отводе Дмитровского шоссе, через отводящий канал Ядронского подъездного. Общий вид этого моста представлен на фиг. 14. Мост балочный двухконсольный; расчетный пролет — 37,2 м; длина консолей — 17,0 м. Расчетная нагрузка — по схеме Н<sub>0</sub>, ширина проезда — 6,5 м, а тротуаров — по 1,5 м. Пролетное строение опирается на бывы подъездные опорные части запроектированные в виде кирпичных пальм. Бывшие мосты — бетонные, фундаменты их основаны на деревянных сваях.

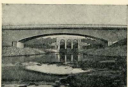
Как видно на фиг. 14, к концам крайних балок подведенены тонкие диспертильные плиты (из железобетона), закрывающие проезд между промежуточными строениями и конусом насыпи.

Следует отметить минимальный радиус (17,0 м) консолей моста, равный почти половине пролета.

В июне 1937 г. Ностроительной станцией Московского автомобильно-дорожного института (МАДИ) было произведено испытание этого, а также и всех остальных построенных мостов статической и динамической нагрузкой, давшей хорошие результаты.

Кроме перечисленных искусственных сооружений на рассматриваемом участке также построена железобетонная труба отверстия 0,65 м.

Как упоминалось выше, Дмитровское шоссе подверглось переустройству также в районе ст. Икша Савеловской линии Ярославской ж. д. или, точнее, между остановками Черное и Марошево. На этом участке старая трасса шоссе, проходящая долиной р. Икши, во многих местах пересекалась с каналом и на значительном протяжении попадала в зону Икшинского вододрainingца.



Фиг. 14. Мост через озимый канал Ярославского вододрainingца. Ни один шанс—задворок.

всехной дороги идут параллельно в расстоянии 40—45 м друг от друга. В районе ст. Трудовая также пересекает вселенную дорогу. В месте пересечения построена железобетонный рамный путепровод общей длиной поверху 25,8 м. Этот путепровод, ширина проезда которого равна 5,5 м, рассчитан под нагрузку II<sub>м</sub>.

Кроме того на опоре шоссе высечены 10 деревянных балочных и ригельно-подкосных мостиков через ручьи и овраги (общая длина мостов — 160 м) и четыре железобетонные трубы с отверстиями по 0,65 м (общая длина их 77 м).

Мосты построены по проектам, составленным применительно к существующим типам на нагрузку II<sub>м</sub>, при ширине проезда 6,0 м.

Минимальный радиус закруглений на отводе шоссе — 17,0 м, максимальный уклон — 5%. Ширина земляного полотна — 10,5 м, а ширина проезжей части — 5,5 м; покрытие — щебеночное или гравийное, а на подходах к мостам — частичная бульварная мостовая.

Основные работы по переустройству шоссе в районе Икши были закончены в ноябре 1938 г. Полная длина переустройства — 10,43 км. В период 1929—1937 гг. после осадочных ремонтов проезжая часть шоссе полностью загудренирована.

## 2. ПЕРЕУСТРОЙСТВО ВОЛГОДОНСКОГО ШОССЕ

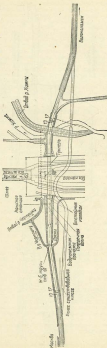
Переустройство Волгодонского шоссе в связи со строительством канала выполнено на двух участках: в районе посёлка Покровское-Глебово, где шоссе пересекается с каналом Москва—Волга, и вблизи Тушино—в месте его пересечения с отводящим каналом Сходненской ГЭС.

С каналом Москва—Волга Волгоградское шоссе пересекается подъездной мостом шоссе № 8, находящимся от проектируемого пересечения шоссе со старой трассой Калмыкской ж. д. В этом месте в целях достижения прямого пересечения железной дороги старую трассу шоссе сильно извилили, что чрезвычайно затруднило движение. При переустройстве шоссе в месте пересечения с судоходным каналом эта излучина снята. Переустройство осуществляется путем проруска шоссе в туннеле под каналом. Туннель, выполненный из коленоизогнутого, имеет длину между гравийными откосами 150,0 м и в поперечном разрезе разделен на две секции, в каждой из которых имеется проезд шириной 6,5 м и тротуар шириной 1,5 м. Подробное описание туннеля приведено ниже в параграфе «Туннели».

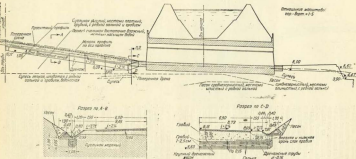
Трасса шоссе в подъезде к туннелю проходит в выемках. На подходах к туннелю ширина автомобильного полотна равна 17,0 м, а проездной части — 13,0 м (габариты шоссейной дороги были приняты специальные, поскольку рассматриваемый участок переустройства находится в пределах Москвы). Минимальный радиус закругления — 300 м, максимальный уклон — 3%. Покрытие представляет собой бульяжную местную толщиной 0,18 м на основе песка 0,17 м, сплошь засыпанную асфальтом.

Полная длина переустроенного участка равна 1,131 м. В результате спримывания насыпей, приведенного при переустройстве, шоссе укоротилось на 20 м (фиг. 18).

При сооружении подходов к туннелю были при-



Фиг. 18. План трассы Волгоградского шоссе в месте пересечения с судоходным каналом.



Фиг. 16. Продольный разрез дренажа из глины в Балаковском районе с трунами под слоем гравия.

нены специальные ямы по дренажированию земляного полотна, так как уровень грунтовых вод, установленный после сооружения канала, был близок к отметкам верха земляного полотна. На протяжении около 70 м перед въездами в туннель под проекцией частично устроены грязи, или подушки толщиной до 1 м. Низкие подушки, то есть широкие проекции части, устроены дренажем из крупного песка, гравия и гальки общей толщиной 90 см. Кроме того на протяжении 170 м в каждую сторону от туннеля наложены по обеим боковым сторонам подкладки дреники под колесами. Когда уровень приточных вод повышается, то с помощью устроенной системы дренажа вода отводится в специальные поддеборные колодцы (устроенные выше туннеля), откуда она удаляется уже при помощи насосов. Устройство дренажа представлено на фиг. 15 и 16. На переустроенном участке шоссе построен железобетонный фланочно-консольный мост через р. Хинду. Расчетный пролет его 14,0 м; длина каждой консоли — 5,35 м. Мост рассчитан под автомобильную нагрузку по схеме Н<sub>1</sub>, и трамвайную нагрузку по схеме московского трамвая. Габарит специальный: ширина проезда 16,0 м, тротуары — по 3,0 м.

На московском подходе построена железобетонная труба отверстиям 1,0 м.

Движение по переустроенному участку открыто с августа 1936 г.

Быликин ст. Тушин о Калужской ж. д. произведено на протяжении 1,42 км срывание Полоколамского шоссе и построены железобетонный мост через отводящий канал Сходненской ГЭС.

Переустройство Волоколамского шоссе на этом участке вызвало необходимость углубления и суживания русла р. Сходня, используемого для отводящего канала от ГЭС (фиг. 17).

Трасса переустроенного шоссе запроектирована в соответствии с проектом планировки Москвы и проходит во временной и местах примыкания к старому направлению шоссе трасса проходит по краю с радиусом, разным с одной стороны 500 м, а с другой — 150 м. Наибольший угол имеет в 32%. Ширина земляного полотна на сужение радиуса 14,0 м, на подкладках к мосту она увеличивается (соответственно ширине моста) до 32,0 м, а в местах примыкания к старой трассе (на участках длиной 50,0 м) суживается до ширины земляного полотна существующего шоссе (10,0 м). Ширина проекции частей радиуса 12,0 м, на переходных же участках, т. е. при подходе к мосту и в местах примыкания к старой трассе, проекция часть соответственно расширяется до 25,0 м и суживается до 6,0 м<sup>1</sup>.

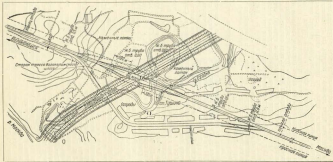
Новая трасса шоссе пересекает отводящий канал ГЭС под углом 49°. Мост через отводящий канал — косой, трехпролетный, балочный, консольной системы (фиг. 18). Расчетный пролет двухконсольных балок — 26,80 м; длина консолей береговых по 11,5 м и в среднем пролете — по 7,83 м. Расчетный пролет подвесной балки — 18,8 м. Полная длина моста 111,2 м.

Мост запроектирован под автомобильную нагрузку по схеме Н<sub>1</sub>, и трамвайную по схеме московского трамвая. Ширина проезда на мосту — 25,0 м; тротуары — по 3,0 м.

Пролетные строения имеют 8 главных балок, расположенных (см. номерное сечение) на расстоянии 4,43 м друг от друга (между осьми). Свертывание главных балок сделано по параболе. Крайние главные балки на береговых консолях имеют докороточные стаканы (в виде тонких железобетонных пил), закрывающие пространство между консолями и конусами.

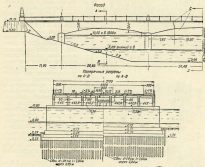
Опоры моста — массивные бетонные с фундаментными основаниями на деревянных стаканах с винтовыми болтами со запутанным ограждением).

<sup>1</sup> Впоследствии при общей реконструкции Волоколамского шоссе избыток его был уменьшен в соответствии с запроектированным мостом.



Фиг. 17. План паркации Вознесенского цеха станции Тумен.

Опорные части выполнены из железобетона: подвижные — в виде качающихся промежуточных пыльцев, неподвижные — в виде железобетонных подушек. В местах опирания пролетного строения и на них приложены скользящие листы.



Фиг. 16. Форма и поперечные разрезы моста через озимой реки Сосновый Гorsk.

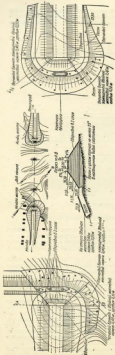
### 2. ПЕРЕСТРОЙКА ЛЕННИНГРАДСКОГО МОСТА

Ленинградское шоссе пересекается на участке выше сел. Хинки, в месте пересечения шоссе с Хинкинским водогравитационным, а также на нескольких участках между городами Калинин и Калинин, где трасса шоссе на ряде участков поддается подпором от Ильинской плотины.

На участке выше сел. Хинки оно Ленинградского шоссе пересекается с осью судового хода в Хинкинском водогравитационном узле под углом 32°20'. Направление шоссе обозначено прямое и проходит линия подъема насыпи, высота которой у места въезда достигает 21 м. Планом существующий радиус изгиба трубы, пропускающей под судоходное шоссе р. Хинку, построен мост через Хинкинское водохранилище.

Максимальный радиус изогнутой на реконструированном Хинкинском участке шоссе — 500 м, максимальный радиус — 3%. Ширина автомобильного полотна — 16 м, а проходной части 11 м. Так как насыпь в подпорах, характеризующаяся значительной высотой, опирается на некотором протяжении водогравитационную, то пришлось эти насыпи, равно как и въезды к мосту, выполнять по индивидуальному проекту, определяющему их только очертания поперечного профиля, но и конструкцию самой насыпи (фиг. 19).

В зоне подпорования дно насыпей подводов отсыпано блоками до отметки, превышающей на 1,5 м нижнейший уровень воды в водо-



Фиг. 15. Схема строительства моста через р. Хлынову в Костромской губернии. 1—мост; 2—подходы к нему; 3—засыпка насыпей; 4—засыпка насыпей и обвалы; 5—засыпка насыпей и обвалы; 6—засыпка насыпей и обвалы.

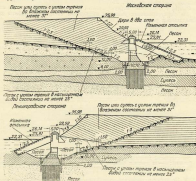
хранение. Ширина балкона поверху — 6,0 м. Откосы насыпей подковообразные и верхней части (за первых сверху шести метров выпоты) имеют крутизну 1 : 1,5, в нижней части — 1 : 1,75. Откосы балкона — 1 : 2,5. Откосы копуска в верхней части имеют угол 1 : 1, выше до балкона — 1 : 1,5 (фиг. 20). Насыпь подковообразная из песчаных грунтов местного карьера (по склону р. Хлыни), доставляемых на место автомобильным; укатка насыпи производилась гусеничными тракторами в промежутках катками. Балконы отсыпаны из песка, откосы на укреплены двойным слоем камня из слюдяных гравий. В подковообразных ворусах отсыпаны каменные упорные приямки с заполнением пустот гравием. Откосы копуска выше балкона укреплены деревянной.

Мост через Хлыновское водохранилище имеет три пролета, из них средний (135,0 м) — в виде металлической решетчатой арки с повышенной застеклкой, а крайние — в виде колосальных фаролов (по 81,0 м). Опоры — бетонные, фундаменты их основаны на деревянных сваях. Подробное описание моста приводится ниже в разделе «Металлические мосты».

На время сооружения моста и устройства подходов к нему был построен обходный путь с временным деревянным мостом через р. Хлыни. Движение по нему построенному постепенно мосту и реконструированному участку было открыто с 6 ноября 1935 г.

Переустройство отдельных участков Ленинградского шоссе на участке Калинин — Калязин, как уже упоминалось выше, было вызвано их выделением от поддорья, созданного Ильинской плотиной по Волге и ее притокам: р. Шексне, ручье Переславском и ряде других малых речек.

В конце почти все переустроенные участки собираются в трапту существовавшего южнее (заключение состоящее из перехода через р. Шону и участка у села Малково, где увеличен до 300 и радиус изогнутости).



Фиг. 39. Продолжение разрезов пакетов в подсеках к Балонскому неогеновому комплексу.

В местах, где не требовалось повышать отметку насыпи, проектировались только присыпка основного полотна в целях его расширения, а также для уменьшения крутизны и для укрепления откосов. На частных участках земляное полотно — одновременно с его расширением и уменьшением крутизны откосов в его нижней части до 1:2 — было поднято до отметок, превышающих самые высокие горизонты воды в колебравшиеся на 0,6—1,0 м (в зависимости от характера подтопления). При досыпке земляного полотна старая проекция лежала как правило, падающая.

Наибольший радиус закругления на переустроенных участках — 300 м, наибольший продольный уклон — 4%. Ширина земляного полотна равна 16,0 м, и проездной части — от 6,0 до 9,0 м. Тип покрытия — состояния из щебеночной шашки твердых пород, толщиной 0,18 м на слое песка в 0,23 м.

Откосы земляного полотна укреплены в зависимости от ступени подготовки на подгрунтованные один из следующих способов:

а) при глубине подтопления максимальным высотами горизонтом воды до 1,6 м — фермировкой;

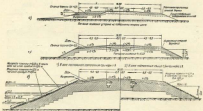
б) при глубине подтопления максимальным высотами горизонтом более 1,6 м — укладкой камня слоем 0,2 м вплотных кластах на слое гравия 0,09 м и

в) в зоне постоянного затопления, между отметками 11,0—12,0 — усыпанным краевым слоем камня до 0,25 м на гравийной подстилке до 0,16 м.

Типовые поперечные профили земляного полотна и крепление откосов показаны на фиг. 21.

Общая протяженность перестроенных участков составляет 20 км.

На перестроенных участках выполнены следующие работы по поведению и реконструкции искусственных сооружений:



Фиг. 21. Типовые поперечные профили земляного полотна перестроенных участков Ленинградского шоссе: а — при максимальных высотах без разделки существующей проездной части; б — при участках набегания (до 1,6 м) максимальной; в — на участках больших (свыше 1,6 м) подтопленной и на постоянно затопленной участках.

1. Построен четырехпролетный балочный мост через Перемондский ручей. Пролетные строения моста — железобетонные, расчетные пролеты 17,5 м. Были — массивные бетонные; фундаменты их оставлены в открытиях котлованов за деревянных сваях; устои построены из новых железобетонных столбов на обширных фундаментах, основанных также на деревянных сваях.

По указанию Гукасдорга (Главного управления шоссейных дорог) мост рассчитан под нагрузку Н<sub>10</sub> в дополнительную нагрузку и соответствует с ТУ на проектирование автомагистралей.

Габарит моста — Г-11. Ширина проездной части — 12 м, тротуары — по 1,25 м.

2. Согласно первоначальному предположению о постройке нового моста через р. Шлюзу с установкой на новые сваи старых пролетных строений существовавшего колесодорожного моста через эту реку были выстроены бетонные устои для этого моста. Фундаменты устоев основаны на деревянных сваях. Выполнены работы по устройству подходов и юкосов и их укреплению.

Дальнейшее производство работ исходило из положения у НКПС старого пролетного строения Стройтельством канала было разграблено с тем, чтобы временно продолжать пользоваться существую-

шем мостом. Окончание работ и размещение засыпки на новые пролетные строения было возложено на ГУПСдор.

3. Реконструированы путем надстройки шоссевых стел сводов восьми каменных мостов отверстием от 2 до 6 м и построены один новый мост отверстием 5 м, с пролетным строением в виде железобетонной панели, опирающейся на бетонные опоры.

Работы на большинстве участков были выполнены с переходом движения на обочина, и лишь на одном участке движение было перенесено на временный обходный путь.

Все участки были сданы в эксплуатацию в 1937 г.

## ГЛАВА III

### ПЕРЕУСТРОЙСТВО ШОССЕЙНЫХ ДОРОГ МЕСТНОГО ЗНАЧЕНИЯ

В связи с сооружением канала Москва — Волга были перестроены и заново сооружены некоторые шоссейные дороги местного значения (в том числе для обустройства канала), а также построены несколько мостов (преимущественно городских). К основным объектам этих работ относятся:

- 1) Хорошевское шоссе, включая Хорошевский мост (Москва);
- 2) Мининовское шоссе, включая мост через канал № 9 (Москва);
- 3) мосты через дегривационный канал (Москва);
- 4) Рогожинское шоссе с мостом через канал (Дмитров);
- 5) служебное шоссе Дмитров — Болыни Волги и шоссе из подъездного канала.

#### 1. ПЕРЕУСТРОЙСТВО ХОРОШЕВСКОГО ШОССЕ

Переустройство Хорошевского шоссе было вызвано тем, что оно пересекалось спрямленным руслом Москва-реки Хорошевским каналом. Так как это сокращение отрезало почти всю территорию Серебряного бора и расположилось здесь участок Хорошевского шоссе от центральной части Москвы, то для восстановления связи между этим двумя территориями потребовалось соорудить мост и переустроить шоссе на подходах к нему. Район пересечения находится в черте Москвы, в силу чего мосту и подходам к нему предъявлены размеры, отвечающие требованиям столичного уличного движения.

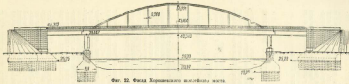
Расположение нового моста и подходов в плане выбрано с учетом проекта намеченной реконструкции этого района, согласно красным линиям, указанным Москрайтком.

Ввиду того что Хорошевское шоссе пересекает спрямление Москва-реки под углом 67°02', мост построен в плане конусом. Мост разбит на три пролета (фиг. 22), из которых средний перекрыт железобетонным пролетным строением в виде гибкой арки с базовой жесткостью (энтажной), расчетным пролетом 100,8 м, а два береговых — балочными железобетонными строениями расчетным пролетом по 33,75 м. Средний пролет перекрывается канатом, крайними пролетами — набережными.

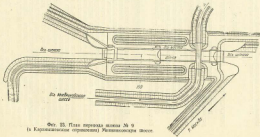
Ширина проезда на мосту — 19,0 м. Мост рассчитан на автомобильную нагрузку по схеме Н<sub>1</sub>, и тротуарную по схеме Т<sub>1</sub>. Подробное описание моста и производство работ по его постройке приведены ниже в разделе «Железобетонные мосты».

Московский подход к мосту имеет длину 287 м. Минимальный радиус закрутки — 100 м, максимальный уклон — 2%. Ширина проездной части, составляющая на самом шоссе 6,0 м, увеличивается на подступы к мосту до 10,0 м.

На подходе со стороны Серебряного бора протяжением 420 м



Фиг. 12. Форма Кирзовского магнитного излучения



Фиг. 19. План первоначального  
из Картавинской деревни) Римской области Италии

ширина земляного полотна доводится до 30 м (ширина проезжей части той же, что и на Московском шоссе). Минимальный радиус приводят здесь равным 100 м, максимальный уклон — 4%.

Тип покрытия на всем протяжении переустроенного участка — асфальтобетон на щебеночном основании.

Со стороны Серебряного бора кроме земляного полотна Хоршевского шоссе устроены 80-м съезды к сел. Татарово. Ширина земляного полотна этой дороги — 9,0 м, проезжей части — 6 м. Тип покрытия — гравийное шоссе.

Переустроенный участок шоссе и мост через спрямленный канал сланы в эксплуатацию в августе 1937 г.

## 8. ПЕРЕУСТРОЙСТВО КИРСАЧЕВСКОГО ШОССЕ

Кирсачевское спрямление Можайской трассы (с расположенным на нем шоссе № 9) отходит от столицы значительную территорию, отбрасывая пятью этой трассы. В соответствии с намеченным проектом реконструкции Москвы отрезанная территория должна быть использована для устройства большого спортивного стадиона; кроме того на ней предполагается сооружение и существование здесь рабочего поселка. Территорию эту связывают прямые с Хоршевским шоссе дорога, называемая Милютинским шоссе.

При устройстве пересечения Милютинского шоссе с Кирсачевским спрямлением Можайской трассы участок шоссе длиной 161 м проложен по новой трассе. Выбор места пересечения разработан в результате подробных изысканий, в соответствии с намечаемой планировкой города. Ввиду того что шоссе имеет местное значение, при переустройстве его были применены несколько облегченные технические условия, в частности минимальный радиус закруглений — 50 м, а максимальный уклон — 3,9%.

Ширина земляного полотна принята равной 10 м с увеличением ее на подступе к мосту до 17,5 м. Ширина проезжей части — соответственно 6—12 м. Тип покрытия проезжей части — щебеночный мостовой толщиной 0,15 м из слоя гравия 0,20 м; на подходах к мосту, в пределах высокой насыпи, уложены булыжники мостовой толщиной 0,18 м из слоя гравия 0,17 м.

В пересечении шоссе с Кирсачевским спрямлением Можайской трассы через шахту № 9 (фиг. 23) построен железобетонный фланцевый двухлонжеронный мост расчетным пролетом 45 м. Отведение моста и производство работ по его сооружению приведено ниже, в разделе «Железобетонные мосты».

## 9. МОСТЫ ЧЕРЕЗ ДЕРЖАВИЦИОННЫЙ КАНАЛ

На территории, отрезанной от Волоколамского шоссе деривационным каналом, расположены промышленные предприятия и земельные участки. Для восстановления связи этих предприятий и поселка с центром Москвы потребовалось соорудить два моста (железобетонных) через указанный деривационный канал Сходненской ГЭС. Мосты построены по одной схеме и имеют по три пролета, перекрытых двумя двухлонжеронными балками с подвеской в среднем пролете. Пролет двухлонжеронной балки — 16,0 м; длина консолей — по 6,0 м. Пролет подвесной балки равен 11,0 м. Полная длина моста составляет 47,0 м (фиг. 24). Опоры — бетонные массивные, заливочные в открытых канавках непосредственно на грунте. У моста, расположенного на 8-м километре, опоры всех опор были ограждены деревянными брусками шпунтом, у моста же, расположенного за 2-м километром, опоры были ограждены лишь средним опоры.

Описанные мосты различаются лишь по габариту: мост на 1-м проезде имеет прокладку часть шириной 12,0 м и два тротуара по 1,5 м, у моста же на 2-м (основном) проезде соответствующие размеры равны 25,0 и 3 м (для каждого тротуара). Этим определяются различия в количестве главных балок и их промежуточном.

Несколько мостов статической и динамической нагрузкой дают положительные результаты.

#### 4. ПЕРЕСЕЧЕНИЕ КАНАЛА РОГАЧЕВСКИХ ШОССЕ В ДВИЖЕНИЕ

Старая трасса шоссе пересекалась с каналом в центральной части Дмитрова. При сохранении этого пересечения потребовалось бы поднять дно реки под потоком на 14,5 м. Повышение такой высоты насыпи в центре города было признано недопустимым, поэтому на протяжении 2,5 км шоссе пришлось вывести на новую трассу, пересекающуюся с каналом на окраине города — по 2й Сторожев. ул.

Пересечение канала осуществляется под углом 83°20', одиночный мост через канал последним наклонностью угла косины устроен прямым. Минимальный радиус изогнутности на отводе шоссе равен 15 м, максимальный угол — 5,5%. Ширина лентового полотна — 8,5 м, в прямой части — 5,5 м. Поперечный профиль залитого полотна — нормального типа. Прокладка части залитого полотна в виде фальшевой мостовой при толщине монолита 0,16 м на 17-м слое песка.

Мост через канал металлический однопролетный двухлонжеронный балочный, запроектированный по типу мостов через каналы на Дмитровском шоссе у станции Хлебников и Жарков; расчетный пролет — 108,5 м, длина ковшней — по 15,5 м. Мост рассчитан под нагрузку Н<sub>с</sub>.

Ширина проезжей части моста — 5,5 м, тротуаров — по 1,5 м (тротуары выполнены на консолях). Наличие проезжей части состоит из деревянных досок, уложенных на ребро по балочной кладке; поверх досчатого настила уложен слой асфальта.

Отпоры моста — бетонные, в виде отдельных столбов под квадру ферму, с облицовкой футляновитом, основанными на деревянных сапах. Общий вид и поперечное сечение моста приведены на фиг. 23.

Вслед за пересечением канала и Савеловской линии Ярославской ж. д. (в одном уровне) новая трасса шоссе пересекают р. Ягорю.

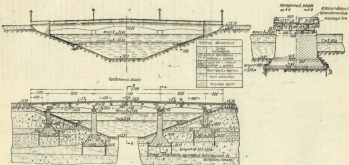
В месте перехода через р. Ягорю построен деревянный ригельно-подкосный мост общей длиной 70,38 м. Он рассчитан под нагрузку Н<sub>с</sub> и имеет тот же габарит, что и мост через канал.

Кроме этого за отводы Рогачевского шоссе построена бетонная труба отверстием 2,5 м и железобетонная двухлонжеронная призубородильная труба отверстиями 2×1,0×1,5 м.

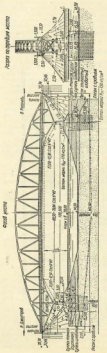
#### 5. ПРОСТРЕЛКА ИНЫХ ДОРОГ, СВЯЗЫВАЮЩИХ С ЭКСПЛУАТАЦИЕЙ КАНАЛА

Наиболее крупным объектом рассматриваемой группы является шоссе № 1 вдоль дороги Дмитров — Большая Волга. Дорога начинается от разъезда Каналстрой Савеловской линии Ярославской ж. д. близ Дмитрова и идет вдоль канала на север до ворота Болховской Полиграфии. Здесь дорога пересекает Полховский канал (№ 1) туннелем и выходит далее по Ильинской плотине на левый берег Волги. Местами дорога расположена по канализации, образовавшимся в результате выкопки канала. Общая протяженность построенного шоссе — 41,03 км.

Трасса этого шоссе, как и соответствующий ей участок трассы канала Москва—Волга, пересекает на своем пути три болота: Невидимское, Бугай-Эрзетовское и Кутыловское. В основании дорога проходит в низинах (наибольшая высота их — 7,32 м) и лишь на отдельных участках — в изымающих (глубина выемки не превышает 3,56 м).



Фиг. 38. Фасад и разрезы шоссейного моста через державинский канал (из первых проектов).



Максимальный уклон дороги — 4%, минимальный радиус изгиба — 250 м.

Ширина земляного подсогна за редкими исключениями равна 9,5 м, ширина проездной части — 3,5 м. Проездная часть покрыта гравийной 15-см щебенкой, впоследствии загрунтованной.

Следует отметить, что дорога Дмитров—Волыни Волга связывает через Дмитровское шоссе с Москвой ряд пунцовских районов Калининской области. Поэтому временные ее выходят за рамки слюдебной дороги канала Москва—Волга.

По существу дорога эта является новым магистральным шоссе в общей сети государственных дорог.

На трассе дороги Дмитров—Волыни Волга построены ряд искусственных сооружений, в том числе:

27 деревянных мостов отверстиями от 1,5 до 20,0 м;

13 труб отверстиями от 0,5 до 2,5 м.

Кроме деревянных сооружений построены железобетонный мост на бетонной Ильинковской плотине и туннель под Волжским шлюзом, связывающие дорогу с левым берегом Волги. Описание туннеля приводится ниже, в разделе «Туннели».

Второй по южному из числа построенных служебных дорог является шоссе вдоль Водопроводного канала общим протяжением в 27,31 км; оно предназначено исключительно для обслуживания Водопроводного канала и проложено на первых 26,5 км с восточной стороны этого канала, а далее — с западной его стороны. Для перехода с одной стороны канала на другую устроен ряд переправ.

Почти на всем протяжении полотно дороги, проходящей вдоль Водопроводного канала, построено с кулемами насы-

таки; в пределах первого километра, на протяжении около 250 м, дорога проходит в выемке. Минимальный радиус извивностей — 50 м; максимальный уклон — 5%.

Полотно дороги, ширина которого равна 7,5 м, полностью покрыто гравийной обсыпкой (Правительственная приемочная комиссия потребовала, чтобы в дальнейшем дорога была асфальтирована).

На трассе дороги построены следующие искусственные сооружения: 1) деревянные мосты разной длины, один из которых (через р. Кильмезь) длиной 61,3 м; 2) труб из железобетона; 3) деревянных труб.

К группе служебных и пограничных дорог, построенных Строительством канала, относятся также следующие: 1) трасса от ст. Новый Нерусалим Калининской ж. д. до Петровской вспомогательной протяженностью 12,5 км; 2) гравийная служебная дорога Акулово—Пестово—Палого—Парголово длиной 10,8 км; 3) ответвление от Дмитровского шоссе в село Шатково длиной 1,6 км; 4) подъезд к Библиографическому институту от Ленинградского шоссе длиной 2,65 км; 5) дороги в сел. Н. Семёновки длиной 0,9 км. Кроме того при сооружении канала построено свыше 25 более мелких подъездных дорог к шлюзам, насосным станциям, высоководническим поселкам, пассажирскому вокзалу, грузовой гавани, пристаням, остановочных пунктаам, паромным переправам, к селищам, расположенным из зоны затопления, к железнодорожным станциям, проектируемым предприятиям и т. д.

## Б. ПАРОМНЫЕ ПЕРЕПРАВЫ

Как уже указывалось, канал Москва—Волга пересекает значительное количество местных дорог. Возведение постоянных мостов или туннелей на пересечениях этих дорог с каналом было бы very скользящим. Экономически оправданными сооружениями в этих случаях могли быть только паромные мосты или паромные переправы. Из двух этих типов более рациональными оказались паромные переправы, потому что они менее стесняют движение судов по каналу.

Всего построено 14 таких переправ. При установлении мест для переправ руководствовались критериями служебной наиболее рациональных различий между построенными постоянными мостами через канал и нужды местного населения. Районирование паромных переправ по трассе канала указано в табл. 1.

Таблица 1

Номер	Начальный и конечный пункт	Направление дороги	Количество пристаней для паромов
1	4	С. Большое Волги—Архангельское—Денисово	1
2	8	Карачево—Федоровка	1
3	12	Куртлюз—Нагольное—Ильинка	1
4	19	Ганичево—Покровка	1
5	31	Зверудово—Гагино—Павловка	1
6	39	Балаково—Давыдово—Петровка	1
7	44	Кукобово—Нижнекамо	1
8	48	Балаково—Татарка	1
9	71	Каменка—Турик	1
10	76	Малоярославец—Карпово	1
11	81	Изюмово—Ивана	2
12	89	Пречисто—Роднишево	2
13	94	Петушки—Курлово	2
14	97	Ивановка—Желтово	2

Количество пиронных призкал установлено в соответствии с величиной колебания горизонта воды и местом устройства пиронных перегородок. Так, для перегородки № 1—3 колебания горизонта воды в канале достигают 7 м, для перегородок № 11—14 эти колебания доходят до 3,4 м, а для остальных перегородок (где устроены одни призка) — не превышают 1,3 м.

Все призка пиронных перегородок выполнены из железобетона. Подробное описание конструкций пиронных перегородок приводится в выпуске технического отчета «Путевые сооружения канала Москва—Волга».

## ГЛАВА IV

### ПРОЕКТИРОВАНИЕ ПЕРЕУСТРОЙСТВА ДОРОГ И ПЕРЕСЕЧЕНИЯ С КАНАЛОМ

#### I. ТЕХНИЧЕСКИЕ РЕШЕНИЯ В ВЫБОР ПРИЗКАХ

Трассы канала Москва—Волга (фиг. 1), в особенности в самой Канавской части (от Дмитрова до Москвы), проходят по довольно обводной, густо заселенной и застроенной территории. В пределах московского транспортного узла с каналом пересекается ряд важнейших магистралей железнодорожного и автомобильного транспорта.

В связи с этим перед проектировщиками и строителями дорог и мостов на канале Москва—Волга встала первоочередная задача за-проектировать и построить такие пересечения канала с существующими дорогами, которые полностью обеспечили бы нормальное движение как по новому водному пути, так и по находившимся в эксплуатации дорогам, перекрывающимися с каналом.

Второй [меньший по объему] задаче в дорожно-мостового строительства, связанного с каналом Москва—Волга, явился вынос затопляемых участков автомобильных дорог и автомобильных магистралей на более высокие отметки; третью задачу включила в себя постройку дорог служебных (боковых с использованием канала), дорог местного значения и городских мостов.

При решении первой задачи в качестве основных были поставлены следующие два условия: 1) обеспечение заданных Наркомводом для канала Москва—Волга подмостовых габаритов и 2) поддержание во все время постройки сооружений и мостов пересечений существующего рационального соединения соответствующих магистралей нормального движения.

Для удовлетворения первого условия все дороги и мосты пересечения с каналом, как правило, пришлось поднять на значительно более высокие отметки (периоды 20 м).

В зависимости от того, как удовлетворено второе условие, все пересечения дорог с каналом и реками и переустройства в связи с подтоплением полотна участков дорог подразделяются на две группы:

1) пересечения (и переустройства), при осуществлении которых трасса дороги была оставлена без изменения и на время производства работ были построены временные обходные пути, и

2) пересечения (и переустройства), которые потребовали изменение трассы дороги на соответствующем участке, в силу чего движение во время производства работ на новой трассе продолжалось по старому направлению.

К первой группе относятся лишь следующие пересечения (и переустройства):

а) пересечение с главной линией Октябрьской ж. д. на перегоне Химки—Люберцы;

б) пересечение с Ленинградским шоссе у села Химки.

и) переустройство Ленинградского шоссе на перегоне Калинин — Калинин (здесь лишь некоторые отдельные участки старой трассы были перенесены спрямлены).

Все остальные пересечения и переустроенные участки относятся ко второй группе.

Для пересечения канала с участком Октябрьской ж. д. Химки — Хоприно сохранение старой трассы дороги было признано по ряду весьма веских соображений.

Во-первых, старая трасса колесной дороги вырисовалась с осью судового хода канала под прямым углом.

По-вторых, высота существовавшей в месте пересечения насыпи достигала 17 м и для обустройства заданных подмостовых габаритов требовалось поднять поймально лишь на 3,80 м; исполнование существующей насыпи таким образом значительные затраты на производство земляных работ по подъездам; насыпь же под обходный путь в последующем вошла в окончательный профиль поймиста как искусственные бермы, обеспечивающие ему необходимую устойчивость; уменьшение объема земляных работ, естественно, сокращало и сроки строительства.

Существовавшая насыпь позволила также значительно уменьшить высоту подмостей, тем самым сократив затраты по постройке моста.

Третий аргументом в пользу сохранения старой трассы явилось обстоятельство, что железнодорожный путь участка Химки — Хорово проходит на всем протяжении во прямой в изменившее плана быт бы неизолирован.

При выборе варианта пересечения канала (Химкинского водосхранилища) с Ленинградским шоссе у сел. Химки пришлось учесть требования дорожного ведомства и городских организаций о сохранении существующего направления шоссе.

Что касается переустройства Ленинградского шоссе на перегоне Калинин — Калинин, где проходилось прокладывать исключительную подъемную эрозию дороги, то на всех участках, за исключением перехода через Переворковскую ручей, удалось обойтись даже без особо устраиваемого обходного пути; проезд в период работ поддерживался по обочинам и самому полотну; это оказалось вполне возможным потому, что движение на упомянутом перегоне было значительно менее интенсивным, чем у сел. Химки.

В некоторых местах пересечение канала с железными дорогами должно было получиться под таким острым углом, что обустройство моста на старом направлении потребовало бы прокладывания затрат и вместе с тем усложнения бы все работы. В качестве примера можно привести пересечение с Синевской линией Ярославской ж. д. между ст. Ярома — Турист, где на протяжении около 3 км железнодорожных путей пришлось перенести на новую трассу.

Следует также отметить случаи, когда наряду с переносом трассы оказались необходимыми осуществить и переустройство хозяйства соответствующего участка. Примером может служить ст. Хлебниково Синевской линии Ярославской ж. д., где трасса канала пересекла железную дорогу в пределах самой станции. На приводившем к ст. Хлебниково участке, как отмечалось выше, пришлось не только отказаться от существующей оси дороги, но и переустроить ее хозяйство дороги.

Особо трудной оказалась задача переустройства перегона Покровское-Стрешнево — Тушин Калининской ж. д. В этом случае представлялось необходимым прежде всего отойти от старой трассы, так как условия пересечения оказались весьма сложными, а именно: а) место пересечения находилось на верхней бьеф школы и требовало поэтому устройства насыпи весьма значительной высоты; б) обрывы от пересечения с каналом старой трассы Калининской ж. д. распо-

дагались пасмые и место пересечения канала Волоколамским шоссе; а) тут же Волоколамское шоссе пересекалось с москвой дорогой.

Природные виды обстоятельства потребовали временного решения всех трех пересечений.

В результате изменения дороги на протяжении 2,7 км были вынесены на новую трассу, где пересечение осуществлено было уже через землю к земле, что позволило соответственно уменьшить высоту насыпи подводки и добиться как в плане, так и в профиле трассы минимальных допустимых показателей.

В месте пересечения Волоколамского шоссе с каналом спроектирован существующий разъезд у железнодорожного путепровода излучина, за счет чего трасса шоссе на этом участке несколько сдвигнута.

Так как канал в месте пересечения с шоссе (всего первая головная часть) проходит в насыпных дамбах, то для обеспечения требуемых подводочных габаритов потребовалось бы (по тем же причинам, что и для железнодорожного моста) сооружение высоких и минимальных по объему насыпей; поэтому Волоколамское шоссе решено было пропустить под каналом в туннеле.

Принятое в отношении пересечения канала с Калужской ж. д. и Волоколамским шоссе решение позволило дать наиболее правильную концепцию сквозного транспортного узла, уменьшить насыпи подводки железнодорожного моста, избежать их на московской дороге и насыпей обойтись без сооружения через канал пассажирского моста, который в этих условиях являлся бы более затратным сооружением, чем туннель.

Пересечения с каналом и переустроенные участки Дмитровского шоссе были в отдельных местах вынесены на новую трассу. Таким образом устранилось здесь временные обходы и было надобности. Трасса всех отводов шоссе (у станций Харабиново, Ичка и Яхрома) была выбрана с таким расчетом, чтобы выйти из зоны затопления, сократив эти до минимума укрепительные работы. При постройке новых участков шоссе земляные работы были осуществляены в незначительном объеме; исключением являются подводы к мостам через канал у станций Харабиново и Яхрома, где высота насыпей определялась подводочными габаритами.

## 2. ОСНОВНЫЕ ПРИНЦИПЫ И ТЕХНИЧЕСКИЕ УСЛОВИЯ ПРОЕКТИРОВАНИЯ

При проектировании переустройства и постройки московских и железнодорожных дорог, а также сооружений на них были соблюдены требования б. Наркомвода, НКПС, Гушевдора и московских городских организаций, а именно:

1) б. Наркомвода — в отношении обеспечения необходимых условий для судоходства;

2) НКПС — в части, касающейся железных дорог и мостов на них;

3) Гушевдора — в части, относящейся к автогужевым дорогам и мостам на них;

4) московских городских организаций — в отношении мостов и дорог, расположенных в черте Москвы.

К конструкции мостов через канал б. Наркомводом были предъявлены следующие пять основных требований:

1) судоходный канал должен перекрываться одним вратарем, без постановки промежуточных ворот;

2) на всех участках канала, где в будущем может быть организована береговая путь, одним пролетом надлежит перекрывать судоходный канал вместе с береговыми (мост в Дмитрове на Рогачевском шоссе, мост у ст. Яхрома на Дмитровском шоссе и мост на перегоне Турист—Яхрома Савеловской линии);

3) над пролетным строением должны возвышаться над расчетным судоходным горизонтом не менее чем на 14,0 м;

4) подводный подмостовой габарит при переходах через вододрainingика должен иметь форму прямоугольника 100 × 14 м с допуском некоторого скоса угла (мост на Октябрьской ж. д., мост на Дмитровском шоссе у сел. Хлебниково);

5) подмостовые габариты мостов через каналы заданы с назначением над пролетным строением над расчетным судоходным горизонтом (верхнего бьефа) на 14,0 м, а пролеты мостов — в соответствии с габаритами самих каналов.

Основные требования НИПС сводились к следующему:

1) проекты переустройства и постройки новых сооружений должны соответствовать ТУ НИПС;

2) в период производства работ надлежит обеспечить на пересекаемых участках дорог нормальное движение и соблюдать за работах, выполняемых поблизости от действующих путей, правила технической эксплуатации железных дорог.

Со стороны ГУГДдора были предъявлены требования, в основу которых положены требованиями НИПС: обеспечить нормальное движение на пересекаемых участках автомобильных дорог и соблюдать при проектировании действующие технические условия.

При проектировании и осуществлении переустройства дорог и постройки мостов на них Стройтельство канала придерживалось принципа восстановления нарушенных транспортных обустройств.

Вместе с тем одновременно выполнялись и те работы, необходимость которых обусловливалась вероятной последующей реконструкцией соответствующих дорог и проиницадство которых после постройки канала было бы к тому же невозможно или затруднено.

Аналогичные перспективные соображения являлись одним из основных критерия при переустройстве городских дорог и постройке мостов на территории, охватываемой генеральным планом реконструкции Москвы, утвержденным ЦК ВЛП(б) и СНК СССР. К таким строительным объектам относились: 1) пересечение Волоколамского шоссе с судоходным каналом и с овальной каналом Солнечной ГЭС; 2) пересечение спрямленной Москва-реки с Мневниковским шоссе и с Хорошевским шоссе; 3) мосты через деривационный канал, подводящий воду к Солнечной ГЭС. Во всех этих случаях проекты были составлены в соответствии с замечанием планировочной районы, габариты — заданы городскими организациями, а расчет и конструирование производены применительно к специальным городским нагрузкам (трамвайной и др.).

При составлении проектов переустройства магистральных автомобильных дорог применялись технические условия на проектирование магистралей — ТУИ. 1934 г., а также технические условия НИПС на проектирование мостов. Исключения составили два железнодорожных моста через канал: один фанк ст. Химки на Октябрьской ж. д. и другой — на Калининской ж. д. (через пакет № 4). На этих мостах инженеры в СССР были применены железобетонные строения больших пролетов под тяжелую нагрузку (на Калининской ж. д. под два железнодорожных пути и на Октябрьской — под четыре пути). Для проектирования этих двух мостов Стройтельством канала были составлены (для каждого моста отдельно) особые технические условия, которыми определялись: расчетные нагрузки (при загрузке более чем двух путей), погрешность нагрузки, динамические коэффициенты для различных элементов и допускаемые напряжения в железобетонных элементах, выполненных из бетонов высоких марок.

При расчете жеста на Калининской ж. д. для пролетного строения приняты марки бетона  $R_{st} = 210 \text{ кг}/\text{см}^2$  и  $R_{ct} = 260 \text{ кг}/\text{см}^2$ , а для мо-

ста на Октябрьской ж. д. — соответственно  $R_{st} = 250$  кг/см<sup>2</sup> и  $R_{st} = 300$  кг/см<sup>2</sup>.

Указанные технические условия в обоих случаях были утверждены ННПК.

Несмотря на то, что большинство переустроенных участков железных дорог расположено в Застроенной местности и характеризуется весьма тяжелыми топографическими условиями, лишь в двух случаях были допущены отступления от ТУ М 1934 г., выразившиеся в увеличении радиусов изгиба линий на подходах к станции и к мосту (пересечение с Калужской ж. д. и пересечение Савеловской линии Борисовской ж. д. на участке Тураев — Яхрома) до 450 м. Эти отступления были скомпенсированы специальным решением ННПК и постановлением СНК ССР.

При проектировании переустройства автогужевых дорог строительство новых рукохватов было соответствующим ТУ и Н.Ф. Цудоревика (выпуск 1933 г.). В проектах металлических пролетных строений межсекционных мостов учтены частично также нормы проектирования металлических мостов ННПК.

Городской мост на Хорошевском шоссе был запроектирован применительно к нормам проектирования московских городских мостов и ТУ и Н.Ф. Цудоревика (выпуск 1933 г.).

#### 2. ОПЫТНЫЕ ПРОЕКТИРУЕМЫЕ РАБОТЫ И СРОКИ ИХ ВЫПОЛНЕНИЯ

Выполненные при сооружении канала Москва—Волга работы по переустройству и постройке новых мостов, железнодорожных и автогужевых дорог имеют весьма значительный объем.

Всего в связи с постройкой канала построено новых и переустроено:

а) магистральные железные дороги (на отдельных участках общей длиной 215 км) в первом случае с односторонней ездой и с учетом становления путепроводов . . . . .	70 км
б) магистральные автогужевые дороги . . . . .	48,5 км
в) дороги местного значения, подсыпаных в изгибах магистральных дорог . . . . .	140 км
г) железнодорожных мостов (на счетах новых переустроенных сооружений) . . . . .	8 объектов
д) шоссейных мостов (на счетах новых переустроенных сооружений) . . . . .	14 .
е) путепроводов . . . . .	3 .
ж) траншей . . . . .	3 .
з) паромных переправ . . . . .	4 .

В табл. 2 приводятся подразделение построенных при сооружении канала искусственных сооружений на дорогах.

Таблица 2

Тип транспортных	На пересечениях с судо-			На пересечениях с другими наци-			Всего
	желез-	авто-	желез-	желез-	авто-	желез-	
дорогой	гужевой	дорогой	дорогой	дорогой	гужевой	дорогой	
Железные дороги . . . . .	2	2	—	1	2	—	5
Автогужевые дороги . . . . .	2	4	2	3	—	—	11

Основные данные, характеризующие выполнение работ по переустройству и сооружению наиболее крупных объектов дорог, приведены в табл. 3.

Таблица 3

№	Назначение выполненных работ и объемы	Площадь израсходованного участка в км <sup>2</sup>	Стоимость в тыс. руб.
а) По железным дорогам			
1	Перенос Савинской линии на участке Долгоруково—Шереметьевская . . . . .	4,9	1653,5
2	То же, между станциями Нарва и Турист . . . . .	4,0	2949,5
3	То же, между станциями Турист и Егорьевск . . . . .	2,8	
4	Переустройство Октябрьской ж. д. на перегоне Звенигород—Киев . . . . .	4,5	4 654,1
5	Переустройство Октябрьской ж. д. у р. Шоша (на участке Завидово—Редкино) . . . . .	9,2	16 150,3
6	Перенос Калужской ж. д. у Покровского-Стрешнева	2,7	2 140,9
б) По шоссейным дорогам			
1	Сооружение нового шоссе Дмитров—Б. Волга . . . . .	51,00	8 646,3
2	Отвод Рогачевского шоссе в Дмитрове . . . . .	2,29	1 932,9
3	Перенос Дмитровского шоссе на участке от Егорьевска до Туриста . . . . .	5,0	2 649,5
4	То же, между селениями Черногорье и Морозово . . . . .	10,40	2 361,3
5	То же, у Еланьинского подворья (участок села Хлебников) . . . . .	2,29	1 894,3
6	Сооружение пешеходной гравийной дороги между деревней Каналка и Пестовской в Пильниковской пустыни . . . . .	10,80	1 725,7
7	Отвод Рязановского шоссе . . . . .	1,81	383,6
8	Переустройство Ленинградского шоссе на участке Клин—Киев . . . . .	19,59	17 568,7
9	Переустройство Волоколамского шоссе у Покровской Губбони . . . . .	1,12	
10	То же, район г. Тушино . . . . .	1,42	1 520,7
11	Постройка автомобильных от Волоколамского шоссе и других пересечений через деревенский канал . . . . .	—	1 828,7
12	Постройка деревянной дороги между Водопроводским каналом и переходами в деревенских . . . . .	27,3	3 600

Всего по пересечениям и переустройсткам израсходовано земли на выполнение сметы 7,7 млн. м<sup>2</sup> земляных работ, из которых около 1 млн. м<sup>2</sup> приходится на переустройство Октябрьской ж. д. на перегоне Завидово—Редкино, сметы 1 млн. м<sup>2</sup> — на переустройство Ленинградского шоссе на участке Клин—Киев и 0,8 млн. м<sup>2</sup> — на перенос Калужской ж. д. у Покровского-Стрешнева.

Основные мосты из числа построенных из канала Москва—Волга характеризуются стоимостью и объемными показателями, приведенными в табл. 4.

Таблица 4

№	Название разводимого моста	Стоимость	Объем работ			Стоимость в тыс. руб.
			Бетон и бетонные работы	Металлургиче- ские работы	Монтаж и демонти- ровка	
<b>а) Железнодорожные мосты</b>						
1	Через канал (Широкий) на пересечении с Самарской линией между станциями Турист и Барска	3 229	18 732	434,4	2 819,7	3 773,1
2	Через канал на пересечении с Самарской линией у ст. Лебяжинской	—	6 329	31,8	221,0	1 405,1
3	Через канал при пересечении с Октябрьской ж. д. у ст. Канавы при перегоне Козьра-Канава	1 719	14 829	1 850,0	—	6 908,91
4	На пересечении Камышинской ж. д. со шлюзом № 8	1 084	11 810	480,5	59,8	2 859,3
Бюджетный						
5	Через р. Кекшуму на отводе Самарской линии между станциями Полигородка и Широкий	544	4 660	32,8	179,5	523,1
6	Через р. Сестру на перегоне Верблейский-Волга (Камышинской ж. д.)	458	1 209	2,1	261,5	1 211,1
7	Через р. Шему при Октябрьской ж. д.	712	6 229	5,5	722,9	
Стоимость мостов в стоимость будущего строительства ж. д. участка						
8	Путепровод Камышинской ж. д. через Волгоградское шоссе	—	3 390	33,7	3,1	
<b>б) Шоссейные мосты</b>						
1	Через канал на отводе Рыбинского шоссе в Димитров	—?	3 483	2,7	497,5	1 133,5
2	То же у ст. Барска на отводе шоссе Рыбкин-Димитров	258	1 209	0,6	268,0	1 438,5
3	Через отводящий канал Рыбинского водопрода при пересечении шоссе Димитров-Москва	294	1 380	121,0	—	
Стоимость мостов в стоимость переноса Димитровшоссе на перегоне Барска-Турист						
4	Через Камышинские водопроявления на отводе Димитровского шоссе у ст. Лебяжинской	256	1 548	7,5	560,0	1 294,7
5	Через Камышинские водопроявления на Димитровском шоссе	1 458	6 059	29,5	1 784,8	8 103,6
6	Через канал № 8 при пересечении с Михайловским шоссе	—	4 787	223,8	—	843,6

\* С временем обходов и испытаний. Стоимость постившего моста 4 294,3 тыс. рублей.

<sup>1</sup> Данных нет.

Продолжение табл. 4

№	Место расположения	Сроки	Объем работ				Стоимость работ в тыс. руб.
			Бетон в тыс. м <sup>3</sup>	Бетон и бут в тыс. м <sup>3</sup>	Бетон и бут в тыс. м <sup>3</sup>	Бетон и бут в тыс. м <sup>3</sup>	
7	Мост через Заречное озеро на Молдавской	2050	18 503	1 452	—	—	7 872,2 (затяжка под землю)
8	Путепровод Димитровского шоссе на Савинской линии (в районе ст. Турковец)	—	200	4,0	—	—	Стоимость изы- ема и стоимо- сть пере- стройки Димитровско- го путепро- вода между селами изыма Чернов и Но- рдешево
9	Мост через р. Ловать на Волоколам- ском шоссе	800	177	60,5	—	—	Стоимость изы- ема и стоимо- сть пере- стройки изы- мания шоссе у Покровско- го Гостинца
10	Рост через р. Садову на Волоко- ламском шоссе (район с. Тушино)	1 700	7 200	400,2	—	—	—
11	Мост через ручей Пересиренский на Ленинградском шоссе	207	1 800	80,8	—	—	Стоимость изы- ема и стоимо- сть пере- стройки изы- мания шоссе на пересече- нии Канавы — Кана- вой
12	Мост через речицкий канал Сосенской ГЭС на отрезке Волоколамского шоссе	—	3 700	184,8	—	—	Стоимость изы- ема и стоимо- сть открытия
13	То же	—	3 421	182,0	—	—	изыма шоссе

Общие характеристики объемов работ на построенных туннелях следуют из следующим показателем (табл. 5):

Таблица 5

Наименование и место расположения туннеля	Объем работ				Стоимость туннеля в тыс. руб.
	бетонные	бетон- ные	по уст- новлен- ным пра- вилам	Стоимость туннеля в тыс. руб.	
	в тыс. м <sup>3</sup>	в тыс. м <sup>3</sup>	в тыс. м <sup>3</sup>	в тыс. м <sup>3</sup>	
Туннель под головной школой № 1 (факультет шоссе Димитров — Б. Волгой) . . . . .	954,2	3,8	—	—	2 373,5
Волоколамский туннель под школой № 9	63,3	12,9	1 213,0	4 391,2	

Всего при сооружении мостов и туннелей выполнено около 150 тыс. м<sup>3</sup> бетонных и железобетонных работ, установлено свыше 6 000 т арматуры, забетоноено около 15 000 свай и смонтировано свыше 8 000 т металлоконструкций.

Сроки строительства дорожных и мостовых сооружений канала были вестки сжатые. Так, переносы Савеловской линии были произведены примерно в годичный срок (по участку Яхрома—Турист — с 1935 г. по ноябрь 1936 г., по участку Икша—Турист — с 1934 г. по ноябрь 1935 г.). Сдача на крупнейших автомобильных арочных железобетонных мостов — через канал № 8 — была начата востройкой в апреле 1933 г. и сдана в эксплуатацию уже 4 августа 1936 г.; четырехпутный железобетонный арочный мост на Октябрьской ж. д. был построен за 11,5 месяца и т. д.

## II. МЕТАЛЛИЧЕСКИЕ МОСТЫ

В настоящем разделе приводится подробное описание двух наиболее интересных и крупных металлических мостов, построенных на канале Москва—Волга: 1) железнодорожного моста на Савеловской линии, близ пилонов № 4 и 5; 2) шоссейного моста на Ленинградском шоссе через Химкинское водохранилище, близ г. Химок.

### ГЛАВА I

#### ЖЕЛЕЗНОДОРОЖНЫЙ МОСТ САВЕЛОВСКОЙ ЛИНИИ БЛИЗ ШЛЮЗА № 4

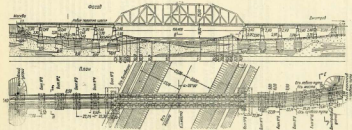
##### 1. ХАРАКТЕРИСТИКА МОСТА И ЕГО СОСТОЯНИЯ

Постройка моста была начата, как уже упоминалось, пересечением канала с Савеловской линией на перегоне ст. Турист (б. Введенская) — ст. Яхрома. В месте пересечения трассы железной дороги были перенесены на некое место, образуя с осью канала угол в  $64^{\circ}$  (фот. 26 и 27). Путь Савеловской линии Ярославской ж. д. в пределах московской подводной ветви моста в самом пересечении с каналом расположены на прямой и на изогнутой. С дмитровской же стороны трасса дороги расположена на кривой  $R = 600$  м и на уклоне. Таким образом московский устой и башни № 1—6 находятся на прямой и на изогнутой, а башни № 7—10 и дмитровский устой — на кривой и на уклоне. Ось самого южного в месте пересечения идет по кривой  $R = 1500$  м, следуя направлению долины р. Яхромы.

Геологический разрез, проходящий в районе расположения моста, лежит на пойму р. Яхромы, склонов московского бугра и дмитровского косогора на 100—200 м от оси канала.

Склоны дмитровского косогора сносятся сложными из песчано-глинистых грунтов, застилающих ее большую глубину. Склоны московского бугра образованы глиняным образом из песчаных грунтов (разнокристаллические пески с гравием и галькой, а также глинистые и глыбистые грунты); толща песков покрыта по склону супесевым слоем от 1,0 до 1,5 м; выше песков, на отм. 12—18 м, лежат толщи дренического-балочного супесей и суплинов.

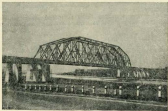
Самая долина р. Яхромы состоит из чрезвычайно вестерных изальствий залегающих супесей, распространяющихся на большую глубину. На дневной поверхности эти супеси имеют большое количество органических примесей (торф), а на большой глубине характеризуются пылевидной структурой с примесью слюды. Между супесями залегают прослойки гравийного песка, расположенные на 8—10 м от дневной поверхности. Мощность этих прослоек во отдельных сечениях имеет весьма переменную величину.



Фиг. 36. Фрагменты кирпичной перегородки из Соловецкой церкви между стоящими Егором и Туристом (указатель № 4).

Условные геологические условия потребовали особой осторожности в проектировании не только самого моста, но и подходов к нему.

Пробной забивкой свай была установлена возможность применения сухого основания, так как допускаемая нагрузка на сваю, исчисленная по откам, оказалась достаточной (в пределах 20—25 т).



Фиг. 27. Общий вид моста через канал между станциями Ярово и Турест.

## 2. ОПИСАНИЕ МОСТА

По требованию б. Наркомвода закрыло канал и для его бачинки надлежало перекрыть один из пролетов.

Генеральные размеры канала в месте пересечения его с железной дорогой устанавлены приблизительно к нормальному поперечному профилю канала на краевой  $H = 1.500$  м. В соответствии с этим профилем и с углом пересечения ( $64^{\circ}$ ) ширина между осями бачинок составила 134,0 м.

Высота судоходного габарита под мостом — 14,0 м.

Мост рассчитан на двухпутное колесно-дорожное движение магистрального значения под нагрузку Н<sub>д</sub>.

При выборе схемы моста основным моментом являлось правильное разрешение вопроса о подходах к мосту.

Во всех намечавшихся вариантах главный пролет перекрыт типичным металлическим однопутным строением расчетным пролетом 158,4 м. В отношении подходов имелись разные решения. В одном из них предлагалось сконструировать мост однодорельным на разделенных устоях, а подходы устроить на настилах.

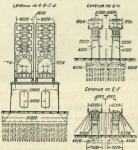
Однако в этом случае опоры, основанные на смесях, стояли бы под угрозу деформации от возможных в начальный период значительных осадок основания насыпи, грунты которого представляют собой избыточно торфянистые супеси, насыщенные водой; вероятные при осадках изменения выдержки грунта должны были сопровождаться дополнительными горизонтальными нагрузками, опасными для устойчивости опор. Переход на глубокие кессонные основания решительно ухудшил бы стоимость моста, не устранив необходимости возведения засыпки на избыточных торфянистых супесях.

Устройство опор в виде предварительно спрессованных настилов избавило возможности выполнить работы в заданные сроки.

На основании приведенных соображений и анализом остальных вариантов Строительство канала решено для обеспечения полной надежности береговых подходов и соблюдения срока окончания работ заменить имеющие подходы на достаточном противовесе железобетонными подходными эстакадами.

Главный пролет моста, перекрывающий канал с бечевниками, как и было изложено, огражден в виде таковых металлических пролетных строений с кондой волнизу, отдельных под каждый путь, расчетные пролеты 158,4 м.

Для береговых подходов было построено по пять пролетов с каждой стороны, перекрытых отдельными для каждого путя раз-



Фиг. 28. Поперечные разрезы моста через канал между станциями Бары и Турист.

结实ными железобетонными типовыми балочными пролетными строениями  $\ell = 21,0$  м (фиг. 27).

Высота под металлическими пролетными строениями — общие для обеих путей; опоры железобетонных пролетных строений на подходах — отдельные под каждый путь (фиг. 28). Все опоры моста бетонные. Основанием всех опор за исключением устоев и крайнего динтровского фикса служат деревянные сны  $d = 25$  см. Устои моста и крайний динтровский были основаны непосредственно на грунте.

Каждое пролетное строение подходных эстакад состоит из двух балок, соединенных между собой частью диафрагмы, в поверхности — железобетонной плитой, образующей балластное корыто. Арифметическое значение балок показано на фиг. 29. Высота ребра — 3,03 м. Толщина стены ребра у опор 0,60 м; в средней части балок на протяжении 15,70 м толщина стены ребра уменьшается до 0,40 м, причем наименьшая часть ребра сохраняет постоянную толщину 0,60 м по всей длине балок. Расстояние между осьми балок — 2,30 м.

Толщина диафрагмы — 0,35 м; четыре средние диафрагмы имеют основные размеры размером  $1,00 \times 0,60$  м.

Ширина каждого пролетного строения между опорами — 6,00 м, расстояние между осями смежных пролетных строений — 10,00 м.

Марка бетона пролетных строений принятая  $R_{cu} = 170 \text{ кг}/\text{см}^2$ .

Динамический коэффициент при расчете принят для ленты 1,30 и для блоков 1,20.

Наибольшие напряжения достигают: для бетона на сжатие — 63  $\text{кг}/\text{см}^2$  и на растяжение — 12,7  $\text{кг}/\text{см}^2$ ; для арматуры — 1300  $\text{кг}/\text{см}^2$ .

Нагрузка на одну сваю достигает 25,6 т.

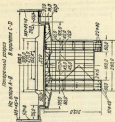
## II. РЕЗУЛЬТАТЫ ИСПЫТАНИЙ

Поязд, которым испытывались металлические пролетные строения, состоял из двух парковых серии Э' в Э'', сцепленных трубами вперед, и 15 двухосных вагонов.

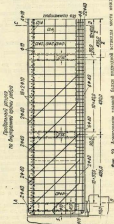
Эквивалентная нагрузка для середины пролетов от испытательного поезда без учета динамики составила 3,99 т/пог. м; эквивалентная расчетная нагрузка по схеме Н. равна 3,60 т/пог. м.

Средние величины упругих прогибов при статическом загружении оказались для середины обоих пролетных строений равными 28,4 и 27,4 мм. Величина остаточного прогиба при первом загружении получилась равной 7% от упругого прогиба; сравнительно небольшая величина остаточного прогиба, видимому, объясняется тем, что до испытания звота по нему пропущенысь рабочие поезды.

Расчетная величина статического прогиба от



Фиг. 10. Модель для испытаний на статическую нагрузку звота по нему пропущенысь рабочие поезды.



испытательной нагрузки составляет 41,9 мм, прогиб от нагрузки  $N_0$  равен 100,4 мм (с учетом давления). Конструктивная погрешность для пропуска равна в среднем:

$$\frac{1}{3} \cdot (28,4 + 27,4) \cdot \frac{1}{41,9} = 0,666,$$

т. е. можно сказать следующую величину прогиба от расчетной нагрузки:

$$0,666 \cdot 100,4 = 66,9 \text{ мм.}$$

Измерение фиброных напряжений в покрытии показало также, что эти напряжения ни в одном случае не достигают расчетной величины осевого напряжения. Ниже говоря, действительная жесткость временных строений оказалась больше расчетной.

Для выяснения работы металлических пролетных строений на динамическую нагрузку были проведены испытания двух видов: 1) с помощью вибрационной машины, установленной за середине пролета, и 2) пропуском испытательного поезда с различными скоростями.

Составление конструктивных погрешностей для прогибов от статической и инерционной нагрузки было получено среднее значение конструктивной погрешности — 0,625.

На основании результатов испытаний исходной нагрузкой металлических пролетных строений обоих путей за наибольшее значение динамического коэффициента принята величина 1,070, полученная при проходе поезда со скоростью в 24—25 км/час. Расчетная величина динамического коэффициента составляет  $1 + \frac{30}{30} + 158,4 = 1,143$ , т. е. превышает полученную при испытании вынужденную максимальную величину.

Правительственная комиссия по приему сооружений канала Москва—Волга признала качество работ по сооружению отмечаемого здесь моста отличным.

## ГЛАВА II.

### МОСТ НА ЛЕНИНГРАДСКОМ ШОССЕ ЧЕРЕЗ ХИМИЧЕСКОЕ ВОДОХРАНИЛИЩЕ

#### I. ХАРАКТЕРИСТИКА МЕСТА ПЕРЕСЕЧЕНИЯ

В связи с пересечением канала Москва—Волга Ленинградским шоссе потребовалось переустроить соответствующий участок этого шоссе и соорудить мост через водохранилище канала.

Шоссе образует с бьефом судового хода угол в  $32^{\circ}25'$ .

По данным геологических изысканий было установлено, что коренные породы в месте пересечения канала с дорогой залегают достаточно глубоко и состоят в большей части из глинистого песка, супеси и суглинка.

В месте расположения Ленинградского устья и бьефа имеются супеси, идущие до отм. 66,00 м; выше, до отм. 49,00 м, встречается глинистая супесь; ниже, до отм. 26,70 м залегает слой глинистого песка (коренные породы).

Под опорами мостовой стороны до отм. 48,00 м залегают супеси со щебнем и гравием; выше, до отм. 45,00 м, расположена линза глинистых песков, под которой до отм. 39,00 м лежит глинистая супесь; еще выше находятся коренные породы в виде глинистых песков.

Подошвы фундаментов всех опор заложены на отметку 48,00 м — на слое глинистого песка.

Основные требования, предъявляемые к мосту, сводились к следующему:

1) высота судоходного барбетта над водой — не менее 14,00 м на протяжении 84,00 м;

2) наличие судоходного отверстия в своде — не менее 100,00 м;

3) ширина проездной части моста — 12,0 м, пропуздры — по 1,50 м;

4) мост должен быть рассчитан на автомобильную нагрузку по схеме Н<sub>12</sub>.

## 8. ОПИСАНИЕ МОСТА

Мост трехпролетный с металлическими пролетными строениями, пролеты которых равны 81,0 + + 125,0 + 81,0 м (фиг. 30 и 31).

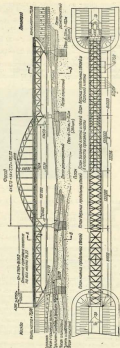
Пролетные строения главного пролета представляют собой сквозную консольную арку с повышенной затяжкой.

На консолях арок опираются береговые пролетные строения в виде однокосельных базовых ферм с треугольной решеткой.

На консолях береговых пролетов опираются железобетонные плиты, служащие для сопряжения моста с насыпью.

Пролетные строения изготовлены из стали марки Ст. 3.

Каждая из опор моста представляет собой два отдельных столба, связанных поверху железобетонной распоркой и опирающихся на один общий массивный фундамент, основанный на дурноземных суглянках (фиг. 32).



Быки имеют во подошве фундамента размер  $11,60 \times 25,30$  м и опираются на деревянных сваях  $d = 28$  см, забитых в количестве 364 шт. под каждым быком.

Устои — размером по подошве фундамента  $10,40 \times 25,40$  м—такие основания на деревянных сваях  $d = 29$  см, под каждым устоем забито 360 свай.

Наибольшее давление на сваю  $d = 28$  см составляет 19,4 т, а на сваю  $d = 29$  см это равно 21,5 т.

Фундаменты — из бетона марки  $R_{28} = 130 \text{ кг}/\text{см}^2$ . Тело опор — из бетона марки  $R_{28} = 170 \text{ кг}/\text{см}^2$ .

Арочные фермы главного пролета имеют расчетный пролет 135,0 м и консоли по 11,5 м. Расстояние между осями ферм 11,50 м. Ферма работает в монолитной части на 18 панелей; длина краинок от опор



Фиг. 31. Общий вид моста через Хименскую водопроводную.

панелей — по 6,73 м, остальных — по 7,72 м; панели краинок имеют длину по 6,73 м.

Затяжка поставлена на уровне вторых узлов фермы.

Высота арок над опорой — 10,69 м, а в ключ — 4,00 м. Стrela подъема от середины арок до центра затяжки равна:

$$l = 18,96 \text{ м}; l : l = 1 : 5,79.$$

Очертание панелей арок принято по параболе со стрелой для верхнего пояса 20,82 м и для нижнего пояса 17,50 м.

Очертание затяжки принято также по параболе со стрелой подъема 0,34 м с целью предления продольного уклона проезжей части моста.

Определение усилий в элементах фермы произведено из условия, что ферма должна работать как двухшарнирная арка с затяжкой.

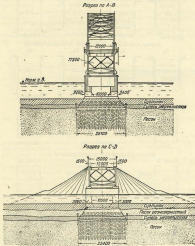
Во время монтажа эта ферма являлась трехшарнирной аркой с затяжкой за счет временного третьего шарнира, устроенного в середине пролета арок в узле нижнего пояса. На трехшарнирную арку с затяжкой передавалась основная часть постоянной нагрузки (если гантелей фермы, свай и все металла проездной части).

После замыкания временного шарнира трехшарнирная арка превращается в двухшарнирную, принимающую также и оставшуюся часть постоянной нагрузки (металлы проездной части, асфальт) и всю временную нагрузку.

У панелей фермы сечения — двухстенчатое. Первый пояс в пролете имеет П-образное сечение с утолщами, обращенными наружу. В верх-

ким пойм в пределах конусов, а также по всем извилинистым склонам швейцарского типа по двум вертикальным синечкам с утолщами наружу. Сечение листьев аналогично сечению извилинистого пойма, но с утолщами, обращенными внутрь сечения (фиг. 13).

Стойки в пределах от борты до палубы имеют склонное Н-образноеечение с утолщами верхней. Стойка-поддеска на конце козла —



Фиг. 32 Планування підйому моста через Дніпровський водосховище.

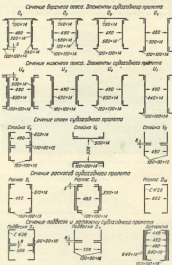
двухстенчатого шкальерного типа. Остальные стойки — двухпирсового решения из четырех уголков.

Ракохвост в пределах вида и от сородичей до сестричек имеет двухстепенное очечки шинельного типа, склонившие на листья и утолщенные ракохвосты — того же типа, но не покрытые шинелями.

Подвеска — двухшарнирного сечения на четырех узлах; подвеска в трех *B*, № 2 и *J* кроме того оснащена шарнирами.

Заслуженные звания: Заслуженный артист РСФСР, Заслуженный деятель искусств РСФСР.

Для образования на время монтажа трехшарнирной арки был уст-  
ройен временный шарнир в узле II нижнего пояса, а элементы веро-  
чного пояса II и IV не были склеены между собой. После снятия



Фиг. 33. Сочетание поясов и других элементов пояса через Химически  
взаимодействие.

ферм с подиностями элементы II и IV были склеены и шарнир тем самым был ликвидирован.

Небольшой строительный подъем передних главного пролета равен 248 мм, соответствующе принятому подъему консолей отступлениями 22 мм.

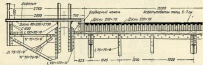
Продольные связи в плоскости проездной части на протяжении консолей являются верхними связями, а за протяжением консолей — ниж-  
ней.

нами. Система связей — полурастяжная. Распорыами служат главные поперечные балки. Сечение раскосов связей образовано из одного уголка.

В плоскости верхнего пояса арок связи — разобщической системы. В пределах первых двух панелей арочного пролета верхние связи прерываются и заменены порталовой рамой. Сечение распектов связей — крестовин из двух уголков. Сечение распорок — двутавровое из четырех уголков.

Связь в плоскости земного побоя на протяжении коридоров — ползуческой системы; от изогнутого узла до звезды — ромбической системы; далее эти связи переходят в плоскость звезды.

Кроме продольных сизий промежуточные строения включают и себе такие поперечные сизи, расположенные в цепочками и боковыми пролетами через одну панель в плюсостях стоеч.



Фиг. 34. Конструкция промежуточной части судоводного проекта эсминца типа Ханенкевич подводного плавания.

Пролетная часть моста образована из металлической балочной клетки, поддерживаемой деревянной асфальтированной пристыжарикового типа (фиг. 34). Сечение досок  $21 \times 7$  и  $22 \times 7$  см. По доскам уложены слой асфальтобетона толщиной 5—7 см.

Уголки и напряжения в элементах фермы приведены на фиг. 35, показывающей работу элементов.

Самоопорные фермы бараньих профилей имеют переменную высоту. Пролет ферм равен 67,50 м; длина консолья — 11,50 м. Решетка ферм — тонкостенная с дополнительными стойками.

Ферма разбита на 12 панелей длиной по 4,75 м. Высота фермы над береговыми баками — 9,06 м, в месте открытия на консоль фермы судоходного прохода — 8,24 м; в середине между отверстиями — 7,56 м.

Верхний пояс имеет с уклоном 2%, левый — горизонтален в пределах между опорами, в пределах же консольной — ломанный. Сопряжение моста с насыпью устроено с помощью железнобетонной плиты, опиравшейся со стороны фирмы на краину подпорную балку, а со стороны берега на специальную легкую железнобетонную опору. Расчетный пролет плиты = 4,11 м при полной длине берегового пролета 4,28 м; толщина плиты = 19 см.

## 2. РЕЗУЛЬТАТЫ ИССЛЕДОВАНИЯ

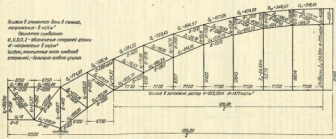
В качестве испытательной нагрузки были использованы нагрузки автомобилей ЗИС-5 полным весом по 6,5 т. Автомобили устанавливались в четвере линии с интервалами 4,0 м ось от оси в продольном направлении и 3,1 м между колесами соседних машин в поперечном направлении. При максимальной загрузке пристенного строения на него было введено 64 автомашины. Испытательная нагрузка составила около 87% расчетной.

*Shuster & Associates - David Shuster  
Consultant - Author*

#### **Section summary**

*W. K. B. S. Z - մենական շաբաթ պահա-  
ժամանակում ի ըստ:*

*Identifying, distinguishing among, and applying principles, -theoretical and/or empirical*



Фиг. 12. Схема формул гидравлического метода изучения биомассы планктонных водорослей.

Прогиб в середине главного пролета при статической загрузке моста колебался в пределах от  $\frac{1}{4220}$  до  $\frac{1}{4500}$  расчетного пролета. По проекту прогиб должен был составить  $\frac{1}{1750}$ . Так как испытательная нагрузка составила 0,87 от расчетной, то отношение замеренного наибольшего прогиба к расчетному определяется так:

$$\frac{1750}{4500 \cdot 0,87} = 0,45.$$

Для концов консольей главного пролета при аналогичном испытании наибольший прогиб получился равным  $\frac{1}{680}$  от вылета консоли.

По данным расчета этот прогиб должен быть равен  $\frac{1}{450}$ . Следовательно отношение замеренного наибольшего прогиба к расчетному в данном случае равно:

$$\frac{680}{450 \cdot 0,87} = 0,76.$$

Для боковых пролетных строений прогибы при статическом действии испытательной нагрузки также были значительно ниже соответствующих расчетных значений.

Измеренные напряжения в элементах пролетного строения сильно отличаются от расчетных. Так, в элементах главного пролета обнаруживаются низкие конструктивные напряжения и нормы покоя (0,41—0,58) при весьма высоких конструктивных напряжениях в элементах покоя (1,04—1,66).

Характерна также весьма слабая работа затяжек, напряжения в которой колебались в пределах от 0,16 до 0,35 от расчетных напряжений.

В подвесках моста место значительной перегрузки внутренней ветви; среднее напряжение здесь достигало 270—332 кг/см<sup>2</sup>, между тем как в наружной ветви оно колебалось в пределах 0—87 кг/см<sup>2</sup>.

Динамическое испытание моста заключалось в определении вертикальных и горизонтальных колебаний пролетного строения. Испытание проводилось двумя тракторами ЧТЗ совместно с двумя грузовыми машинами ЗИС, каждая из которых была загружена трехтонной нагрузкой. Результаты испытания показали, что временные строения обладают в уровне проезжей части значительной горизонтальной жесткостью. В то же время возбудимость пролетного строения в отношении вертикальных колебаний оказалась побывыше, что до некоторой степени оказалось компенсировано большими коэффициентами затухания.

Правительственная комиссия по приемке моста отметила, что описываемый в настоящей главе мост заслуживает особого внимания, а качество работ по оборудованию моста признали отличным.

### III. ЖЕЛЕЗОБЕТОННЫЕ МОСТЫ

## А. ХИМКИНСКИЙ ЖЕЛЕЗНОДОРОЖНЫЙ МОСТ

### ГЛАВА I

#### ОБЩИЕ ВОПРОСЫ ПРОЕКТИРОВАНИЯ И ПОСТРОЙКИ

##### 1. ХАРАКТЕРИСТИКА МЕСТА ПРОЕКТИРОВАНИЯ

Как уже упоминалось выше, мост пересекает линию Ленинград—Москва Октябрьской ж. д. у ст. Химки. В этом месте канал проходит по глубокой долине р. Химки, образуя Химкинское водохранилище.

В месте пересечения высота железнодорожной насыпи выше дна достигает 21 м. При сооружении железной дороги насыпь была отсыпана на под для железнодорожных путей; вследствие (до сооружения канала) были произведены подсыпки насыпи для укладки третьего пути.

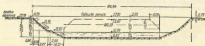
Река Химка до сооружения канала протекала под железнодорожной насыпью в трубе с фильтром 4,26 м (фиг. 26). Построено канала потребовало замены этой трубы мостом.

Геологические разведки, произведенные в месте прокладки канала буровыми скважинами на глубину 40 м, показали слои 2,5—3,0 м состоящие из суглинков и среднепесчанистых песков, частично включавших гальку и глинистые



Фиг. 26. Нынешний Октябрьской ж. д. в трубе, пропущенной р. Химке.

луковиц: верхние слои долины на глубину 10—15 см состоят из суглинков с грунтами; ниже, на глубину до 24,0 м, переключаются слои зелено- и серовато-зеленых песков, частично включавших гальку и глинистые



Фиг. 27. Подкосовой габарит Химкинского железнодорожного моста.

шески; под этим слоем залегает сухая южночтко-около 6,0 м, подстилаемая юрской глиной. Все слои выше юры насыпаны водой.

Подмостовой габарит Химкинского моста был задан в виде прямоугольника со скосами по углам (фиг. 37); горизонтальный размер — 100,0 м; наименьшая ширина пролетного строения над судоходным горизонтом воды 12,90 м.

На заданного габарита вытекали два условия: 1) мост должен быть однопролетным; 2) железнодорожное полотно должно быть поднято на 3,50 м.

В отношении сооружения моста органами НКПС были предъявлены следующие требования:

1) опоры моста в связи с необходимостью постройки в ближайшее время четвертого пути должны быть изозвезены сразу же под четыре пути;

2) пролетные же строения моста должны быть устроены под три пути;

3) все работы, связанные с постройкой моста, должны быть проведены без нарушения нормальной эксплуатации железнодорожной линии и кроме того должны быть обеспечены возможности дальнейшего увеличения пропускной способности дороги (устройство четвертого пути).

## 6. РАСПОЛОЖЕНИЕ МОСТА И ОБХОДНЫЕ ПУТИ

В отношении расположения моста могло быть два решения:

1) мост перенесен налево в сторону от существующей насыпи;

2) мост строится в пределах существующей трассы.

Преимущества первого решения лежащих в следующем:

1) можно было обойтись без устройства обходных путей, сохранив железнодорожное движение за существующими путями;

2) вследствие большого срока работ представлялась возможность небольшого производства бетонных работ зимой;

3) для новой насыпи можно было бы использовать грунт, разрабатываемый в «Глубокой» канаве;

4) наименее процесса производства работ по сооружению моста не связывались с требованием безопасности железнодорожного движения на близком обходном пути.

С другой стороны, принимая такое решение, приходилось учитывать следующие неблагоприятные обстоятельства:

1) сложность подмостей для пролетного строения, обусловленную большой высотой моста;

2) значительное увеличение объема земляных работ в связи с необходимостью сооружения новой насыпи подводкой (под четыре железнодорожных пути);

3) ухудшение эксплуатационных условий для железнодорожной будущем, так как существующие промолейские пути получили в этом случае значительное измельчение;

4) большую стоимость сооружения;

5) удлинение срока окончания строительства.

Взвесив все преимущества и недостатки обоих решений (в частности и с изображениями, приведенные в гл. IV, разд. I), Строительство канала принял второй вариант, т. е. возведение моста на старой трассе.

Обусловленные принятым решением обходные пути были уложены в основном на присыпке к откосу существовавшей железнодорожной насыпи, а в пределах сооружаемого моста — на деревянной ветоши, расположенной в непосредственной близости к строящемуся мосту, так как оток обходных путей от существующей трассы

был назначен минимальный (в целях уменьшения объема земляных работ).

Сооружение деревянной эстакады в средней части обхода определялось двумя обстоятельствами: во-первых, наличием трубы и необходимостью пропуска вод р. Хамки; во-вторых, возможной котловановкой под опоры (столбы) моста в существующей насыпи и невозможностью вследствие этого поддергивать обходные пути на земляной приямке в границах котлованов опор.

Для обеспечения большой безопасности движения грузов и облегчения производства работ в эстакаду были включены металлические пролетные строения с одинаковыми (по числу имеющихся в запасе у Сокольбрейской ж. д.) пролетами от 16,00 до 32,25 м. Длина эстакады, составившая 201,4 м, определялась расстоянием между задниками границы стоянок котлованов плюс полуторный откос насыпи в каждую сторону.

Сокольбрейская ж. д. предъявила следующие требования к устройству обходного пути:

- 1) обход должен быть двухпутный и в одинаковом уровне с существующими путями;
- 2) скорость движения немедленно после переключения его на обход должна быть не выше 25 км/час, а после обкатки — 50—60 км/час.

Сообразуясь с тем, что движение по обходному пути должно было производиться в течение года, а также учитывая неподалеку железнодорожного движения на магистрали, обходную эстакаду сконструировали по типу железнодорожного деревянного моста при новейших допускаемых напряжениях.

Конструкция эстакады со стороны ленинградского конца приведена на фиг. 38.

Схема расположения в поперечном направлении обходной эстакады моста дана на фиг. 39. Общий вид эстакады приведен на фиг. 40 и 41.

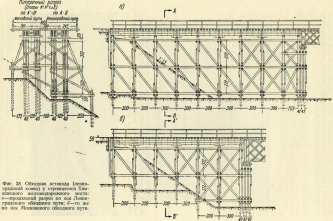
Правильное решение в отношении расположения моста на обходных путях потребовало применения особых мероприятий (затяжных книж) при устройстве оснований моста, так как котлованы опор были расположены в непосредственной близости от опорных кустов под металлическими формами обходной эстакады.

#### а. Число путей на мосту

Несущимся в дальнейшем увеличение пропускной способности головного участка линии Ленинград—Москва побудило НИТИС, как выше было указано, предъявить требования о возведении опор сразу же под четыре пути и в части пролетного строения обеспечения немедленной укладки трех путей.

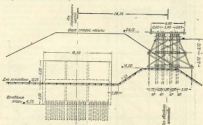
При проектировании пролетных строений согласно ТУ НИТИС было принято, что расчетная временная нагрузка для двухпутных пролетных строений составляет  $\Phi 50$  от полной нагрузки двух однопутных и  $\Phi 60$  и  $\Phi 80$ , если пролетные строения рассчитываются на проладку трех и более путей.

Соответственно этому при устройстве трех однопутных пролетных строений трёхпутного моста нужно было бы запроектировать на на полный вес трех расчетных составов по схеме НИТИС, между тем как при пропуске четырех путей во двум двухпутным пролетным строениями они проектируются только на  $0,9 \cdot 2 \cdot 2 = 3,6$  расчетного состава. Для двухпутных пролетных строений давать возможность иметь четыре пути на мосту сразу же при сравнительно небольшой дополнительной затрате на пролетные строения, а объем котлована опор при этом решении значительно уменьшается по сравнению с котлованной устойки под четыре однопутных пролетных строения. Еще более разумным



Фиг. 38. Схематичные сечения башкирской линии в окрестностях Башкирского железнодорожного моста:  
а—продольный разрез по оси Башкирского обводного путя; б—то же по оси Романовского обводного путя.

являются решения о конструкции одного четырехпутевого пролетного строения, поскольку в этом случае расчетные временные нагрузки равняются  $0,8 \cdot 4 = 3,2$  расчетного состава, а размеры опор могут быть еще более уменьшены.

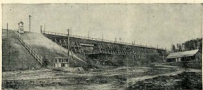


Фиг. 39. Схема расположения обходной магистрали.

Эти соображения и привели в конечном счете к постройке моста сразу же под четыре пути.

#### 4. УСТРОЙСТВО ОСНОВАНИЙ И ОПОР

В отношении устройства оснований и опор моста была поставлена задача о возможном уменьшении объема кладки и упрощении работ, связанных с устройством опор, что в первую очередь, исключало отказ от плавбоков (в частности высоконапорных) оснований.



Фиг. 40. Общий вид обходной магистрали.

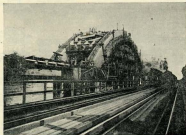
После рассмотрения целого ряда вариантов заливочных опор моста было принято (в соответствии с очертаниями дна канала и уровнем грунтовых вод) на фты. 4,25 м с устройством свайного основания (отметкой для р. Хитова) фты. 4,40 м; горизонт воды колебался в ней в пре-

длжно отк. 6,00—10,00 м). Данные бурения показали, что ниже отк. 4,25 м налагаются мощные слои мелко- и среднезернистого песка с частичными включениями гальки и гравийных щебней.

При проектировании опор были поставлены следующие обязательные условия:

1) давление на основание от постоянной нагрузки должно быть равномерным;

2) наибольшее давление на основание не должно превышать той нагрузки, которую приносит на отметку заложения оснований испытывал под тяжестью выложивших слои грунтов и насыпи;



Фиг. 41. Обходная эстакада и строящийся мост.

3) для большей надежности сооружения основания это должно быть устроено на деревянных сваях.

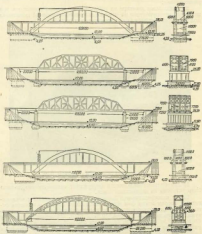
Ввиду недостаточной близости обходной эстакады к складываемым опорам моста был принят следующий способ устройства оснований: в открытых котлованах производится разработка существующей насыпи лишь до отк. 10,25 м (фиг. 39); ниже, на глубину 0,6 м, т. е. до отк. 4,25 м, опускается железобетонный колодец, образующий во время работ перемычку, внутри которой производится забивка свай. Устройство такой опускной железобетонной перемычки обеспечивает устойчивость грунта, окружающего опору, и следовательно и устойчивость опор обходных путей.

## ГЛАВА II

### ВЫБОР ТИПА МОСТА

Проектное задание моста составлялось дважды. В первый раз оно разрабатывалось на основе первоначально заданного габарита камаза, согласно которому требовалась постройка однопролетного моста с полномостным габаритом 85,4 м в свету (по судоходному расчетному горизонту) и с возведением низа ферм на 11,25 м. Разработанные в связи с этим одиннадцать вариантов в достаточной степени вынуждали

основные вопросы о глубине заложения опор и числе путей на мосту. При второй разработке проектного задания, произведенной в соответствии с окончательно установленным увеличенным габаритом канала, поэтому потребовалась доработка только пяти дополнительных вариантов. Ниже приводятся краткие характеристики этих последних вариантов (фиг. 42 и 43).



Фиг. 42. Пять вариантов Хандинского моста (вторичная разработка проектного задания).

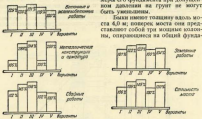
#### I. Варианты металлического балочного моста.

Вариант 2. По этому варианту мост проектировался трехпролетным с отверстием в свету  $21,0 \times 186,6 + 21,0$  м.

Средний пролет, обусловленный судоходным габаритом, покрыт двумя двухпутными металлическими пролетами стреловидного металлического очертания с сайдой поверху; расчетный пролет их — 109,2 м.

Боковые пролеты покрыты однопутными металлическими тяжелыми балочными пролетными строениями, с сайдой поверху. Расчетный пролет их — 28,0 м. Величина этого пролета, определенная

другим факторам — стоимостью пролетного строения и стоимостью устоев, подобрана таким образом, чтобы сумма этих стоимостей была наименьшей: при увеличении указанной величины пролета возрастает кубатура устоев, а при удлинении пролетного пролета возрастает вес металла и уменьшается объем почвы у оснований, так как размеры его фундамента при допущенном давлении на грунт не могут быть уменьшены.



Фиг. 43. Динамика основных показателей по пяти вариантам Камского моста.

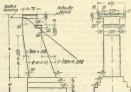
мент и перекрыты поверху асфальтобетонной балкой высотой 3,0 м. Основание балок — свайное; закладка фундаментов — в открытых котлованах.

Устои моста (объемного типа, своеобразной конструкции) запроектированы отдельными под каждые два пути. По своей конструкции эти устои аналогичны устоям варианта 3 (см. выше).

Вариант 3. Этот вариант моста по фасаду не отличается от варианта 2. Разница заключается в том, что под каждый асфальтодорожный путь запроектировано самостоятельное пролетное строение. Устройство отдельных пролетных строений приемлемо потому, что это давало возможность временно избыточную настройку пролетного строения под четвертый путь и тем самым снизить первоначальную потребность в металлоконструкциях.

Наличие четырех отдельных пролетных строений потребовало более широких опор. Устои были запроектированы отдельными под каждый путь в целях возможного дальнейшего уменьшения объема кладки.

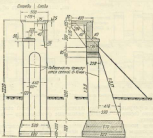
В обоих рассмотренных вариантах при конструировании устоев необходимо было вследствие значительной их высоты (до 24 м) достичь возможного уменьшения собственного веса устоев и разгрузки



Фиг. 44. Устой по типу I Типографии.

фундамента от давления земли при условии соблюдения равномерности передачи давления на грунт. Обычного типа обсипной узел (типа I Гибротранса), изображенный на фиг. 44, создает в данных условиях стойль значительное давление на грунт, что разрушение свай не представляется возможным. Об этом можно судить хотя бы по тому, что только вес пустого столба задней подобного узла (без временной изогнутки, веса проекции спиральной и давления от прямой обсипки высотой 24 м) создает давление на грунт около 8,5 кг/см<sup>2</sup>.

Применение узлов типа II Гибротранса (фиг. 45) тоже создавало бы значительное давление на грунт, так как устройством проска-



Фиг. 45. Узлы по типу II Гибротранса.

увеличиваются лишь кубатура кладки, а вес засыпки землей не снимается с фундамента. Сама же конструкция такого узла в виде отдельных насосов, не связанных между собой, стоков выливает некоторые опасения. Кроме того в этом узле не обеспечена надежность устойчивости из-за сдвигов.

Найду возможного был разработан применительно к данным условиям узел коробчатого типа (фиг. 46). Благодаря конструкции, устроенной по задней грани фундамента, позволяет без значительного увеличения кладки искусственно совместить кривую давления с центром тяжести основания для получения равномерного давления на грунт. Наибольшее давление на грунт для этого узла составляет 4,09 кг/см<sup>2</sup>.

## 2. Варианты железобетонного арочного моста

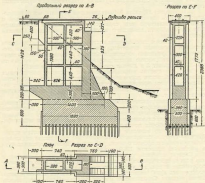
Основной идеей вариантов железобетонного моста является прохождение всех четырех путей по одному пролетному строению. Железобетонный мост запроектирован в двух вариантах: с большим пролетом  $L = 129,6$  м по варианту 1 и с меньшим пролетом ( $L = 116,0$  м) по варианту 4. Отношение  $L:f$  в обоих вариантах равно 1:4. В обоих случаях мост перекрывается двумя отдельными арками, причем проекция часть расположена на подпорах и частично на стойках. Протяженность арок запроектирована между арками, а

крайних путей — на консолях спаржен арок. Более подробно конструкция железобетонного моста рассматривается в гл. III настоящего раздела.

### В. ВАРИАНТЫ МЕТАЛЛИЧЕСКОГО ДРОШНОГО МОСТА

Вариант б дает решение той же задачи, т. е. пропуска четырех путей по одному промежутку строению, с использованием стали в качестве материала промежутого строения.

Основные размеры моста: расчетный пролет — 112,0 м, расчетная стрела — 28,8 м ( $f/l = 1:4,08$ ).



Фиг. 48. Узел по типу III Гипрограна.

Арка — двухизогнутая, сквозная, серповидного очертания. Расстояние между осями первых арок в пакете — 5,0 м, южным ско уменьшается до 3,0 м. Расстояние между осями арок — 10,2 м. Длина пакета (расстояние между поперечными балками) — 8,0 м; это расстояние пересекается продольными балками — по две балки под каждым путем. Деформационный шов для линии пересечения арок с проездной частью.

### Г. СРАВНЕНИЕ ВАРИАНТОВ И ВЫБОР ТИПА МОСТА

Сравнение основных характеристики указанных пяти вариантов приведено на фиг. 49 в процентах, причем сравнение объемов работ производено в соответствующих объемных и весовых показателях.

Необходимо отметить, что при окончательном сравнении вариантов в общую стоимость моста по варианту 3 не были включены расходы по возведению четвертого промежуточного строения.

Результаты приведенных сравнений показали, что устройство моста сразу под четыре пути вместо трех не приводит к увеличению капитальныхложений и случае применения металлического промежуточного строения, в случае же железобетонного приводят даже к их снижению.

По группе металлических балочных мостов, основанных на таврово-заклоняемых схемах, а также учетывая неизвестную внешнюю форму моста по варианту 3 (устройство четырех отдельных промежуточных строений), для окончательного сравнения решено было выделить вариант 2 с двумя двухважутными металлическими пролетными строениями.

В отношении варианта 5 (металлический арочный мост) необходимо отметить параллель с удовлетворительным его внешним видом и примерно одинаковой его стоимостью с вариантом 2, но сколько большие трудности заводского изготовления и настолько больший расход металла.

Что касается железобетонных мостов, то вариант 4 характеризуется меньшим расчетным пролетом, чем вариант 1, и наименее стоимостью по сравнению со стоимостью всех остальных четырех вариантов. Железобетонные мосты дешевле металлических примерно на 30—35% фиксант 3 вдвое сравнению не распространяется).

Учитывая степень разработки южным вариантом поставленных задач, в особенности достижимую экономию металла и конструктивно-архитектурные оформления моста, необходимо было из первых место выделить вариант 4. Экономия металла достигла в этом случае около 2 000 т.

Общее преимущество железобетона как материала для промежуточных строений устанавливается еще тем обстоятельством, что его применение обеспечивает наиболее быстрый срок сооружения моста (благодаря возможности использования недорогих материалов и механизированных работах почти для всего объема работ).

Принимая во внимание все соображения, Строительство канала Москва—Волга и остановившись окончательно на варианте постройки железобетонного арочного моста под четыре автомобильных путя с расчетным пролетом 116,0 м (фиг. 47).

Следует отметить, что этот железобетонный мост более чем в два раза превосходил по пролету построенные в СССР до него железобетонные мосты, и с учетом его грузоподъемности (четыре автомобильных путя) является одним из выдающихся мостов в мире. Таким образом Строительство канала Москва—Волга, отказавшись от избранного решения, склона привело совершенно новое в практике мостостроения решение.

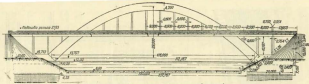
## ГЛАВА III

### КОНСТРУКЦИЯ МОСТА

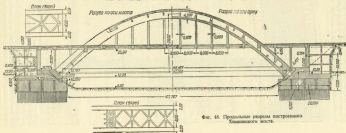
#### I. ОПИЧИСТЫЕ АРКИ И СИДИ

Пролетное строение моста состоит из двух отдельных арок парabolicкого очертания с жестко заделанными пятыми; расчетный пролет арок — 116,0 м; расчетная стrela — 29,0 м. Для уменьшения собственного веса и сохранения излишней большой жесткости арки предложено пустотелое арочное сечение с внешним промежуточным очертанием (фиг. 48 и 49).

Высота арок в замке равна 4,20 м, в пяте — 5,42 м; ширина арок — 3,00 м. Толщина боковых вертикальных стенок сечения арок —

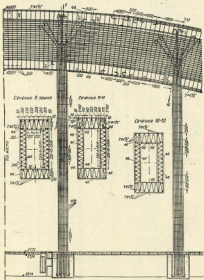


Фиг. 42. Фасад Крымского моста (архитектурный вариант).



Фиг. 43. Прудильные размеры построенного Крымского моста.

0,60 м. Толщина верхней и нижней горизонтальных ставок — переменная; в замке она составляет 0,70 м, увеличиваясь к пятым до 1,16 м. Увеличение толщины горизонтальных ставок осуществляется также



Фиг. 49. Архитектура Живописного моста — рисунок при уединении прарта.

образом, что внутренний проем арок остается постоянным: высотой 2,80 м и шириной 1,20 м.

Доступ во внутренний проем каждой арки осуществляется через две позолоченные металлические двери, расположенные в боковых стенах с внутренней стороны арок на уровне проезжей части (по одной двери с каждого конца моста). Двери сооружены в виде крутых

арков, основой которых является круглые спиральные металлические кольца (из 20-килограммовой стали), забетонированные в боковую стенку арки.

Расстояние между осями арок — 11,0 м. Связь между арками осуществляется распорками и диагоналями, образующими в плане ромбическую систему связей.

В оси средней занавески связи расположены над проездной частью, в двух крайних (в ванте) занавесках — под проездной частью (фиг. 48). Ромбическая система связей прерывается в целях пропуска поездов между арками, жесткость же соединения арок между собой обеспечивается устройством портальных.

Нагрузка на арки передается подвесками и стойками, расположенным на расстоянии 3 и друг от друга. В узлах премыкателей подвесок и стоеч арок сплошности диафрагмами толщиной 0,75 м, расположенным нормально к продольной оси арок. В диафрагмах оставлены отверстия 1,20 × 0,70 м для сообщения между пустотами отдельных участков арки.

В пятовых частях, на протяжении 4,10 м, арки приданы сплошное сечение, так как на эту длину требовалась прочность запуска арматуры для заделки пяты в бетонную подушку устоев.

Арматура арок состоит (фиг. 49 и 50) из продольных стержней диаметром 1½" и 1". Стержни  $d = 1\frac{1}{2}$ " расположены по верхней и нижней параллельным границам сечения арок; по боковым параллельным границам, а также по контуру внутреннего профиля расположены стержни  $d = 1"$ . Все продольные арматуры связаны хомутами  $d = 6$  мм, образующими зигзагообразную систему, плоскость которой нормальна к оси арок; в этой же плоскости находятся прямые хомуты  $d = 8$  мм, идущие на всю высоту арок; так как бетонирование сечения арок выполнялось в два приема, то вертикальные хомуты имеют стык; плоскости хомутов отстоят друг от друга на расстоянии 30 см по оси арки.

Закругленное сечение арок армировано на 0,98% (считая по продольной арматуре); расположение арматуры — однорядное (фиг. 49); горизонтальное расстояние между осями стержней в среднем 320 мм.

Сечение арок в четырех пролетах (фиг. 6 и 7) армировано на 1,20%; (также по продольной арматуре) с двухрядными расположениями стержней  $d = 1\frac{1}{2}$ "; горизонтальное расстояние между осями стержней — от 150 до 320 мм.

Армирование пятового сечения составляет 1,30%; расположение стержней (диаметр их также 1½") здесь четырехрядное; расстояние между их осями — от 150 до 170 мм.

Для арок применена бетон марки  $R_{28} = 380$  кг/см<sup>2</sup>.

Объем железобетонной кладки двух арок с диафрагмами составляет 1698 м<sup>3</sup>; вес арматуры — 2220 т.

Основная арматура связей — стержни диаметром 1" и 1½". Вес арматуры верхних и нижних связей — 420 т; общих их железобетонной кладки — 210 м<sup>3</sup>.

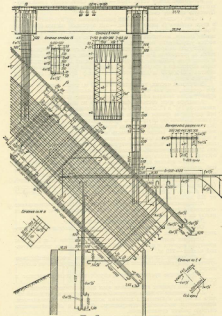
В отношении устройства арок Химкинского моста необходимо отметить следующие наиболее характерные их конструктивные особенности:

1. Применение пустотных арок коробчатого сечения впервые в СССР.

2. Малый процент армирования арок продольными стержнями.

3. Применение системы зигзагообразных хомутов из стержней малого диаметра, находящихся хорошим конструктивным мероприятием, аналогичным кованному армированию бетона и обеспечивающим сплошную работу сечения арки.

4. Применение стержней продольной рабочей арматуры длиной 25—30 м с устройством стыков при установке на место инвентаристу. Производство всей необходимой сварки стержней выполнялось на арматурных дворах. Сварка в пролете была совершенно исключена.



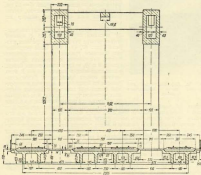
Фр. М. Аракчеева Казанского кадет-школы г. Казань.

5. Доведение числа рядов стирок в штуковой схеме арок до четырех с тем, чтобы интересы удобства бетонирования не уменьшать значительность горизонтальных расстояний между стирками.

4. Применение для пролетного строения ромбической системы связей, оказывающей наибольшее сопротивление продольным взаимным перемещениям пролетов, возникшим при загрузке двух путей на одной половине пролета во одну сторону от продольной оси моста и двух других путей на второй половине пролета и во другую сторону от оси моста (диагональное загружение).

## 6. ПРАВОСУДИЕ И СОЦЫ

Проезжая часть моста поддергивается подкосами в деснти средних узлах прол и стойками в трех крайних павильонах на концах моста. В тех местах, где проезжая часть пересекается с арками, она венчается рельефными скульптурами с листьями под изображениями гербов.



Mr. S. E. Thompson, page manager of the Tennessee State

Проездная часть двух средних железнодорожных путей расположена на поперечных балках. Между брекамами проездная часть крайних путей поддерживается консолями поперечных балок спаруже (фиг. 51).

Ширина проезжей части между перегородками составляет 22,5 м.

Высота поперечных балок и их консолей — 1,68 м, ширина их — 1,50 м. Поперечные балки, непосредственно связанные с арками и служащие одновременно распорками стелей, имеют увеличенную высоту 3,20 м (между арками) при ширине 1,50 м.

Расстояние между поперечными балками (длина павелей), равное 8,00 м, передано продольным балкам — во две на каждую путь. Сечение продольных балок  $0,15 \times 1,026$  м. Высота крайних продольных балок консольных путей несколько увеличена с таким расчетом, чтобы низкие их грани совпадали с низкими граниями поперечных балок.

Плита толщиной 20 см образует балластные корыта: одно общее для двух средних путей и отдельные для крайних; корыта соединены между собой плитой толщиной 10—14 см. Путь расположены на балласте толщиной 45 см при расстоянии подошвы рельса от бетона в 50 см; в пределах ширинны поперечной балки эти две величины соответствуют разнице 30 и 35 см, так как верх поперечных балок выступает над верхом продольных балок на 15 см.

Отвод воды осуществляется в каждой юзме из каждого балластного корыта через отдельные трубки  $d = 15$  см, расположенные с таким расчетом, чтобы подожжен был свободный обзор из сверху.

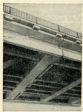
Пролежка часть в промежутке между юзмами пересечений ее с арками имеет четыре сквозных поперечных разреза (фиг. 47, 48 и 52). Швы устроены по боковым граням двух поперечных балок, боковинам к середине пролета (узлы 4 и 9), и двух продольных балок, расположенных в узлах 4 и 13. В этих местах концы продольных балок опираются на конковые выступы поперечной балки при помощи стальных скобовых частей; в трех разрезах эти скобовые части являются неподвижными, а один разрез (у середины пролета) — подвижными. Концы продольных балок у деформационного шва соединены поперечной балкой малого сечения. Чтобы обеспечить поперечную жесткость разрезанной пролежней части, поперечные балки в месте разреза придают склонившимся выступам, входящим зубом в соответствующий проемы между продольными балками, опирание на эту поперечную балку. Разрезы у балок 8 и 9 выделяют подвесную панель пролежней части и этим обеспечивают возможность температурных деформаций пролежней части без появления дополнительных напряжений.

Фиг. 52. Деформационный шов пролежней части Энгельсского моста.

Разрезы у балок 4 и 13 запроектированы по строительным соображениям (в связи с необходимостью длительного горизонта в бетонировании пролежней части).

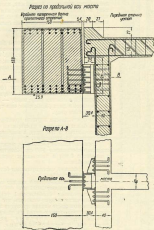
Пролежня часть своей конической канюлье опирается на устой, причем опирание последней поперечной балки (узлы 0 и 17) выполнено так же, как и на концах арок, с помощью двух стоек, имеющих сравнивательно большие поперечные размеры (до 1,20 м).

В результате приподнятых переключений одной арки относительно другой, обусловленных диагональной нагрузкой четырех путей, возникает значительная горизонтальная опорная реакция, для восприятия которой необходима поперечная жесткость опорных стоеч конической поперечной балки. В силу этого нужно было либо заменить конические стойки склонной поперечной стенкой либо устроить в дополнение к этим стойкам специальное опорное соединение между концом пролежней части и устоем (по оси моста). По архитектурным



составлении выбран второй вариант. Опорные части сварены из легкого железа (фиг. 53).

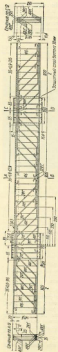
Рабочая арматура плиты, образующей балластные корыта, состоит из стержней  $d = \frac{1}{2}$ " (в количестве 9 шт. на 1 пог. м плиты) как в середине пролета плиты, так и на ее опоре. Распределительная арматура плиты состоит из стержней  $d = 8$  мм.



Фиг. 53. Конструкция опорной части.

Рабочая арматура продольной балки состоит из стержней  $d = 1"$ . Середина пролета продольной балки (фиг. 54) имеет 13 стержней  $d = 1"$ , расположенных в два ряда; горизонтальное расстояние между осями стержней — 6,3 см; по вертикально расстояние между рядами арматуры равно в сечении диаметру арматуры<sup>1</sup>. На опоре балки числом этих стержней достигает до 14 (также  $d = 1"$ ) с расположением их в три ряда.

<sup>1</sup> Горизонтальное расстояние между рядами стержней во всех сечениях несущих плит равно диаметру арматуры.



THE BOSTONIAN 17

Отогнутые спирали продольной балки расположены на разных расстояниях друг от друга. Хвостоподвижные  $d = 5$  см, расположены на расстоянии 35 см друг от друга.

Длина стержней рабочей арматуры определялась величиной шага ( $5.00\text{ м}$ ). Никогда две группы стержней: 1) стержни, идущие по-изу в проекциях между осями балок, часть которых имеет оттаги вправо; 2) стержни, идущие поперек над отверстиями балок, с отгибами вправо. Такая разбивка стержней значительно упрощает их установку.

Рабочая арматура изогнутой балки состоит из стержней  $d = 15$  mm, расположенных по верху и по низу балки (фиг. 55). Отогнутые стержни балки расположены, как и в прямолинейных балках, на разных расстояниях друг от друга.

Сечения поперечной балки по середине ее профиля имеют двойную арматуру (фиг. 56). Наверху размещены два ряда стержней по 13-стержневой в каждом ряду; между — стыковка двух рядов в виде изгиба трех стержней в третьем ряду.

По оси подиума верхняя архитектурная база состоит из 45-сторонней  $d=1\frac{1}{2}$ °, расположенных в три ряда, а нижняя из одного ряда, в 15 сторон.

Горизонтальные расстояния между осями стерновых составляют 10,0 см. Комуты имеют в диаметре 8 мм и поставлены через 35 см по линии бака.

Для проектической части примем бетон марки B-250 кг/см<sup>2</sup>.

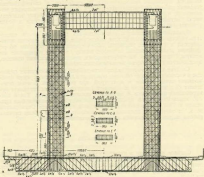
Объем зернобетонной кладки в проездной части составляет 2,072 м<sup>3</sup>.

В отношении особенностей устройства проездной части следует отметить, что именно в Химкинском месте задача пропуска нескольких железнодорожных путей по одному проездному строению впервые решена целиком в железобетоне. Кроме того заслуживает внимания изначальная конструкция высоты проездной части (2,60 м), обусловленная продлением профиля железнодорожной дороги. Недостаточность высоты проездной части и высоты своеобразных сквозных попарных балок.

#### Литература и художники

Подиумы и стены, поддернившиеся по-  
перечные балки проездной части, запроки-  
танные и видоизмененные высотой с  
гибкой арматурой, жестко скончанные одним

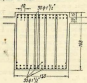
концом с узлами арок в местах расположения распорок стелей, а другие — с поперечными балками. Таким образом подвески или стойки совместно с распорками склонов и балками проездной части образуют в поперечном сечении рамы.



Cap. 12. Convoca ao seu governo P.

Сечения подпирок и стоечек приведены одинарковыми —  $0,60 \times 1,00$  м, причем размер  $1,00$  м наименьший допускаемый ширины.

Рабочая арматура подвесок (фиг. 55) состоит из стержней  $d = 12$  мм. Работа бетона в подвесках не учитывалась в предположении, что растягивающие усилия и изгибающие моменты воспринимаются исключительно арматурой. В нижних концах подвесок введена дополнительная предварительная арматура (того же диаметра, что и основная), так как изгибающие изгибающие моменты характеризуются большими значениями по сравнению с верхними. Эта дополнительная арматура расположена по краям подвесок в посредствии принципа симметрии с основными рабочими стержнями. У подвесок имеются горизонтальные замки  $\delta = 8$  мм, расположенные друг от друга; кроме того подвески наклонены (под углом  $45^\circ$ ) перекрестьем  $\delta = 12$  мм.



Gen. M. Cossatot suspended during  
the next session.

Объем железобетона в подвесках и стойках составляет 294 м<sup>3</sup>. Вес арматуры — 161,3 т.

Устройство железобетонных подвесок с лебедкой арматурой для поддержания четырехпутного железнодорожного полотна с колесами является примером использования железобетона в специфических условиях работы (растягивающие усилия, воспринятые изгибающим моментом от изгиба изолированных блоков). Благодаря устройству подвесок такой системы достигнута экономичность всей конструкции и более равномерная передача усилий на арку.

Французские инженеры, руководствуясь данными опыта, свидетельствующими о возможности обеспечения хорошей работы железобетона в подобных условиях, обычно принимают решение об устройстве железобетонных подвесок, между тем как германские же эксперты, основываясь на теоретических предположениях, как правило, предпочитают устройство металлических подвесок.

Следует заметить, что надежность работы железобетонных подвесок в частности зависит от того, обеспечены ли в их конструкции необходимые связи бетона с арматурой при растяжении. В этом отношении большое значение оказывают (помимо высокого процента армирования) имеющиеся в подвесках наклонные комуты. Такой способ взаимодействия арматуры при растяжении растянутых элементов был применен в 1933 г. в подвесках Тирлевского путепровода Октябрьской ж. д. и повторен в подвесках Химкинского моста. В обоих случаях работа подвесок оказалась вполне удовлетворительной.

#### 4. ФОРМЫ ОПОРЫ

Свайное основание в каждой опоре состоит из деревянных сяй  $d = 25$  см, забитых в шахматном порядке. Расстояние между рядами сяй в продольном направлении — 33—39 см, в поперечном — 63 см. Расстояние между осями сяй по диагонали равно 74 см, т. е. примерно 2,6  $d$ .

Головы сяй выступают над уровнем дна озера на высоту колодца и заделаны в кирпич. Под каждым устоем забито 856 сяй. Допущенная нагрузка на сяи составляет 29,0 т.

Озусский колодец в плане имеет прямугольное очертание (размеры его приведены на фиг. 57). Высота наружных стен колодца — 6,0 м, а толщина их — 50 см. Колодец разделяется двумя продольными и тремя поперечными внутренними стенками (толщиной 20 см) на 12 секций с внутренними размерами 5,70 × 6,00 м. Высота внутренних стенок — 5,00 м, причем верх этих стеков находится на том же уровне, что и у наружных стек.

Объем уложенного железобетона в одном колодце составляет 326 м<sup>3</sup>. Бетон марки  $R_{cu} = 260$  кг/см<sup>2</sup>.

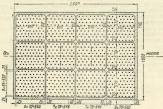
Основная арматура колодца состоит из системы вертикальных и горизонтальных стержней диаметром Г и 7/8. Общий вес арматуры одного колодца — 38,8 т.

Заполнение озусских колодцев состоит из бетонной кладки марки  $R_{cu} = 200$  кг/см<sup>2</sup>.

Для лучшей связи между заполнением отдельных секций по внутренним стекам колодца оставлены отверстия сечением 25 × 20 см (фиг. 78), через которые проходят горизонтальные стержни кондукторской арматуры. В нижней части колодца над головами сяй уложена горизонтальная распределительная сетка арматуры.

1 Железнодорожный мост в виде открытий арки с затяжкой проектом 22,5 м.

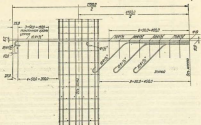
Выше уровня первичной гравии находятся, лежащие на отм. 10,26 м., расположенные бетонный массив шириной 17,50 м и длиной 24,22 м. Верх передней части массива лежит на отм. 15,713 м., образует возвышение, на которую опираются крайние стойки моста; верх задней части



Фиг. 57. План стального кольца (сторонами показано направление болтов связи).

массива расположены на отм. 12,56 м и служат основанием коробчатой передней части устоев (фиг. 48).

Передняя гравия массива устоев склонена и служит основанием для бетонной подушки под пятыми арок.



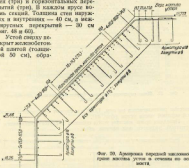
Фиг. 58. Архитектура массива устоев в основании, корытце и передней склонной гравии.

Объем бетонного массива и подушки одной опоры составляет 1 379 м<sup>3</sup>. Кладка массива выполнена из бетона  $K_m = 200$  кг/см<sup>2</sup>, для подушки применен бетон  $K_m = 350$  кг/см<sup>2</sup>. В кладке бетонного массива заведена арматура арок (фиг. 59), а также арматура стоек и колон-

бетонных стел коробчатой надстройки устоев. Кроме того массив имеет сплошную арматуру (фиг. 58 и 59), служащую для распределения сопротивления давления арок на устои, а также для изогружения всего утеса (ниже пят арок) как балок, нагруженной реакцией грунта основания и имеющей опоры в виде пят арок.

Коробчатая пустотелая железобетонная надстройка, расположенная в кирпичной части утеса, имеет при этаже (ярусе), который обрамляется системой, состоящей из продольных стен (четыре), поперечных стен (три) и горизонтальных перекрытий (три). В каждом ярусе восьмь секций. Толщина стен широких и внутренних — 40 см, а междурустных перекрытий — 30 см (фиг. 48 и 60).

Устой спереди является открытой железобетонной плитой (толщиной 30 см), образ-



Фиг. 59. Аксиоматическая схема утеса в плане на конец.

ующей за нее балластное корыто проезжей части. Ширина проезжей части на устоях, выключая тротуары, равна 32,8 м, между тем как ширина самой коробки — только 17,5 м; этим обусловлено устройство козырьков для поддержания крайних железнодорожных путей (фиг. 60).

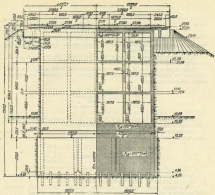
Объем железобетонной кладки в коробчатой надстройке над каждым утесом составляет 800 м<sup>3</sup>; масса бетона —  $B_m = 300 \text{ кг}/\text{дм}^3$ .

Основная арматура в стенах коробки — стержни  $d = 4\frac{1}{2}$  и 1".

Вес арматуры надстройки над одним утесом равен 142 т.

Действующие направления по подошве фундамента (без учета сопротивления свай) от постоянной нагрузки составляют 3,68 кг/см<sup>2</sup> (низкая трава) и 3,86 кг/см<sup>2</sup> (передняя трава); для невыгоднейшего расположения временной нагрузки (нагрузка двух путей с одной стороны от оси пути) действующие направления составляют 3,77 и 6,09 кг/см<sup>2</sup>. Наибольший коэффициент запаса на скольжение при учете торможения временной нагрузки, коэффициент трения кладки по грунту 0,40 и при допущении отсутствия сопротивления свай составляет 1,65.

Для доступа во внутренние помещения надстройки (в целях их осмотра) над устоями устроены двери и металлические лестницы. Вентиляция секций этой надстройки осуществляется четырьмя специаль-



The Al. Ward.

ными отверстиями и со второй стойкой, устроенным на каждом из двух первых ярусов.

В отношении устройства опор необходимо отыскать для наиболее существенных элементов:

1. Благодаря выносу крайних путей моста из консоли, оказавшись возможным конструктировать сравнительно узкие устои, обладающие, несмотря на ограниченный объем кирпича, хорошей устойчивостью. Это достигнуто тем, что небольшое давление арок воспринимается только кирпичной частью устоев, расположенных за пределами пустотами железобетонных коробов, своей задней стороной опирающимися в насыпь, дает возможность полностью использовать истечное распору арок для зажатия камня, оставляя вместе с тем отпору как от вертикального давления конуса насыпи, так и от кинетической силы. Таким путем, несмотря на наличие большого пролета, выражение давления на грунт под позиционной фундаментом от постоянной нагрузки сокращено в 3,86 раза, т. е. к тому действительному напряжению, которое существовало на этой отметке до начала постройки моста.

2. Химкинский арочный бесшарнирный мост, называемый спору-  
жением весны большого пролета, построен на песчаном грунте такого  
вида, который весной часто встречается в условиях СССР. Против по-  
стройки моста на такого рода основании были высказаны разные воз-  
раждения со стороны целого ряда инженеров, считавших, что железо-  
бетонные бесшарнирные арочные мосты можно строить только на  
скользящих основаниях. Эти возражения были опровергнуты  
представителями показательной работы построившего Химкинского моста

## ГЛАВА IV

## РАСЧЕТ ПРОЛЕТНОГО СТРОЕНИЯ

## I. ТЕХНИЧЕСКИЕ УСЛОВИЯ ПРОЕКТИРОВАНИЯ

При проектировании пролетного строения Химкинского моста применены утвержденные Центральным управлением путей НИТИС специальные технические условия.

Брасовая нагрузка для всех четырех путей<sup>1</sup> задана по схеме №<sub>1</sub>, в соответствии с нормами НБНПС 1951 г.

При расчете арок и опор временная нагрузка принята в зависимости от неизгодного по числу путей загружения со следующими коэффициентами:

1,00	при загрузке одного пути
0,90	- - - двух путей
0,80	- - - трех
0,70	- - - четырех путей

Для изолитов пролетной части неизгодное загружение учитывается во всех случаях с коэффициентом 1,0.

Динамические коэффициенты для временной нагрузки установлены следующие:

для панелей	1,50
продольных балок	1,40
поперечных балок и подвесок	1,30
арок	1,00

Ветровая нагрузка принята равной 125 кг/м<sup>2</sup> при различии посадки на мосту и 225 кг/м<sup>2</sup> при отсутствии посадки.

Торкозовая сила учтена в размере 15% от статической временной нагрузки, расположющейся не более чем на двух путях.

Температура замысления арок принята +10°; расчетные разности температур для арок приняты равными: при повышении температуры — 15°—10°=—35°; при понижении температуры: +25°—10°=+15°.

Влияние усадки бетона принято эквивалентным влиянию понижения температуры на 15°.

Допускаемые напряжения в арматуре:

панели	3100 кг/см <sup>2</sup>
продольных и поперечных балок	3200
подвесок	3100
арок	3200

Допускаемые напряжения в бетоне:

	Марка R <sub>u</sub> =300 кг/см <sup>2</sup>	Марка R <sub>u</sub> =350 кг/см <sup>2</sup>
Сжатие при изгибе	73	109
Сжимающие напряжения, при которых не требуется изогнутый	7,5	—
Сжимающие напряжения, передаваемые из бетона на арку данной марки	6	—
Пределные сжимающие напряжения различных марок арматуры	30	—

При проверке напряжений на случай собственного действия основных и дополнительных сил допускаемые напряжения на скатие при изгибе повышаются на 30%.

<sup>1</sup> Движение соудов паром по схеме № 1 составляет 26,0 к.

## 2. ПРОДОЛЬНЫЕ БАЛОКИ

Все пролеты продольных балок за исключением панелей с разрезами принимались как средние пролеты и трехпролетной межразрезной балки.

Для средних пролетов получены следующие расчетные величины:

1) полный изгибающий момент с учетом динамики:

$$M = +78,96 \text{ тм};$$

2) напряжение скатки в бетоне<sup>1</sup>:

$$\sigma_c = 20,5 < 75,0 \text{ кг/см}^2;$$

3) напряжение в арматуре (низу 12  $\otimes 17$ , наверху 4  $\otimes 17$ ):

$$\sigma_a = 1030 < 1200 \text{ кг/см}^2.$$

Для опорного сечения балки значения получились следующими:

1) полный изгибающий момент с учетом динамики:

$$M = -92,94 \text{ тм};$$

2) напряжение скатки в бетоне:

$$\sigma_c = 50,7 < 75,0 \text{ кг/см}^2;$$

3) напряжение в арматуре (низу 4  $\otimes 17$ , наверху 14  $\otimes 17$ ):

$$\sigma_a = 1118 < 1200 \text{ кг/см}^2;$$

4) наибольшее скатывающее (главное растягивающее) напряжение:

$$\tau = 19,7 < 20,0 \text{ кг/см}^2.$$

Для полного выполнения работы продольной части учтено также влияние упругости арок на работу продольных балок.

Временная нагрузка заставляет деформироваться арки, которые, упруго прогибаясь, изменяют расчетные условия, принятые для продольных балок, и именно: опоры межразрезных продольных балок<sup>2</sup>, принятые при расчете последних абсолютно исподвижными, на самом деле под влиянием упругой деформации арок изменяют свое положение в вертикальной плоскости и тем самым вызывают в продольных балках дополнительные моменты, и соответственно этому — и дополнительные напряжения.

Запасы в напряженных сечениях продольных балок полностью погашаются дополнительными напряжениями, возникающими от упругой деформации арок при действии временной нагрузки.

Расчет влияния упругости арок произведен приближенно, но с достаточной для практики точностью, причем по основу этого расчета приведено предположение, что действие изгибающего момента для данного сечения моста распределяется между аркой и продольной частью пропорционально величинам их моментов инерции<sup>3</sup>. Согласно

<sup>1</sup> Ширина ядра, введенная в сечения рабочего сечения продольной балки, принята равной 200 см.

<sup>2</sup> Опорами здесь являются межразрезные балки.

<sup>3</sup> См. «Система колесобетонных конструкций» Курт Бекер (Германской Академии наук), стр. 222.

этому предложены были построены эпюры изгибающих моментов, приходящихся на продольные балки для разных сечений, и из эти линии влияния наложены эпюры изгибающих моментов для трехпролетной балки в тех же сечениях. Линии влияния, полученные в результате наложения, учитывали таким образом условия работы продольных балок, у которых имеются упругие скобы, следующие деформации арок.

В табл. 6 для сравнения приведены значения полных изгибающих моментов, полученных при расчете продольных балок: 1) без учета упругой работы арок (при этом динамический коэффициент принят равным 1,40) и 2) с учетом упругой работы арок (при этом динамический коэффициент принят за единицу).

Таблица 6

Спорные узлы и сечения	Изгибающие моменты в продольной балке (в тн)			
	без учета упругой работы арок		с учетом упругой работы арок	
	верхнее сечение	нижнее сечение	верхнее сечение	нижнее сечение
Узел 2 . . . . .	-12,1	-92,9 +19,4	-379,7	
" 3 . . . . .	-12,1	-92,9 - 2,8	-73,8	
" 4 . . . . .	-12,1	-92,9 - 12,8	-69,7	
Панель 2-6 . . . . .	+78,9	-33,1 +74,4	-25,9	
" 8-9 . . . . .	+78,9	-33,1 +61,8	-8,8	

На этих данных видно, что спорные моменты в продольных балках при учете работы арок несколько увеличиваются для спорных узлов, близких к середине пролета моста, и уменьшаются для концевых узлов, близких к концу этого пролета. Для узла 2 это увеличение достигает 17%, вследствие чего напряжение в арматуре здесь увеличивается с 1 118 до 1 300 кг/см<sup>2</sup>. Кроме того в этом же узле появляется положительный момент. Для среднего пролета продольной балки учет работ арок дает увеличение отрицательных моментов почти на 100% (панель 2-6).

При переходе от узлов к арке проездная часть вместе с надстройкой строением представляет собой трехпролетную раму (рис. 48). Клонящие в коробке узлы две стойки имеют высоту (до оси поверхности балки) 16,70 м и нижний конец разделен в тело узлов. Высота следующей (третьей) стойки 4,25 м; нижний конец ее заделан в арку, с которой жестко соединяется и конец последнего ригеля. Таким образом опоры первых двух стоек являются неподвижными, между тем как опора третьей стойки и последнего ригеля следуют за деформациями арки.

Подсчет моментов для наиболее опасных сечений рамы<sup>1</sup> дает некоторые увеличения (на 3,8%) отрицательного момента, действующего из опор продольной балки, в узле 2, и также понижение довольно значительного положительного момента (+ 27,6 тн) в месте приложения продольных балок к узлу 2.

<sup>1</sup> Пояснит проконструили трехпролетной верхней рамы с верхней изогнутой аркой.

## II. ПОПЕРЕЧНЫЙ БАЛКИ

Поперечная балка рассчитана как однопролетная двухконсольная балка, пролет которой принят равным расстоянию между осями подкосов (11,0 м); вынос консоли от оси подкосов составляет 4,625 м. Планка в учет работы поперечной балки не принята.

Для сечения балки по оси подвески получены следующие расчетные величины:

1) полный отрицательный изгибающий момент с учетом динамики:

$$M = -814,10 \text{ тм};$$

2) напряжение скатки в бетоне:

$$\sigma_b = 73,9 < 75,0 \text{ кг/см}^2;$$

3) напряжение и арматура фланца 150 (1½")<sup>1</sup>, извергу 45 (1½")<sup>1</sup>:

$$\sigma_a = 1165 < 1200 \text{ кг/см}^2.$$

Для сечения по середине пролета балки при загрузке двух средних путей получено:

1)  $M = +547,50 \text{ тм};$

2)  $\sigma_b = 43,0 < 75,0 \text{ кг/см}^2;$

3)  $\sigma_a = 1102 < 1200 \text{ кг/см}^2$

(фланец и извергу балки в расчете принято по 30 (2 1½")<sup>1</sup>.

Для того же сечения при загрузке двух путей на консолях получено:

1)  $M = -480,50 \text{ тм};$

2)  $\sigma_b = 38 \text{ кг/см}^2;$

3)  $\sigma_a = 974 \text{ кг/см}^2.$

Наибольшее скользящее (главное растягивающее) напряжение:

$$\tau = 18,3 < 20 \text{ кг/см}^2.$$

Энвора перерезывающих сил и изгибающих моментов в поперечной балке приведена на фиг. 61.

## III. АРКИ

Большая величина перекрыываемого пролета при наличии четырех железнодорожных путей, поддерживаемых двумя отдельными арками, требовала особого внимания в расчету арок и в обосновании расчетной схемы с фактическими условиями работы моста.

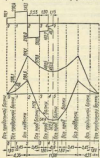
При расчете арок они рассматривались как работающие совместно с устоями, т. е. с учетом упругости оснований устоев. Соответственно этому в инвентаре действующих в арках усилий включены участки действия временной нагрузки на устои.

Линии влияния линий известных систем приведены на фиг. 62. Анализируя эти инвентары, можно легко убедиться, что упругость оснований устоев исключаетного того, что это плавкая и размер плоскости характеризуется большими величинами, лишь в весьма незначительной степени оказывается на у立场ах и арках.

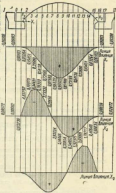
В табл. 7 приведены расчетные данные, характеризующие влияние отдельных факторов на работу арок (для основных сечений арок). Значения приведенных в таблице усилий в арках определены для случа-

<sup>1</sup> Применяется сечение при этой же загрузке, но с коэффициентом поправки путей к баланту, для  $\sigma_b = 63,9 \text{ кг/см}^2$  и  $\sigma_a = 1200 < 1,3 \cdot 1200 = 1560 \text{ кг/см}^2$ .

чая наименее выгодной установки временной нагрузки в поперечном направлении (нагрузка трех путей с одной стороны моста), причем распределение этой нагрузки на арки приведено по закону рычага.



Фиг. 61. Изменение изгибающих моментов поперечной балки.



Фиг. 62. Изменение изгибающих моментов изогнутых арок.

При расчете арок были выведены зависимости между горизонтальными силами, действующими в плоскости арок и нормально к ней, и изгибающими моментами и нормальными силами, возникающими в вертикальной плоскости арок. Это позволило в частности выявить влияние, обусловливаемое несимметричностью деформации одной арки по отношению к другой<sup>1</sup>, как на самое арки, так и на связи и поперечные рамы моста (подвески, поперечные балки и распорки ветровых связей). Переход пролетного строения вызывает значительное увеличение усилий в связях и поперечных рамках моста, о чем будет сказано ниже.

В то же время при переходе пролетного строения поперечная жесткость колонн моста способствует разгрузке более загруженной арки и передаче части усилия на менее загруженную. Это видно по линиям влияния моментов в нормальных силах (фиг. 63), построенным с учетом распределения несимметричной вертикальной нагрузки не по закону рычага, а в зависимости от жесткости поперечных рам; при наименее выгодной загрузке трех путей благодаря поперечной жесткости моста с более нагруженной аркой снимается около 10% нагрузки.

Сооружение бесстационарного моста на песчаном грунте называло (как уже было отмечено выше) у целого ряда лиц превосходитель-

<sup>1</sup> Поперечные и продольные перексы арок.

Таблица 7

Номер теста	Нагрузка	<i>M</i>	<i>N</i>	<i>Q</i>	<i>m</i>	<i>n</i>
		в кг/см	в кг	в кг	в кг/см <sup>2</sup>	в кг/см <sup>2</sup>
1	2	3	4	5	6	7
Заданные отклонения (таблица 6)						
1	Постоянная нагрузка	+650	+9420	157	<u>33,6</u> — 33,3	—
2	Быстроющая нагрузка (уставка на + <i>M<sub>max</sub></i> )	+1 851	+160	—	—	—
3	То же на — <i>M<sub>max</sub></i>	-1 073	+160	—	—	—
4	“ “ “ <i>Q<sub>max</sub></i>	+154	+1 073	—	—	—
5	“ “ “ <i>Q<sub>min</sub></i>	—	—	+254	—	—
6	“ “ “ <i>Q<sub>0</sub></i>	—	—	-254	—	—
7	Повышение температуры на 15°	-277	+38	—	—	—
8	Понижение — 15°	+559	-71	—	—	—
9	Усадка бетона (изменение температуры на 15°)	+259	-26	—	—	—
10	Ветер	± 99	± 37	—	—	—
Постоянная и временная нагрузки <sup>1</sup>						
11	[1+2] (уставка на + <i>M<sub>max</sub></i> )	+2 381	+3 352	—	<u>161,3</u> 13,1	1 100
12	[1+2] (- <i>M<sub>max</sub></i> , + <i>M<sub>max</sub></i> )	-529	+2 881	—	<u>61,4</u> 42,0	—
13	[1+4] (- <i>M<sub>max</sub></i> , <i>Q<sub>max</sub></i> )	+604	+3 449	—	<u>31,9</u> 31,6	—
14	[1+4] (- <i>M<sub>max</sub></i> , - <i>Q<sub>max</sub></i> )	—	—	412	= 31,2	—
Постоянная, временная и дополнительные нагрузки						
15	[1+3+7] (уставка на + <i>M<sub>max</sub></i> и <i>M<sub>0</sub></i> = + 15°)	-800	+2 954	—	<u>67,1</u> 27,2	—
16	[1+3+8] (уставка на — <i>M<sub>max</sub></i> и <i>M<sub>0</sub></i> = - 15°)	+2 578	+3 132	—	<u>111,0</u> 47,7	1 100
17	[1+3+8+9] (уставка на — <i>M<sub>max</sub></i> и <i>M<sub>0</sub></i> = - 15° и на усадку, также <i>M<sub>0</sub></i> = - 15°)	+3 597	+3 074	—	<u>118,3</u> -5,9	1 102
18	[1+3+8+9+10] (уставка на — <i>M<sub>max</sub></i> , <i>M<sub>0</sub></i> = - 15°, усадку, также, <i>M<sub>0</sub></i> = - 15°, и на ветер)	+3 266	+3 637	—	<u>117,4</u> -6,4	1 103

Данные по заданным отклонениям: площадь сечения бетона = 5,05 м<sup>2</sup>; площадь сечения арматуры = 40 см<sup>2</sup> (14 Ø 14<sup>2</sup> и 54 Ø 17<sup>2</sup>); процент пропускания = 9,5%.

<sup>1</sup> Диаграммы 1—10 в координатах свободы обозначены порядковыми номерами нагрузок, указанными выше в первом графе таблицы таблицы.

В числителе дробей в графах 6 и 7 указаны наибольшие фиброзные напряжения, а в знаменателе — наименьшие.

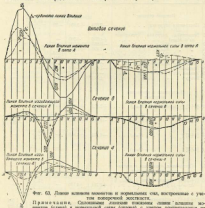
Номер последовательности	Наименование	$M$	$N$	$Q$	Проверка	
					в чи	в ч
1	2	3	4	5	6	7
Сечения в четверти пролета (сечение 4)						
1	Постоянное загружение . . . . .	-35	+2900	120	47,2	—
2	Временное загружение (уставка из + $M_{max}$ ) . . . . .	+271	+474	—	—	—
3	Температура из $M_{max}$ . . . . .	-182	+182	—	—	—
4	“ . . . . .	-183	+183	—	—	—
5	“ . . . . .	—	—	+231	—	—
6	“ . . . . .	—	—	-142	—	—
7	Постоянная температура из 15° . . . . .	+35	+35	—	—	—
8	Постоянное . . . . .	-180	+180	—	—	—
9	Усадка бетона ( $\Delta t = -15^{\circ}$ ) . . . . .	-180	+180	—	—	—
10	Ветер . . . . .	±180	±180	—	—	—
Постоянное и временные загружения						
11	[1+2] (уставка из + $M_{max}$ ) . . . . .	+1980	+2354	—	78,7	—
12	[1+2] ( . . . . . — $M_{max}$ ) . . . . .	-1823	+2352	—	56,3	—
13	[1+3] ( . . . . . — $M_{max}$ ) . . . . .	-271	+4248	—	71,1	—
14	[1+3] ( . . . . . — $Q_{max}$ ) . . . . .	—	—	-348	$t = 12,7$	—
Постоянное, временное и дополнительные загружения						
15	[1+2+7] (уставка из + $M_{max}$ и $\Delta t = +15^{\circ}$ ) . . . . .	+1769	+3463	—	88,4	—
16	[1+2+8] (уставка из — $M_{max}$ и $\Delta t = -25^{\circ}$ ) . . . . .	-2100	+2360	—	53,3	—
17	[1+2+8+9] (уставка из — $M_{max}$ , $\Delta t = -25^{\circ}$ и усадку, извея. $\Delta t = -15^{\circ}$ ) . . . . .	-2398	+3381	—	86,1	—
18	[1+2+8+9+10] (уставка из — $M_{max}$ , $\Delta t = -25^{\circ}$ , усадку, извея. $\Delta t = -15^{\circ}$ , и ветер) . . . . .	-2338	+3353	—	87,5	—

Данные по сечению в четверти пролета: высота сечения бетона 0,822 м<sup>2</sup>, площадь сечения прокладки — 450 см<sup>2</sup> (14,63 15° и 84,631 °C процент прогревания — 0,75%.

Номер последовательности	Номер последовательности	M	N	Q	Приложения	
					к кн	к кн
1	2	3	4	5	6	7
Постоянное сечение						
1	Постоянная нагрузка . . . . .	-2 854	+3 884	-98	49,3	-
2	Временная нагрузка (уставка из + Макс)	+4 793	+79	-	-	-
3	То же из - Макс . . . . .	-3 903	+1 632	-	-	-
4	+ Макс . . . . .	-1 458	+1 475	-	-	-
5	+ Опт . . . . .	-	-	+357	-	-
6	- Опт . . . . .	-	-	-341	-	-
7	Постоянная температура из 13° . . .	-1 971	+47	-	-	-
8	Постоянная - 13° . . . . .	-1 449	-39	-	-	-
9	Число бетона (M = - 13°) . . . . .	-715	-24	-	-	-
10	Бетон . . . . .	±311	±29	-	-	-
Постоянное и временные нагрузки						
11	[1+2] (уставка из + Макс)	+2 132	+4 953	-	49,3	-
12	[1+2] [ . . . . . - Макс]	-8 609	+4 128	-	104,5	1 235 -665
13	[1+4] [ . . . . . - Макс]	-8 181	+4 859	-	49,7	-
14	[1+4] [ . . . . . - Опт]	-	-	-357	1 = 4,7	-
Постоянное, временное и дополнительные нагрузки						
15	[1+2+7] (уставка из + Макс и M = - 13°) . . . . .	-2 784	+4 120	-	53,7	-
16	[1+2+8] (уставка из - Макс и M = - 28°) . . . . .	-10 058	+4 973	-	138,7	1 254 -1 219
17	[1+2+8+9] (уставка из - Макс, M = - 28°, в раздуру, макс, M = - 13°) . . . . .	-10 824	+4 932	-	134,0	1 280 -1 408
18	[1+2+8+9+10] (уставка из - Макс, M = - 28°, раздуру, макс, M = - 13°, в изогр.) . . . . .	-11 345	+3 733	-	126,4	1 548 -1 530

Данные по постоянному сечению: площадь сечения бетона — 10,542 см<sup>2</sup>, площадь сечения арматуры — 1 429 см<sup>2</sup> (194,2% IV<sub>2</sub>) и 54 (21%) процент армирования — 1,34.

гласовки и отвращения последствий влияния на арки деформаций оснований опор. Обычно высказывалось мнение даже о полной недопустимости какого-либо осадок опор во избежание разрушительного действия на бесшарнирную арку. В связи с тем что пришлось расчетным путем выяснить степень зависимости между деформациями оснований опор и соответствующими дополнительными усилиями в арках. Зависимости эти представлены на фиг. 64. При вертикальной осадке



Фиг. 63. Линии изменения момента и нормальных сил, построенные с учетом изогнутой жесткости.

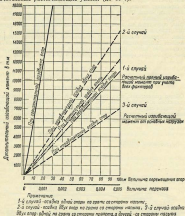
Приложение. Схематичные линии изменения линии "изгиба момента (изогнутой в горизонтальной плоскости) с учетом распределения по длине работы пружинами—линии изменения с учетом изогнутой жесткости барьеров с точками показания линии изгиба для изогнутоей арки.

одной опоры относительно другой на 48 см расчетный наибольший момент в арке удваивается; при горизонтальной раздвижке опор на 10 см происходит также удвоение этого момента<sup>1</sup>. Согласно расчету, производившемуся на основании данных по испытанию гранита, практические изогнутые деформации оснований колеблются в следующих пределах: вертикальная осадка — от 8 до 9 см; горизонтальное смещение узлов — от 4 до 6 см. Приведенные данные свидетельствуют о том, что изогнутые бесшарнирные арки являются достаточно гибкой и практические изогнутые деформации оснований опор не могут вызывать в арке опасных напряжений. Фактические деформации, изведенные при расформировании и затем при испытании энгина, были еще меньше, чем расчетные.

<sup>1</sup> Изгибающий момент изогнутой изогнутой в отношении к концам арки моменту от основных сил.

#### **Логотипы других брендов**

Расчет сажей производят с учетом усилий от укорочения арок, вызываемого обхватом последних под действием постоянной нагрузки.



Фиг. 64. Сравнительный график изменения изгибывающего момента в пяте при ее зависимости от разночленных склонов.

Примечания. 1-й случай — сидит одной стороны на грани со стороны панели; 2-й случай — сидит другим лицом по грани со стороны панели; 3-й случай — сидят двумя спинами на грани со стороны крыши, а другой — на стенах панели.

Растягивающие и сжимающие усилия в диагональных связях, обусловленные неравномерным расположением временной нагрузки относительно середины пролета и продольной оси моста (диагональное загружение, продольный перенос арок), достигают максимальной величины: от  $\pm 91$  т в диагоналях, близких к пяте, до  $\pm 55$  т в диагоналях, близких к дамбу.

На полученных данных следует, что при проектировании много-путных мостов необходимо производить расчет ветровых сдвигов на продольный перекос арок, так как для элементов сдвигов, находящихся близ замыкающих узлов от ветровой нагрузки ненеизменны, в то время как усилия от перекоса в несколько раз превосходят ветровые.

• 100000000

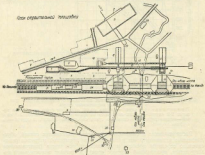
Подвески (и стойки) рассчитаны как составные элементы поперечных рам, в состав которых входит также распорка симметрии и поперечные балки проезжей части. При расчете поперечных рам действующие усилия определяются с учетом влияния сил перекоса пристенного строения, возникающие вследствие несимметричности поперечной нагрузки моста. Расчет сил перекоса произведен методом взаимных перемещений как для 14-кратной статически неопределенной системы, состоящей из арок моста, возникнувшей изначально 14 узловыми разрывами, причем было учтено взаимодействие всех элементов этой системы. Перекос всегда симметрично смещается из работы подвесок, уменьшая действующий в изгибе угол подвески загибающей может приобрести кивес. Вследствие этого и потребовалось дополнительное предупреждение изогибания подвесок в изгибах из чистоты.

四

## **ОСНОВНОЙ ПЛАН РАБОТ ПО ПОСТРОЙКЕ МОСТА**

#### 3. ОПРЕДЕЛЕНИЕ ПОДАЧИ

Общее расположение всех сооружений на строительной площадке определялось в основном тем, что обходный аэродромодорожный путь был проведен справа от трассы моста (по направлению к Москве) и крайне затруднял доступ с этой стороны к сооружению мосту (фиг. 65). Поэтому основные сооружения (склады материалов, бетон-



— 1 —

чес и камнедробильные заводы, пакетный цех) были расположены с левой стороны. Однако недостаточность свободного места с этой стороны заставила расположить часть сооружений (известьницкую мастерскую, пилорезку, бетонную лабораторию, кухню) по правую сторону с использованием имеющейся в известьнико-дорожной насыпи трубы для проезда на основную площадку.

Кроме того на общей расширенной строительной площадке появилась условия подачи грузов по железнодорожной дороге со стороны ст. Химки (Ленинградская сторона). От этой станции по линии отпор существующей насыпи (примерно по середине высоты насыпи) был проведен специальный разгрузочный тупик. Цементные склады, склад песка и разгрузочные площадки для камни были расположены вдоль тупика в такой последовательности, чтобы более тяжелые и большие по объему материалы располагались возможно ближе к мосту. Склады песка и камни были расположены непосредственно на нижней части насыпи, выше от тупикового пути. После перехода движении из обходных путей разгрузка песка и камни производилась с верха существующей насыпи, что значительно расширялось емкость складов.

Бетонные заводы были расположены по оси устоя. Такое расположение вызывалось тем, что: 1) основные объемы бетонной кладки были сосредоточены в пределах устоя, 2) дальнейшее бетонирование пролетного строения наиболее удобно было производить при подаче бетона от концов пролетного строения. Бетонные заводы были расположены у подошвы насыпи, на расстоянии 34 м от опор. Благодаря этому обеспечивалось удобство подачи извертных к бетонным заводам и одновременно создавалась возможность соорудить заводы заблаговременно, до начала отрывки котлованов опор, что при сжатых сроках строительства имело существенное значение.

Склады щебня располагались в одну линию с бетонными заводами.

Арматурный цех (включая электромарку, склады сырья и готовой арматуры) располагался на верху насыпи, со стороны ст. Химки. В смысле удобства подачи к цеху арматурного здания такое расположение явилось вполне рациональным. К тому же занимаемая часть готовой арматуры либо спускалась из цеха вниз (для армирования опор) либо в том же уровне передавалась на мост (при армировании пролетной части).

Доставка лесоматериалов производилась гужевым транспортом от ст. Химки к складам, пакетному цеху, пилорезке и по всем перечисленным пунктам хранения и обработки — к месту постройки.

Щебень, полученный с камнедробилок, транспортировался на склады по узкоколейному пути, расположенному на деревянной эстакаде высотой 4,5 м. Бытовые, грузовые щебени, подавались на эстакаду с помощью электролебедки по настильному (в виде бремсберга) пути. Эстакада имела уклон 0,003, облегчавший движение грузовых вагонеток. Во время работы бетонных заводов щебень от камнедробилок таким же способом доставлялся непосредственно на заводы. На щебенокранителя щебень подавался из бетонных заводов поизу и трубы.

Цемент и песок транспортировались к бетонным заводам по двухпутной узкоколейной (одна путь — грузовой, а другой — для передвижки), которая в начале своей трассы была уложена на гравите, а далее на деревянной эстакаде, поднятой на 2,5 м выше уровня плющадок бетонных заводов. Путь, по которому подавались цемент и песок, на всем протяжении имел уклон по грузовому направлению.

В целом размещение основных сооружений на строительной площадке оказалось на практике вполне удовлетворительным условиям и объемам выполненных работ.

## 2. ПОСЛЕДОВАТЕЛЬНОСТЬ И СЕЧЕНИЯ ОСНОВНЫХ РАБОТ

Постройка моста началась с момента окончательного перехода железнодорожного движения на обходные пути, т. е. в середине ноября 1964 г. Окончание всех работ было назначено и выполнено к 4 ноября 1965 г. Таким образом полная продолжительность работ по постройке самого моста составила 11% месяцев. В течение этого времени приведенная выше последовательность основных работ изменилась, необходимой (в соответствии с конструкцией моста) очередностью бетонирования и требуемым временем выполнения опускных частей моста.

Основными работами, определявшими в свою очередь последовательность и сроки выполнения всех прочих работ, являются следующие:

- 1) отрывка колодезя (55 000 м<sup>2</sup>) до отк. 10,35 м, заключавшейся в разборке существующей насыпи до отметки, с которой должно было производиться спусжение колодезя;
- 2) устройство телескопа для бетонирования железобетонных опускных коробок (колодезя), установка опалубки и арматуры коробок;
- 3) бетонирование опускных колодезей (объем железобетона — 752 м<sup>3</sup>);
- 4) выдергивание и распалубка колодезя;
- 5) опусжение колодезей до проектной отк. 4,25 м с вымывкой ямы в количестве около 5 000 м<sup>3</sup>;
- 6) установка и оборудование ютров для устройства свайного основания в количестве четырех ютров на каждый устой;
- 7) забивка свай основания в количестве 858 шт. на каждый устой;
- 8) бетонирование фундаментов (заполнение колодезей) с укладкой 4 800 м<sup>3</sup> бетона;
- 9) бетонирование массивов устоев в пределах от верха коробок до пят арок (объем железобетона — 3 065 м<sup>3</sup>);
- 10) бетонирование арок и симей между ними (объем железобетона 1 080+210=1 290 м<sup>3</sup>);
- 11) выдергивание арок и их раскрыжевывание;
- 12) уборка кружалевых подмостей и кружал;
- 13) установка опалубки и арматуры пронизий части;
- 14) бетонирование пронизий части в стеке (объем железобетона — 2 072 м<sup>3</sup>);
- 15) выдергивание и раскрыжевывание проездной части;
- 16) загрузка балластом проездной части;
- 17) бетонирование подвесок (объем железобетона — 187 м<sup>3</sup>);
- 18) выдергивание подвесок и переход движению на новый мост.

Применительно к вышеизложенной последовательности основных работ ориентировались в все оставшиеся работы с тем, чтобы, во-первых, к началу бетонирования арок были закончены забивка свай подмостей, устройство подмостей и кружал, установка опалубки и арматуры арок; во-вторых, срок окончания работы по устройству верхних (погребальных) частей устоев (1 732 м<sup>3</sup>) обеспечил возможность своевременной отсыпки контуров (с учетом необходимого времени на выдергивание бетонированных коробчатых частей).

Общий объем бетонной кладки всего моста составляет 14 829 м<sup>3</sup>; общий вес арматуры — 1 185 т (включая монтажное железо).

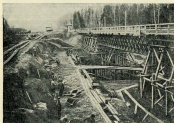
Постройка моста разделяется на два характерных этапа: первый — это период зимних работ, включавший в себя все работы по устройству оснований моста, а также по устройству подмостей и кружал; второй этап — летний период, включавший все работы по сооружению пролетных строений моста и собственно опор (без опускных колодезей).

## РАБОТЫ ПО СООРУЖЕНИЮ ОСНОВАНИЙ И ОПОР МОСТА

## 2. ФИРМКА КОТЛОВИНЫ

Работы по отрывке котловин для опор моста производились в ноябре и декабре 1934 г., однако полный фронт работ был открыт только с 12 ноября: до этого числа, в течение двух недель со времени перехода движения на обходной путь, один старый путь оставался — как резервный — в его прусаках состояния вследствие некоторой деформации и залывкой присыпки обходных путей.

Эти деформации выражались в подвижках грунта относительно обходных путей (с ленинградской стороны) и связи с выходом на поверхность откоса грунтовой воды.



Фиг. 86. Работы по отрывке котловины опор.

Насыть у конуса и под ходе к истокам с ленинградской стороны также обнаружены некоторые деформации, в результате которых конец эстакады сместился поверху на 15 см по отношению к оси обходных путей.

Указанные нахлопки возникли из-за небрежности, допущенной при выполнении работ по устройству конусов, а также и связи с принятым Службой пути Октябрьской ж. д. исходящими решениями нести присыпку обходных путей на гравии по существующему откосу существующей насыпи. Как уже указывалось, старая насыть вертикально была устроена под два пути и состояла в основном из суглинистых грунтов. В дальнейшем была отсыпана третий (станционный) путь на суглинок. Добавление к этой насыпи со стороны третьего пути гравийной присыпки для обходных путей закрывало выход воды, которая стала накапливаться в пределах суглинкового слоя общего земляного massiva насыпи. Местами вода прорывала гравийную присыпку обходных путей, выходила наружу и частично деформировала откос. Занесенные водой грунты были обнаружены во время выемки в этой насыпи котловина под ленинградскую опору моста: вода в довольно значительном количестве выпала из суглинкового слоя насыпи в потоками. Все это

правило к необходимости принятия мер, обеспечивающих удаление воды из тела насыпи. Благодаря принятым мерам в дальнейшем (с января по ноябрь 1935 г.) обходные пути были изданы устойчивы.

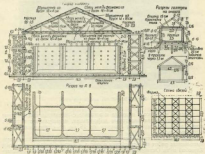
Работы по отрывке потеснялись вследствие при сильных морозах<sup>1</sup> и глубоком промерзании грунта. Разработанный грунт транспортировался тягачами и грабарями, причем пути для вывозки его большей части проходили под металлическими пролетами обходной ветви моста (фиг. 66).

Разработка грунта в основном производилась вертикальным способом, что необходимо особо отметить, учитывая близость обходных путей. Высота 50-600 м<sup>2</sup> земли потребовала около полутора месяцев (отсутствие воздействия недостатка рабочей силы на этих работах).

По окончании разработки потеснявшую часть насыпи между ними оставалась неразобранной и была использована в целях уменьшения высоты и стоимости подмостей для арок и пролетной части.

## II. УСТРОЙСТВО ОТСУСТВУЮЩИХ КОЛОДЦЕЙ

По первоначальному плану производства работ предполагалось в течение зимы пропускать как бетонирование опускаемых колодцев, так и их заполнение. Однако в целях сокращения срока работ, чтобы



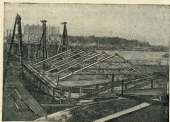
Фиг. 67. Устройство телевиков.

не тратить время на разборку телевиков после бетонирования опускаемых колодцев и на вторичную их сборку при последующем бетонировании заполнения, а также чтобы обеспечить наиболее удобные условия производства работ по выемке грунта при опускании колодцев, — были устроены телевики объемного типа.

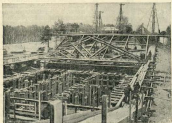
Конструкция этих телевиков представляла собой систему из стоек  $d = 16$  см на лежаках (фиг. 67); стойки были обшиты с двух сторон

<sup>1</sup> В течение лета дни работы совпадали почти с краем каждой температуры воздуха.

тонкими досками, промежуток между которыми заполнялся опилами. Высота стен теплицы никакая 5,0 м, для того чтобы при бетонировании колодцев, имеющих высоту 6,0 м, можно было поднимать бетон сверху.



Фиг. 68. Перекрытие теплицы (фото фотограф) и уложенные стены крупными плитами (фото автора).

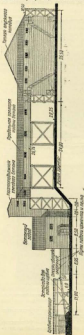


Фиг. 69. Устройство теплицы в саду бывшего скрупчика (фото фотограф) и заборка этой теплицы краем (фото).

Перекрытие теплицы выполняется в виде дощатых стропильных ферм пролетов 22,5 м на гвоздевых соединениях (фиг. 68).

Отопление теплицы производится паром. Необходимое количество пара определяется из условия: наружной температуры — 25° и внутренней + 15°.

Установка опалубки и арматуры колодца производилась одновременно с устройством тяжелой (фиг. 69).



Фиг. 70. Капитальный ремонт в тяжелом.

Каждый из двух бетонных заводов был в этот период оборудован двумя бетономешалками системы «Штутер» с емкостью загружаемого колеса 375 л. При 18 замесах в час, 20 рабочих часах в сутки и норме выхода бетона 0,67 расчетная производительность одного такого завода составляла<sup>1)</sup>:

$$2 \cdot 18 \cdot 20 \cdot 0,67 \cdot 375 = 180 \text{ м}^3 \text{ в сутки.}$$

Загрузка барабана производилась подъемным краном самой бетономешалки. Вертикальная транспортировка бетона производилась двумя кранами в шахтных подъемниках при помощи одной двухбарабанной лебедки. Горизонтальная перевозка готового бетона на бункерах подъемников производилась на тачках в крытой галлерее (фиг. 70).

Отопление бетонных заводов — паровое.

Обогревание внутренних производилось в специальных отсеках такой паром, проходившим по трубам; трубы в отсеках образовывали решетку. В предназначенные для обогревания шебенки трубах были пробиты дыры. Все отсеки, служившие для обогревания внутренних, были пристроены к бетонным заводам под уклональной, с которой и производилась их загрузка. Емкость одной пары отсеков (одного в 9,0 м<sup>3</sup> для щебня и другого в 4,5 м<sup>3</sup> для песка) соответствовала часовой производительности бетонного завода. Загрузка такой пары отсеков внутренними, подававшими обогрев, требовала около получаса. Среднее время обогрева составляло один час, причем требовалось следующее количество пара:

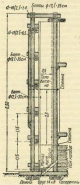
для 9,0 м <sup>3</sup> щебня при нагрузке до 37° 170 кг/м <sup>3</sup>	—	—	—
+ 4,5 м <sup>3</sup> песка	—	—	20° 140
+ 2,5 м <sup>3</sup> вада	—	—	30° 450
Всего . . .	—	—	380 кг/ч

<sup>1)</sup> В дальнейшем в первых летах работы мощность бетонных заводов была увеличена путем дополнительной установки и двумя бетономешалками по одной бетономешалке. Фактическая производительность такого завода при этом достигла 300 м<sup>3</sup> бетона в сутки.

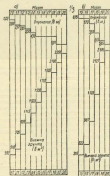
Расход пара на отопление бетонного завода и теплицы определялся в 77 кг/час, общий же расход пара составлял  $786 + 77 = 863$  кг/час; таким образом для бетонирования каждой опоры потребовалась следующая поверхность парогенераторов:

$$\frac{1,1 \cdot 863}{16} = 60 \text{ м}^2.$$

Бетонирование опускных колодцев производилось на ленинградском узле — 5—10 февраля 1935 г., а на московском — 13—17 февраля. В этот период строительство вело испытывало большое напряжение, так как все стволы получали полную нагрузку в тяжелых



Фиг. 71. Опалубка наружных стен опускного колодца.



Фиг. 72. График: а — по опусканию колодца; б — по бетонированию узла; в — по монтируемому узлу.

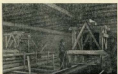
зимних условиях. Качество бетона опускных колодцев было невысоким, так как бетонирование довольно сложной и густо армированной железобетонной конструкции выполнялось рабочими, которые производили такую работу, и состав бетона был подобран без учета условий его укладки (при укладке в дело избога оказалась жесткой и мало пластичной).

#### 5. ПРИСАДКА БОЛЫГИКИ ДО ПРОЕКТНОЙ ОТЯЖКИ

Опускание колодцев начиналось с посадки их на грунт. В первую очередь снимали опалубку и все несущие части опалубки внутренних диафрагм, сохранив только опалубку наружных стен (фиг. 71). Как-

дый ноги колодца поддерживался четырьмя лежаками, поперек наружной вдоль стены колодца; между обеими парами лежаков был устроен проем для ноги; достаточный для пропуска ноги; поверх лежаков по верху навесились подкладки, уложенные на расстоянии 1,25 м одна от другой и служившие опорой для вертикальных стоек опалубки стен колодца.

Собственная часть ноги поддерживалась наклонными коротышками. Несколько позже снятым вертикальным стоянкам и наклонным коротышкам колодец сняли весом продолжавшись подкладки и сдали в пруты, раздавнув в стороны продольные лежаки.



Фиг. 22. Передвижение погрузки тележки на деревянном колодце ленинградского узла (для удаления грунта).

Грунта тележка была сняжена электролебедкой мощностью 1,25 т. Передвигались тележки вручную по отдельному рельсовому пути, расположенному по верху колодца. Внизу колодца, по линии передвижения каждой тележки, навесили несколько деревянных настилов, служивших для погрузки грунта. Тележку устанавливали над саженем из заполненных грунтом ящиков и ящиков, поднятых с помощью электролебедки на них номера, отмеченного за пределы колодца для разгрузки (ящик разгружался через открывавшуюся дверь). Тележки работали безотказно.

В процессе опускания колодца ленинградского узла случились временные задержки. Колодец остановился 16 марта, и в течение четырех дней его не удается опустить ни на один сантиметр, несмотря на продолжавшуюся выемку земли. Грунт был выбран тоже из колодца на 1,61 м, а колодец все не опускался. Для того чтобы вывести колодец из такого положения, за наружными стенками колодца по всему периметру пробурено значительно чисто скважин, а затем заложены и засыпаны замазкой. Однако и это мероприятие неоднократного результата не дало. В конце концов 19 марта колодец самостоятельно, быстро и плавно опустился и непредвиденно был доведен до проектной отметки. Причиной этой задержки, повидимому, явилось следующее обстоятельство: в процессе опускания колодца (из-за некорректных предположений) был разобран его тележки; это позволило задерживать снаружи колодец грунта, сквозь проезжего водой, которая собираясь в течении вокруг стен колодца и регулярно пересекая часть колодца скользила с грунтом, не давшим ему опуститься.

Работы по опусканию колодца ленсовского узла начались 15 марта<sup>1</sup> и окончились 20 марта, т. е. в среднем колодец спускался на 1 м

<sup>1</sup> Выдергивание колодца до опускания продолжалось ровно месяц.

<sup>2</sup> Измерение всплытия до опускания продолжалось 20 дней.

Первым был опущен колодец ленинградского узла. Дата начала<sup>2</sup> опускания — 10 марта, конца спускания — 20 марта. График выемки земли и опускания колодца приведен на фиг. 72.

Выемка грунта в колодце ленинградского узла производилась при помощи четырех специально сконструированных на месте постройки передвижных подъемных тележек (фиг. 23).

При заготовлении ящиков тележек использованы скрытые обмыкающие путевые шагачники; для подъема

в сутки. Выемка грунта производилась четырьмя деревянными дerrickами с электролебедками мощностью по 2,5 т.

Однако оба способа выемки земли из колодца, можно отметить, что они оправдали себя в достаточной степени. Производительность дerrickов вследствие большой мощности их лебедок была соответственно больше; но если учесть время, потребовавшееся на монтаж подъемных механизмов, то работа по выемке на обеих колодцах заняла одинаковый промежуток времени.

По окончании опускания колодцев были установлены следующие наибольшие отклонения в плане от проектного положения колодцев (считая по наружным их границам): по ленинградскому устю — на 4,7 см, по московскому — на 10 см.

Уровень грунтовой воды во время производства работ стоял на 1—1,5 м выше проектной отметки основания. На колодце ленинградского устю откачка воды производилась одним центробежным 6-дюймовым насосом, работавшим периодически; на колодце московского устю котлован осушался при помощи глубинного водонапора. Применение глубинного водонапора в данных условиях одна из балансо необходимых; иначе и давление было бы превышать откачу воды простым центробежным насосом (следует однако отметить, что при глубинном водонапоре в котловане отступления даже привыкли воды).

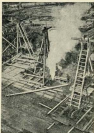
#### 4. ЗАБИВКА СВАЙ ОСНОВАНИЯ

Большое количество свай в основании каждой опоры (888 шт.), их густое расположение, необходимость забивки свай на 6 м выше копра, расположенного поверху колодца, ограниченность фронта работы — все это представляло известные трудности для выполнения свайных работ в короткий срок.

На каждой опоре забивка свай производилась четырьмя парными вибраторами. В целях ускорения производства работ были сконструированы специальные копры с надвижными стрелами телескопического типа. Стрелы по мере забивки свай отходили вправо, и таким образом забивка производилась непрерывно. Копир был снабжен двухбарабанной электролебедкой, которая поднимала стрелы, параллель «оббуб» и сажо (фиг. 74). Устройство таких копров сильно облегчило работу, поскольку обходиться без «специальных» и быстро передвигать копры. вся работа по забивке свай обеих опор, исключая монтаж копров, продолжалась один месяц.

Порядок забивки был принят следующий: в первую очередь забивали по три поперечных ряда свай в передней и задней частях опор; затем забивались все остальные сваи, причем забивка искалась уже продольными рядами от продольной оси опор к боковым границам колодца.

Наиболее трудной в отношении глубины забивки свай была эко-



Фиг. 74. Забивка свай на московском речном устю.

железом опоры. Для этой опоры среднее погружение свай в грунт (снятые по сечениям опускного колодца) было следующее:

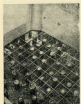
по сечению № 1 . . . . .	4,35 м	по сечению № 7 . . . . .	5,45 м
“ ” № 2 . . . . .	5,11 “	“ ” № 8 . . . . .	6,74 “
“ ” № 3 . . . . .	4,72 “	“ ” № 9 . . . . .	6,24 “
“ ” № 4 . . . . .	4,26 “	“ ” № 10 . . . . .	5,68 “
“ ” № 5 . . . . .	4,26 “	“ ” № 11 . . . . .	5,91 “
“ ” № 6 . . . . .	4,38 “	“ ” № 12 . . . . .	4,83 “

Среднее погружение по всему колодцу составило 4,63 м. При этом погружение 12% всех свай составляло от 2 до 3 м, 18% — от 3 до 4 м, а у остальных 70% свай погружение превышало 4 м.

Для достижения лучшей связи свай с бетоном верхние концы свай спаяны с таким расчетом, чтобы две трети общего числа свай заходились в бетон основания на 30 см и одна треть — на 45 см, причем более тяжкие сваи располагались в каждом третиом ряду (фиг. 76)<sup>1</sup>.

## 2. ИСПЫТАНИЕ ГРУНТА И СВАЙ ПРИ ВНЕШНИХ НАГРУЗКАХ

Для предварительной оценки несущей способности грунта и оснований опор моста могли бы служить следующие два обстоятельства: 1) грунты на отмели основания опор испытывали под действием веса насыпи и толщины 60 лет такое же давление, какое было допущено проектом для действия постоянной нагрузки самого моста ( $1,8 \text{ кг}/\text{см}^2$ ); 2) прокладка в теле насыпи для пропуска под р. Химки трубы, на всем своем протяжении (около 80 м) представлявшая собой единую целую, без деления на сечения, и находившаяся под наименее строгим давлением вышележащей насыпи, не имела в кладке никакого дефектов и трещин, которые неминуемо возникли бы в ней, если бы в грунте основания возникли значительные деформации.



Фот. 76. Листовые сваи и распределительные сваи под основанием опускного колодца.

обоих устоях моста. Испытание на сжатие производилось в стаканах сечением  $d = 30 \text{ см}$ .

Для ленинградского устоя нагрузка была доведена до  $12 \text{ кг}/\text{см}^2$ ; полная осадка при этом составила 22,66 мм, а упругая отдача после снятия нагрузки — 4,35 мм. Для московского устоя нагрузка также была доведена до  $12 \text{ кг}/\text{см}^2$ ; полная осадка от этой нагрузки была 17,10 мм, а отдача при снятии нагрузки — 4,36 мм. Из данных графиков испытания получают такие следующие характеристики грунта:

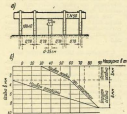
1) при нагрузке  $12 \text{ кг}/\text{см}^2$  напряжение в грунте еще не достигло

<sup>1</sup> Более подробные данные об опыте производства скрытых работ по строительству канала Москв-Балтия приводятся в специальном разделе выпуска «Балтийские работы».

величины временного сопротивления: седка происходила по плавной кривой, близкой к прямой;

2) при длительном испытании той же предельной нагрузкой осадка практически затухала через 45—60 час.

Были подтверждены такие испытания пробной нагрузкой и сваи, забитые в основание опор. В московской колонне испытывались сваи № 530,  $d = 28$  см, забитая до отказа с глубиной погружения



Фиг. 76. Схема установки домкрата (а) и график (б) осадки сваи № 530.



Фиг. 77. Установка свай гидравлическим домкратом (3x28 см) нагрузкой в 30 тоннами гидравлического домкрата.

7,27 м. Сваи подвергались нагрузке при помощи гидравлического домкрата величиной 200 т. Испытание производилось путем упирания порции домкрата, который был установлен на испытуемой свае, в двухстороннюю балку № 50, присоединенную комутами к четырем сваям, расположенным в один ряд с испытуемой (фиг. 76 и 77). Результаты испытания получились следующие:

при нагрузке 20 т в течение 30 мин. осадка равна . . . . .	0 мм
" " 40 " " " 15 " " "	3 "
" " 70 " " " 15 " " "	5 "
" " 90 " " " 15 " " "	9 "

После снятия нагрузки упругая отдача составила 6 мм. Таким образом при нагрузке в 90 т испытуемые сваи дали остаточную деформацию в 3 мм.

Испытание сваи № 319 ( $d = 28$  см), забитой до отказа с глубиной погружения 6,67 м, дало следующие результаты:

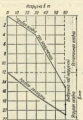
при нагрузке 20 т в течение 30 мин. осадка равна . . . . .	1 мм
" " 40 " " " 20 " " "	4 "
" " 60 " " " 2 ч. "	8 "
" " 60 " " " 30 " " "	10 "
" " 90 " " " 20 " " "	11 "
" " 90 " " " 30 мин. "	20 "

После снятия нагрузки упругая отдача составила 5 мм, т. е. при нагрузке в 90 т остаточная деформация сваи оказалась равной 21 мм.

Свай № 504 ( $d = 28$  см) была забита до отказа и имела глубину

нагружения всего лишь 2,08 м. Результаты испытания (фиг. 78) оказались следующими:

при нагрузке 20 + в течение 15 мин, склон разру	4 м
" " 60 " "	10 "
" " 60 " "	19 "
" " 60 " "	21 "



Фиг. 78. График зависимости высоты разрушения от времени нагружения при нагрузке 20 тонн.

Последовательность бетонирования опор начинаться с заливки опускных колодцев (см. фиг. 79 показана подготовка к выполнению колодца). Эти работы были выполнены по Ленинградскому устю с 26 апреля по 7 мая 1935 г., а по Москворецкому — с 6 мая по 16 мая 1935 г. Объем бетона, уложенного в каждый опускной колодец, в этот период — 1 500 м<sup>3</sup>. Подача бетона здесь производилась по деревянным трубам.

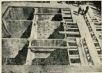
Следующая стадия возведения опор заключалась в бетонировании массива устоев совместно с нижней бесступенчатой частью арок и подбетонированной передней частью находящихся (фиг. 80). Чтобы избежать возможных перекрестий ходов в процессе бетонирования и иметь возможность установить полностью необходимую арматуру, было решено производить подачу бетона сверху, с отм. 15,71 м, доставляя наружную стапельную массу сразу на всю высоту. Массив устоев включал в себя значительное количество тяжелой арматуры (своей собственной, так и для заделки прок). Для поддержания этой арматуры в нужном положении она была поднята в деревянные блоки временого перекрытия, по которому подавался бетон (с отм. 15,71 м). На ленинградском устю блоки временого перекрытия поддерживались специальными бетонными колоннами (фиг. 80), которые в дальнейшем вошли в общий массив бетонной

После снятия нагрузки упругая отдача составила 9 м. Следовательно 60-тонная нагрузка испытуемой стапельной оставила остаточную осадку в 12 м.

Все испытания грунта и сухой основания полностью подтвердили правильность назначенных (с учетом всех сдвигов): на грунт 5 кг/см<sup>2</sup> и на сухо 20,0 т.

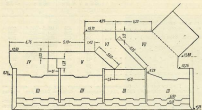
#### 6. РАБОТЫ ПО БЕТОНИРОВАНИЮ ОПОР

Работы по бетонированию опор начинаться с заливки опускных колодцев (см. фиг. 79 показана подготовка к выполнению колодца). Эти работы были выполнены по Ленинградскому устю с 26 апреля по 7 мая 1935 г., а по Москворецкому — с 6 мая по 16 мая 1935 г. Объем бетона, уложенного в каждый опускной колодец, в этот период — 1 500 м<sup>3</sup>. Подача бетона здесь производилась по деревянным трубам.



Фиг. 79. Подготовка к бетонированию заливки опускного колодца Ленинградского устю.

кладки. На московском устое некотоные бетонные колодки были временно заменены деревянные четырехугольные, пустотельные блоки, которые при бетонировании массива образовали в нем пустоты, заполненные пустотелыми блоками бетона.



Фиг. 80. Порядок бетонирования массивного устоя.

Общий объем бетонной кладки массива для каждого устоя составляет около 3000 м<sup>3</sup>. При бетонировании этот объем делялся на четыре блока (фиг. 80 — блоки IV, V, VI и VII), причем границы между блоками VI и VII и между блоками VII и VIII или наименее, под углом около 45° к горизонтали, т. е. примерно нормально к усилию, воспринимаемому массивным устрем от земли.

Бетонирование массива продолжалось на ленинградском устое с 17 мая по 18 июня 1935 г., а на московском — с 25 мая по 12 июня 1935 г.

Коробчатые части устрема бетонированы, начиная с следующих сроков (в 1935 г.):

а) по ленинградскому устрему:  
первый арх с 25 мая по 27 мая  
второй " " 11 июня " 14 июня  
третий " " 29 " " 4 августа

б) по московскому устрему:  
первый арх с 29 мая по 1 июня  
второй " " 17 июня " 19 "  
третий " " 1 августа по 7 августа

<i>t</i>	<i>Z</i>	<i>I</i>	<i>A</i>
<i>t</i>	<i>Z</i>	<i>I</i>	<i>A</i>
<i>t</i>	<i>Z</i>	<i>I</i>	<i>A</i>

Фиг. 81. Последовательность бетонирования ячеек стяжки массивного колодца.

Готовый устой до засыпки песка (см. фиг. 83).

К качеству бетона спор представлялись следующие требования: для заполнения колодца и массива устрема — марка бетона  $R_{st}=200$  кг/см<sup>2</sup>; для подвижного блока (подушки) и арок  $R_{st}=300$  кг/см<sup>2</sup>; для коробчатой надстройки  $R_{st}=300$  кг/см<sup>2</sup>.

Результаты испытаний контрольных образцов бетонных кубиков по московской схеме устрема, приведенные в табл. 8, свидетельствуют, что у примененных бетонов временные сопротивление оказалось выше требуемого.

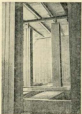
Таблица 8

Элементы сооружения		Весчат ность в кг/см <sup>2</sup>	Раскл. жение в мкм	Раскрытие трещин в мкм	Глубина в мкм
Коробка устоев	1	2	3	4	5
	Заполнение ограждения и колонн ниже стоя обрушилось . . . . .	28	325	189,0—256,0	280
	Податливый блок (подушка) . . . . .	40	325	254,0—272,0	280
	Первый круг . . . . .	28	415	417,0—584,0	380
	Второй . . . . .	42	400	402,0—470,0	300
	Третий . . . . .	28	415	411,0—458,5	300
Промежуточная часть устоев . . . . .		28	415	399,5—462,7	300

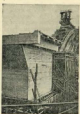
Примечание. 1. Весчательное отношение для блока заполнения колонн составляло 0,6; для податливого блока — 0,4; для коробки устоев — 0,6.

2. Краевые трещиноподобные зоны трубчатой марки бетона и при некотором отдалении покрыты только в одном образце во львиных пещерах.

Немедленно после снятия боковой опалубки, через четыре дня после окончания бетонирования податливого блока ленинградского устоя (фиг. 84), на левой поверхности устоев были обнаружены трещины, которые в основном захватывали податливый блок (У) из фиг.



Фиг. 82. Устройство опоры и опалубка колонн устоев.



Фиг. 83. Податливый блок (промежуточная часть).

200, распространяясь одиночно и за соседний блок — УХ. На левой боковой грани устоя появились три трещины, на правой — две. В месте соприкосновения блоков УХ и У направление трещин было близким к нормам этого цикла, далее — вверху — трещины принимали положение, близкое к вертикальным, выклинивать к верхней грани устоев.

В течение некоторого времени трещины продолжали развиваться и ширину их достигла 1—2 мм. Кроме того возникали новые трещины

(правда, значительно меньшие, почти воздухового характера), причем не только на боковых гранях, но и на передней — самую амортизационную — грани устоев<sup>1</sup>. По рабочему шву между блоками VII и VI также сопряжение отчетливо выражалось трещинами.

Появление этих трещин следует отнести за счет недостаточно точной оценки термических и усадочных напряжений, возможных в бетонных массивах. Сама по себе величина податливого блока (около 750 м<sup>3</sup>), темп его бетонирования (три суток), никак не значительный расход цемента, достигавший в блоке ленинградского устоя 500 кг/м<sup>3</sup> (максимум бетона  $E_{cm}=350$  кг/см<sup>2</sup>), все это в большой степени способствовало интенсивному нагреванию и расширению внутреннего ядра блока при схватывании наружи с интенсивной усадкой наружных слоев блока и следовательно благоприятствовало возникновению указанных трещин.

При тех же объемах и скорости бетонирования расход цемента на московском устое составлял 425 кг/м<sup>3</sup>. Здесь наблюдалась аналогичные явления, но в меньшем масштабе. Таким образом и этот расход цемента (425 кг/м<sup>3</sup>) оказался достаточно большим для такого бетонного массива, как податливый блок устоев.

Судя по всем данным, можно считать, что трещины имели поверхностный характер. В частности, попытка пронести нагревание цементного раствора (под давлением в 4 атм) в тело массива по направлению трещин не дала результата. С течением времени ширина трещин увеличивалась, и к осени 1935 г. они уже имели исчезающе-волосковой характер.

В коробчатой части устоев наблюдалась особого рода усадочные деформации, описание которых будет приведено ниже.

## ГЛАВА VIII

### РАБОТЫ ПО СООРУЖЕНИЮ ПРОЛЕТНОГО СТРОЕНИЯ

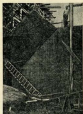
#### 1. ПОДМОСТИ И КРУЖАЛА

Насыль в пределах строявшегося моста в основном сохранился неизменной и разрабатывалась только в пределах опор, так как не было смысла производить разборку насыпи для того, чтобы ликвидировать ее деревянной конструкцией подмостей.

Все конструкции, поддерживавшие опалубку арок и склонов, состояли из трех основных частей (фиг. 85 и 86):

1) склонного основания подмостей, устроенного непосредственно поверх насыпи, а также на откосах, вогнутых опор;

2) подмостей, которые в средней части пролета представляли собой систему рам, установленных на насыпях склонного основания, а в пределах откосов вогнутых образовывались путем направления склонов;



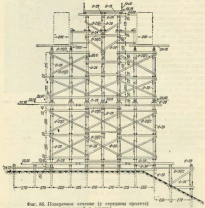
Фиг. 84. Податливый блок ленинградского узла.

<sup>1</sup> В проекции той части арок, которая бетонировалась совместно с блоком, никаких трещин не было обнаружено.

3) кружал, которые были сконструированы в виде системы, симметрической на подмостях с консолью «хвостиком», расположенных в трех ярусах.

Бетонирование пролетного строения начинялось с арок; прокладка части бетонировались после расформирования арок. Вся нижняя часть подмостей после разборки кружал и верхней части подмостей была использована вторично для поддержания опалубки пролетной части<sup>1</sup>.

Несущая система подмостей и кружал представляли собой в целом стоечную конструкцию, обеспечивающую простоту и удобство сборки

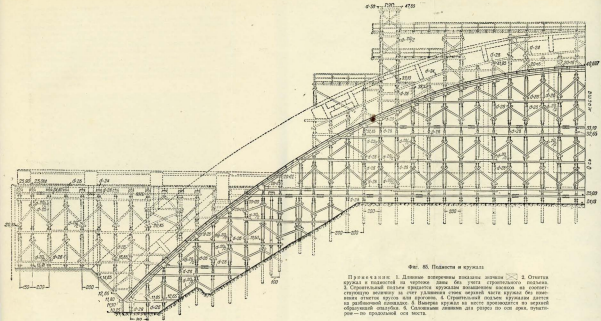


Фиг. 66. Поперечное сечение [у середины пролета] подмостей и кружал.

как самих кружал, так и арматуры подвесок. Применение всерой или подкосной системы к устройству кустовых сжатых опор оказалось бы в данном случае мало целесообразным; вследствие принятой в стоечной системе предельной нагрузки на сваю (16 т) общее количество свай не уменьшилось бы, а в дальнейшем возникла бы необходимость в забивке дополнительных свай для подмостей пролетной части.

В общую систему подмостей были также включены мачтовые вертикальные подъемники и рабочие мостики. Подъемники были распо-

<sup>1</sup> В книге Е. Л. Хабанова «Быстроходные колесобегущие машины» (фут. Трансмодернизация промышленности некоторых отраслей машиностроения и кружал Хабановского завода без разрушения его назначения, причем даже за вполне привычное значение производствия работ).



Фиг. 85. Подкости и кружалы

Причертаны: 1. Данные измерения показаны линиями 2. Отметки кружал в подкостях на чертеже даны без учета строительного подъема.  
 3. Строительный подъем придается кружкам показанным линиями в соответствии с величину за счет удаления стены первая часть кружка без изменения отметок кружка или крючка. 4. Строительный подъем кружкам дается на разбивочной планшете. 5. Вычерченные кружки на костях производятся из первых обработанных отверстий. 6. Головками линии для разрезов по оси арок, пунтире—по продольной оси моста.

должны между арками моста примерно в четвертих пролетах (то есть подъемники с каждого конца моста) и служили для подъема бетона от уровня проходной части на разные этажи рабочих мостиков; эти мостики расстигались плавкою, над соответствующими секциями, на которые дались пролет арок при бетонировании (фиг. 87).

Бригадный пояс кружал, образующий краялое извонного очертания арок, состоял из отдельных косиков (диагональ) длиной от 4 до 6 м и сечением  $30 \times 22$  см, упирающихся торцами друг в друга в поддеревяненных стойках кружала. Узлы, образуемые стойками и косиками, были скреплены металлическими фасонками из листовой стали толщиной 8 мм. В наклонных частях кружал стойки упирались дополнительно в специальные деревянные болванки, прудленные в косики и скрепленные с ними.



Фиг. 87. Общий вид вспомогательных арок и рабочих мостиков.

В сжатом основании подмостей насчитывалось всего 668 свай. Забивка их производилась замесом с помощью четырех копров, оснащенных подвесными бабами весом по 1,25 т и подъемными электроредукторами. Глубина забивки составляла от 12 до 16 м. Кружало изготовлялось на сборочной площадке, где в натуральную величину была расчерчена параллельность кружал, образующие извонное очертание арок. К этой кружале были добавлены координаты строительного подъема, изменявшиеся также по наработке от 15 см (в зиме) до 50 см (в лето).

Пристроены для раскручивания служили деревянные колышки. Это простое приспособление дважды при таком большом пролете показало себе и отважное удобрство работ и надежности. Непосредственно на колышках имелись планки, которые, не являясь элементом для раскручивания, служили в процессе сборки кружал для точной регулировки положения стоеч по высоте.

## 2. СВЯЗНОЕ ЦЕНТРИРОВАНИЕ И ОПЫЛУКА АРКИ

Коробчатая конструкция арок представляет некоторые затруднения для устройства опалубки и бетонирования арок сразу на все их сечения. Поэтому арки бетонировались в два приема: сначала произ-

подились бетонированные нижней части, т. е. нижнего кольца арки (два коробки), а затем — верхней части фестона и верха коробки), поверхечное сечение которой образует букву П.

Кроме такого деления арки по высоте сечения было принято делить ее в длином направлении, причем по длине вся арка (оба ее конца) была разделена на девять секторов протяженностью от 10 до 14 м (фиг. №6).

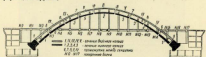
Между отдельными секторами на всю ширину и высоту арки оставались небетонированные промежутки длиной в 1,00 м. Секции были расположены симметрично относительно середины пролета.

На фиг. №6 цифрами 1—6 и 1—У указан порядок бетонирования секторов (бетонирование полюс одновременно в обеих половинах пролета по обеим аркам), а цифрами 8—10 — порядок бетонирования промежутков.

Такое употребление и местостроение последовательность бетонирования имела целью:

1) сократить к минимуму неизбежные деформации кружал, не допускать в то же время асимметричности этих деформаций;

2) предотвратить возможность возникновения трещин в арке при деформации кружал;



Фиг. №6. Порядок бетонирования арки.

3) уменьшить усадочные деформации арки, предоставив отдельным, не связанным друг с другом секторам возможность независимого сокращения по длине и ширине в проекции небольших усадочных деформаций (и первые дни такредкии бетона), что имеет особое значение при употреблении высокосортных цементов.

Связи между арками бетонировались по мере окончания бетонирования верхнего кольца арки, т. е. после того, как произошли основные деформации тюбингов. При этом и элементы секторов были оставлены небетонированными промежутки в соответствии с имеющимися (упомянутыми выше) промежутками связей арок.

По истечении некоторого времени было произведено очистка днищ арок (в порядке, указанном на фиг. №6 цифрами 6—10), а вскоре следом вслед за этим и замыкание связей.

Конструкция опалубки следовала принятому способу бетонирования. Опалубку арок в окончании разделялась на две независимые части: 1) опалубку нижнего кольца арки и 2) опалубку верхнего кольца, которая устанавливалась после бетонирования и разборки опалубки нижнего кольца.

Опалубка нижнего кольца (фиг. 89 и 90) состояла в своей нижней части из сплошного дощатого продольного настила, уложенного на сплошном брускчатом настиле кружал. Брускчатый настил устроен сплошным потому, что расстояние между кружками кружал было сравнительно велико (2,5 м).

В свою очередь это расстояние (при ширине арок 2,0 м) определялось необходимостью пропустить между кружками кружал подвески, имеющие ширину 1,9 м.

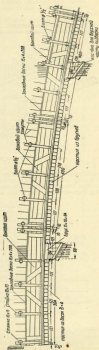
Боковые части фальшбрунен нижнего кольца представляли собой отдельные щиты, заготовленные заранее на разбивочной площадке по вычерченной в натуральную величину арке. Края щитов пронизывались рамками из брусков. Для бруска распределялись нормально к образующей кольца арки и вложены сквозь щиты концами прикреплялись к брускам по насту кружка при помощи болтов с пробучинами (фиг. 91); верхние концы этих брусков были соединены поперечным горизонтальным бруском, идущим по верху нижнего кольца арки. Рамки располагались на расстоянии 1,20 м друг от друга.

Верхняя часть спалубки движущего колеса при состояла из отдельно расположенных (по ширине бетонирования) поперечных досок, которые удерживались на месте при помощи четырех продольных брусьев, подшивавшихся под поперечные брусьи рамы.

Отдельные секции изображенного кольца при разграживании между собой деревянными заглушками, которые расширялись деревянными рамками. Кроме того в эти же промежутки между секциями были установлены заранее изготовленные деревянные распорки шестигранного сечения, снабженные спиральной арматурой. Назначение распорок заключалось в том, чтобы в пределах незащищенных промежутков свести к минимуму те деформации (выступания) кирпичной пропущенной кладки, которые обусловливаются сокращением длины проеков вследствие деформации кружек.

В местах примыкания подвесок к настилу круглые прокладки-коробки для верхних частей подвесок так, чтобы при бетонировании нижнего колышка кольца проволоки не попадали в чистую подвеску.

Для облегчения работ по осуществлению привыкания бетонировавшихся позже нижних частей подсоков к забетонированным верхним частям последними зачищались нальзовой поверхностью (фиг. 89).



卷之三

После выдергивания бетона нижнего кольца опалубка его полностью удалилось и вместо него устанавливались опалубки верхнего кольца.

Оплётка верхнего волнила (фиг. 92-95) состояла из двух частей — внутренней и наружной. В первую очередь устраивалась внутренняя оплётка, вокруг которой устанавливалась арматура верхнего

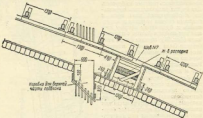
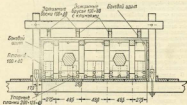


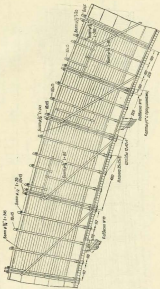
Fig. 21. Effect of the number of turns on the current density.

кольца зажигают (фиг. 96 и 97). Вслед за тем становятся наружные опалубки первичного кольца, по своей конструкции подобные опалубке внешнего кольца. Опалубка базовых стеков (наружная опалубка первичного кольца) была устроена сразу из яиц высоту зажиг в виде отдельных панелей



Mr. J. L. Wren Ph. T. de Vriesen gen. M.

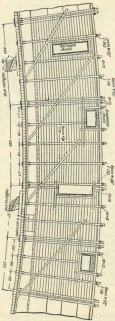
(из 4-х досок), изготовленных заранее из рабочейющей пихты. Ширина уширивалась при помощи стоек сечением  $10 \times 15$  см, соединенных поперек зеркала перегородкой на болтах. Стойки ставились точно на то место, где раньше располагались стойки (брюса) отапливаемого



Wij zijn verantwoordelijk voor de ontwikkeling van de voorstellingen die worden opgevoerd door de theatergroep.

ночные в промежутках к брускам постели тем же болтами. Обивка цевета верхнего конца подкладки скована золотую к верху бетона винтового конца. Отделка обеих боковых стенок приведена на фиг. 92 и 93.

Fig. 20. Enclosed site - staircase sections showing steps in preparation to start.



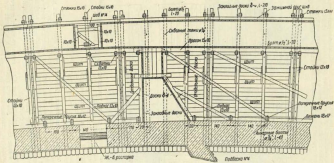
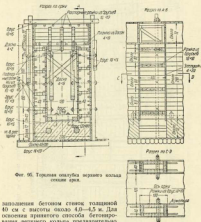


Fig. 2. *Ctenomys spatus* before molt. 100 mm Apex.

Установка опалубки боковых стенок сразу на всю высоту арки производилась потому, что при иной способе значительно труднее получить правильное очертание верхней обрастающей арки и невозможно осуществить правильное примыкание элементов сайдинг к арке. Принятый способ требовал бетонирования боковых стенок арки сверху, т. е.

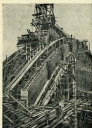


Фиг. 66. Торцевая опалубка первого колпца верхнего кольца арки.

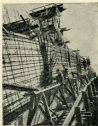
заполнения бетоном стенок толщиной 40 см с высоты около 4,0—4,5 м. Для освоения принятого способа бетонирования верхнего колпака предварительно был забетонирован в стороны от моста в натуральную величину отрезок арки длиной около 6 м (фиг. 58).

При бетонировании тонких боковых стенок арки весьма важно было соблюсти правильную проектную толщину их. Для этого были применены заранее изготовленные бетонные распорки, точно фиксирующие расстояние между опалубками. Сквозь распорку, в специальные отверстия, пропускался стальной болт; распорки оставались в забетонированных стенах; болты после бетонирования удалялись, а отверстия заделывались раствором.

Опалубка как для нижнего, так и для верхнего колпака арки заготовлялась в виде цепей, без учета строительного подъема кружал. Такими образом при установке цепей на место между их торцами имелись некоторая разбежка, исчезавшая при бетонировании сайдинг (следствием осадки кружал).



Фот. №8. Установка верхней опалубки на верхний колышек арки.



Фот. №9. Установка кранами прокладки верхнего колышка арки.

Опалубка арочных сэндэй и опалубка верхнего юкосы арки устанавливались одновременно. При бетонировании сэндэй верхнего колышка арки одновременно бетонировалась концы прилегающих элементов сэндэй, причем на этой стадии бетонировка различнялась сечением, нормальным к элементу связи.

В заключение приводим следующие данные о сроках прохождения работ по бетонированию арок:



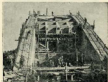
Фот. №10. Остатки крана верхнего колышка арки.

1) нижнее колышко — бетонирование сэндэй (фот. №8, изображение номера А.Б. №1)	27 июня
2) верхняя и бетонированная нижняя колышка фундаментальной	28 "
3) нижнее колышко — бетонирование сэндэй (фот. №8, изображение А.Б. №2)	29 "
4) предварительный верхний якорь после окончания бетонирования нижнего колышка (включительно)	30 "
5) снятие опалубки нижнего колышка	31 "
6) установка: а) внутренней опалубки верхнего колышка, б) арматуры, в) наружной опалубки, г) опалубка сэндэй и д) прокладки сэндэй	32 "—1 августа
7) бетонирование сэндэй верхнего колышка арки (один день для сэндэй и каждый арки одновременно, в сущности верхнюю прокладку при переходе к следующей паре сэндэй, в порядке, указанном на фиг. №9)	2 "
8) бетонирование сэндэй	3—15 августа
9) верхняя до замыкания арок (форма арки) с нижними колышками колышка арки	16—17 августа
10) замыкание арок	18—19 августа
11) замыкание сэндэй	20—21 августа
	22—23 августа
	24—25 августа
	26—27 августа
	28—29 августа
	30—31 августа
	31 августа—1 сентября
	4—5 сентября
	6 сентября

Следует отметить, что при переходе к бетонированию арок было потребовано полтора месяца из-за отсутствия на строительной площадке высокомаршевого цемента, необходимого для изготовления арок. Вследствие этого начальные сроки дальнейших работ были сокращены, что можно усмотреть из вышеуказанных данных; в частности переход до замыкания арок состоялся всего лишь дней

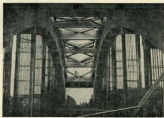
## 8. БЕТОНИРОВАНИЕ ПРИЧАЙДЕННОЙ ЧАСТИ И ПОДДЕСКА

Причайдальная часть в основном (фигуре 4—Л) бетонировалась после раскорчевывания арок. Это вызывалось необходимостью в целях создания оптимальных условий бетонирования причайдальной части убрать кружала и подмости арок и сносить.



Фиг. 99. Установка опалубки арок.

Поддеска бетонировалась после раскорчевывания причайдальной части. Это было обусловлено требованием НИПС об ограничении растягивающих напряжений в бетоне подвесок величиной 25  $\text{мкм}$ \* при расчете на основные силы. Требование НИПС можно было выполнить только передачей усилий от постоянной нагрузки полностью на арматуру подвесок до их забетонирования (фиг. 99 и 100).



Фиг. 100. Арка после уборки кружал в пальметтей.

Порядок бетонирования причайдовой части был принят следующий (фиг. 88):

1) одновременно с бетонированием арок (верхние схвачи, обозначенные на фиг. 88)

\* Подробнее о производстве бетонных и железобетонных работ на строительстве канала Москва—Волга см. специальный выпуск журнала «Бетонные работы».

ченные цифровой IV) производилась бетонировка поперечных блоков 3 и 4, сформировавших арки;

3) панели 3—4, 13—14, 2—3, 14—15 и 6—1, 16—17 бетонировались до раскрытия швов (с 9 по 20 сентября);

4) панели 1—2, 15—16 и все панели от узла 4 до узла 12 бетонировались после раскрытия швов (с 26 сентября по 6 октября).

В отношении порядка и производства бетонирования проезжей части необходимо отметить два характерных обстоятельства:

а) панели 1—2 и 15—16 являлись как бы замыкающими в бетонировании, поскольку раскрытие швов потому, что деформации арок при раскрытии швов могли повлечь за собой появление трещин в этих двух панелях, если бы они были уже забетонированы;

б) бетонирование отдельных участков проезжей части как коротких, так и длинных (например участка 4—5 и 9—12) происходило сразу на всю ширину проезжей части (33,0 м), начиная укладку на один конец участка и продвигаясь постепенно к другому концу; таким способом бетонирования, требовавший узкого времени и быстроты действий, наилучшим образом обеспечивал качество бетонной кладки.

Бетонирование подошв производилось с 16 по 17 октября.

#### 4. АНГРИНЫ, ЦЕМЕНТ, ПОДСОР СОСТАВ БЕТОНА; КОНТРОЛЬ КАЧЕСТВА

Щебень заготавливали на месте электроприем путем дробления горных выработок, которое производилось на юнисдробильных системах Ассо, с разделением щебня на две фракции с отбором зерен до 5 мм. Фракционирование осуществлялось непосредственной подачей щебня из приема от юнисдробильки в сортировочные барабаны. Для бетона опускных колодцев и их заполнения применялись следующие две фракции: крупностью от 5 до 40 мм и от 40 до 70 мм; для бетона колодьев устоек, арок и проездной части фракции щебня подразделялись: от 6 до 25 мм и от 25 до 40 мм.

Челюстные юнисдробильки дают довольно значительное количество (до 15—20%) щебня из-за плавкой щебенки. Для выяснения влияния лежаков на прочность бетона были проведены специальные опыты. С этой целью были изготовлены бетонные кубики размером 30×30×30 см из цементного состава 1 : 1,65 : 2,65 на цементе с активностью  $R_{28} = 380$  кг/см<sup>2</sup>. Щебень состоял из двух фракций крупностью 25—40 и 5—25 мм, взятых в разных количествах. Результаты испытаний приведены в табл. 9.

Эти данные свидетельствуют о том, что прочность бетона и его пластичность не снижаются при нормальном получении от дробления камни количестве (15—20%) щебнями.

Песок состоял в основном из кварцевых зерен уплотненной формы. Модуль крупности — от 3,06 до 3,39. Краевые просеки песка не выходили за пределов, установленных нормами для железобетонных

Таблица 9  
Влияние содержания щебня и плавкой щебенки на прочность бетона с различными лежаками

Л	Состав крупной заправки лежаков в процентах по весу		Объем кубика в см	Прочность сопротивление сжатию в кг/см <sup>2</sup>
	отходы	щебень кубической формы		
1	6	100	17	305
2	12	88	17	219
3	22	75	17	193
4	28	72	17	148
5	78	22	11	125
6	100	0	5	104

Приложение. Взраст бетона — 7 дней.

работ (фиг. 101). Однако плавный переход зерен песка от мелких фракций к крупным несколько нарушил недостатком частиц от 1,2 до 5,0 мм. В связи с этим были проведены опыты для выяснения целесообразности добавления в песок отсевов, полученных при дроблении щебенки (предполагалось применять стекловидные добавленные частицы от 1,2 до 5,0 мм, находившиеся в песке в недостаточном количестве). Испытательные кубики размером  $7 \times 7 \times 7$  см, изготовленные из состава 1:3, изображались на изогре Клебе; количество удобрений — 20. Результаты испытаний кубиков приведены в табл. 10.

Таблица 10

Результаты испытаний цементных кубиков, изготовленных из песка как из мелкого щебенки

$\frac{M}{M}$	$\frac{M}{M}$	Время испарения воды в ч/с	Инерции, примененные для загоревшего бетона
1	7	172	Песок
2	7	94	Отсев щебенки, дополнительные просейки фракции до $1,2 \text{ mm}$
3	7	73	Отсев щебенки дополнительные с горизонтального барабана

стям как при испытании, так и при хранении.

В связи с этим Строительством были приняты меры к тому, чтобы оценка качества прибывающего цемента была по возможности инерциальной и точной. Большое внимание было уделено организации хранения цемента. На строительстве были оборудованы два цементных склада общей емкостью в 4 500 т. Нижний склад состоял из ряда отдельных ячеек вместимостью каждая по два вагона (36 т) и предназначалась для хранения цемента, прибывающего рассыпью. В верхних ячейках хранился цемент, доставленный в бочках или мешках (фиг. 102).

Весь цемент, предназначенный для бетонирования пролетного строения, испытывался по инерции.

Заданные НКПС марки бетона для пролетного строения, а именно  $R_{10} = 300 \text{ кг}/\text{см}^2$  (для пролетной части) и  $R_{10} = 350 \text{ кг}/\text{см}^2$  (для арок), никогда не превосходили объемно применявшиеся до того времени в мостостроении марки.

В связи с этим необходимо отметить, что требование органов НКПС о применении таких высоких марок бетона для допущенных в данном сооружении напряжений является ложным.

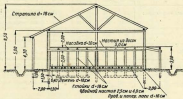
Фиг. 101. Кривые пропитывания цемента № 1 — действительные; № 2 — предполагаемые.

Вопрос о правильном подборе состава бетона имел самое серьезное значение.

Строительством предъявлялись к бетону следующие основные требования:

- 1) обязательное получение требуемого временного сопротивления сжатию (сближение зарядов);
- 2) удобоизбретаемость.

Обычно при подборе состава бетона второму требование уделяется мало внимания, между тем как от удобоизбретаемости бетонной смеси во многом зависит качество бетона.



Фиг. 102. Чертеж арки (разрез).

Проектные строения бетонировались на цементе Новороссийского завода, прибывающим с большими откладками. Подбор состава бетона был произведен на основе результатов стендовых, т. е. ускоренных испытаний цемента и бетона.

Для бетонирования арки был применен бетон с осевой конусностью 16—18 см следующего состава, давшего при семипарных испытаниях наилучшие результаты:

цемент . . . . .	400 кг	$\frac{W}{C} = 0,48$
вода . . . . .	200 л	
песок . . . . .	900 кг	50% верхнекрепкости
щебень . . . . .	1847 кг	3—25 мм в 50% верхней части (25—40 мм)

Уплотнение бетона при его укладке производилось простым шурением вручную. При бетонировании верхних сечений арки наряду с металлическими шурупами применялись деревянные деревянные шурупы, оказавшиеся очень практичными в работе.

Контроль качества заготовляемого бетона и его укладки, а также и укладки раскаленного бетоном осуществлялся под непрерывным наблюдением бетонной лаборатории строительства моста, имеющей достаточным количеством лабораторий. Во время бетонирования на каждом бетонном заводе находился сменный лаборант. Данные наиболее характерных испытаний контрольных образцов бетонных кубиков по временному строению Хмынинского моста приведены в табл. 11.

Таблица 11

Элементы конструкций	Возраст бетона в летах	Размер изогнута в стру	Сроки изогну- тия в дн.	$\frac{W}{L}$	Результаты испытаний в кг/см <sup>2</sup>		Продолжи- тельность изгиба в летах <sup>a</sup>
					6	7	
1	2	3	4	5	6	7	
Нижнее поле арки	28	425	12—14	0,45	411,3—559,3	300	
	42	425	12—14	0,45	377—575	300	
	60—61	425	12—14	0,45	380,5—581	300	
Верхнее поле арки	28	425	10—12	0,45	377—427	300	
	42	425	10—12	0,45	388,3—489,3	300	
	60—61	425	10—12	0,45	350—458,3	300	
Свод	28	425	14—16	0,45	322—396	300	
	42	425	14—16	0,45	297—356,6	300	
Столбы	7	425	10—12	0,82	218,3—233	300	
	28	425	10—12	0,82	198,8	300	
Прокладка	28	400—440	10—12	0,47—0,52	304—392,9	300	
Подвески	8—10	440	10—12	0,47	186,3—233,6	300	

Приложеник 1. Контрольные образцы хранились в производственных условиях.

2. Относительная и статистическая проверка надежной марки бетона измерялась с помощью изогнутых по бокаму изогнутых образцов.

## 2. АРМАТУРА

В соответствии с коротким сроком постройки моста (в течение одного года) потребовалось создать необходимые условия для быстрой переработки 1 185 т стали, используемой на арматуру моста. Одним из таких основных условий являлось правильное организацию работ в арматурном цехе, общая схема которого приведена на фиг. 103.

Работы в цеху производились отдельными (подготовленными цехом на месте постройки) специализированными цехами: рабочими по: 1) выпрямлению стали, 2) резке ее, 3) сварке, 4) механическому гнутью и 5) ручному путевому. Все работы по подноске, сырье и отнеске готовых изделий производились подсобными рабочими.

Отдельные процессы заготовки арматуры были организованы так, чтобы, во-первых, обеспечивалась необходимая деформация основных потоков заготовляемой арматуры и, во-вторых, были соблюдены правильная последовательность операций по линии производственного передвижения обрабатываемой стали (от склада сырья до склада готовых изделий).

Цех пропускал три потока арматуры:

- 1) крупных диаметров ( $d \geq 16$  мм) длиной от 9 до 25—30 м;
- 2) крупных диаметров длиной до 9 м;
- 3) малых диаметров ( $d < 12$  мм).

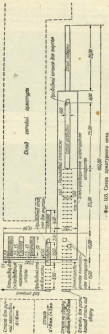
Ниже приводятся описание процессов заготовления арматуры только крупных диаметров (на фиг. 103 представлена все потоки).

Ввиду того что обычная длина стержней не превышает 9 м, для

получения стальной длиной до 25—30 м требовалась сварка стали<sup>1</sup>. При сооружении Химкинского моста (как и вообще во всем строительстве канала) применялась контактная сварка притяжки вместо обычно применявшейся до того электродной сварки. Это значительно повышало производительность соответствующих работ. Сварка велась на стыковых аппаратах типа АСН-25 методом «скрепления» (фиг. 104). При таком методе требуется, чтобы свариваемые концы стержней имели правильный (строго нормальный к оси стержней) обрез. Требование это приводит к необходимости установки специальных ставков, дающих такой именно обрез стержней. На постройке моста для этой цели были применены изогнутые (глава реинфорсовых) ставки, обладающие надежной производительностью. Контактная сварка методом «скрепления» (фиг. 105), в дальнейшем уступив основная и применявшаяся на Строительстве канала, не требует специальной обработки концов стержней и оказывается весьма высокой производительностью.

После сушки на стыковочных аппаратах сталь поступала на разбивочные стаканы, где обжигались запас для гибки не менее чем на четыре часа. Сталь, проходившая сушку, имела давину, точно соответствовавшую длине загибаемых стержней; разметка ее производилась непосредственно на разбивочных стаканах (таким об-

— Занем-постановки разра-  
батывают стиль на короткие куски для  
того, чтобы их можно было грунтовать  
в кратные пятнышки. Опытно-экспери-  
ментально в строительном деле корот-  
кие спиральные винты за собой боль-  
шое недовольство, в частности разви-  
тие соответствующих рабочих, а та  
же инженерных случаев, когда  
происходит или стыковка  
Народному хозяйству СССР при-  
носят огромные убытки.



卷之三

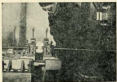
разом открытие происходит только один раз — при разметке на уединенном столе).

Густые арматуры крутых диаметров проходят по наружным приводным стыках. Сопутствующие стяжки со стыка направлялись на сталь поверхом, и оттуда — на склад готовых изделий.

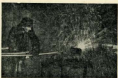
В проектное строение шла сталь марки Ст. З с временем сваротврзывания 38—45 кг/мм<sup>2</sup> и относительным удлинением 23—26%. Для испытания стали отбирались от 3 до 6 образцов в зависимости от диаметра из каждого прибывающего пакета. Качество работы каждого сварщика проверялось путем испытания сварки по партиям (партией считали количество стыков сварки, выполненных за смену, но не более 300 стыков).

Проверку качества  
внедили следующие испы-  
тания образцов стекла:

1) На загиб воздух другого стекла, диаметр которого равен двум диаметрам испытуемого стекла. Число образцов, испытываемых из загибов, составляло примерно 2% от общего количества проверенных стекол проверяющейся партии. При загибе стеколенье должно было пнуться, не ломаясь, на  $180^\circ$ . В случае неудовлетворительного результата количество испытуемых стеколений удваивалось; при повторении же



Фиг. 104. Электролитический метод измерения



The H. B. Brewster collection includes

удовлетворительного результата дальнейшие испытания не производились, и все соответствующие партии браковались.

20 На разрыв молниегоном способом. Это испытание сопровождалось сильной вспышкой света.

Общее количество осмытых стыков составляло 21 460 шт. Количество выброшенных стыков — 190 шт. или 0,89% общего количества.

В ответственных частях конструкции (подкосах и поперечных балках) контактные стыки в целях обеспечения их 100%-ной прочности усиливаются электрорезиновой прокладкой длиной 200 мм и диаметром 16 мм при диаметре спирального стержня, равном 28 мм.

Доставка арматуры из места ее установки была в основном механизирована. Для арматуры ярусов, длина стержней которой достигает 30 м, подавалась на место установки по специальным лоткам при помощи электротележек.

<sup>1</sup> В наше кандидатство мы не можем претендовать на получение этого звания.

Нижний ряд арматуры устанавливался на бетонные прокладки, имеющие толщину 3 см, равную величине защитного слоя; ширину прокладок — 5 см, длину — 8 см. В каждую прокладку были заделаны для отрезка изнанкой прокладки концы одного отрезка были выпущены из прокладки и скреплены ее со стержнями арматуры. При установке горизонтальных стержней в армированых стенах (шахтер в боковых стенах арки, в стенах опускного колодца, в стенах настрийки устоев) для облегчения монтажа применялись специальные вертикальные стержни с прикрепленными к ним на заданных расстояниях чайниками. Эти «чайники» служили позициями для установки горизонтальных стержней арматуры и позволяли точно фиксировать ее требуемое расположение.

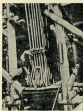
Арматура подвесов и арматура нижнего кольца арок устанавливались одновременно. В целях соблюдения правильности монтажа конные концы стержней арматуры подвесов приходилось устанавливать за специальный поддерживающий настил (фиг. 106), при этом стержни подвесок упирались в виде карусели. Перед началом бетонирования нижнего кольца каждый карусель подвешивался на специальных поддирках, расположенных выше уровня бетона нижнего кольца арок, в искаженном поддергивающим настил убирались. Благодаря этому устраивалась опасность, что при бетонировании нижнего кольца и сопутствующих этому процессу осадочных деформаций кружки увлекающиеся в настил арматура подвесов своим верхним концами повредят свежий бетон нижнего кольца в месте пришивания к нему подвески.

После раскрепленияни прокладки оказалось, что напряжение стержней арматуры подвесок выодинаково. Поэтому перед бетонированием подвесок их арматура была «настроена» до одинакового (например) напряжения путем выбора сдвигов отдельных стержней внутри подвески. Это было достигнуто постоянной горизонтальными скрутками и приваркой замков.

Заслуживают быть отмечеными еще одно важное обстоятельство, связанное с производством арматурных работ. Выше уже указывалось, что в промежутках между отдельно бетонируемыми секциями нижнего кольца арок были установлены железобетонные распорки, предназначенные для того, чтобы противостоять сокращению длины указанных промежутков при осадочных деформациях кружек.

Неправильные меры к уменьшению этих сокращений при наложении арматуры, проходящей по длине арок непрерывно, могли привести к сильному выпучиванию стержней и значительному повреждению неизвестного бетона. Старт бетонирования арок показал, что условное сокращение нижнего кольца арок с помощью железобетонных распорок не может уменьшить влияние осадочной деформации кружек заметно, чтобы избежать предотвратить возможное выпучивание арматуры, которое все же наблюдалось.

Отсюда, по нашему мнению, можно вывести заключение, что допускается непрерывный пропуск продольной арматуры по всей длине арок не следует и что нужно устранять стыки продольных стержней хотя бы в пределах двух замкнутых ячеек (несколько секций промежутков), граничащих с последними бетонируемыми секциями.



Фиг. 106. Монтаж арматуры подвесок.

## 4. РЕАКТИВНЫЕ ДЕФОРМАЦИИ БЕТОННОЙ КЛАДКИ

Предельный изгиб бетонирования арок проходил на границе между внешней колыцем арок (лии коробки) и ее верхним кольцом (стенки и верх коробки), изменяя в конечном отсечении форму буфера П. Примерно через 20—25 дней после бетонирования верхнего кольца были обнаружены по всему шву колосовые трещины, которые начали по внешней грани арок и прерывались в местах замков-коробок; дальше, т. е. на расстоянии длины на участках арок, бетонировавшихся в два приема<sup>1</sup>.

Анализ возможных причин появления узких трещин приводит к следующим заключениям. Появление деформаций бетона в результате выщелачивания следует исключить, так как появление трещин наблюдалось через значительный промежуток времени после бетонирования. Причину появления трещин следует искать в усадочных деформациях бетона. Разрыв во времени бетонирования внешнего кольца арок и ее верхнего кольца достигал 21—30 дней. В течение этого времени внешнее кольцо арок подвергалась усадке, которая к моменту начала бетонирования верхнего кольца составляла уже значительную часть возможной общей усадочной деформации. После бетонирования верхнего (П-образного) кольца его усадка приводит к значительным растягивающим напряжениям в бетоне и хомутах боковых стенок, проявляющимся по наружной поверхности стеков в местах их примыкания к внешнему кольцу. Для восприятия этих напряжений необходимо соответствующее количество спиральной арматуры<sup>2</sup>.

Аналогичное явление обнаружилось также и в пристенных коробчатых надстройках устоев. Эти надстройки бетонировались позже, причем первыми в бетонировании находили двух смежных этажей лестниц 16—20 дней. После бетонирования каждого вынужденного этажа его усадка происходила в условиях ненаденного (бокового) скрепления стеков верхнего этажа с нижним этажом. В результате напряжений, возникающих в процессе этого явления, в стенах коробки появились колосовые трещины. Однако эти трещины были обнаружены только в тех стенах, которые имели двери для прохода (фиг. 48); в каждой такой стене имелась только одна трещина, начинавшаяся от верхнего угла двери и вытягивавшаяся в верху стены. В подобных конструкциях устранение возможности появления трещин представляется более сложным, чем в новых бетонированных по колым арках; одной же мерой может служить установка достаточного количества арматуры под дверным проемом стены.

## ГЛАВА VIII

### ВВОД В РАБОТУ ОТДЕЛЬНЫХ ЧАСТЕЙ СООРУЖЕНИЯ И ВСЕГО МОСТА В ЦЕЛОМ

#### I. РАСКРУЖИВАНИЕ АРКОВ

К моменту раскручивания арок как проездная часть в пределах всех панелей от узла 4 до узла 17 и панелей 1—2, 13—14, так и все подвески оставались небетонированными.

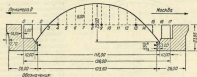
При раскручивании производилось наблюдение за деформации сооружения с помощью мониторинговых приборов.

Схема установки этих приборов показана на фиг. 107.

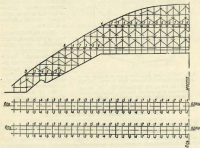
<sup>1</sup> Заключение кузни бетонировалась сразу на полное сечение арки.

<sup>2</sup> На момент начала строительства Химкинского моста применение кольца и арок Баскаковского моста через Москву-реку было значительно успешнее, благодаря этому перерывание трещин по рабочему шву после бетонирования не наблюдалось.

Расчуждение арок предшествовало в первую очередь освобождение кобылок, расположенных под стойками, несущими склон арок<sup>1</sup>, и во вторую очередь — освобождение кобылок в подмостях, несущих панели 3—6, 13—16 и 2—3, 14—15 промежуточной части. Далееший порядок сноса кобылок указан на фиг. 108. Одновременно сому переключению подвергались от 40 до 48 кобылок, причем зам-



Фиг. 107. Установка местоположенияных приборов при расчуждении арок.



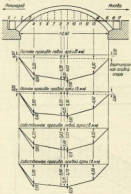
Фиг. 108. Порядок сноса кобылок при расчуждении арок.

Примечание. Несмотря на указанное порядок удаления кобылок различны. Попеременное удаление кобылок производится в 5 приемов (от 2ого до 7ого). Осуществление приема 1 и 2 относится к расчуждению промежуточной части.

<sup>1</sup> Предварительно сносились склоны между кружевами арок и лестницами, поддерживавшими краевые склоны.

дни на них доводились до состояния разрушения в три промежутка: после третьего прогиба остатки мостовых удалялись.

Раскружилиние арок было произведено 17 сентября, т. е. через 11—12 дней после замыкания симметрии и арок, и заняло время с 14 ч. 30 м. до 17 ч. 00 м. Наблюдения за прогибами арок и смещениями опор производились при установке всех приборов во время раскружилиния и с помощью установленного количества приборов в течение 12 час. после раскружилиния.



Фиг. 109. Кривые прогибов арок и смещений опор во время раскружилиния арок в чрез 18 час.

Примечание. Числа 6,00, 7,00 и аналогичные показывают прогибы через 17 часов. На остальные точки приборы были обмыты.

Данные о вертикальных смещениях опор и прогибах арок приведены на фиг. 109, где краевые прогибы арок соответствуют переходу раскружилиния и последующим 12 час., а смещения опор — только переходу раскружилиния.

Полные горизонтальные смещения опор, измерявшиеся приборами, составили: по ленинградскому устью 0,29—0,41 мм, а по московскому устью 0,48—0,76 мм.

Как вертикальные, так и горизонтальные смещения опор являются совершенно неизначительными. Видна отчетливая картина затухания роста прогибов арок во период времени после раскружилиния, т. е. с 17 час. 17 сентября до 8 час. 18 сентября.

## 2. РАСКРУЖИЛИНИЕ ПРОЕЗДОЙ ЧАСТИ

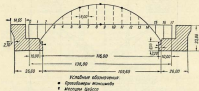
К моменту раскружилиния проездной части подвесов оставались ненебетонированными.

Раскружилиние проездной части также сопровождалось измерениями деформаций с помощью мостонапытывающих приборов, схема установки которых приведена на фиг. 110.

Раскружилиние было произведено 14 октября, т. е. через 8 дней после бетонирования последнего элемента проездной части (заняло 8—9). К этому времени балластные корыта всех четырех путей были заполнены щебеночным балластом и был уложен один временный рельсовый путь по одному мосту. Сверх нормального требуемого балласта был насыпан дополнительный щебень в количестве около 6 т на 1 пог. м.

моста. Дополнительная загрузка шебнем уменьшала до 25 кг/см<sup>2</sup> растягивающие напряжения в бетоне сейсмосети<sup>1</sup>.

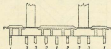
Раскручивание проложной части начиналось с удаления кобылок, находившихся под продольными балками. Затем производилось удаление кобылок, установленных под всеми поперечными балками. Под каждой поперечной балкой располагалось 9 × 3 = 18 кобылок, передававших нагрузку от проложной части на сейсм. На фиг. III при-



Фиг. III. Установка мостовспомогательных приборов при раскручивании проложной части.

изделия сошли расположение кобылок под поперечной балкой и порядок их удаления (кобылки удалялись в три присти, как это указано в изображении из сочт.). Каждый отдельный кобылок удалялся сразу целиком.

Все раскручиваний было три с половиной часа. Наблюдение за деформаций элементов моста производилось как во время раскручивания, так и в течение 8,5 час. после его окончания (к концу



Фиг. III. Порядок удаления обвязок при раскручивании проложной части.

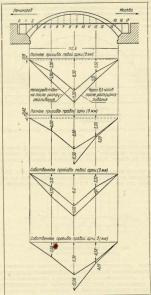
этого времени прорывами прогибов оказались настолько малыми, что практическое можно было считать деформации прекратившимися).

Данные о наблюдавшихся вертикальных смещениях опор и прогибах арок приведены на фиг. III2. Прогибы арок соответствуют моменту окончания раскручивания и состоянию арок через 8,5 час., а смещения опор — только моменту окончания раскручивания.

Горизонтальные смещения опор составили: по ленинградскому утюгу 0,17—0,49 мм, а по московскому — 0,63—0,84 мм.

Смещения опор, обусловленные действием постоянной нагрузки

<sup>1</sup> Ограничение (по требованию НКПС) растягивающих напряжений в бетоне сейсмосети<sup>1</sup> является искусственным ограничением, о чем подробнее разговорится далее в главе Хортицкого моста.



Фиг. 112. Красные пресвятой девы марии и вклады изнутри  
из трех раскрытий арокской части и через  
156 час.

Примечание. Вертикальное сечение по под-  
ковому утесу не изображено, так как были обломки  
предметов.

(сумма сдвигов при раскрытии арок и пролетной части), оказалась чрезвычайно незначительной, составив около 1 мм по вертикали и по горизонтали для каждой опоры. Определенный таким же образом суммарный прогиб арок от постоянной нагрузки по середине пролета равен:

$$1) \text{ для левой арки } 6,13 + 11,02 = 17,15 \text{ мм} \left( \frac{1}{6330} l \right);$$

$$2) \text{ Для правой арки } 6,26 + 12,08 = 18,34 \text{ мм} \left( \frac{1}{6335} l \right).$$

Установленный для измерения прогиба серединой пролетной части прогибомер Максвела показал вертикальное смещение продольной балки на величину 15,80 мм. Это вертикальное смещение слагается из прогиба замка левой арки, равного 11,20 мм, и деформации средней подвески и продольной балки, составляющей  $15,80 - 11,20 = 4,60$  мм.

### 2. ИСПЫТАНИЕ МОСТА ВРЕМЕННОЙ НАГРУЗКОЙ

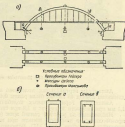
Испытания моста временной нагрузкой производятся 1 и 2 избре, т. е. через 14 дней после бетонирования подвесок.

Расположение измерительных приборов и постоянных марок на арках для измерения напряжений показано на фиг. 113.

Испытательная нагрузка состояла из четырех поездов (фиг. 114) следующего состава: по два паровоза (серии Л и Л') с тендерами и по вагону груженых четырехосными вагонами (65 т брутто-каждый). Схема расположения паровозов приведена на фиг. 115.

Некоторые результаты данного испытания моста приводятся ниже. Прогибы арок показаны на фиг. 116, где ясно виден характер зависимости прогибов в зависимости от величины и продольного расположения нагрузки на мосту. Задесь также видно влияние несимметричного загружения пролетной части в поперечном направлении на распределение усилий между арками: передняя поперечная жесткость конструкции приводит переднюю часть узла на зажим загруженную арку. Так, например, при загрузке левой консолью (1 поезд) прогиб правой арки в четверти пролета составил 25,0% от прогиба левой арки; для замковой установки в этом случае прогиб правой арки равнялся 5,4% от прогиба левой.

При динамических засадах испытательных поездов получены прогибы, приведенные в табл. 12.



Фиг. 113. Расположение приборов и постоянных марок при испытании моста временной нагрузкой: а — схема установки моста Шелса в прогибомер Максвела в Гейдельберг; б — схема расположения марок для измерения напряжений консолями Наппера.

Таблица 12

Модель	Скорость движения в км/час	Линии левый арок			Линии правый арок			Изменение высоты
		Приятное изменение	Несимметричное изменение	Несимметричное изменение	Приятное изменение	Несимметричное изменение	Несимметричное изменение	
I	5 . . . . .	2,54	—	—	2,69	—	—	—
II	13 . . . . .	—	2,37	2,37	—	2,76	2,76	1,067
III	21 . . . . .	—	2,32	2,32	—	2,03	2,03	1,120
IV	45 . . . . .	—	2,35	2,35	—	2,03	2,03	—



Фиг. 114. Монтажные работы.

Амплитуды вертикальных колебаний арок в замке при скорости движения поезда 45 км/час были равны 0,43—0,45 м.

Амплитуды горизонтальных колебаний замка арок составили 1,1 м при скорости 30 км/час и 1,8 при скорости 45 км/час.

Наблюдение за работой симметричных арок (с помощью мессур Цейса) производилось в замковой панели при несимметричном загружении пролетного строения (фиг. 117). Величины деформаций соответствующих симметричных узловены в табл. 13.

Таблица 13

Установка изолирующей панели	Деформации симметричных узлов	
	раскос: 1	раскос: 2
I и II путь в ленинградской четверти . . . . .	—0,125	+0,110
III и IV путь в московской четверти . . . . .	+0,115	—0,090
I и II путь в московской панели . . . . .	+0,125	—0,075
III и IV путь в ленинградской панели . . . . .	+0,125	—0,075

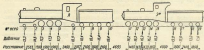
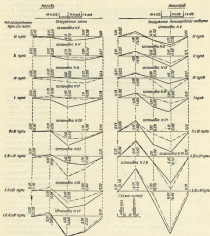


Fig. 118. Corte perpendicular ao eixo da estruturação de solo.

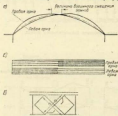


Фиг. 116. График прогибов арок при различных установках приводной нагрузки (диаграмма изгиба арок).

При ставке. Ставка линии относится к линии арх. Пунктирная — к прямой арх. Цифры в скобках относятся к прямой арх.

На фиг. 118 приведен график прогибов одной из поперечных балок.

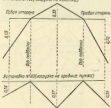
Наблюдения за поведением устоев при испытании моста под временной нагрузкой показали, что смещения устоев незначительны. Наибольшие горизонтальные и вертикальные смещения наблюдались



Фиг. 117. Измерены деформации колонн моста в зонах: а — схематич. арка; б — расположение погруж.; в — расположение векторов.

При отставке. Пунктами показано положение оси арки до погружения.

#### Изменение УМ (шарнира на консоль)



Фиг. 118. Диаграммы собственных прогибов поперечной балки М 8.

значительны. Между тем эти точные приборы не измеряли деформации опор, но и местные деформации кладки в местах установки приборов, происходящие вследствие усадки, пластических и тепловых изменений.

Повторные точные измерения по верху опор не подтвердили показаний кинокамер.

при загружении всех четырех путей нагрузкой, давшей наибольший распор. Эти смещения выражены величинами 0,22 мм для одной опоры и 0,23 мм — для другой; суммарные остаточные смещения после 34 установок нагрузки составили соответственно: 0,06 и 0,10 мм. Наибольшие упругие вертикальные смещения достигли 0,39 мм в одной опоре и 0,34 мм в другой; суммарные остаточные деформации после 34 установок составили соответственно: 0,41 и 0,15 — 0,39 мм.

#### 4. НАБЛЮДЕНИЯ ВО ВРЕМЯ ЭКСПЕРИМЕНТАЦИИ МОСТА

Немедленно после перевода движения на мост были организованы инструментальные наблюдения за мостом. В частности Научно-исследовательским институтом пути и строительства НИПС с 23 ноября 1955 г. по 7 марта 1956 г. измерялись углы поворота устоев с помощью кинокамер. Стоянки, установленные на поверхности горизонтальной диафрагмы внутри колодезибетонных коробок устоев. Результаты измерений свидетельствуют о том, что в методике этих наблюдений не были учтены специфические особенности бетонных конструкций. Так, судя по показаниям кинокамер, можно было претти к заключению, что углы изгиба устоев довольно значительно отличались не только общие деформации опор, но и местные деформации кладки в местах установки приборов, происходящие вследствие усадки, пластических и тепловых изменений.

Повторные точные измерения по верху опор не подтвердили показаний кинокамер.

Интересные результаты дали некоторые инструментальные наблюдения, производившиеся Гидрометрологическим институтом с ноября 1935 г. по апрель 1936 г. Анализ сейсмограмм приводит к следующим заключениям:

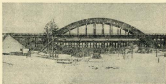
а) Во всех наблюдавшихся случаях (исключая от характера и величины подвижной нагрузки и скорости ее прохождения по мосту) колебания устюгов выражаются двумя группами периодов:

$$1) T_p = 0.01 + 0.04 \text{ сек.}$$

$$2) T_p = 0.10 + 0.40 \text{ } \text{.}$$

Короткие периоды возбуждаются отдельными импульсами через khoảng 0,2—0,4 сек. и притом только при проходе поезда по мосту. Эти колебания, понятно, происходят от ударов коней о стыки рельсов.

Колебания, характеризующиеся длинными периодами, возбуждаются при подходе поезда к мосту, задолго до вступления паровоза на устюг, и продолжаются после схода поезда с моста.



Фиг. 118. Мост после окончания движения.

б) Амплитуды колебаний устюгов не превышают 0,01 м. Максимального значения колебания достигают при проходе поезда по середине пролета. Вступление паровоза на устюг не сопровождается никаким-либо резким толчком.

в) Изменение существенным является следующий вывод: первые колебания устюгов остаются одинаковыми до вступления поезда на мост, во время прохождения по мосту и после схода с него; вместе с тем колебания группы имеют тот же характер, что и колебания устюгов (т. е. происходят с близкими к последним периодами и амплитудами); это свидетельствует о том, что устюги не совершают независимых колебаний на грунте, как на узкогородской, и просто следуют за колебаниями грунта.

Подводя итог произведенным испытаниям Ждановского моста, необходимо подчеркнуть, что они подтверждают как о незначительности горизонтальных и вертикальных смешанных опор, так и об благоприятных реалистичных исследованиях колебаний устюгов. Это подтверждает новую возможность сооружения растворных, бесшарнирных арочных мостов большого пролета под тяжестью железнодорожную нагрузку на обычном встречающихся у нас песчаных грунтах.

На фиг. 119 представлена общий вид моста после окончания работ по его постройке.

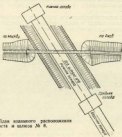
# В. ЖЕЛЕЗНОДОРОЖНЫЙ МОСТ ЧЕРЕЗ ШЛЮЗ № 8

## ГЛАВА I

### ОБЩИЕ ВОПРОСЫ ПРОЕКТИРОВАНИЯ И ПОСТРОЙКИ

#### 1. ХАРАКТЕРИСТИКА МОСТА ПЕРЕСЕЧЕНИЯ

Как уже отмечалось выше, при подходе к Москве-каналу Москва—Волга пересекается с Калужской ж. д. на перегоне между станциями Павловское-Стрешнево и Тушино. В связи с этим указанный участок ж. д. переустроен и проложение полотна железной дороги



Фиг. 120. План козырного разъездного моста в канале № 8.

здесь перенесено на новую траекторию, пересекающую канал (под углом 50°) над нижней камерой шлюза № 8 (фиг. 120) железнобетонным мостом.

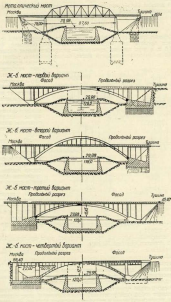
Геологическая разведка, произведенная в месте сооружения моста буровыми скважинами на глубину до 35 м, показала следующее: от поверхности земли заходит мощный слой песка толщиной 7,0—11,0 м; выше следуют небольшие прослойки песка с примесью глины и гальки; под этой прослойкой расположены южный слой черной плотной глины; в пределах 8 м выше нее заходит трещиноватый известняк, чередующийся с прослойками мергелистовой глины; под этим слоем находится плотный известняк.

Грунтовые воды были обнаружены на отм. 22,00 м. Во время производства работ уровень грунтовых вод был понижен до отм. 11,50 м; после открытия канала этот уровень должен установиться ориентировочно на отм. 21,00 м.

К конструкции моста были предъявлены четыре основных требования:

1) мост должен быть построен под двухпутное железнодорожное движение;

2) подмостовой габарит, т. е. возведение энха приставного строения над высоким горизонтом воды в камере пересекаемого шлюза,



Фиг. 121. Варианты моста через реку Ни-С.

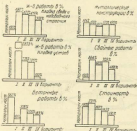
должен быть не менее 14 м в пределах 16,6 м шириной проектируемого хода по пешеходу.

2) конструкция эстакады должна быть изолированной от конструкции моста;

4) должна быть предусмотрена возможность производства работ по сооружению эстакады после постройки моста.

## 2. ВЫБОР ТИПА МОСТА

Первоначально схема моста намечалась трехпролетной с параллельным профилем всех пяти одинаковых металлических балочных ферм  $I = 87,6$  м, в двух крайних пролетах — железобетонными балками по  $I = 36,0$  м. Высокая стоимость моста, большой объем работ предопределили предложение о выборе гидравлических глубинных оснований, проектировочные опоры заставили отказаться от указанного варианта<sup>1</sup>.



Фиг. 122. Диаграммы сравнения вариантов моста через реку Днепр.

а) третий — арочный трехшарнирный мост с ездой поверху;

г) четвертый — арочный трехшарнирный мост пролетом 120,0 м с ездой поверху, системы Майера.

Результаты сравнения указанных вариантов приведены на фиг. 122.

На диаграммах на фиг. 122 можно усмотреть значительные техническо-экономические преимущества четвертого варианта; в архитектурном отношении он также выгодно отличается от других вариантов. Поэтому четвертому варианту и было отдано предпочтение.

По своей схеме принятый вариант (фиг. 123), как уже отмечалось, представляет собой однопролетный железобетонный мост с трехшарнирным арочным пролетным строением системы Майера, обладающим значительной пологостью ( $\gamma : l = 1 : 6,86$ ) и большим «коэффициентом симметрии» ( $\gamma : \delta = 824$ ).

<sup>1</sup> Применение глубинных оснований и первоначальной схеме изменилось благодаря различиям в размерах опор моста.

Надомонное строение приведено в виде балок расчетным пролетом  $\Gamma = 220$  м, опирающимся одним концом на свод, а другим — на переднюю стенку устоев.

Устой состоит из передней и задней квадстронок, опирающихся на общий фундамент.

Конструкция пролетных строений на устоях аналогична конструкции надводных пролетных строений; расчетный пролет здесь также 220 м.

Фундаменты устоев имеют слегка наклоненную подошву и осажены на деревянных сваях, большинство которых забито наклонно.

## ГЛАВА II

### КОНСТРУКЦИЯ МОСТА,

#### Ч. ВРОЛЕТНЫЕ СТРОЕНИЯ

Главное пролетное строение представляет собой трехшарнирную арку коробчатого сечения с расчетным пролетом  $\Gamma = 1200$  м и стальной подъема  $\delta = 17,5$  м. Коробчатое сечение состоит из двух вертикальных стенок и верхней и нижней панелей; расстояние между осями стенок (4,10 м) равно расстоянию между осями железнодорожных путей. Таким образом каждый путь поддерзгивается одной вертикальной несущей стенкой. Этот прием конструктирования выдержан также в надводном строении и в квадстронах устоев (фиг. 124).

Вертикальные стени имеют толщину до 0,60 м. Верхняя панель в средней части пролета на протяжении 78,4 м является и в то же время и панелью проездной части и имеет здесь ширину 0,50 м. Толщина верхней панели, равная по среднему 0,28 м, увеличивается до 0,50 м у продольных стенок, а также у дифрагмы. Консольные части этой панели характеризуются переменной толщиной — от 0,20 до 0,30 м. В консольных (примыкающих к арокам) частях свода ширина верхней панели равна 6,0 м, а толщина — 0,40 м. У нижней панели свода ширина на всем протяжении постоянна и равна 9,00 м, а толщина изменяется — от 0,60 до 0,50 м (фиг. 125).

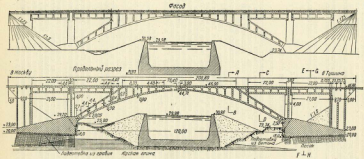
Высота свода в замке — 1,70 м, в пятах — 2,50 м.

Нижнее сечение свода назначено в соответствии с требуемым подъемом габаритов.

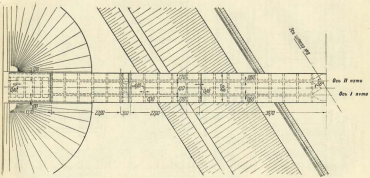
Свод снабжен дифрагмами толщиной 0,30 м, расположеннымими через каждые 4,40 м. Для доступа во внутренний пространства свода установлены специальные отверстия в верхней панели и небольшие отверстия (ширина 600 м и высотой от 0,40 до 1,00 м) в дифрагмах.

Назначение частей установки дифрагм не только в пределах главного пролета, но и в балочных пролетных строениях заключается в обеспечении жесткости и совместной работы обеих ребер при односторонней временной нагрузке.

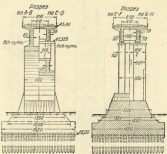
Шарниры свода выполнены из стального листа и имеют тип шарниров моста через р. Мозель в Кобленце (Германия). Отличительной особенностью конструкции этих шарниров является осуществление их поворота при деформациях свода с помощью катушек головок шарниров друг по другу. В этих целях одна головка предполагается цилиндрической поверхностью, другой же — плоская. Шарниры этой конструкции имеют некоторые преимущества по сравнению с цапфовыми шарнирами, так как характеризуются весьма малым трением и малым путем катания при возможных деформациях свода. Так, для данного случая при расчетном опускании замка на 20 см путь катания определен в 3,0 м, что является небольшой величиной. В пятах и в пятах на всей ширине свода вставлено по шесть отдельных шарниров. Всего стального листа шарниров составляет 41,5 т (фиг. 126).



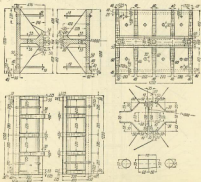
Фон, від фону та спрощений друкт міст.



Rev. Mr. Hunt wrote.



Фиг. 128. Поперечные разрезы моста.



Фиг. 129. Планы моста.

Арматура свода (фиг. 127) состоит из основных продольных стержней диаметром 25 и 30 мм, расположенных по наружным граням верхней и нижней пяты свода. Верхняя арматура имеет диаметр 30 мм и расположена в один ряд с перерывом между сечениями  $VH$  и  $IX$ , в пределах некоторых сводов не имеет рабочей арматуры поверху. Стержни винтовой арматуры свода расположены в два ряда по всей длине свода и имеют диаметр 25 мм; в пределах сечений  $VU$  и  $X$  добавляется третий ряд арматуры  $d=30$  мм. Горизонтальное расстояние между осями основных стержней арматуры — 100 мм. Если учитывать только основную арматуру, то диаметр сечения свода имеет 1,61% априории, пятное сечение — 1,10%.

Вертикальные стены коробчатого сечения свода и внутренние грани верхней и нижней пяты коробки имеют продольную арматуру  $d=16$  мм.

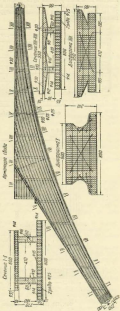
В горизонтальных толках поставлены хомуты  $d=8$  мм. В вертикальных стенах диаметр хомутов — 12 мм; расположение их приведено нормальными к наружной обвязке свода. Расстояние между вертикальными хомутами в пределах от пяты до сечения  $X$  составляет 10 см, а на всем остальном протяжении свода — 20 см.

Верхняя и нижняя пяты свода кроме продольной арматуры имеют поперечные стержни  $d=14$  мм, расположенные в количестве 10 шт. на 1 пог. м.

Замковые и пятовые сечения армированы сетками из проволоки  $d=10$  мм с расстоянием между осями стержней 100 мм.

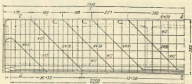
Вес арматуры свода равен 250,0 т; объем его кладки составляет 1,795 м<sup>3</sup>; бетон — марки  $R_{10}=300$  кг/см<sup>2</sup>.

Надсводовое строение состоит из двух блоков пролетки по 22,0 м (фиг. 123—125, 126 и 127); его поперечные сечения аналогично сечению

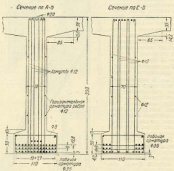


Фиг. 127. Арматура свода

сплошного и состоит из двух вертикальных стволов (балок) — по одному на каждую железнодорожную линию; высота балок не изменяется по длине пролета и равна 3,60 м; толщина балок в пролете — 50 см, а у опор — 30 см. Для размещения рабочей пристройки вышеуказанных балок сделано утолщение (фиг. 125).



Фиг. 125. Акватура балки  $l = 22,0$  м



Фиг. 126. Поперечное сечение балки  $l = 22,0$  м

Через каждые 4,40 м балки связаны между собой диафрагмами толщиной 0,20 м. Отпрямлены балки осуществлено с помощью металлических скобовых частей, причем подвижная опора расположена на сплошной, а неподвижной — на передней стое узла.

Рабочая арматура балки (фиг. 128 и 129) состоит из стержней  $d = 36$  мм, в середине пролета балки стержни располагаются в четыре ряда. Ребра балки армированы вертикальными хомутами  $d = 12$  мм, с расстоянием между хомутами, равным 30 см в средней части балки и 30 см у опор; кроме того ребра имеют в небольшом количестве горизонтальную арматуру  $d = 12$  мм.

Общий объем арматуры на одно полновесное пролетное строение составляет 188,2 м<sup>3</sup>; вес арматуры — 27,42 т; вес опорных частей — 4,57 т.

Для балок применена бетон марки  $R_{\text{н}} = 210$  кг/см<sup>2</sup>.

Балластный слой имеет толщину 50 см и ограничен с боков бортиками высотой 25 см, расположенным на расстоянии 7,50 м друг от друга. Вода из балластного корыта удаляется через горизонтальные отверстия в бортиках, причем для ее стока устроены двухсторонний угол изливами.

В отношении устройства главного пролетного строения необходимо отметить следующие конструктивные особенности:

1. Применение как в своде, так и в надводном строении по одному несущему вертикальному ребру на каждый железнодорожный путь, концентрируя возникающие в этих строениях усилия всего только в двух основных элементах, дает в итоге компактную и легкую конструкцию, вполне отвечающую условиям работы, в которых она поставлена.

2. Осуществление в данных условиях большого по пролету трехпролетного пологого свода отвергает, как показала эксплуатация моста, существование мнения о малой пригодности трехпролетной системы для железнодорожной нагрузки, обоснованное тем, что при деформации свода находящимся переком пути над средними ширинами.

## 5. ОПОРЫ МОСТА.

Покосы фундамента устоев наклонены под углом 3°40' к горизонту. Устой основы на деревянных сваях  $d = 27$  см (в пяти крайних задних рядах свай имеют диаметр 30 см). Свай расположены в шахматном порядке и часть из них с наклоном — под углом 19° к вертикали (фиг. 130). Расстояние между осями свай по диагонали равно 0,90 м. Количество свай под каждым устоем — 992 шт. Диаметр из свай не превышает 20,0 см.

Фундамент имеет следующие наибольшие размеры в плане: ширина — 19,20 м; длина — 34,34 м. При расчете, произведенном в предположении отсутствия свай, давление на грунт по подошве фундамента составляет 3,6 кг/см<sup>2</sup>.

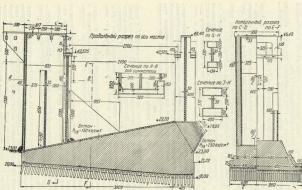
Массы (фундамент) устоев снабжены арматурой в виде сеток из стержней  $d = 25$  мм; одна сетка расположена над головой свай, вторая — по верхней грани мостова. Под пятами свода устроена сетчатая арматура.

Каждая массовая устой — из бетона марки  $R_{\text{н}} = 150$  кг/см<sup>2</sup> (120—170 кг/см<sup>2</sup>); в части, примыкающей к пятам, марка бетона повышается до 250 кг/см<sup>2</sup>.

Над массовыми устями имеются две настилстройки — передняя и задняя.

Передняя настилстройка состоит из двух продольных стенок толщиной в плане 4,00 × 1,00 м; расстояние между осями этих стенок толщиной в плане 4,00 м; расстояние между осями путей (4,10 м). Продольные стени скреплены между собой по всей высоте поперечной стенкой толщиной 0,90 м. Передняя настилстройка является опорой, с одной стороны, для балок надводного строения, с другой — для балок перекрытий устоев.

Задняя настилстройка также состоит из двух продольных стен толщиной во 1,5 м, расположенных в расстоянии 7,50 м друг от друга.



### Our Old Friend again

В поперечном направлении продольные стены ссыпаны стековыми толщиной от 0,60 до 0,80 м. Поверху надстройки расположены пять небольших люкарн, поддерживаемых помимо стоя надстройкой еще и поперечными балками.

В сторону насытия надстройка имеет косые склоны длиной по 6,0 м, соприкасающиеся надстройку с конусом. В сторону пристава устроены продольные стены треугольного очертания толщиной 1,0 м, следующие очертанию конуса.

Бетон обеих надстроек — марки  $R_{28} = 170 \text{ кг}/\text{см}^2$ .

Надстройки устроены армированы вертикальной и горизонтальной арматурой (фиг. 136).

В отношении устройства опор заставляют быть отмеченными следующими для обстоятельствами:

1. Конструкции устоев в значительной степени определялись стремлением иметь в сокращении моста с конусами пролетное строение, аналогичное надводному строению, что наставляет различий внешний вид моста. Это в основном достигнуто применением передней и задней надстроек на общем фундаменте устое.

2. Общий объем кладки устое ( $4302 \text{ м}^3$ ) следует принять не больше, если учесть значительность размеров устое в плане ( $34,34 \times 19,20 \text{ м}$ ).

## ГЛАВА III

### ДАННЫЕ ПО РАСЧЕТУ ПРОЛЕТНОГО СТРОЕНИЯ

#### I. ТЕХНИЧЕСКИЕ УСЛОВИЯ ПРОЕКТИРОВАНИЯ

Для проектирования пролетного строения моста через реку № 8 были составлены специальные технические условия. Основные указания этих ТУ приводятся ниже.

Временная нагрузка была задана во схеме Н, в соответствии с нормами НКПС 1953 г. При расчетах сноса и опор временная нагрузка принималась для случая загружения двух путей с коэффициентом 0,90.

Динамические коэффициенты были приняты:

для верхней платы . . . . .	1,20
+  базов $t < 30 \text{ м}$ . . . . .	1,20
+ $t > 30 \text{ м}$ . . . . .	1,30
+  свода . . . . .	1,80

Ветровая нагрузка принималась равной  $125 \text{ кг}/\text{м}^2$  при наличии ветра на конусе и  $225 \text{ кг}/\text{м}^2$  при отсутствии ветра.

Тормозная сила — в размере 10% от статической временной нагрузки.

Допускаемые напряжения в арматуре железобетона —  $1350 \text{ кг}/\text{см}^2$ .

Допускаемые напряжения в бетоне<sup>1)</sup>:

	$R_{28} = 210 \text{ кг}/\text{см}^2$	$R_{28} = 250 \text{ кг}/\text{см}^2$
Сжатие при изгибе . . . . .	65 $\text{кг}/\text{см}^2$	100 $\text{кг}/\text{см}^2$
Сжимающие напряжения, при которых не требуется арматуры . . . . .	8 . . . . .	9,5 . . . . .
Продольные сжимающие (тensionные разогревающие) напряжения . . . . .	19 . . . . .	23 . . . . .

1) Проектирование свода можно, в предположении применения бетона с временными сопротивлениями  $R_{28}=250 \text{ кг}/\text{см}^2$ , в действительности же по требованиям НКПС базируется бетон с временными сопротивлениями  $R_{28}=210 \text{ кг}/\text{см}^2$ .

При проверке напряжений на случай совместного действия основных и дополнительных сил докучаевские напряжения во схеме приблизительно повысились на 37,5%.

## 2. ВЛИЯНИЕ НАДОБНОСТИГО СТРОИТЕЛЯ

Расчетный пролет фахог — 22,0, балки рассчитаны как свободно лежащие на опорах.

Для середины пролета получены следующие значения:

1) полный изгибающий момент с учетом движущих:

$$M = +1630,9 \text{ тм};$$

2) напряжение в бетоне:

$$\sigma_b = 41,30 < 85 \text{ кг/см}^2;$$

3) напряжение в арматуре (42 Ø 36 мм):

$$\sigma_a = 1222 < 1250 \text{ кг/см}^2.$$

Наибольшее скользящее напряжение на опоре балки достигает  $13,66 < 19,0 \text{ кг/см}^2$ .

Диафрагмы работают при неизномерной прогибе главных балок от одностороннего загружения проектного строения временной наружной. Наибольшие напряжения возникают в опорных сечениях средних диафрагм, где напряжение в бетоне составляет  $28,2 \text{ кг/см}^2$  и в арматуре —  $1263 \text{ кг/см}^2$ , скользящие напряжения в диафрагмах достигают  $7,54 \text{ кг/см}^2$ .

## 3. СИЛОД

Окружение оси свода выбрано путем повторных попыток как края центров тяжести сечений свода.

Усилия от временной нагрузки определены с помощью линий влияния, построенных методом прописей обычным методом как для трехпролетной арок.

Усилия и напряжения от постоянной нагрузки в расчетных сечениях свода указаны в табл. 14.

Таблица 14

Сечение свода и диафрагмы	<i>I</i> (зима)	<i>M</i>	<i>V</i>	<i>VM</i>	<i>Ex</i>	<i>Ez</i>	<i>NED</i> (зима)
<i>M</i> в тн . . . . .	250,0	250,0	430,0	-1320,0	750,0	-250,0	350,0
<i>N</i> в т . . . . .	2550,7	2553,4	3435,2	3307,2	3295,3	3292,4	3293,0
$\sigma_b^0$ в кг/см <sup>2</sup> . . . . .	47,6	48,8	41,5	16,4	20,7	21,3	47,4
$\sigma_a^0$ в кг/см <sup>2</sup> . . . . .	48,4	38,5	32,1	26,4	31,6	30,4	36,4

Как видно из табл. 14, при постоянной нагрузке растягивающие напряжения отсутствуют.

Наибольшие скользящие напряжения имеют место в сечении *I* и достигают  $62,6 \text{ кг/см}^2$  по верхнему и  $48,4 \text{ кг/см}^2$  по нижнему колесам.

Суммарные напряжения от постоянной и временной нагрузок по той же схеме свода при ненагодничных установках на положительный и отрицательный изгибы приведены в табл. 15.

Таблица 15

Схемы свода Суммарные напряжения	$I$ (дюйм)	III	V	VII	IX	XI	XIII
При + $M$ {							
$\sigma_0$ . . . . .	80,0	60,2	78,6	48,5	57,0	78,8	80,5
$\sigma_0'$ . . . . .	65,3	27,4	19,7	-8,6	-7,9	-3,3	30,9
При - $M$ {							
$\sigma_0$ . . . . .	74,1	75,9	63,8	64,7	71,1	88,4	69,4
$\sigma_0'$ . . . . .	48,6	26,3	18,2	27,1	22,4	18,6	21,8

На табл. 15 видно, что наибольшие сжимающие напряжения имеют место по верхним пологим сечениям XIII и равны 80,5 кг/см<sup>2</sup>. Надо подчеркнуть, что проектирование свода велось в предположении применения бетона марки  $R_{20} = 250$  кг/см<sup>2</sup>; для этой марки допускаемое напряжение сжатия при изгибе было принято равным 100 кг/см<sup>2</sup>. При сооружении моста марка бетона для свода по требованию НБДС без особых осложнений была повышена до  $R_{20} = 300$  кг/см<sup>2</sup>.

Наибольшее растягивающее напряжение возникает в сечении VII и равно — 8,6 кг/см<sup>2</sup>.

Наибольшее значение сжимающих напряжений не превосходит 6,5 кг/см<sup>2</sup>.

Максимальный расчетный прогиб свода в зоне фермы  $E_s = 210\,000$  кг/см<sup>2</sup>) образуется из следующих величин:

прогиба от постоянной нагрузки . . . . .	4,26 см
— временой . . . . .	4,17 .
— изменения температуры . . . . .	2,09 .
— усадка бетона (расчетная температура — НБДС) . . . . .	2,23 .
— осадка грунта . . . . .	6,00 .

$$f = 19,44 \text{ см}$$

Расчетный прогиб принят равным 20,0 см.

Нормальная сила в пяте составляет  $N = 7\,116,0$  т на всю ширину свода, или 1186,0 т на один ширину.

Напряжение сжатия по длине касания шириной прямого равным  $\sigma_c = 65,0$  кг/см<sup>2</sup> (по формуле Герца). Напряжение в бетоне под опорами частично при размерах площадок передачи давления 100×120 см исчисляется в 100 кг/см<sup>2</sup>.

## ГЛАВА IV

### СТРОИТЕЛЬСТВО МОСТА<sup>1</sup>

Постройка моста была начата в апреле 1935 г.

Вследствие задержек с утверждением проекта работы в начальной стадии протекали медленно. В частности внесение ветровавков устрем продолжалась до июля, и лишь с этого времени работы стали развертываться с нарастающим темпом. По нашему работ было необ-

<sup>1</sup> Более подробные данные по сооружению моста приведены в статье инж. А. С. Вачеслава в № 6 (31) журнала «Москва—Большстрой» за 1937 г.

водило к весне 1936 г. закончить устои моста, устроить подкости и установить крауна; затем в течение мая—июня 1936 г. забетонировать главный пролет, а к 1 августа 1936 г. полностью закончить работы и перевести движение на новую трассу. Западывание с переходом движения могло помешать задирку и склонение других сооружений канала, связанных с расположением железнодорожной дороги.

Забивка свай под опоры моста сильно затруднялась из-за тщательно подготовленных грунтов; для удачной забивки на глубину не более 2,5 м. Так как небольшая глубина забивки вызывала снижение и устойчивости основания на сваях, то было предложено возводить с помощью плавкрана опускать сваи на большую глубину.

Для выяснения сопротивляемости свай горизонтальными усилиями были подвергнуты испытанию короткие сваи, забетонные нормальными способами, и длинные сваи, забетонные с помощью подмыки. При горизонтальной нагрузке в 5,0 т наибольшее отклонение короткой сваи (длиной 3,00 м) достигало 14 мм. Сваи же, забетонные с подмыкими на глубину 4,70 м, при той же нагрузке дали отклонение в 26 мм. Таким образом результаты испытания показали недостаточность подмыки, вследствие чего и было решено удовлетворяться короткими сваями.

На московском участке забивка свай была нормальна, и в подавляющем большинстве случаев откобы получались при глубинах около 70 м.

Самая большая московская утка была выловлена 21 октября 1956 г., на тушинской—11 октября 1956 г.

Продолжительность ставных работ составила: на московском участке— 61 день; на тушинском—97 дней. Как уже указывалось, на начало 7-го участка было забетонировано 982 става.

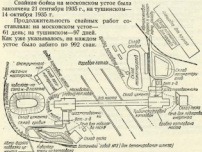


Fig. 121. New approach system to mine 1000 m.

Бетонные работы по мосту можно разделить на два этапа: первый этап — бетонирование устоек; второй — бетонирование свода и балок. Первый этап бетонных работ продолжался с 26 сентября 1935 г. по 11 апреля 1936 г. За это время было уложено 9 298 м<sup>3</sup> бетона. План размещения строительной площадки и бетонного хозяйства показан на фиг. 131. В табл. 16 приведены данные, относящиеся к этому первому этапу.

Таблица 16

Части споруды	Время бетонирования		Число разливных дей бетонирова- ния	Кубатура в м <sup>3</sup>
	начало	конец		
Московский узел				
1. Фундамент . . . . .	26/XI 1935 г.	26/XI 1935 г.	15 суток 23 часа	3 500,0
2. Передняя стена . . . .	1/XII 1935 г.	24/XII 1935 г.	3 . . . . .	307,6
3. Задняя стена . . . .	25/XII 1935 г.	11/IV 1936 г.	14 . . . . .	774,9
Итого . . . . .	—	—	30 суток 20 час.	4 482,5
Тушинский узел				
1. Фундамент . . . . .	29/X 1935 г.	8/XII 1935 г.	20 . . . . .	3 243,6
2. Передняя стена . . . .	20/XII 1935 г.	8/IV 1936 г.	4 . . . . .	207,6
3. Задняя стена . . . .	1/XI 1935 г.	8/IV 1936 г.	20 . . . . .	774,9
Итого . . . . .	—	—	28 суток 8 час.	4 725,2
Всего по обеим узлам . . . . .	—	—	59 суток 2 часа	9 208,8

Бетонирование узлов осуществляли два бетонных завода (по одному у каждого узла). На каждом заводе работало по две бетономешалки системы Рансен по 1 000 л. Непосредственно у заводов находились склады известьных и гранитных сарнов.

Состав бетона подбирался в центральной бетонной лаборатории строительства канала Москва — Волга. Данные о составах бетона, указанного в рисунке, приведены в табл. 17.

Таблица 17

Части узлов	Марка бетона №	W C	Песок и щебень	На 1 м <sup>3</sup> бетона					Примечания	
				извест- нистый	изве- стко- шеб- нистый	изве- стко- щеб- нистый	изве- стко- щеб- нистый	изве- стко- щеб- нистый		
				объем	вес	объем	вес	объем	вес	
Фундамент . . . . .	120—170	0,36	0—1	250	140	750	1 350	1 350	1 350	Установка с избре- жением
Подъемные части . . . .	250	0,45	12	410	185	645	1 063	1 063	1 063	Ручные установки
Передние и задние стены	120	0,48	10	235	180	670	1 110	1 110	1 110	—

Контроль над бетонными работами как на заводе, так и при укладке его в блоки осуществлялся техническими первоначальными спорудами и лабораториями полевой бетонной лаборатории.

До ноября 1935 г. бетонные работы проходили при нормальной температуре воздуха. В средних числах ноября, когда температура упала от нуля до  $-15^{\circ}$ , перешли на бетонирование в зимних условиях с подогревом воды и известьных. Бетонирование производилось в теплицах, обогреваемых временным парником.

Нормальная среднесуточная температура наружного воздуха при бетонных работах достигала — 21°.

Одновременно с бетонированием устюка и начале декабря 1955 г. были начаты устройство подмостей под кружало-своды и заготовка сварных кружал.

Кружальные валишки были расположены на туннельной стороне и представляли собой открытый сплошной щитовый настил с размерами в плане  $130 \times 20$  м.

Сборочные подмости под кружала заняло два месяца, после чего немедленно началась установку кружал и привели ее в строительную короткой срок, так что к 7 марта 1956 г. установка кружал была закончена.

Кружала жесткой подвесной системы опиравлись на подмости, одновременно и пределах валика на лежаках, установленных по длине цоколя.

В поперечном сечении кружалы имели 8 систем, расстояния между такими расчетом, чтобы нагрузка от бетонируемых сводов передавалась на них равномерно. Распределяющие приспособления были устроены в виде песчаных цементарей.

Конструкция подмостей для бетонирования балок над сводами, принятая в первоначальном проекте, представляла собой одичную стоечную систему, опиравшуюся на свод. Но в процессе работ для сокращения срока постройки пришлось прибегнуть к конструкции, позволяющей бетонировать балки независимо от состояния бетонирования свода, что и было достигнуто применением подмостей регельно-подкосной системы, образованной виа схемы со сводом.

Арматура заготавливалась на арматурном дворе, отсюда в скомплектованном виде ее перевозили к месту установки. Это было вызвано стремлением избежать спирек стыков и опалубки. Следует отметить, что такой порядок тяжестию себя оправдал, и даже спасил для свода длиной 60 м переноситься таким же способом.

Для стыков арматуры была применена контактная электросварка во методе «сплавления» с помощью стыковых аппаратов типа АСИ-22.

Качество спирек контролировалось на арматурном дворе и образцы сваренной арматуры подвергались испытанию на разрыв в лаборатории. В подавляющем большинстве случаев разрыв происходит по цементу штампу. В исключительных случаях при разрыве по стыку временно сопротивление было ниже требуемого по ТУ для золота марки Ст. 3.

В плане работ намечено было забетонировать окончательные фундаментные плиты нижней плиты свода, а затем, основываясь на этом бетоне бетона, замести опалубку верхних плит сводов и верхней плиты. Однажды замешана и полученная цемента требуемой для свода марки задержала начало бетонирования свода.

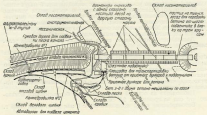
Чтобы избежать возможного (в связи с этой задержкой) срыва строительного срока постройки, решено было перестроить план работ и, имея в распоряжении конструкцию опалубки, полностью для всего свода. Благодаря этому вынужденный простой в работах был ликвидирован.

Организация бетонных работ на пролетном строении была несколько видоизменена по сравнению с привычной при бетонировании устюка (фиг. 132).

От второго бетонного завода по правой стороне решено было откладывать, сорудяточно все хозяйство на левом берегу. Здесь были установлены две камнедробилки Ахти мощностью по  $10 \text{ м}^3/\text{час}$  для дробления специального заводского карельского гравита.

На планшайбе перед бетонным заводом было уложено новейшее асфальтовое покрытие дороги, проходящей между складами с инвент-

ными. По этому колыку циркулировали 6 дозировочных деревянных вагончиков; в каждом из них находились точно выверенные отдельности для всех видов материалов, загружавшиеся у соответствующих складов, привозившихся к колыку. По завершении всеми материалами заготовки возводились в бетонный завод и устанавливались над фундаментом бето-



Фиг. 132. План строительной площадки с лета 1935 г.

мокольном. Разгрузка вагончиков производилась автоматически, путем обхода колес тормоза ручные; двери откосной открывались и инертные нагрузкились непосредственно в бункер. Объем вагончика был рассчитан на один замес 1000-л бетономешалки.

Данные о составе узлового бетона для фундам. и свода приведены в табл. 18.

Таблица 18

Элементы структуры	Марка бетона R <sub>u</sub>	W C	Осадка конуса в см	На 1 м <sup>2</sup> бетона					
				1	2	3	4	5	6
Балка	200	0,53	15—18	240	180	710	455	675	675
Свод (железобетон)	200	0,46	15—18	450	194	570	440	635	635
Свод (бетонные стены и верхний слой)	200	0,41	15—18	420	185	570	428	628	628

Песок и гравий в бетоне балок и свода были те же, что и в бетоне устоев. Применили временно щебень, полученный путем раздробления карельского гранита.

Добавка гравия к щебню дала возможность получить бетон большей пластичности без увеличения количества воды.

Смесь гравия со щебнем в принятой пропорции (40% + 60%) характеризуется следующими данными: общий вес — 1,44 т/м<sup>3</sup>; удельный вес — 2,02; объем пустот — 45,4%; модуль крупности — 7,5.

Бетонирование свода велись двумя волнистыми: сначала бетонировалась основная кладка нижней штукты, а затем — вертикальной стены

и верхней плиты. Замыкающие кладки бетонировались во всей высоте сечения свода.

Строительный подъем свода был намечен по проекту в 20 см с очертанием по прямой линии. При производстве работ строительный подъем был увеличен до 25 см и выполнен по дуге круга.

Когда основные кладки нижней плиты свода были забетонированы, то показалось, что подъем в четверти пролета свода ослаб. Осадка была наклонена в сторону односторонней листовой палубы алюминия. Работы по засыпке были прекращены и часть земли удалена. Искривление очертания свода, вызванное этой осадкой, было исправлено путем отсыпки насыпей. При этом строительный подъем уменьшился до 20 см и получило очертание по прямой линии (соответствию первоначальным проектным предположениям).

Дальнейшее бетонирование свода продолжалось в нормальных условиях.

В связи с осадкой подъема изначальный порядок бетонирования был несколько изменен. Чтобы предотвратить возможность дальнейшей осадки в четверти пролета свода, решено было искусственно «подогнать» эту часть, созданная изменениями порядка бетонирования некоторый подъем края в четверти пролета. Это было достигнуто тем, что кладки в четверти свода были забетонированы в последнюю очередь.

Наблюдение за осадкой краев во время бетонирования показало, что они не превышали 2,5 см.

Бетонирование свода продолжалось с 9 мая до 21 июня 1936 г.

Таблица 19

Четверть пролета, из которой кладки образованы	Ш с	Высота подъема в кругах	Дополнитель- ная кладка в кругах	Размеры		Площадь засыпки в кв. м	Площадь засыпки в кв. м	Площадь засыпки в кв. м
				2	3			
I	2	3	4	5	6	7	8	9
Воды над сводом с туннельной стороны . . . . .	0,50	14—17	275	180,6	274,5	—	—	310
То же с мостовом стороны . . . . .	0,50	14—17	275	181,1	268,4	$R_{\text{ш}} = 225,7$	210	
Нижняя плита свода, кладка в кругах . . . . .	0,47	16—18	245	—	245	—	—	300
То же, кладка в лапках . . . . .	0,47	16—18	245	270,3	278,5	$R_{\text{ш}} = 295,7$	300	
— 2—2 . . . . .	0,47	16—18	245	179,2	262	$R_{\text{ш}} = 265,7$	300	
— 3—3 . . . . .	0,47	16—18	245	262	268	$R_{\text{ш}} = 260,0$	300	
— 4—4 . . . . .	0,47	16—18	245	260	293	$R_{\text{ш}} = 243,2$	300	
— 5—5 . . . . .	0,47	16—18	255,8	260	267,5	$R_{\text{ш}} = 245,7$	300	
— 6—6 . . . . .	0,47	16—18	255,8	270	212	$R_{\text{ш}} = 200,7$	300	
Нижняя плита, кладка в лапках . . . . .	0,44	15—18	260—265	265,1	—	$R_{\text{ш}} = 265,7$	300	
То же, кладка в кругах . . . . .	0,44	15—18	255	269,4	—	$R_{\text{ш}} = 261,0$	300	
— 2—2 . . . . .	0,44	15—18	255	—	—	$R_{\text{ш}} = 265,7$	300	
— 3—3 . . . . .	0,44	15—18	255	267	268,2	$R_{\text{ш}} = 265,7$	300	
— 4—4 . . . . .	0,44	15—18	255	—	—	$R_{\text{ш}} = 241,7$	300	
— 5—5 . . . . .	0,44	15—18	255	260	268	$R_{\text{ш}} = 264,4$	300	
— 6—6 . . . . .	0,44	15—18	255	265	265,2	$R_{\text{ш}} = 253,2$	300	
То же, кладка в 5—6 . . . . .	0,44	15—18	265	—	—	$R_{\text{ш}} = 259$	300	
Заделывание пустоты 7 в плитах . . . . .	0,44	15—18	225	267,5	—	—	—	300
То же, 7 в панели . . . . .	0,44	15—18	225	—	—	$R_{\text{ш}} = 255,3$	300	
— 8 — панели . . . . .	0,44	15—18	225	250	260	—	—	300
— 8 — панели . . . . .	0,44	15—18	225	—	—	$R_{\text{ш}} = 249$	300	
— 8 — панели . . . . .	0,44	15—18	225	260,7	469,5	—	—	300
— 8 — панели . . . . .	0,44	15—18	225	—	—	$R_{\text{ш}} = 286$	300	
Болты на мостовом устройстве . . . . .	0,80	14—17	275	184,5	207	—	—	310
— в тринакрии . . . . .	0,80	15—17	275	192	—	$R_{\text{ш}} = 241,5$	310	

За этот период, помимо бетонирования, были произведены следующие работы: установлены верхняя часть опалубки вертикальных стенок и опалубка верхней панты, выполнено армирование этих частей свода и установлены маркеры свода.

Бетонные работы заняли 13 суток и 22 часа. За это время было уложено 1 796 м<sup>3</sup> бетона.

Балки над сводом, расположенные на самостоятельных подмостях, были забетонированы с 18 по 20 июня. Балки с турбинной стороны были забетонированы за 34 часа, а с мостовой — за 19 час.

Во время бетонирования пролетного строения был особенно усилен контроль над качеством бетонных работ. Это выражалось в усилии технического надзора (в каждую смену по два прорыва и по два наблюдателя) и в более частой проверке основных характеристик ультразвукового бетона.

Данные о результатах испытания контрольных кубиков приведены в табл. 16.

Бетонные работы на мосту были закончены 21 июня 1936 г. С 26 сентября 1935 г. по 21 июня 1936 г. было уложено 11 869 м<sup>3</sup>.

Сборка куполов была произведена в два приема: первая часть (примерно на половину высоты устоев) отсыпалась в мае, вторая же часть (до полной высоты устоев) была начата за несколько дней до раскрытия свода и закончена 20 июля 1936 г.

## ГЛАВА Ч

### РАСКРУЖАЛИВАНИЕ И ИСПЫТАНИЕ МОСТА

Через 28 дней после окончания бетонирования свода было произведено его раскруживание с помощью установленных в кружалах тросочниц.

Спускание кружала было начато с замка и постепенно распространялось на весь пролет. Полная продолжительность раскруживания — 14 час.

Ввиду особой ответственности работ по раскруживанию теми спусканиями кружала был принят весьма медленный. При этом перед каждой последующей операцией по выпусканю подвесной лески происходили наблюдения за происшедшими вертикальными смещениями свода, радиусом опор и осадкой устоев. К очередному спусканию высоты приступали лишь тогда, когда не оставалось ни малейшего сомнения, что раскруживание проходит нормально.

Осадка свода от постоянной нагрузки при его раскруживании составила 3,78 см, и проектные же предполагавшиеся осадки в 4,20 см.

Наибольший радиус опор достигал 5,25 м. Из этой величины на долю левого устоя приходится 3,25 м, а на долю левого устоя — 2,00 м.

Через неделю после раскруживания свода были раскружены балки над сводом. Прогиб балок при раскруживании был настолько мал, что его не удалось измерить инвентарем.

Окончательный прогиб в замке свода от постоянной нагрузки составил 7,8 см. Таким образом принятый строительный подъем (20 см) оказался вполне достаточным.

С 21 по 23 июля 1936 г. мостопытательной станции Научно-исследовательского института пути и строительства НИПС производили статическое и динамическое испытания моста.

Испытательная нагрузка для статических испытаний состояла из четырех одинаковых поездов: каждый — с паровозами серии Э во главе с тремя большегрузными платформами, нагруженными камнем

(за каждого пути устанавливали два тяжелых поезда, паровозы которых были прицеплены зацепкой друг к другу).

Результаты статических испытаний показали следующее:

1. Наибольшие значения вертикальных прогибов ключа свода:

для правой стороны . . . . .	17,93 см
" левой . . . . .	17,80 "

Упругие прогибы ключа свода:

для правой стороны . . . . .	17,93—2,30—15,53 см
" левой . . . . .	17,83—2,08—15,78 "

Совпадение результатов указывает на согласную работу обеих сторон свода.

Расчетное значение прогиба от испытательной нагрузки, вычисленное по инженерной линии прогиба при  $E_s = 210000 \text{ кг}/\text{см}^2$ , равно  $f = 24,1 \text{ см}$ , т. е. больше фактического измеренного значения.

2. Упругие прогибы полуарок в местах сопряжения их с наружными балками:

1) в месте сопряжения московской балки . . . . .	
" для правой стороны 1,98—1,11—0,49 см . . . . .	в среднем

" левой . . . . . 1,37—0,38—0,49 . . . . . 0,49 см

2) в месте сопряжения тульской балки . . . . .	
" для правой стороны 1,37—0,58—0,49 см . . . . .	в среднем

" левой . . . . . 1,30—0,73—0,46 . . . . . 0,66 см

Значения прогибов для правой и левой сторон совпадают, что еще раз подтверждает согласную работу обеих сторон свода.

3. Наибольший упругий прогиб надводных балок наблюдался для левой стороны московской балки и составил 1,99—0,57—= 1,42 см.

Расчетный прогиб от испытательной нагрузки, равный  $f = 1,50 \text{ см}$  оказался больше измеренного значения.

4. Наибольший измеренный упругий прогиб балок над устоем составил 1,0 см и был менее расчетного ( $f = 1,50 \text{ см}$ ).

Динамические испытания проводились поездом, состоявшим из двух паровозов серии Э с тендерами и двух грузовых платформ.

Результаты динамических испытаний показали следующее:

1. Наибольшая величина динамического прогиба ключа свода при загружении обоих путей составила 16,5 см, а при загружении одного пути— 9,24 см.

2. Динамический коэффициент для прогиба ключа свода получился равным 1,00, а для прогиба в четверти пролета — несколько превышавший единицу (при одном из заходов — 1,10).

3. Поперечные колебания

Фиг. 123. Общий вид места через путь № 8.

свода в зоне достижения наибольших амплитуд до 5,60 см при скорости движения поезда, равной 34—35 км/час.

По окончании приемки моста и всего отвода Калужской ж. д. 4 августа 1936 г. было открыто регулярное движение поездов по мосту. В первод постройки и эксплуатации моста вследствие наблюдения за осадкой опор. По данным этих наблюдений величина осадки от момента раскрепления свода моста, т. е. от 15 июня

1936 г. до 9 января 1937 г., оказались следующими: по московскому уставу — 12 ми, по тульянскому уставу — 32 ми, причем наибольшие осадки пронесены во время отставки каскусов. Основные осадки пронесены за июль-июль месяца. С первых чисел августа (с момента нормальной эксплуатации моста) дальнейшее возрастание осадок прекратилось. Последующие наблюдения в течение 6 месяцев (до января 1937 г.) показали полное отсутствие дальнейших осадок<sup>1</sup>.

Общий вид моста показан на рис. 133.

Мост через Несколько канал был вторым по срокам возведения из числа больших арочныхбетонных мостов, построенных через канал. Этот мост является выдающимся и замечательным по величине пролета и оригинальности конструкции сооружения.

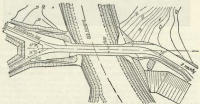
## В. ХОРОШЕВСКИЙ ГОРОДСКОЙ МОСТ

### ГЛАВА I

#### ОБЩИЕ ВОПРОСЫ ПРОЕКТИРОВАНИЯ И ПОСТРОЙКИ

##### 1. ХАРАКТЕРИСТИКА МОСТА ПОРОГЧАНИЯ

Ввиду того что спрямлением Малого-реки<sup>2</sup> Хорошевской Серебряный берег был отрезан от территории Москвы, необходимо было построить через это спрямление мост и пропускать соответствующую реконструкцию Хорошевского шоссе. Обязательным условием



Фиг. 134. Подходы к Хорошевскому мосту.

проектирования являлось выполнение требований городской планировки, в частности планировки подходов к мосту. И связи с этим мост запроектирован в плане якорем (угол косины 67°02') и перекрывает полностью канал также и расположенные вдоль канала городские набережные; откосы садового склона определялись на требованиях подмостового габарита, конструкции пролетного строения и требований планировки (фиг. 134). Средний пролет моста (100,80 м) перекрывает канал полностью (фиг. 22), удовлетворяя условиям подмостового габарита, так как эта пролетная строения возвышается на 14 м над уров-

<sup>1</sup> См. статью инж. Бачило А. С. «Осадка якоря арочного армированного моста пролетом 120 м», «Строительная промышленность № 1, 1940 г.

<sup>2</sup> Между населенными М-8 и М-9.

нем судоходного горизонта. Боковые пролеты, перекрытие из бетона, имеют по 23,75 м. Таким образом общая длина моста составляет:  $23,75 + 100,80 + 23,75 = 148,30$  м. На фиг. 135 представлена общий вид Хоринского моста.

Мост рассчитан на пропуск двух трамвайных путей и четырех потоков автомобилей, что потребовало начертания шириной проезжего полотна в 19,0 м; ширину тротуаров по 3,0 м в пределах главного пролета и по 5,25 м в пределах береговых пролетов.



Фиг. 135. Общий вид Хоринского моста.

Геологическая разведка, произведенная в месте расположения моста, обнаружила следующие напластования грунтов: непосредственно под культурным слоем (толщиной 0,40 м) на глубину до 13,0 м находятся четвертичные отложения, состоящие в верхней части из слоя суглинка с включением гальки и южного слоя гравийного песка, а в нижней части — из супеси серого цвета, переходящей со стороны Серебряного бора в напыщенную глину и песчаные прослойки. Ниже четвертичных отложений находится коренное отложение, состоящее в верхней части из южного слоя пластичной глины темносерого цвета, а в нижней — из слоя мергелистой глины и слоя ильменика.

## 2. ВИДЫ ТИПА МОСТА

Проектное задание для Хоринского моста было разработано в четырех вариантах: два из них — железобетонные решения; другие два — стальные мосты (фиг. 136).

Железобетонный мост по первому варианту был запроектирован трехпролетным, средний пролет — в виде гибких арок с балкой жесткости (шпангоутом), сада — понтону.

Арки — сечением  $0,860 \times 2,172$  м с расстоянием между осями 21,50 м; между арками не имеется спирей. Балки жесткости — коробчатые, пустотелые, целиком расположенные под проездной частью; высота их — 3,0 м.

Главный пролет разбит на 9 секций одинаковой длины. Опорными частями главного пролета являются четыре возвышающиеся стойки.

ки, высота которых — 8,20 м, а наибольшее сечение — 1,20×2,40 м; стойки опираются на фундаменты.

Береговые пролеты перекрыты простыми пустотелыми балками из балок жесткости главного пролета, имеющими то же расстояние между осями, что и у балок жесткости главного пролета, и отвергнутыми с одной стороны на устои, с другой — на консоли балок жесткости. Опорные части береговых пролетных строений устроены следующим образом: неподвижная опора имеется за одинак на устои; береговые пролеты соединяются с главным пролетом продольно-неподвижными шарнирами; продольная подвижность трех соединенных пролетных строений обеспечивается винтируемыми стойками под главным пролетным строением и качающимися валками берегового пролета на втором узле фона г. В. подразделка 3 «Опорные части»).

Все опоры моста основаны на деревянных сваях.

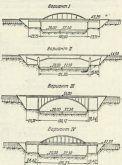
Во втором варианте дано решение железобетонного моста с садой поверху. Береговые пролеты (по 25,4 м) здесь перекрыты балками, имеющими высоту, вынесенную на 17,0 м и средний пролет. В среднем пролете на консолях опирается подвесная балка пролетом 70,4 м. Высота среднего пролета в сечении составляет 10,2 м. Для уравновешивания всей системы балок береговых пролетов придется дополнительная загрузка в виде противовесов.

Третий вариант — металлический мост с садой поверху, средний пролетное строение — в виде двухщипцовой арки.

В четвертом варианте запроектирован тоже металлический мост, но во схеме, имеющей сходство со схемой первого варианта.

На выбор варианта повлияли следующие соображения: а) срок сооружения моста был слишком мал для того, чтобы можно было успеть реализовать даже на изготовленные металлические конструкции; б) стоимость по первому варианту (железобетонному) оказалась выше, чем по трем остальным, причем разница составляла 25—55% (фиг. 137). Эти два обстоятельства определили выбор железобетонного моста по первому варианту.

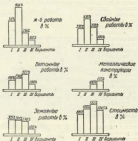
Однако против этого решения имелись и возражения. Существует широкое распространение мнение, что по архитектурным соображениям мосты с садой поверху малоизысканны или даже вообще недопустимы в городских условиях. Прежние мостовые конструкции с садой поверху во многих случаях действительно оправдывали такое мнение. Однако современная техника позволяет осуществлять и мосты с садой поверху, достаточно хорошо удовлетворяющие эстетическим требованиям. В частности предложенные по первому вари-



Фиг. 136. Варианты Чернавского моста.

ренту схема моста обеспечивала достаточно большой простор как под проездной частью моста, так и в пределах всего подъемного габарита, от одного устоя до другого. Достигалось это тем, что широке от проездной части было вынесено дном незначительное количество материала: арки малого сечения, не имеющие между собой связей, и тонкие подкосы, расположенные на больших расстояниях друг от друга.

Ниже проездной части в городских мостах обычно применяется полное отделение береговых пролетов от среднего путем устройства



Фиг. 137. Сравнительные диаграммы по четырем вариантам Хорбенского моста.

сплошных, массивных опор, подвергающихся средний пространству. Такое развитие нарушает всю перспективу по реке один из набережных и превращает береговые пролеты широких городских мостов в подобие туннелей<sup>1</sup>.

В схеме первого варианта применено оригинальное решение: установка пролетного строения на колесобетонные опорные части, представляющие собой четыре отдельные начищающиеся стойки высотой 8,30 м.

По указанным выше соображениям Строительство канала было принято и осуществлено мост по первому варианту.

Хорбенский мост был третьим, принятый к постройке из числа больших колесобетонных мостов, поискованных при сооружении канала Москва—Волга. Этот мост имел замечательный замысел в деле сооружения колесобетонных мостов, предпринятых Строительством канала Москва—Волга.

<sup>1</sup> В том числе и в новых мостах через Москву-реку и притоках Москвы.

## ГЛАВА II

### КОНСТРУКЦИИ МОСТА

#### I. ГЛАВНОЕ ПРОМЕТНОЕ СТРОЕНИЕ

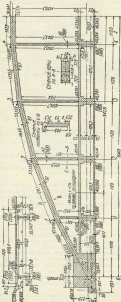
##### a) Арка, подвески, балки жесткости

Средний пролет Хордуновского моста поддерживается двумя главными фермами, представляющими схему изгибающей гибкой арки с жесткой хордой (балкой жесткости). Расстояние между осями главных ферм (ширина моста) составляет 21,60 м, а по направлению оси поперечной балки (по косине) — 23,35 м. Расчетный пролет равен  $L = 100,8$  м; расчетная стрела арки равна  $f = 4,222$  м ( $\theta/\lambda = 17,1$ ).

Длина панели — 11,20 м, вынос консольей балок жесткости в береговые пролеты — 2,47 м (фиг. 180).

Опоры арки расположены по линии линии. Сечение арки постоянное по всей длине пролета и равно  $0,60 \times 2,172$  м, если считать ширину арки параллельно косине моста. Вследствие общего наклона моста в  $47^{\circ}00'$  арки расположены в симметричном одинаково относительно к другой положении и кроме того сами по себе также являются асимметричными<sup>1</sup>.

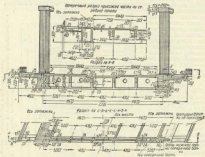
Балки жесткости (балки жесткости) коробчатого сечения высотой 3,00 м; коробчатое сечение образовано двумя горизонтальными и двумя вертикальными пантографами, имеющими толщину во 0,25 м; размеры пустотного прое-



Фиг. 180. Промежуточный разрез по арке и балкам жесткости.  
На чертеже показаны: 1) балки жесткости — по направлению, параллельному пролетной балке;  
2) в центре — по направлению, в направлении разворота моста.

<sup>1</sup> В направлении, перпендикулярном к плоскости главной фермы, ширина арки равна 23,35 м.

ки и боковыми балками —  $2,50 \times 1,50$  м (фиг. 129<sup>1</sup>). В местах пересечения с подвесками арок балки жесткости приведены диаграммы толщиной 1,00 м. Ось затяжки на протяжении 16,12 м от краинных стоеч имеет 2%-ный уклон; в средней части главного пролета на протяжении 68,56 м кривые усилий сохраняют параболу; таким образом в середине пролета балки жесткости



Фиг. 128. Поперечный разрез среднего пролета строения параллельно оси поперечной балки.

Приложим. На чертеже показаны размеры во взаимно параллельном си поперечной балки.

имеют полъем в 0,66 м. В опорном сечении № 0—0 (под краинной стойкой) ось арок расположена на 0,15 м выше оси балки жесткости (фиг. 128); точки пересечения оси арок с осью подвесок получены из условия их расположения по тарифам:

$$y = \frac{4 \cdot 14,40}{100,8} \cdot x \left( 100,8 - x \right).$$

счетом от краеволнистой оси затяжки.

В пределах опорного узла затяжка имеет сплошное сечение. Высота опорного узла — 4,20 м.

Подвески, соединяющие арку с затяжкой, представляют собой железобетонные элементы с гладкой арматурой и имеют сечение в виде параллелограмма (фиг. 129). Толщина подвесок — всего 0,368 м при ширине 2,030 м. Подвески, будучи жестко скреплены с поперечными балками, образуют в поперечном (фасадном) направлении полуромбы, жесткость которых обеспечивает боковую устойчивость арок.

<sup>1</sup> Горизонтальные размеры затяжки (балки жесткости) дали в квадрате, перенесенные к величине главной фермы (см. приведение во фиг. 129).

Арматуру арок (фиг. 140 и 141) составляют: 1) продольные стержни  $d = 25$  мм, уложенные в один ряд по периметру сечения, и 2) система поперечных сеток из прутьев  $d = 10$  мм; расстояние между сетками в арках — 80 мм (из исходного сечения подвески — к опорному узлу — плавно, где это расстояние уменьшено до 70 мм); каждая четверть сетки краями своих стержней захватывает продольные стержни арки; в этой же плоскости расположены хомуты, охватывающие продольную арматуру.

Все продольные стержни арки стыкуются в пределах каждой панели с расположением стыков находятся примерно в четверти панели, вследствие чего стержни, переходя через узлы, образуют перегиб, соответствующий ломаному очертанию арки. Стык стержней образуется простым запуском на 0,63 м; конец каждого спускаемого стержня снабжен отгибом под прямым углом на длину 30 мм.

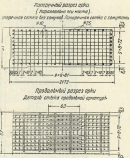
Продольная арматура балок жесткости (фиг. 143) состоит из стержней  $d = 38$  мм. В горизонтальных полках стержни расположены попарно. Часть стержней имеет непрерывно по всей длине балки. К ним добавлены стержни, будучи помимо балок жесткости в пределах средних панелей и по верху балки в пределах концевых панелей. Вследствие недостатка места дополнительные стержни, оканчивающиеся в пределах верхней и нижней полок балок жесткости, снабжены отдельными приваренными крюками, которые располагаются в местах разрезов проекций арматуры.

Балки жесткости армированы такими вертикальными и наклонными хомутами. Все хомуты в горизонтальных полках балок жесткости имеют диаметр 8 мм и шаг 145 мм. В боковых стенах балок жесткости вертикальные хомуты расположены спаружи от основной горизонтальной арматуры, диаметр их — 10 мм, а шаг — 290 мм.

Особое значение имеют наклонные хомуты. Каждая вертикальная стена балки жесткости армирована двумя системами наклонных, шарнирно перекрещивающихся хомутов. В обеих системах наклонные хомуты имеют свой диаметр в зависимости от номера панели балки жесткости (фиг. 141), а именно:

1) хомуты, восходящие к середине пролета, имеют следующий диаметр:

в панелях 0—1, 1—2, 2—3, 6—7, 7—8, 8—9 . . . . .	8 мм
" " 3—4, 5—6 . . . . .	10 "
" " 4—5 . . . . .	12 "



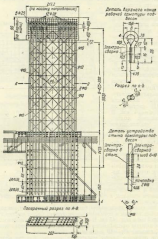
Фиг. 140. Разрезы арки.

2) хомуты, исходящие к середине пролета, имеют следующий диаметр:

в начальне 0-1, 0-2 . . . . .	16 мм
во всех остальных ванках . . . . .	12 .

Все хомуты в балках жесткости поставлены параллельно оси балки.

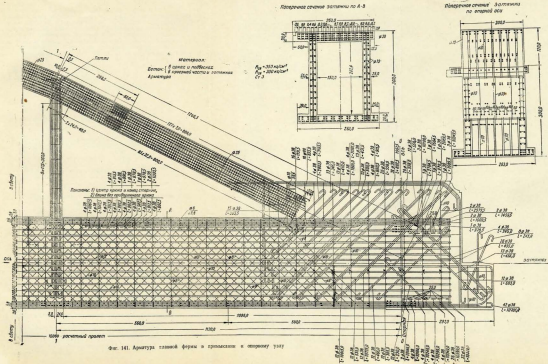
Основная арматура подкосов (фиг. 142) состоит из стержней  $d = 38$  мм. В подкосах имеются горизонтальные хомуты  $d = 10$  мм,



Фиг. 142. Пир. № 1 и № 2.

поставленные на расстоянии 475 м друг от друга. Кроме того в подкосах устроены две системы наклонных (под углом 45°) перекрещивающихся хомутов  $d = 16$  м.

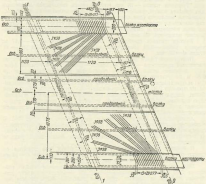
Нижними концами основные стержни подкосы вдавливаются в диафрагму затяжки — почти на всю ее высоту; стержни сохраняют свое вертикальное положение и оканчиваются крюками, внутренний диаметр которых равен 3,6  $d$  стержня. Верхними концами



Фиг. 141. Акватура главной формы в промежуточном и отвернутом виде

стержни подкреплены в арку в виде петель, уложимых на дистанции фиг. 142; в петли пропущены пластины изолита отрезки арматуры (фиг. 143), под которыми же в свою очередь установлены отрезки стержней, расположенные на всю ширину арки.

Опорный узел является одной из наиболее центральных частей данной конструкции. Аумерование его выполнено следующим образом. Все продольные арматуры балок жесткости подвезены (фиг. 141) в опорный узел, причем максимальное возможное число стержней, идущих из горизонтальных полок балки, отогнуто в пределах опорного узла под углом  $45^\circ$ . В дополнение к этим отогнутым стержням поставлены наклонные стержни с таким расчетом, чтобы количество



Для бетона арок принята марка  $R_{st} = 150$  кг/см<sup>2</sup>, для колонок и блоков жесткости — марка  $R_{st} = 300$  кг/см<sup>2</sup>. Арматура — из стали марки Ст. 3.

### б) Прямоугольная часть и тротуары

Балочная плита промежуточной части состоит из поперечных балок, расположенных на расстоянии 11,20 м друг от друга, и четырех продольных балок, расстояние между осями которых равно 4,312 м (фиг. 139).

В энантите промежуточной части, по середине садового полотна, образовано углубление, обес печивающее возможность укладки тротуарных луттий в боковых частях энантия придав 1%-ный поперечный уклон. Толщина плиты — 16 см, что является небольшой величиной для пролета панели, равного 4,312 м. Непосредственно на панели расположена изоляция (две слоя руберона, три слоя гудрона), покрытия защитным слоем смолы по металлической сетке; общая толщина слоя изоляции и смолы — 30 мм. Сверху уложен слой асфальтобетона толщиной 60 мм.

Высота средних продольных балок — 1,20 м, крайних — 1,47 м; ширину ребра — 0,36 (без учета коробки). Рабочая арматура — из стальной д = 35 мм.

Поперечные балки расположены под углом 67°03' к оси моста: расчетный пролет их — 23,35 м. Балки — двухтаврового сечения (фиг. 139), верхний пояс которого образован утолщением плиты до 0,30 м на участке шириной 2,50 м; ширина каждого полса равна 0,38 м при толщине 0,35 м. Толщина вертикальных стенок в середине их пролета 0,30 м, а у опор балки — 0,33 м. Высота поперечной балки, склоняющейся из-за изменения сжатия плиты, имеет минимальную величину (2,62 м) в середине пролета. Для пропуска подземопроводных труб в вертикальных стенах поперечных балок оставлены отверстия д = 0,70 м — по четыре отверстия в балке.

Армирование поперечных балок представлено на фиг. 144, в основном поперечные балки всех пролетов (главного и береговых) армированы одинаково, причем основная рабочая арматура состоит из стальной д = 34 мм, расположенных поясом в три ряда и постыльными концами.

В средней части пролета поперечной балки, где толщина ее стенки равна 30 см, установлены горизонтальные прокладки д = 12 мм и вертикальные хомуты д = 10 мм (ширина хомутов — 30 см).

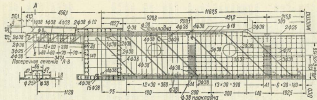
Под тротуарными плитами устроены специальные ячеистые решетки 250 × 0,25 м, предназначенные для пропуска по мосту различных кабелей и газовых труб. При движении значительного количества консолей тротуара (около 4 м) высоте ее придается небольшой размер с тем, чтобы консоль во возможности не могла закрывать решетку, сохранив за последней в фасаде моста значение главного архитектурного элемента. Этим и обусловлены твердые формы сечения исступленной консоли тротуара (фиг. 144).

Расстояние между тротуарными консолями равно длине пролета (11,20 м в главном пролете). На консолях опираются продольные изгибающиеся балки высотой 0,85 м. В промежуточной между консолями, посередине тротуарной коробки, устроена железобетонная панель толщиной 8 см.

Для бетона промежуточной части принята марка  $R_{st} = 300$  кг/см<sup>2</sup>.

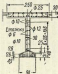
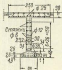
В отношении конструкции главного пролетного строения Хоринского моста следует отметить следующие характерные его особенности:

1. Армирование арок косвенной арматурой в виде поперечных сеток при допущенном высоком напряжении, достигающем 222 кг/см<sup>2</sup>.



Помощь отечеству  
Благодарю свою любовью  
Принесла не заслуги.

Планетарные астрономы  
популярно называют  
планетами, или планетами



Фиг. 144. Поверхия боки бортика проекции ствола.

В процессе производства работ установлено, что применение сечкой арматуры обеспечивает наибольшие удобства бетонирования. Никаких дефектов после входа якоря в арматуру и в зонах обнажено не было. Таким образом при конструировании арок Хоролевского моста был практически решен базовый вопрос о наиболее простом и удобном армировании элементов, испытывающих весьма большие сжимающие напряжения.

2. Высокий процент армирования подвесок и балок жесткости и снабжение их наклонными хомутами, обеспечивающими кроме восприятия поперечных усилий, еще необходимую связь бетона с арматурой при растяжении.

Растягивающие напряжения бетона в этих элементах достигают 35 кг/см<sup>2</sup>. Отсутствие каких-либо дефектов в балках жесткости и подвесках является доказательством того, что принятый в данном случае способ армирования позволяет этим элементам безотказно выдерживать большие растягивающие напряжения, значения которых нового превышают допускаемые формально в нормах, в частности в нормах НБПК, величины (20 кг/см<sup>2</sup>). Следует отметить, что указанное ограничение, предусмотренное техническими условиями НБПК, ставит точки определенные препятствия введение таких железобетонных конструкций, которые с успехом могут быть осуществлены, значительно расширив таким образом область применения железобетонных мостов.

3. Принятие сплошных ядер во сопряжении опорных узлов с плитой пролежней части.

В такой системе пролетного строения, как арка с блокой жесткости, вполне целесообразно выполнение плиты пролежней части и работу блоки жесткости на растяжение с обеспечением необходимой в этом целях связи опорного узла с плитой.

4. Армирование опорного узла в месте примыкания арок к мощное армирование наклонными стержнями.

Эти мероприятия исключили следствием отсутствие каких-либо дефектов в рассматриваемом важнейшем элементе пролетного строения.

5. Незначительность длины заделки арматуры подвесок в арки ( всего 16—18 ф' стержней), допущенная благодаря наличию больших сжимающих напряжений в арках.

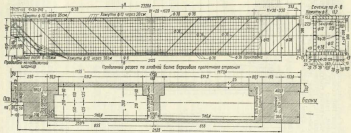
Работа этих узлов также оказалась безупречной.

## 2. БЕРЕГОВЫЕ ПРОЛЕТНЫЕ СТРОЕНИЯ

Каждое береговое пролетное строение имеет две главные балки, расположенные на продолжении балок жесткости главного пролета. Сечение главных балок и размеры их те же, что и у балок жесткости главного пролета, а расчетный пролет — 21,25 м (фиг. 145). Одним концом главные балки опираются на консоли балок жесткости, другим — на устои моста. Балочная система, плиты пролежней части и заднее полотно береговых пролетных строений такие же, как и в основных пролетах. Ширина тротуаров здесь больше, чем в главном пролете (уменьшение — за счет ширинды главной балки), и достигает 0,25 м.

Армирование главных балок произведено стержнями  $\phi = 38$  мм, расположенным в три ряда; отбиты стержней произведены в пределах вертикальных стенок. Вблизи окон сокровищ балок применено сплошным и отбиты стержней производены по всей их ширине.

Для бетона береговых пролетных строений применена марка  $R_{st} = 300$  кг/см<sup>2</sup>.



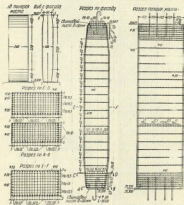
Mr. H. D. Davis from Arkansas reported a specimen

Приложение 1. Балки изогнуты в горизонтальном положении, в проекции балки стянуты с 1%-ной узлов. В 0-секции узлы разобщены горизонталью при помощи болта.

### 3. ОГНЕЧУДНЫЕ ЧАСТИ

Главный пролет моста опирается непосредственно на четыре квадратные стойки (фиг. 1-8); их поперечные сечения представляют собой прямоугольники, размер которых в средней части равен  $2,40 \times 1,20$  м, а к обеим концам стойки сужаются до  $2,40 \times 0,90$  м.

Предельная арматура из круглой стали  $d = 38$  мм поставлена по периметру поперечного сечения стоеч в один ряд, (34 стержня на одну стойку). Кроме того стойки укреплены поперечными



Фиг. 1-8. Квадратные стойки

сетками из прутьев  $d = 10$  мм, расставленными по высоте стоеч с промежутками в 40 см одна от другой.

В местах передачи давлений на стойки уложены свинцовые листы толщиной 30 мм; площадь листа —  $2,40 \times 0,85$  м.

Чтобы избежать смещения опорных стоеч, во всех оси стоеч свинцовые листы пропущены специальными стержнями  $d = 38$  мм — по четыре штуки на каждую конусную стойку (фиг. 1-6, разрез поперек моста).

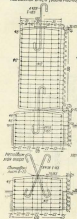
Опорные береговые земляные строения на консолях защищены с помощью продольно-наподпорных изразцов (фиг. 1-5). Здесь через свинцовые листы толщиной 20 мм и размером в плане  $2,00 \times 0,90$  м пропущены по осевой линии стальные стержни  $d = 38$  мм в количестве 13 шт. на каждую точку опирания. Число стержней опре-

здано по расчету, производится на деревянные и тяжелые щиты.

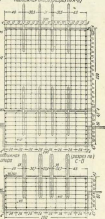
Оценка береговых зоновых строений на участке выполнена таким образом, что из одного участка располагается исподняния оторв., а на другом — подвижки.

Наподобия сквора обрывоками непосредственным отрывком балок на подфирменных усюсах с помощью свинцовых листов и прорезанных по осевой линии стальных стяжек  $d = 38$  мм в количестве 8 стяжек на каждую опорную часть.

#### References and Notes

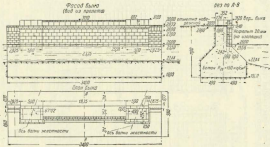


[View more stories from this author](#)

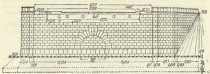


Фиг. 142. Основные части бактериальных вирусных структур.

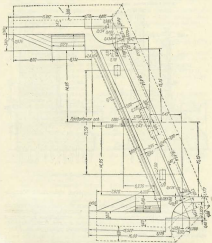
Подпорные стены на устье (фиг. 147) выполнены в виде железобетонных палок высотой 2,00 м., призматического в плане сечения  $2,00 \times 1,00$  м. Арматура палок образована грудинными вертикальными стержнями  $d = 12$  мм и соединенными с ними сетками из прутьев  $d = 8$  мм. Для предупреждения сдвигов палок прошлины во фланцах листов; спиральные стержни  $d = 38$  мм, соединенные палок с подферменником и с главной балкой. Каменистые стены под главным пролетным строением, а также каркасные палки на устье, которые вместе с обсыпкой обеспечивают продольную герметичность, всей системой



One, the other, was a pretty girl.



Фиг. 143. Вид на русь параллельно к ее передней стенке.



Фиг. 144. План руси (кухни, параллель к фасаду ее позади).

на трех пролетах, расположены перпендикулярно к продольной оси моста. Всего неподвижные опоры в местах соединения береговых пролетов с главным пролетом расположены по направлению оси моста (параллельно оси канала).

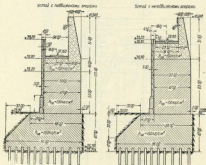
Под всеми опорными частями имеются железобетонные подферменники, армированные сетками.

Для опорных частей применены блоки марки  $R_{35} = 300$  кг/см<sup>2</sup>.

#### 4. ОПОРЫ МОСТА

Главное пролетное строение открывается посредством каланчончатых стоеч на массивных блоках, заложенных на скальном основании. Высота блоков составляет 12,20 м, причем из этого числа 11,00 м приходится выше отметки набережных (фиг. 148).

Соответственно условиям открытия отдельных каланчончатых стоек блоки приведены как блоки из двух опорах с ростверком.



Фиг. 151. Поперечные разрезы по передней стенке устоев.

Наружные поверхности блоков облицованы пристенной облицовкой из гранита чистой тески.

Устои моста — массивные, с обратными стенками, основанные на деревянных сваях  $d = 37$  см (936 штук за каждый устой). Фундамент имеет довольно значительный вынос как по отношению к передней стенке, так и по отношению к боковым стыкам устоев, вследствие чего непосредственно над головами сий воставлена арматура из стержней  $d = 38$  мм (фиг. 149, 150, 151).

В соответствии с разной высотой опорных частей пилонные части устоев отличаются тем, что для устоев с подвижными опорами пилоны

кака отвертка площадка понижена и спереди закрыта специальной стекой. Таким образом по наружному виду (если смотреть из профиля) оба устоя одинаковы.

Доступ к отвертке частям на устоях обеспечен устройством лазов с проездной части. Отвод воды осуществляется при помощи специальных труб, проходящих в передней стеке устоя.

Наружные поверхности устоя облицованы пристанным гранитом чистой тески.

### ГЛАВА III

#### ДАННЫЕ ПО РАСЧЕТУ ПРОЛЕТНОГО СТРОЕНИЯ

При проектировании моста была принята расчетная временная нагрузка следующих видов:

а) нормальная автомобильная нагрузка по схеме  $N_0$  — в виде колесных грузовиков весом по 12,0 т с наличием и колесами одной машины весом 15,6 т;

б) трамвайная нагрузка по схеме  $T_0$  — в виде поезда, состоящего из двух моторных вагонов и одного прицепного вагона между ними (сдвижение оси моторного вагона — 12,0 т, оси прицепного вагона — 10,0 т);

в) толпа с интенсивностью нагрузки 500 кг/м<sup>2</sup>.

г) поверочная нагрузка тяжелым гусеничным трактором (с повышенными допускаемыми напряжениями на 20%).

Загружение земли в заложения производилось в следующих комбинациях, из которых для расчета брался невыгоднейший случай:

1) нагрузка толпы по всей ширине моста и на тротуарах;

2) нагрузка шестью колесами автомобиля и толпа на тротуарах;

3) нагрузка четырьмя колесами автомобиля, двумя рядами трамваев и толпой на тротуарах;

4) гусеничный трактор.

При определении усилий в арках и балке жесткости для случаев одновременного загружения шестью колесами автомобилей (в. 2) или четырьмя колесами автомашины и двумя рядами трамвая (в. 3) автомобильную нагрузку уменьшали на 40%.

Динамические коэффициенты для элементов проездной части (и подвесок) определялись по интерполяции из условий:

при $t < 5$ и динамический коэффициент равен . . . . .	1,20
при $t \geq 10$ . . . . .	1,10

Для балки жесткости и арок динамический коэффициент принят за единицу. Допускаемые напряжения для проездной части были приняты следующие:

для арматуры . . . . .	1250 кг/см <sup>2</sup>
для бетона марки $b_2 = 300$ кг/см <sup>2</sup> . . . . .	
от сжатия при изгибе . . . . .	112,5 . . . . .
изгибающие напряжения (для всех расчетов) марки . . . . .	20 . . . . .

Специальных ограничений по расположению бетона в тяжелых комбинациях, как подвески и затяжки, не ставилось.

Главные фигуры рассчитаны как одноряды статически неопределенной системы; за статически определиющую полагают принят распор  $H$  арки.

Подбор арочных арок произведен по нормальным силам от действия постоянной и временной нагрузок и изгибающих момента от действия собственного веса затяжек арки.

Допускаемые напряжения для арок определены с учетом каскадной

арматуры на условный тройного зажима по отношению к временному сопротивлению стержня, определеному по формуле:

$$R_{\text{трой}} = R + 10x_1 \left( R + \frac{x_2}{2} \sqrt{\frac{100 \cdot d}{d}} \right) + x_3 \sqrt{\frac{100 \cdot d}{d}},$$

где  $R$  — модуль бетона (для арки  $R_m = 350$  кг/см<sup>2</sup>);

$x_1$  — отношение объема продольных стержней к объему бетона;

$x_2$  — отношение объема стяжек к объему бетона;

$x_3$  — модуль арматуры, определенный из условия:

$$x_3 = 9,90 + \frac{(100 - x_2)^2}{8},$$

$h$  — минимальный размер элемента;

$d$  — диаметр стержней сечения.

Расчетные давления по сечениям арок для извлечения от нормальных сил приведены в табл. 20.

Таблица 20

$M$ изогиб	Радиус изгиба в м	$\frac{h}{d}$ изгиба в см	Коэффициент изгиба стержня	Принят изгибание		Давление извлечения в кг/см <sup>2</sup>	Давле- ние извлече- ния в кг/см <sup>2</sup>
				пред- ельно го	исход- ного		
4-3	2,972	1	1	1,79	2,17	175	166
3-4	2,968	1	1	1,79	2,17	175	166
3-3	2,920	1,045	1,17	1,79	2,17	161	156
2-3	2,929	1	1	1,79	2,17	158	153
0-1	3,479	1	1	1,79	2,17	108	100

К напряжениям, указанным в табл. 20, добавляются напряжения от изгиба, вызванного собственным весом элементов арок; эти напряжения достигают 15,5 кг/см<sup>2</sup>. Таким образом, наибольшие напряжения в арке имеют величину  $206 + 16 = 222$  кг/см<sup>2</sup>.

При расчете балок жесткости последние рассматривались как изотропные конструкции и работа бетона в них не учитывалась.

Подбор сечений балок жесткости произведен по наибольшим для каждого сечения расходу и моменту изгиба от действия постоянной и временной нагрузок. В табл. 21 приведены соответствующие расчетные данные для расчетных сечений балок жесткости.

Таблица 21

Момент изгиба жесткости	Радиус изгиба в м	Нагибаю- щий момент в тн	Арма- тура 25,28 кн в шт.	Напряжения в кг/см <sup>2</sup>		
				верхней арматуры	нижней арматуры	сжатия
0	2,972	-1455	268	1190	631	21,5
1	2,968	-1452	245	1198	676	21,1
2	2,968	-1466	245	1230	1230	21,1
3	2,920	-529	261	1190	633	5,1
3	2,929	-1474	261	1236	1237	5,1
4	2,920	-1261	258	1190	847	4,8
4	2,945	-1257	258	1235	1235	4,8
5	2,966	-487	268	639	1162	3,7
5	2,779	-1287	268	636	1235	3,7

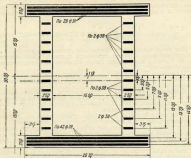
Возможно отсутствие установленного метода проверки напряженности бетона в расстояние метод этого расчета, примененный для данного моста, иллюстрируется в приводимом ниже примере.

Для сечения, работающего только на действие раствора — без изгибающего момента (сечение I—I), будем иметь следующие расчетные величины:

площадь сечения балки жесткости равна  $a_0 = 2,565 \text{ м}^2$ ;

в приедении площадь сечения при отношении модулей упругости  $\mu_0 = 16$  и количестве стержней в балке жесткости  $k = 248$  (сечение I—I) составляет:

$$a_{sp} = 2,565 + 10 \cdot 0,001134 \cdot 248 = 2,565 + 2,815 = 5,380 \text{ м}^2.$$



Фиг. 182. Расчетное сечение балки жесткости (по четвертой позиции).

наибольшая величина раствора равна  $H = 2,972 \text{ т}$ . Следовательно растягивающее направление определяется так:

$$\sigma_0 = \frac{2,972}{5,380} = 552 \text{ т/м}^2 = 55,2 \text{ кгс/см}^2.$$

Если определить растягивающие направления с учетом изгибающего момента, будем иметь следующее для сечений I—I (фиг. 182):

1) приведенная площадь сечения:

$$a_{sp} = 2,565 + 10 \cdot 0,001134 \cdot 258 = 2,565 + 2,930 = 5,495 \text{ м}^2;$$

2) приведенный статический момент относительно середины сечения (затылок):

$$S_{sp} = -664\,000 \text{ см}^3 = -0,664 \text{ м}^3.$$

3) эксцентрикитет:

$$e = \frac{S_{\text{ср}}}{a_{\text{ср}}} = -\frac{0,494}{5,495} = -0,119 \text{ м};$$

4) приведенный момент инерции сечения относительно нейтральной оси:

$$J_{\text{ср}} = 7676 \cdot 10^6 \text{ см}^4;$$

5) изгибающий момент, приведенный к центру тяжести сечения:

$$M = +2094,0 - 2,719 \cdot 0,119 = +1751 \text{ тм}.$$

Если при определении растягивающих напряжений принять только половину изгибающего момента (как это для подобного случая предполагается в нормах НКПС), получим следующую величину напряжений<sup>1</sup>:

$$\sigma = \frac{2,719}{5,495} + 0,5 \cdot \frac{1750 - 1,381}{7,676} = 495 + 157 = 652 \text{ т/м}^2 = 65,2 \text{ кг/см}^2.$$

При расчете арок было произведено проверка их устойчивости во плоскости ферм с учетом отпорности подвесов, удерживающих арку от бокового выпучивания. Расчет устойчивости был произведен тремя способами:

1) способом Миллера-Блейка — с помощью уравнений в конечных разностях, и предположения наличия среды, обладающей меньшей отпорностью, чем дают подвески;

2) способом Тимошенко: а) приближенным для криволинейных поясов, так как расчет производится в зоне прочности по величине отпорности средних стоечек; б) точным — с учетом периодичности сопротивления непрерывной среды;

3) способом Низелло, более точно учитывающим как действие отпорности среды, так и геометрические элементы сооружения.

Все три способа показали, что длины участков арок при расчете на продольный изгиб составляют величину, меньшую 14-кратной ширины пояса, и следовательно сомнений в боковой устойчивости арок не имеется.

Расчет балка произведен на следующие действующие на него основные усилия: вес пролетного строения, вес опор, давление земли со стороны набережной и давление от временной нагрузки, распределяемой на пролетном строении и на призмах обрушения набережной.

Объемный вес земли принят равным 24 т/м<sup>3</sup>, а засыпка — 1,7 т/м<sup>3</sup>; угол естественного откоса грунта — 35°. Давление на грунт по подошве опоры составляет  $p_{\text{под}} = 3,53 \text{ кг/см}^2$  и  $p_{\text{рыб}} = 3,12 \text{ кг/см}^2$  (без учета сейсмического основания); наибольшее давление на сваю  $d = 27 \text{ см}$  составляет 24,5 т.

Коэффициент запаса на сдвиг при коэффициенте сцепления кладки по грунту 0,60 (сваи не учитываются) составляет 4,28 и снижается до 2,85 в случае, когда пролетное строение еще не поставлено.

На береговой устой хромоз сил, указанных в расчете балка, действует торсионная сила от временной нагрузки. При неблагодарных случаях действия сила на устой расчетом получены следующие напряжения грунта:  $p_{\text{рыб}} = 8,2 \text{ кг/см}^2$  и  $p_{\text{под}} = 1,8 \text{ кг/см}^2$  (без учета сейсмического основания); наибольшее давление на сваю  $d = 27 \text{ см}$  составляет 21,0 т.

<sup>1</sup> В проекте ТГ НКПС под т. при расчете изогнутых растянутых конструкций требуется проверка на совместное действие осевой растягивающей силы и изгибающего момента (глава 4).

Коэффициент запаса на сдвиг без учета отпора грунта с передней стороны фундамента получим равным 1,06; с учетом активного давления грунта на переднюю грани фундамента — 1,49.

Сборная решетка износающейся стойки на баланс составляет 2406 т. Расчет этой стойки произведен на осевое сжатие, без учета коэффициента на продольный изгиб, так как отношение длины стойки к наибольшему поперечному сечению менее 14. Напряжение в сжатой части стойки составляет около 57 кг/см<sup>2</sup>. Напряжение в сжатой прокладке равно:

$$\frac{2406\,000}{85 \cdot 240} = 118 \text{ кг/см}^2.$$

## ГЛАВА IV

### СТРОИТЕЛЬСТВО МОСТА

Объемы основных работ по сооружению Хоринского моста характеризуются следующими данными: кубатура бетонной и железобетонной кладки — 18 563 м<sup>3</sup>; вес арматуры — 1 452 т; количество свай в основаниях балок в узлах — 2880.

Фактическое начало работ по постройке моста относится к ноябрю 1936 г. В течение ноября и декабря производилась выемка грунта из подошвенных опор, в декабре 1936 г. и в январе 1937 г. велись свайные работы; с начала января была начата бетонная кладка опор моста. Бетонирование пролетных строений производилось в период с конца апреля до середины июня 1937 г. Раскручивание и испытание моста, а также начало движения по нему датируются июлем 1937 г. Таким образом работы по сооружению моста продолжались в общей сложности всего девять месяцев. Для такого исключительного во своей архитектуре и значительного по объему работ мост это очень короткий и пока не превышенный срок.

Бетонное хозяйство строительства Хоринского моста было мощным и механизированным. Бетонный завод был оборудован четырьмя бетономешалками системы Ранко с ёмкостью по 1 000 л и транспортерами для подачи в бункеры песка и гравия, обогреваемых в специальных помещениях, расположенных рядом с заводом. Подача бетона в блоки осуществлялась транспортерами, которые были установлены в отдельной галерее, начинавшейся у бетонного завода; общая длина транспортеров достигла 300 м.

Максимального развития бетонные работы достигли во второй половине февраля и в первой половине марта. В этот период разошлось 11 800 м<sup>3</sup> бетона, а суточная производительность поднялась до 1 100 м<sup>3</sup>.

Для бетонирования пролетных строений применялся бетон с осадкой конуса 18 см. Укладка бетона производилась вибраторами. Следует попутно отметить, что Хоринский мост является в СССР первым изломом, в котором весь бетон полностью (бокоры и прогонные строения) уложен с помощью вибраторов; вместе с тем при бетонировании пролетных строений Хоринского моста применение вибраторов отнюдь не было вызвано переходом на более жесткий бетон, а являлось следствием, объяснявшим недостаточное распределение и укладку лягушего бетона в условиях густого насыщения элементов пролетного строения арматурой; использование вибраторов в подобных случаях вполне целесообразно, так как оно в наибольшей степени обеспечивает необходимое качество укладываемого в лягушу бетона; в частности бетон пролетных строений Хоринского моста может быть призван исключительным по своему высокому качеству.

Необходимо несколько остановиться на следующем обстоятельстве, имешем место при сооружении Хорошевского моста.

Основание бетонного опоры расположено на 6,20 м ниже основания устоев, причем проекциях между ближайшими гранями фундаментов этого опоры составляла только 11,6 м. Устройство основания было предположено производить в первую очередь, работая в котловане со шпунтовым ограждением и близким уровнем грунтовых вод с помощью глубинного водоподъемника. Стремление упростить и ускорить производство работ привело к тому, что склонное основание устоев было доведено до отрывки котлованов балок, а самые котлованы балок были заложены открытым способом с применением обычного поверхностного водоподъемника. Такой вспомогательный способ производства работ привел к неизбежному ослаблению текущей способности грунта в основании устоев.

Действительно, после того как готовые устои были засыпаны, - в апреле 1937 г. на широкой грани их передней стены (примерно против центров пролетных котлованов балок) было обнаружено во всей вертикальной трещине, начавшей от низа фундамента до верха устоев. На обеих устоех трещины имели совершенно одинаковый характер. Наибольшую ширину (20 мм) трещины имели в самом низу опор, а выше они сужались, выклиниваясь на верху опоры. Такой же характер имели трещины и по задней грани передней стены.

Зона наибольшего ослабления текущей способности грунта в основании устоев, очевидно, была расположена по линии центров котлованов балок. Именно по этому направлению произошел разрыв передней стены устоев.

Дальнейшими наблюдениями установлено, что хотя первые трещины продолжали увеличиваться, но затем стабилизировались. Ввиду этого было прекращено землятие трещин и установлено гранитные облицовки. В дальнейшем какого-либо повторения облицовки не наблюдалось, что характеризует исчезновение опасок.

Для опор моста был применен приставной гранитные облицовки. Так как на мостах СССР этот способ установки облицовок до того не применялся, а на Хорошевском мосту он себя хорошо зарекомендовал, то необходимо кратко остановиться на его особенностях.

Приставной называется облицовка, устанавливаемая после высыпания всей бетонной кладки (т. е. изначально же по мере укладки бетона, а совершение независимо от нее). Этот способ установки облицовок дает большими преимуществами. Известно, что при обычном способе установки облицовки (т. е. одновременно с производством бетонной кладки) укладка бетона ведется с нарушением основных технических условий, так как по каждой новой облицовке приходится делать перерыв в бетонировании, в результате чего бетонный массив получается непрерывными, многослойными. Кроме того общий тяжелый нарядка кладки отрывается замыкается. В случае же применения приставной облицовки бетонная кладка выполняется в нормальном порядке и обычными темпами, практически излишне только необходимости задельывать в бетон скобы, служащие в дальнейшем для прокрепления облицовки.

Толщина приставной облицовки устоев Хорошевского моста составляет только 25 см; залывка камней была принята в 5 см; такие образцы обладают толщиной облицовочного слоя равна 30 см. Каждый отдельный камень облицовки с помощью двух крючков прикрепляется к скобам, заделанным в бетонную кладку опоры.

## ГЛАВА V

### РАСКРУЖАЛИВАНИЕ И ИСПЫТАНИЕ МОСТА

#### 1. РАСКРУЖАЛИВАНИЕ

В первую очередь отходили от подмостей арки главного пролета; в это время вся проложенная часть главного пролета и береговые пролеты моста еще оставались на подмостях.

В дальнейшем были установлены два этапа:

1) раскруживание береговых пролетов;

2) раскруживание проложенной части главного пролета.

Подмости, временные для бетонирования моста, были образованы из сплошных рядов стоек, служивших продолжением забитых в землю свай. Стойки подмостей были связаны поверху пакетами, на которых располагались раскружающие пристенки обвязки и виды кобалок. В каждом зврелое в первую очередь арки раскруживания освобождались кобалки, находившиеся под продольными балками, затем — кобалки под поперечными балками; только после этого производилось освобождение кобалок, находившихся под главными балками, причем эта операция в главном пролете производилась с особой тщательностью: кобалки удаляли равномерно по всей длине главного пролета, начиная удаление от середины каждой пакета балок жесткости; в последнюю очередь производилось удаление равномерно по всему пролету освобождение кобалок, находившихся под узлами балок жесткости в местах примыкания поперечных балок.

Весь процесс раскруживания длился 47 ч. 15 м. (исключая два перерыва). Первый перерыв был назначен между полным раскруживанием береговых пролетов и началом раскруживания основного пролета; продолжительность его — 9 ч. 16 м. Второй перерыв длительностью 6 ч. 46 м. происходил перед освобождением последних кобалок под балками жесткости в местах примыкания к ним поперечных балок.

К концу полного раскруживания береговых пролетов были зарегистрированы следующие деформации и напряжения:

а) в четверти пролета арочное пролетное строение поднялось вверх на 0,45—0,48 м (в середине пролета это пролетное строение не изменило своего положения);

б) в арках возникло растяжение (порядка 6—18 кг/см<sup>2</sup> в бетоне); в подвесках — сжатие фюзеляка 36—68 кг/см<sup>2</sup> в арматуре).

К концу раскруживания продольных и поперечных балок главного пролета, когда все пролетное строение поддерживалось только кобалками, находившимися под пакетами, главные фермы среднего пролета уже получали довольно значительную нагрузку.

В этот момент наблюдалась следующие деформации и напряжения в конструкции:

а) прогибы в середине пролета балок жесткости достигли величины 10,47 и 9,44 м;

б) арки начали работать на сжатие (329 кг/см<sup>2</sup> в бетоне); растяжение в нижней арматуре затяжек составило 67 кг/см<sup>2</sup>.

К концу раскруживания моста было установлено следующее:

а) прогибы в середине затяжек составили 109,42 и 104,52 м;

б) сжатие в бетоне прок достигло 98,6 и 126,5 кг/см<sup>2</sup>;

в) растяжение арматуры подвесок — 636,5 кг/см<sup>2</sup>;

г) растяжение арматуры в балках жесткости достигло 327,3—383,2 кг/см<sup>2</sup>.

Через 5 час. после полного раскруживания прогибы балок жесткости возросли на 2,39 и 3,47 м и достигли 111,71 и 107,99 м.

Все данные наблюдений при раскруживании моста свидетельствуют о том, что пролетное строение включилось в работу плавно.

Для оценки замеренных прогибов и напряжений табл. приведены

теоретическим их значениями, причем в скобках дано отношение измеренных величин к теоретическим:

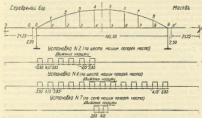
протяжка корытных балок жесткости . . . . .	108,0 мм (1,030—1,000)
сжатие в бетоне при . . . . .	142,2 кг/см <sup>2</sup> (1,000—0,880)
растяжение арматуры в балках . . . . .	1,040 кг/см <sup>2</sup> (0,610)
балок жесткости . . . . .	780 кг/см <sup>2</sup> (0,881)

Интересно отметить, что максимальные удлинения в середине пролета одной из продольных балок напряжения ее арматуры составляло 881 кг/см<sup>2</sup>, т. е. оказалось в 2,26 раза больше теоретического напряжения (386 кг/см<sup>2</sup>), причем наибольшее нарастание напряжений в продольной балке произошло в момент разворачивания главных ферм (переездная часть была уже развернута). Это свидетельствует о том, что вся проездная часть в значительной степени подвергается и работе на растяжение вместе с фермами моста, вследствие чего и произошло подрастяжение напряжений в арматуре продольных балок при соответствующем уменьшении напряжений (48,1% от теоретических) в арматуре балок жесткости.

При расчете напряженостей отношение модулей упругости арматуры и бетона было принято равным 10 при  $E_a = 2 \cdot 10^5$  кг/см<sup>2</sup>.

### В. испытание временной нагрузкой

В качестве нагрузки при статических испытаниях моста служили погруженные песком и камнем автомобили ЗИС-5; общий вес каждого автомобиля с грузом 6,5 т. В целях большего приближения испытательной нагрузки к расчетной расстояния между задними осями



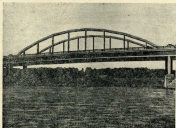
Фиг. 153. Установка испытательной нагрузки

основных автомобилей вдоль моста были сокращены до 3,0 м. Установка машин в поперечном направлении производилась в 6 и 7 рядов. При определении максимального прогиба в середине пролета и наибольшего распора на мост было введено 78 автомобилей (фиг. 153).

Прогибы в середине арочного пролета достигли наибольшей величины при установке № 4 и составили 4,01 и 6,35 мм. Теоретический прогиб от испытательной нагрузки для той же установки равен 10,48 мм. Теоретический прогиб узла 4 от расчетной нагрузки равен 26,70 мм (для середины пролета — несколько больше).

При установке № 2 положительный прогиб в нагруженной четверти пролета составил 3,69 м (теоретический — соответственно 12,49 м), отрицательный прогиб погруженной четверти был равен 0,89 м (теоретический 5,11 м).

Что касается наблюдений за время раскручивания и при взятии в совместной работе на растяжение продольных балок и лотков, то наблюдение напряжения в продольной балке было получено не при установке № 7 на максимальное загружение собственно продольной балки, а при установке № 4, соответствующей загружению всего главного пролета.



Фиг. 154: Средний пролет Хорошевского моста.

Динамическое испытание производилось тремя тракторами ЧТЗ весом по 10 т. Тракторы проpusкались по середине ширине пролетной части, все вместе, и одну машину по ширине моста, на первой, второй и третьей скоростях.

Амплитуды наблюдавшихся вертикальных колебаний достигали следующих значений:

при скорости 3,0 м/с/ч	... . . . .	0,890 м
" " 4,5 "	... . . . .	0,660 "
" " 5,9 "	... . . . .	0,129 "

Динамические прогибы в середине пролета при тех же скоростях составили (в скобках приведены величины динамического коэффициента):

0,204 м	... . . . .	(1,808)
0,206	... . . . .	(1,81)
0,208	... . . . .	(1,14)

Динамические прогибы в четвертих пролета при тех же условиях выражаются следующими значениями:

$$\begin{aligned} &+0,280 (1,090), -0,179 (1,098) \\ &+0,280 (1,281), -0,125 (0,736) \\ &+0,280 (1,280), -0,119 (0,687) \end{aligned}$$

Боковые колебания пролетного строения при измерениях с помощью прибора, дававшего увеличение в 24 раза, не были обнаружены. Вид на средний пролет Хорошевского моста представлена на фиг. 154.

# Г. МИЕНИКОВСКИЙ ШОССЕЙНЫЙ МОСТ

## ГЛАВА I

### ОБЩЕЕ ОПИСАНИЕ МОСТА

Конструкция описываемого моста — балочная, двухконсольная, с расчетным пролетом 45,0 м при длине консолей по 18,5 м.

Ширина проезжей части на мосту — 12,0 м; протяжка — 2,25 м.

Отметки проезжей части моста определяются в соответствии с условиями заданного судоходного подкюстового габарита. Согласно этому габариту над средней части проездного строения на протяжении 18 м возвышаются над расчетными судоходными горизонтами на 14,0 м; по бокам подкюстной габарит имеет скосы  $6 \times 4$  м.

Общий вид, разрезы и план моста приведены на фиг. 155. Проездное строение моста имеет 4 главных балка, расположенные на расстоянии 4,5 м друг от друга. Высота главных балок в середине пролета — 2,2 м, на опорах — 4,35 м; за концах консольей высота главных балок — 1,5 м.

Очертание нижней грани балок выполнено по параболе. Верхняя грань имеет двухсторонний уклон от середины моста к его концам, равный 0,015; в середине пролета на протяжении 30 м эти уклоны сопрягаются по параболе.

Ширина главных балок — переменная. Крайние балки в середине пролета на протяжении 25 м имеют ширину 0,6 м, к концам ширина их увеличивается до 1,5 м, причем расширение сделано только во внутреннюю сторону, наружная же поверхность балок — с фасада — остается плоской. Ширина средних балок остается неизменной в середине пролета, на участке длиной 15 м, и равна здесь 0,5 м; при этом в нижней части балок для размещения арматуры имеется расширение в виде трапа с шириной полки 0,80 м. На оставшем протяжении, к опорам, ширина этих балок увеличивается до 1,0 м. В пределах консольей ширина средних балок убывает от 1,0 м у опоры до 0,6 м на конце консольи (фиг. 155 и 156).

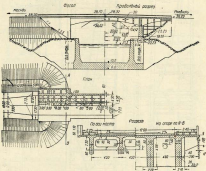
В пределах консольей к проездному строению подвешены тонкие железобетонные стеки (тощина 0,10 м); назначение их — декоративное: они придают облик моста вида мясных утесов. Большшая высота этих стеков обусловлена необходимостью смыкания их ребрами жесткости, установленными на расстояниях 2—8 м друг от друга; устойчивость в горизонтальном направлении обеспечивается железобетонными связями, размещенными в одной плоскости с поперечными балками в состояниях из горизонтальных распорок, наложенных подкосов в вертикальных подмостях; посредством подкосов вся система стеков между декоративными стеками подвешена к главным балкам. Декоративные стеки на всем своем протяжении подвешены посредством исполнительской продольной балки в консолях поперечных диафрагм, выпущенных для этой цели в пределах консольей главных балок.

Основная арматура главных балок состоит из стержней  $d = 42$  мм. Диаметр хомутов — 12 мм. Так как ширина хомутов сравнительно велика, то на всем протяжении балок поставлено с каждой стороны ребра по два монтажных стержня  $d = 12$  мм. В местах опирания главных балок на опорные части устроены горизонтальные сетки из пяти рядов арматуры  $d = 10$  мм; между сетками установлены вертикальные стержни  $d = 12$  мм (фиг. 157).

Проездное строение имеет 9 поперечных балок, которые вместе с распорками и вертикальными ребрами жесткости главных балок образуют диафрагмы, обеспечивающие совместно с плитой проезжей части поперечную жесткость проездного строения. Высота каждой диафрагмы соответствует высоте главных балок; ширина диафрагм — 6,1 м.

В среднем пролете моста диафрагмы расположены через 6,0 м. На консолях, к концам их, расстояние между диафрагмами увеличивается до 3,0 м; это вызвано устройством на консолях консольей бетонной арматуры, разгружающей пролет. Для поддержания бетонной арматуры в последних двух панелях консольей по наименованию позже главной фазы устроена железобетонная панель толщиной 0,35 м.

Основная арматура поперечных балок и распорок действует на стержни  $d = 13$  мм и  $d = 16$  мм. Диаметры хомутов — от 8 до 16 мм. Армированые диафрагмы показаны на фиг. 168.



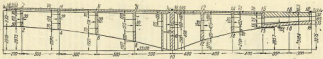
Фиг. 165. Фасад, план и разрезы Матросского моста.

Проложенная часть моста состоит из: а) железобетонной панели толщиной 0,35 м, б) слоя тонкого бетона, обеспечивающего необходимый угол, в) изоляции (три слоя толи во клеевом масле), г) защитного слоя, уложенного поверх изоляции, и д) слоя асфальта толщиной 6 см.

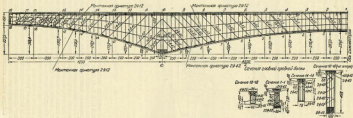
Тротуары выполнены на консолях, являющихся продолжением панели проложенной части. На защитный слой этих консолях установлены бетонные блоки, по которым уложены съезжие железобетонные тротуарные панели толщиной 6 см и размерами в плане  $1,0 \times 0,6$  м. По верху панелей уложен слой асфальта толщиной 2,5 см.

Оборванные части — железобетонные, обычного типа. Неподвижные опорные части выполнены в виде подушек, на которые (через синтетические листы толщиной 40 мм) опираются проектные строения. Подвижные опорные части устроены в виде катящихся призматических валков. В местах открытия пролетного строения на валах в валки на полную пролювацию синтетические листы той же толщины, что и неподвижных опорных частях.

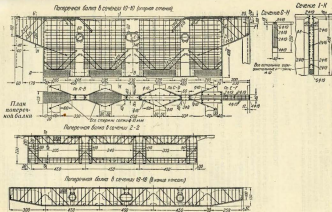
Ограждения моста выполнены из бетона в виде блоков обычного типа,



Фиг. 186. Рисунок продольного строения по всей длине.



Фиг. 187. Арматура главной (серединной) балки.



Фиг. 128. Арматура диффузора в поперечных блоках.

имеющих в плане форму прямоугольника с закругленными углами. Ширина опоры поверху (ширина моста) — 2,15 м, поину (по образу фундамента) — 2,50 м.

Самостоятельных фундаментов опоры не имеют.

Фундаментом опор служат усилители, с учетом нагрузки от моста, сечения камеры пакета. В основании пакета залегает известняк, подстилаемый короче глиной<sup>1</sup>.

## ГЛАВА II

### ОСНОВНЫЕ РАСЧЕТНЫЕ ДАННЫЕ

Проект моста на Менделеевском шоссе был составлен на основе ТУ и Н проектирования мостов и труб (изд. б. Центротранса, 1933 г.).

Условия от постоянной нагрузки были определены по действительному ее расположению.

При подсчете усилий от временной нагрузки были приняты следующие ее виды:

1) автомобильная  $N_{av}$ ;

2) грузовая (погрузка из четырех двухосных вагонок по данным Мостстромнайтреста);

3) дополнительная нагрузка, состоящая из двух полос длиной по 3,3 м при ширине полосы 4,6 м и расстоянии между осями полос 2,35 м (давление 3 т/ваг. м).

Динамические коэффициенты от временной вертикальной нагрузки приняты следующими:

для пятой пролетной части в проекте . . . . .	1,17
" . . . . . на консолях . . . . .	1,16
" . . . . . концевых блоках . . . . .	1,17
" . . . . . главных блоках . . . . .	1,10

В качестве материалов для основных элементов моста приняты:

для пролетного строения <sup>2</sup> бетон марки . . . . .	$R_{25} = 170 \text{ кг}/\text{см}^2$
стальные чистые . . . . .	$R_{25} = 200$ "
сталь . . . . .	$R_{25} = 180$ "
бетон основных элементов — арматура марки Ст. 3.	

Планы пролетной части рассчитаны на: открытая по контуру; полулучные напряжения приведены в табл. 29.

Таблица 29

	Напряжения в стержне пролетной части в кг/см <sup>2</sup>				Напряжения на изгиб в кг/см <sup>2</sup>		
	бетон моста		изогнутый мост		бетон и арматура		арм.
	н.	н.	н.	н.	н.	н.	н.
В плоск. расположенных в главном пролете . . . . .	45	1,215	62	1,250	50	1,250	2,9
То же на консолях . . . . .	58	1,250	48,4	1,275	—	—	3,44

Нижняя плита консоли, устроенная для поддержания бетонной прогруженной, рассчитана как балочка с напряжением: в бетоне  $\sigma_b = 52 \text{ кг}/\text{см}^2$ ; в арматуре  $\sigma_a = 1,270 \text{ кг}/\text{см}^2$ , скользящее напряжение  $\tau = 4,22 \text{ кг}/\text{см}^2$ .

<sup>1</sup> См. выпуск «Опыты облученных глиноземов и глиноцемов».

<sup>2</sup> По требованиям Инженерного института при согласовании проекта, пролетное строение заменено на бетона марки  $R_{25} = 200 \text{ кг}/\text{см}^2$ .

Расчет поперечных балок пролетного строения моста, имеющих три равных пролета с узкогой заделкой на фланцах, произведен по формулам, приведенным в ТУ б. Щудорвтранс. За расчетный про-  
должительность времени в свету, увеличенная на половину высоты балки.

Основные расчетные данные для первичной базы приведены в табл. 21.

### **Treatment**

Расчет главных балок производится обычным методом, при этом расчетные усилия от автомобильной нагрузки определяются по эквивалентным нагрузкам, а от траншейной — путем загружения линий вантовых сосредоточенными грузами.

Основные расчетные данные для средней гравийной фракции приведены в табл. 21.

Проверка напряжений производится только для четырех сечений ( $I$ ,  $6$ ,  $10$  и  $14$ ); для остальных сечений проверяется лишь необходимое количество элементов и подсчитываются складывающие напряжения.

Отрыв косых стережей произведен по всему склоняющимуся направлению, построенной с учетом кривизненности полосы.

Главные растягивающие напряжения переданы изломом на ломатуру.

Прогиб главной балки от постоянной нагрузки согласно расчету составляет в середине пролета — 7 ми, на конце консоля + 40 ми.

При расположении временной нагрузки в междупоровой части проходит в середине пролета 45 мм, или  $0,001 l$ , что меньше  $\frac{l}{100}$ . Пролет в середине пролета при расположении временной нагрузки на консолях составляет — 49,5 см, или  $\frac{l}{100} l$ , что меньше  $\frac{l}{100}$ ; пролет консольной от временной нагрузки равен + 59,5 см, или  $\frac{l}{100} l$ , что меньше  $\frac{l}{100}$ .

卷之三

Расчет опорных частей производился обычным методом, примененным к бетонным элементам с косвенным вооружением. Давление на стяжевые прокладки не превышает 120 кг/см<sup>2</sup>; напряжение в бетоне равно 142 кг/см<sup>2</sup>. Напряжение в бетоне, опор по обрезу фундамента составляет 7,45 кг/см<sup>2</sup>.

Бетонирование пролетного строения производилось по длине из-за отдаленных секций. Длина секций от 5 до 7 м. Бетон укладывали одновременно в двух смызгах, расположенных симметрично по отношению к середине пролета моста. Между секциями оставлялись промежутки шириной 2,0 м, бетонированные позднее; в последнюю очередь были забетонированы промежутки над опорами. Укладка бетонной прегрузки на концы консолей производилась без уплотнения и была выполнена после раскрепления консолей.

Для бетонирования пролетного строения были сооружены подмости подкосной системы с опорами из парных стоек. Основанием подмостей и междуупорной части служил фундамет шахты, а в пределах консолей — сваи.

Раскрепление производилось с помощью стальных кобелюк; в первую очередь были разоружены одновременно обе консоли, затем, после укладки бетонной прегрузки, сформированы подмости в междуупорной части. Объемы отдельных видов работ, выполненных по Мининскому мосту, приведены выше.

## ГЛАВА II

### РЕЗУЛЬТАТЫ ИСПЫТАНИЯ МОСТА

Испытание моста статической и динамической нагрузкой производилось Мостопропытательной станцией МАДИ НКВД.

При испытании статической нагрузкой определялись: а) напряжение в притуре второй главной балки по середине ее пролета; б) напряжение в бетоне второй главной балки у приверховой (высококонсольной) опоры (по сторонам консолей); в) напряжение в бетоне пяты пролетной части между второй и третьей главными балками по середине их пролета; г) прогибы всех четырех главных балок по середине пролета; д) прогибы приверховых консольей всех четырех главных балок (в расстоянии 1,6 м от конца консоли).

При испытании динамической нагрузкой определялись: а) прогибы конца консоли и середины пролета второй главной балки; б) вертикальные и боковые колебания пролетного строения на концах консолей и в середине пролета.

Статической испытательной нагрузкой служили 24 автомобилей ЗИС; из них 19 весили вместе с грузом по 6,0 т, а остальные — соответственно по 6,0 т. В качестве подвижной нагрузки при динамическом испытании применен трактор ЧТЗ весом 10 т, пропущенный по мосту на первой, второй и третьей скоростях.

Основные результаты испытания статической нагрузкой приведены в табл. 25 и 26.

Как можно усмотреть из табл. 26, действительные физиономии напряжения в конструкции оказались значительно выше расчетных.

Приведенные в табл. 26 значения деформаций показывают, что фактическая жесткость пролетного строения оказалась выше расчетной. Нужно однако заметить, что при расчете принят модуль упругости бетона  $E_b = 210\,000$  кг/см<sup>2</sup>, между тем как для бетона  $E_b = 210$  кг/см<sup>2</sup> (на которого фактически выполнено пролетное строение) следовало бы принять  $E_b = 360\,000$  кг/см<sup>2</sup>. Замеренные при динамическом испытании прогибы консоли достигали следующих величин:

0,0160	при прохождении трактора на первой скорости
0,0187	— " — третий "

### Table 2

Направление напряжения и компонента	Разложение напряжения	Измерение напряжения в стволе	Температура измерения и износ изоляции в стволе	Окончательная измерительная разработка
I	II	III	IV	V
Напряжение в кратности по от- седим пролетам второй пла- нкой базы	При загружении пролета .	21.4	660	0.52
Напряжение в бетоне второй планки базы у промежуто- кой опоры	При загружении консоли .	2.7	7.65	0.518
Напряжение в бетоне планки третьей части между втор- ой и третьей планками базы по отсадим из про- лета	При разложении задних на- грузок в середине длины пла- нки в центре из трех изме- риемых передних между пла- нками базами .	8.1	8.35	—

Боевые колебаний консоль, а также боевых и вертикальных колебаний в системе подъема гибкими не линейными.

Tobacco Tax

Номенклатурный афоризм	Главные баллы			
	первый Второй- третий	второй	третий	четырех- балльный
Протобы в сердце проекта (в мс)				
а) исходный . . . . .   (для случаев загрузки	0,40	0,33	0,30	0,33
б) остаточный . . . . .   в режиме)	0,30	0,20	0,15	0,20
в) зарядный . . . . .	0,30	0,20	0,15	0,20
г) терептический (от изолитической загрузки)	—	22,4	—	—
д) сопоставление заряженного и незаряженного				
протобов (0,40 : 22,4) . . . . .	—	0,02	—	—
Протобы конца консоли (в мс)				
а) изолитический отрицательный (для случаев из- загрузки проекта)	— 0,4	— 0,30	— 0,24	— 0,22
б) исходный положительный . . . . .   (для случаев	0,40	0,30	0,20	0,22
в) остаточный положительный . . . . .   загрузки	0,30	0,20	0,15	0,20
г) зарядный положительный . . . . .   консоли)	0,30	0,20	0,15	0,20
д) терептический (от изолитической загрузки)	—	14,2	—	—
е) сопоставление заряженного и незаряженного				
протобов (0,20 : 14,2) . . . . .	—	0,00	—	—

В заключении следует отметить, что из осуществленных в СССР железобетонных балочных маковых мостов построенный через реку № 9 (Барышевского спрямления Москвы-реки) мост на Элеваторовом шоссе является наибольшим по своему пролету. Постройка этого моста показывает возможность перекрытия, где это необходимо, заложенных проектом железобетонных балочных мостов.

В двух случаях пересечение канала иностранных дорогами осуществляется посредством прокладки трассы этих дорог в туннелях, сооруженных под каналом. Такие туннели построены: 1) на дороге, соединяющей шоссе Москва — Дмитров с Завидовским районом, и 2) на Волоколамском шоссе, в районе Покровского-Глебова.

Выбор туннельного варианта был обусловлен специфическими для каждого из этих пересечений соображениями.

### ГЛАВА I

#### ТУННЕЛЬ ПОД ПЕРВЫМ ВОЛЖСКИМ ШЛЮЗОМ

##### 1. ОБЩЕЕ ОПИСАНИЕ И ОСНОВНЫЕ РАЗМЕРЫ СООРУЖЕНИЯ

Реконструкция Дмитровского шоссе и постройка дороги вдоль канала от Дмитрова до Болги дали возможность установить непосредственную связь приветствующих и Волга районов со столицей СССР.

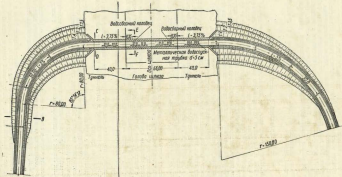
Так как по условиям эксплуатации плотинам на Волге необходимо было устроить по ней проезд, то оказалось целесообразным заодно использовать этот проезд и для общей транспортной связи между обеими берегами реки. Однако левую сторону Волги вместе с расположенным здесь земляной и бетонной плотинами отрезал от правой стороны реки соединяющий обе флеши плотины первый волжский шлюз. Поэтому для использования переходов по плотинам для связи между берегами реки требовалось пересечь эти искусственные мосты или туннели. Как указывалось выше, пересечение это было осуществлено с помощью туннеля.

Характерным для этого решения является то, что при 146-м дамбе туннель лишь из концевых его участков, общая длина которых равна 80 м, потребовалось устройство специального искусственного сооружения (балансировочного скворца), из остальных же протяжении (96 м), а именно в средней части, туннель проходит в массиве галечных щебнях.

Это обстоятельство явилось решением при выборе варианта пересечения, так как создавало большие преимущества туннеля перед мостом.

Как это следует из вышеизложенного, волжский туннель подразделяется на три части: два крайних участка длиной по 40,0 м, представляющих собой волжеобетонные штольни сплошного типа, и среднюю часть, растворованную в погребе щебнях (фиг. 159). Каждая штольня состоит из трех ячеек по 8 м длиной. Ширина туннеля в свету одинакова во всей длине туннеля и равна 8,0 м (прожекция части 6,0 м для тротуара по 1,0 м); полная высота туннеля в свету для крайних участков равна 6,2 м (фиг. 160).

Туннель расположен на склоне. Подходы устроены в выемках на краевых радиусах 80 и 150 м (фиг. 158). Полотно подъездов имеет уклоны



Фиг. 100. План пересечения трассами под эстакадой здания Волжской ГЭС и шлюза.

к туннелю. Для отвода воды из штолен просекой части туннеля применены поворотный узлы в 2% и продольный в 3,75%.

В потерях головы штоли не имеются местные узлы подземных коммуникаций. В штолиных и потерях эти коммуникации устроены закрытыми, под тротуарами. Вся вода, собираемая с выемок подъездов, и вода, фильтрующаяся в пределах штоли и потерии, поступает в специальные устройства (из пределах потерии) водосборные колодцы, откуда вода с помощью стационарной насосной установки удаляется из туннеля.

Ширина лежащего пласта подъездов к туннелю в пределах высоты равна 8,0 м.

### 2. КОНСТРУКЦИЯ, РАСЧЕТЫ И МАТЕРИАЛЫ

Потерии головы являются железобетонными плитами толщиной от 1,46 до 2,07 м, служащими одновременно флагштоками запирательных ворот штоли (фиг. 161). Поверхность потерь головы изрезана подостборными желобами, расположенным на расстоянии 10 см друг от друга и направленными перпендикулярно к оси потеря. Поверх потеря головы имеются гидроизоляция из битумных матов и герметизация из торфозумма и легкого фибролита с защитой тораретом во сетке Рабитка. Кроме этого для достижения максимальной водонепроницаемости бетона произведена цементация потеря, благодаря чему фильтрации через него почти отсутствуют.

Между головой штоли и затыльником, а также между В-затыльниками засыпки самих штоли устроены температурно-осадочные швы.

В верхней части штоли устроены поворотный железобетонный свод, внутренняя и наружная обрамление которого очерчены по окружности различных радиусов. Толщина свода в замке у первых трех штоли, примыкающих к шахте, равна 0,7 м, а у остальных двух — 0,5 м.

Нижняя часть каждой штоли сделана в виде массивной железобетонной плиты, толщина которой в первых трех засыпках равна 2,0 м, а в остальных двух — 1,8 м.

Расчет штоли произведен способом, обычно применяемым для сводов с заделанными вентилями. Для бетона туннеля принята марка  $R_u = 110$  кг/см<sup>2</sup>. Минимальные напряжения в арматуре достигают 1 306 кг/см<sup>2</sup>, в бетоне — примерно 30 кг/см<sup>2</sup>.

Основная арматура свода состоит из стержней  $d = 32$  и  $d = 25$  мм (фиг. 162).

Температурно-осадочные швы перекрыты гидроизоляцией из битумных матов; по наружному и внутреннему периметру швов проложены гидроизолирующие ленты.

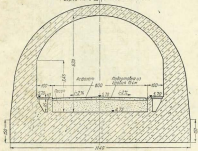
Свод штоли с наружной стороны покрыт битумом и покрыт четырьмя слоями битумных матов. Поверх изоляции уложены сутанники с уплотнением не ниже 102%, а над сутанниками — дреинирующий слой из песка для отвода воды.

Открытые туннели выполнены из железобетона по типу пишущих подземных стеков с расположением в плане под углом 45° к оси туннеля.

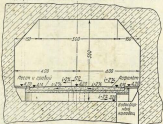
Прорезная часть в самой тунNELи закрыта асфальтом (толщиной 2 см) с основанием из слоя песка толщиной 0,8 м и юстировочного слоя 0,15 м, поверх которого уложена бетонная подготовка толщиной 0,15 м.

В выемках на подъездах проходная часть имеет ширину 6,0 м и состоит из основания и лада гравийного слоя в 0,10 м, по которому уложен пакет из толщиной 0,15 м, и собственной якоря проходной части, образующий слоем гравия толщиной 0,10 м и гидроизолированным покрытием.

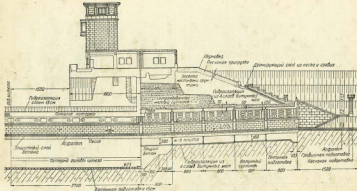
Разрез по С-В (в начале тоннеля)



Разрез по Г-Г  
В пределах тоннельного вестибюля в месте въездного коридора



Фиг. 78. Поперечные разрезы тоннеля.



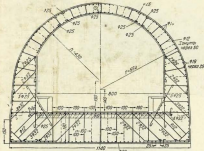
Фиг. 12. Продолжение работы по теме «Города».

тиком толщиной 5 см. Откосы кирпичи в высоте укреплены монолитным из сажи гравием (фиг. 163).

При сооружении туннелей и колодезей в зиму выполнены следующие объемы ручных работ:

1) по основным работам	высокий	87 000 ₽
	ниский	35 000 ₽
2) - фундамент и монолитные работы		1 000 ₽
3) - крепление склонов		1 000 ₽
4) - подземный		29 100 ₽

Общий вид туннеля и внутренний вид его представлены на фиг. 164 и 165.



See also Thompson's pulmonary syndrome.

Page 10

#### **ТУННЕЛЬ НА ВОЛХОВСКОМ шоссе**

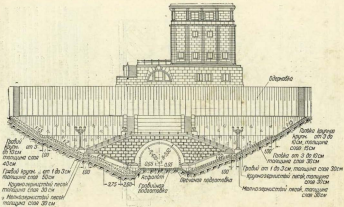
## 1. ОБЩЕЕ ОПИСАНИЕ И ОСНОВНЫЕ РАЗМЕРЫ СООРУЖЕНИЯ

В месте своего пересечения с каналом Москва—Полга Волоколамское шоссе пропущено через туннель под каналом. Решение это явилось наиболее удобным не только для частной задачи пересечения шоссе с каналом, но и с точки зрения общей компоновки всего сложного узла сооружений, расположенных в этом месте.

Туннель построен из отходов шлака, что позволяет спрятать и даже несколько сократить трассу шлака на переустроившем участке. Подходы к туннелю располагаются в небольших выемках, достигающих с московской стороны 4 м, а с волоколамской — 1 м, и имеющих 2%-ные склоны к туннелю, которые смягчаются затем до 1%.

На протяжении 10 м с каждой стороны туннеля, а также и в самом туннеле ширина проездной части пядей продольный уклон в 0,5 %.

<sup>1</sup> Ca. maior parte «Bitter» o «muito menor» «Bitter» correspondente.



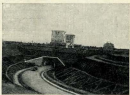
Фиг. 103. Фундамент турьи.

Полная длина туннеля между линзовыми стенками — 150,0 м.

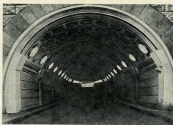
Туннель состоит из восьми продольных звеньев, разделенных сквозными температурно-осадочными швами (фиг. 145).

Длина наиболее нагруженных насыпей (расположенных под дамбами каналы) — 19,0 м, а наименее нагруженных (расположенных под самими каналами) — 21,0 м; продольочные между ними звенья имеют длину 16,0 м; крайние звенья (приымкающие к откосам) имеют разную длину: с московской стороны — 21,0 м, с волоконецкой — 19,0 м.

Откосы насыпи каналы в месте пересечения с туннелем примыкают плавкими с уклоном 1:3 и 1:4. Поэтому ограничивающие туннель откосы имеют вертикальные стены. Откосы массивные из бетона марки  $R_{28} = 90$  кг/см<sup>2</sup>. Для увеличения устойчивости откосов их передней грани на высоту 3,45 м от обрыва фундамента предел треугольный выступ с наклоном 1:2,4. Образ фундамента откосов рас-

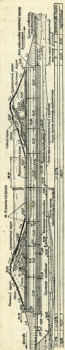


Фиг. 145. Общий вид туннеля фаза канал № 1.



Фиг. 146. Внутренний вид туннеля фаза канал № 1.

положен на уровне салового полотна. Поверху откосов поставлены наризет высотой 0,80 м и толщиной 0,40 м, за которыми устроены горизонтальные наризеты шириной 3,0 м. Задняя грань откосов имеет наклон 1:6. Полная высота откосов — 7,00 м, полная ширина его низа — 4,0 м.



Для обеспечения неприменимости осадки опорных и соседних линий туннеля сняты разделены вертикальными швами. В северной части правого московского открылся на длине 3,0 м вследствие невозможности устройства искусственного почвенного основания забетон 76 деревянных свай на глубину до 4,5 м.

Передняя грани самого туннеля также имеет треугольный выступ и снабжена козырьком, соответствующим параллели ограждения.

Шоссы пересекают как в переходной части от пешехода к нормальному стечению канала; таким образом одна из дамб канала не перекрывает к оси туннеля, что тоже же расположение перекрывает к его оси. Для того чтобы оба опорных и фланцев были симметричными, пологость откосов над всеми выполнена несколько отличающейся от нормальной.

Последние расположенные туннели в будущем в пределах большой Москвы при его сооружении было учтено вероятное усиление городского движения, в частности износостойкость пропуска в будущем троллейбуса.

В соответствии с этим туннель построен двухсекционным флагом, №2), что лучше обеспечивает также и безопасность движения по туннелю. Ширина проезда в каждой секции равна 6,5 м, тротуара — 1,5 м; ширина предохранительной полосы — 0,25 м. Полная ширина каждой секции в свету составляет таким образом 8,25 м. Высота в свету равна 4,75 м.

## 2. ГЕОЛОГИЧЕСКИЕ ДАННЫЕ И УСТРОЙСТВО ОСНОВАНИЯ

При геологических изысканиях в основании туннеля были обнаружены слой тонкой, горизонтальной, известной супеси мощностью от 5 м с московской стороны и до 1—1,5 м со стороны Волоколамска. Ниже этих супесей замечают на глубину от 4 до 2 м разновидности песка, переходящие в предыдущую супесь, подстилающие мощным слоем юрских глин.

Лабораторными исследованиями верхних пластов супесей и испытаниями их под планкой установлены весьма низкие показатели их несущей способности. Поэтому указанные супеси были удалены на основании сооружения и заменены качественным песком, который укладывалась тонкими слоями и утрамбовывалась до 100%-ного уплотнения.

Чтобы избежать большого расстояния между вибраторами осадки тун-

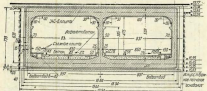
нели и дамб канала, искусственное основание решено было устроить на площади большей, чем та, которая расположена под самим туннелем. С этой же целью котловану, открытому под искусственное основание, приданы небольшие откосы (II:II).

На небольшом участке, где измучены старого шоссе ближко подходит к трассе туннеля (фиг. 16), был начат забетонный котлован. Впоследствии после перевода движения в этой части был открыт с откосами нормальный котлован и устроенное искусственное обрамление.

Поверх искусственного основания уложена бетонная плита толщиной 0,32 м, служащая подготовкой для ряда туннеля. Подушки выполнены из бетона  $R_m = 90$  кг/см<sup>2</sup>.

### 3. КОНСТРУКЦИЯ И РАСЧЕТ ТУННЕЛЯ

В поперечном сечении туннель представляет собой двухролестную асфальтовую винтовую раму (фиг. 167 и 168). Для облегчения производства работ размеры рам во всех звеньях сохранены одинаковыми.



Фиг. 167. Поперечный разрез туннеля

Величина промета рамы в свету — 3,27 м; высота рамы в свету — 3,39 м. Толщина ригеля составляет 1,00 м; толщина крайних стеков туннеля рамы 0,70 м, толщина средней стеки — 0,50 м. В углах рамы имеет пути размером 0,90 × 0,30 м. Падение полотна в туннеле и на подъездах устроено из асфальтобетона толщиной 8 см (два слоя по 4 см); полотно придано поперечный уклон в 2%. Тротуары покрыты листом асфальтом в один слой толщиной 1 см. Бордюрные камни у тротуара в предохранительной полоске сделаны из гравия размером 15 × 28 см.

Расчетная приемлемая нагрузка туннеля принята по схеме № 1.

Расчет отдельных звеньев рам туннеля производился для трех типов нагрузок, соответствующих расположению звеньев относительно сечения канала, а именно: 1) для наиболее нагруженных звеньев № 1, расположенных под дамбами канала; 2) для наименее нагруженных облегченных звеньев № 2, находящихся под дном канала; 3) для промежуточных звеньев № 3, расположенных под откосами канала.

Каждый звено рассчитан при следующих двух допущениях: 1) различие давления земли на изогнутый ригель распределено равномерно и 2) основание предполагается упругим. В каждом случае усилия определялись как с учетом горизонтального давления земли, так и без него; последнее неопределенность самого давления и возможности прикрытия его или во крайней мере значительного затухания после него, как грунт склонится.

Действие временной нагрузки на элементы рамы совершило чисто и согласовано произведенным подсчетам составляет всего лишь

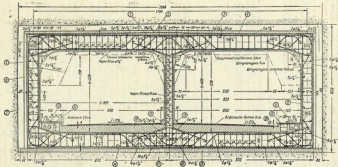


Fig. 102. The right epigastric lymphatic trunk.

Голова на ширину рогов 2-3 см, длина от 8 до 9 см для молодых особей и увеличивающаяся у взрослых до 15 см. Длина тела от головы до конца хвоста 10-12 см, длина от конца хвоста до конца спинного плавника 9-10 см. Голова широкая, с коротким рылом, покрыта мелкими щетинками. Рот косо направлен вправо, симметричен. Глаза расположены на правой стороне головы, на расстоянии, равном 1/2-1/3 длины тела. Глаза расположены на правой стороне головы, на расстоянии, равном 1/2-1/3 длины тела. Глаза расположены на правой стороне головы, на расстоянии, равном 1/2-1/3 длины тела. Глаза расположены на правой стороне головы, на расстоянии, равном 1/2-1/3 длины тела.

0,2% от полного усилия (изгибающего момента), а потому временная нагрузка учитывалась лишь при расчете остатания.

Чтобы создать некоторый запас на всплытие звеньев туннеля, принялось внутри туннеля, на всем его протяжении, уложить слой бетона толщиной 0,40 м, увеличивающейся к средней стенки до 0,45 м.

Подбор сечений рамы произведен по инженерной методике на всех предполагаемых комбинациях загружения. Для упрощения конструирования и облегчения производства работ верхний и нижний ригели, а также вертикальные и диагональные стойки армированы одинаково (фиг. 168). Если исходить из предположения о равномерности разгрученного состояния земли в основании, такой способ армирования почти точно соответствует фактическим действующим усилиям; если же учесть еще и упругость основания, то нижний ригель получает при этом армирование несколько преувеличенный запас прочности.

Для обеспечения прочности конструкции на случай возможных землетрясений принято двойное армирование рам.

В ригеле и в стенах проверено по одиннадцати сечениям: в ригеле — приблизительно через 110 см, а в стенах — через 80 см. Это дало возможность наиболее рационально и правильно расположить стяги.

Рабочая арматура звена привита  $d = 32$  мм ( $1\frac{1}{4}$ "). Распределительная арматура выполнена из спиралей различных диаметров: 32, 16 и 10 мм; хомуты имеют диаметры 10 и 8 см и поставлены в среднем через 40 см.

В табл. 27 приведены расчетные значения моментов  $M$ , поперечных сил  $Q$ , продольных сил  $K$  и изгибающий в радиус (полученные без учета упругости основания). Что касается приведенных в этой же таблице значений давления на грунт, то они получены при учете упругости основания и при коэффициенте постели  $K = 10$ .

Так как звенья туннеля имеют одинаковое сечение рам, но загружены в различной степени, то для достижения по возможности однинакового их армирования приняты две марки бетона: в наиболее загруженных и промежуточных звеньях звено марки бетона  $K_1 = 170$  кг/см<sup>2</sup>; в облегченных — звено  $K_2 = 130$  кг/см<sup>2</sup>. Средний процент армирования рам, если учесть и распределительную арматуру, выражается следующими значениями: для высокого загружения рам — 2,4%; для промежуточных — 2,2%; для облегченных — 1,8%.

Отъемки рассчитаны как подпорные стены, нагруженные проверены по основанию и образу фундамента и по середине высоты стены.

Максимальное напряжение по основанию составляет 2,30 кг/см<sup>2</sup>, соответствующее ему минимальное напряжение равно 0,75 кг/см<sup>2</sup>. Коэффициенты устойчивости приняты следующие: на отрывозрывание  $K_r = 2,44$ ; на сдвиг  $K_s = 1,80$ .

Максимальное напряжение скатки и бетона по образцу фундамента составляет 2,00 кг/см<sup>2</sup>, максимальное напряжение расстояния в бетоне за половины высоты стены равно 0,24 кг/см<sup>2</sup>.

#### 4. ИЗОЛЯЦИЯ ТУННЕЛЯ, ОТВОД ВОДЫ, ОСВЕЩЕНИЕ И ВЕНТИЛЯЦИЯ

Изоляция туннелей временного типа, что и в туннелях первой очереди московского метрополитена, т. е. четыре слоя руберонда по klebeisasse общей толщиной около 2 см.

Изоляции по обеим туннелям уложены непосредственно на фундаментную подушку и состоят из четырех слоев руберонда по klebeisasse. В местах перекрытий износ, на протяжении 2 м в каждую сторону, изоляции выполнена из двух слоев руберонда по klebeisasse в двух слоях мешковины, проваренной также в klebeisasse (фиг. 169). Поверх изоляции уложен компенсатор из двух взаимно симметрических листов, обернутых во избежание повреждения изоляции в межшовном и приваренных к обеим пропильникам по

where present, the results of our researches in this field may be summarized as follows:

1. In general, the results of our researches in this field may be summarized as follows:

2. In general, the results of our researches in this field may be summarized as follows:

3. In general, the results of our researches in this field may be summarized as follows:

4. In general, the results of our researches in this field may be summarized as follows:

5. In general, the results of our researches in this field may be summarized as follows:

6. In general, the results of our researches in this field may be summarized as follows:

7. In general, the results of our researches in this field may be summarized as follows:

8. In general, the results of our researches in this field may be summarized as follows:

9. In general, the results of our researches in this field may be summarized as follows:

10. In general, the results of our researches in this field may be summarized as follows:

11. In general, the results of our researches in this field may be summarized as follows:

12. In general, the results of our researches in this field may be summarized as follows:

13. In general, the results of our researches in this field may be summarized as follows:

14. In general, the results of our researches in this field may be summarized as follows:

15. In general, the results of our researches in this field may be summarized as follows:

16. In general, the results of our researches in this field may be summarized as follows:

17. In general, the results of our researches in this field may be summarized as follows:

18. In general, the results of our researches in this field may be summarized as follows:

19. In general, the results of our researches in this field may be summarized as follows:

20. In general, the results of our researches in this field may be summarized as follows:

21. In general, the results of our researches in this field may be summarized as follows:

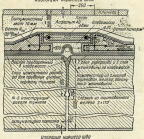
22. In general, the results of our researches in this field may be summarized as follows:

23. In general, the results of our researches in this field may be summarized as follows:

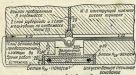
шану земляной туннель. Шань защищается сверху обивкой, пропитанной в клембенсе. Между конвектором и изоляционным слоем уложен ватин из рубероида, который наполнен kleбенесом. Изоляция пола покрыта защитным слоем из цементного раствора толщиной 5 см.

Нижний потолок туннеля устроен следующим образом: рубероид и четыре слоя из клембенса покрыт предохранительным 10-см слоем бетона, пропитанным двойной пропиленовой сеткой. Выше предохранительного слоя уложен бетонный лист толщиной 1 см, а над ним 4-см слой асфальта; над асфальтом устроена песчаная засыпка, и поверх нее произведено укрепление для каната. Чтобы предотвратить фильтрацию, изолированный слой из битуминозного шата проделан за пределы туннеля, где он укладывается на тобоге заслонкодательное перекрытие, примыкающее с боков к железобетонному предохранительному блоку. В месте примыкания гибкого перекрытия устроены битуминозные панели  $10 \times 10$  см. За пределами средних дифрагм предохранительный заслонеб-

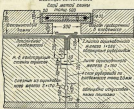
### Схемы бокового шта



### Схема подвала шта



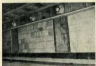
### Схемы бокового шта



Фиг. 55. Нижние коридоры, нижний и боковой шта.

тонкий слой над туннелем покрыт глинистой засыпкой, а слоем глины толщиной 30 см.

Наклонная потолка туннеля уложена из цементной смеси, достигающей на оси туннеля толщины 8 см и сплавляющейся к боковым виагам. Наклонная состоит из двух слоев руберона по клеевому и двух слоев асфальтума, пропаренной и клееной. В цикле имеется металлический компенсатор с растягивающим над ним наливом из руберона. Все пространство над виагами, образованное с помощью наливов, заполняется клеевым массой и сверху прикрывается съемной железобетонной плитой.



Фиг. 170. Внутренний вид туннеля на Балководском шоссе.

ригеля и боковых стен устраивались для отвода матущей просачивавшейся воды специальные канавки из оцинкованного железа, изогнутого в виде листа. Из специальных вод отводятся специальными трубами в подземные каналы, расположенные под тротуарами. Наклонные боковые стены туннеля приведены бетонированными замками толщиной 26 и 15 см, а у самих щитов — съемными железобетонными плитами. Шахты между откосами потолка и боковыми плитами забиты гравием. После наполнения канал в туннеле включена фильтрация, которая прекратилась после устранения дефектов в изоляции, вызванных, повидимому, большим, чем предполагалось по проекции, осадкам.



Фиг. 171. Общий вид туннеля на Балководском шоссе.

Так воду поступает в специальные каналы шириной 0,60 м, расположенные под обеими тротуарами туннеля. По выходе из каналов туннели воду ковшами направляется в новое русло р. Химки.

С ездового полотна внутри туннеля вода (благодаря наличию в полотне поперечного уклонов) стекает в водоотводные каналы через воронки, которые связены решетками и размещены в ящиках, установленных вдоль тротуаров во всех засыпных туннелях. Для облегчения осмотра и очистки по очистке водоотводных каналов железобетонные тротуарные плиты над этими каналами устроены съемными; ширина плиты — 60 см, толщина их — 8 см.

Водоотводные каналы изолированы двумя слоями руберона по клеевому, поверх изоляции устроена цементная смесь.

Овещение внутри туннеля осуществляется с помощью круглых

кломинаторов, расположенных на стенах под потолком, по обеим сторонам каждого проема туннеля.

Для излучения яркого, но рассеянного света клемминаторы снабжены слегка выпуклыми молочными стеклами (фиг. 170).

Вследствие прямолинейности и сравнительной небольшой протяженности туннеля оборудование его искусственной вентиляцией не представлялось необходимым, и в процессе сооружения туннеля решено было ее не устраивать. Эвакуация туннеля полностью подтвердила правильность такого решения.

Пропуск в туннеле городского подземного хозяйства осуществляется под обеими тротуарами, для чего рядом с водосточными канальями устроено по одному специальному каналу, перекрытому сверху железобетонными съемными плитами толщиной 8 см (фиг. 167). В каждом канале — 2 трубы.

Общий вид готового сооружения показан на фиг. 171.

Все работы по сооружению туннеля произведены в течение 15 месяцев. Объем основных работ приведен в табл. 28.

Таблица 28

Наименование работ	По туннелю	По пило-	Всего
Выкопка . . . . .	50,8 тыс. м <sup>3</sup>	45,25 тыс. м <sup>3</sup>	96,15 тыс. м <sup>3</sup>
Несение . . . . .	11,35 . . .	8,85 . . .	10,15 . . .
Бетон и железобетон . . . . .	15,80 . . .	10,80 . . .	12,84 . . .
Краска каналы . . . . .	—	1,50 тыс. м <sup>2</sup>	1,50 тыс. м <sup>2</sup>
Краска снарядной . . . . .	—	0,45 . . .	0,45 . . .
Прочая часть . . . . .	—	12,12 . . .	12,12 . . .

### 8. НАБЛЮДЕНИЯ ЗА СООРУЖЕНИЕМ

Ввиду того что осадки туннеля имеют существенное значение в точках зоны сохранности гидроизоляции, с 30 июня 1936 г. были организованы тщательные наблюдения за этими осадками.

Абсолютные величины осадок и изменения их с течением времени представлены на графике фиг. 172 и в табл. 29.

На табл. 29 и графике на фиг. 172 следует, что осадки туннеля во время происходящего неравномерно.

После окончания встройки туннеля и отсыпки дамб, к весне 1937 г., устанавливая некоторые среднюю интенсивность осадки, различная для разных зон.

В процессе наполнения канала вследствие усиления нагрузки интенсивность увеличивалась интенсивность осадок, причем повышение интенсивность продолжалось в среднем около месяца. Средние осадки туннеля за это время составляли 21,4 мм в месяц.

В последующий период осадки стала замедляться, так, за 6 месяцев, с мая по октябрь 1937 г., средняя интенсивность осадок составила уже только 5,45 мм в месяц.

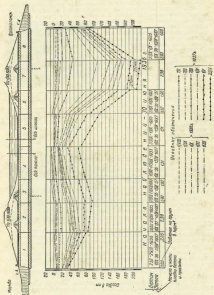
По длине туннеля осадки также изменяются неравномерно, а именно:

а) в земляных, расположенных под насыпными дамбами и несущих поэтому более тяжелую нагрузку, осадки в общем больше, чем в земляных средней части туннеля;

б) в земляных московской половины туннеля осадки относительно меньше, чем в земляных волоколамской половины, исмотря на то, что под московской стороны насыпной сажи песчаного грунта (правда, уплотненный) более чем в 2 раза толще соответствующего сажи волоколамской стороны. Это, по-видимому, следует объяснить тем, что

волоколамские породы в отложениях расположены в пределах побережья р. Химки.

Абсолютная осадка на 25 октября 1937 г. залка № 7 (под волоколамской стороны) составляет 250—274 мм, в залке № 2 (под московской стороной) — 109—149 мм.



дамской стороной) составляет 250—274 мм, в залке № 2 (под московской стороной) — 109—149 мм.

Осадка каждого залка в поперечном направлении тоже неравномерна, причем со стороны плюсона осадки больше.

Таблица 29

Номера лестничных туннелей	№ пункта	Осадка в м					
		Причины осадки		Состав осадки		Состав осадки	
		Грунты	Материалы	Грунты	Материалы	Грунты	Материалы
1	2	3	4	5	6	7	8
Завод № 1	1	10-12	10-12	1-2	1-2	50	50
Завод № 2	2	15-18	15-18	10-12	10-12	100	100
Завод № 3	3	20-22	20-22	10-12	10-12	100	100
Завод № 4	4	20-22	20-22	10-12	10-12	100	100
Завод № 5	5	20-22	20-22	10-12	10-12	100	100
Завод № 6	6	20-22	20-22	10-12	10-12	100	100
Завод № 7	7	20-22	20-22	10-12	10-12	100	100
Завод № 8	8	—	—	10-12	10-12	100	100

Примечание. Пунктами даны длины в направлении от московской к калужской стороны.

Максимальное относительное смещение двух звездышек наблюдалось между звездышками № 6 и 7 и составило от 14 до 23 мм, что близко к величине (около 20 мм), которая была опровергнута при изысканиях конструкции и типа гидроизоляции.

Последствия деформации основания происходили также раскрытие и сжатие звездышек. Максимальное раскрытие пива лестника № 6 мм, что однако не привело к каким-либо повреждениям.

Различие о замене слабых сущностей в основании туннеля качественными висками себя оправдало, так как получившиеся осадки сооружения не превышают допустимых пределов.

## V. ЗНАЧЕНИЕ СТРОИТЕЛЬСТВА КАНАЛА МОСКВА— ВОЛГА В ПРОЕКТИРОВАНИИ И СООРУЖЕНИИ БОЛЬШИХ МОСТОВ

Строительством канала была выполнена большая работа по сооружению мостов. Особое значение этой работы заключается в постройке крупнейших железобетонных мостов.

Применение железобетона в пролетных строениях мостов открывает широкие возможности и в экономическом и в техническом отношении. Поскольку потребность страны в металле растет чрезвычайно быстро, естественно могут встречаться затруднения в том, чтобы полностью удовлетворить большой спрос в металле со стороны мостостроения, если такое ограничивается в основном на применение металлических конструкций. Развитие применения железобетона в строительстве мостов приведет к существенной экономии профилированного металла и к некоторой разгрузке металлургических заводов. Кроме этого более широкое применение железобетона в мостостроении дастся также специфическими качествами железобетона как строительного материала, в частности его долговечностью, эксплуатационными преимуществами и быстрой укладкой в дело, сокращающей срок строительства.

Понятно интересы страны настоятельно требуют всевозможного широкого внедрения в основание железобетона при строительстве мостов и в частности крупнопролетных. Однако лета за границей в строительстве железобетонных мостов за последние тридцать лет добились значительных успехов и построены целый ряд крупнейших мостов (в том числе во Франции Эмпорский мост с тремя пролетами по 160 м каждым, в Швеции Стокгольмский мост с пролетом 186 м и в Испании мост у Вале с пролетом 200 м), у нас, до постройки мостов через канал, достигнуты в этой области были крайне слабыми<sup>1</sup>. Такое положение объясняется главным образом теми возражениями против широкого использования железобетона для железнодорожных мостов, которые были выдвинуты со стороны довольно большой группы инженеров.

Эти возражения, предпринятые путем и стремлением к пересуживанию, пришлось преодолеть таким Строительству канала при проектировании и сооружении отдельных выше больших железобетонных железнодорожных мостов.

Наиболее крупные железобетонные мосты из числа построенных на канале во времена постройки расположаются в следующем порядке:

1. Химкинский мост (фиг. 173) — беспартерный арочный, пролетом 116 м, под четыре железнодорожные пути (нагрузка  $H_0$ ); время постройки: 20 ноября 1934 г. — 4 ноября 1935 г.

<sup>1</sup> Известны также Волынский мост через р. Неву в Ленинграде; пролетом это мосто в 1932 г., а строительство окончено в 1935 г. Этот мост железнодорожный и покрыт чугунно-коррозионностойким Антибаке никелем проф. Г. Н. Шерстобитова.

2. Мост через канал № 8 (фиг. 174) — трехшарнирный арочный, пролетом 120 м, под два железнодорожных пути (нагрузка  $R_1$ ); время постройки: апрель 1935 г.—август 1936 г.

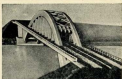
3. Хорешевский мост (фиг. 175) — гибкая арка с балкой жесткости, пролетом 100,8 м, городской мост (нагрузка: для трамвайных путей плюс четыре ряда автомобилей); время постройки: ноябрь 1936 г.—июль 1937 г.

До сооружения канала Москва—Волга самым большим в СССР по пролетам железобетонным сборукационном под железнодорожную нагрузку выглядел:

1. Подходные аркады к мостам через Днепр у Днепроветровска, через Волгу у г. Горького и через Оку у Калуги; эти аркады характеризуются примерно одинаковыми пролетами (пролет 52,0 м и стрела 13,0 м).

2. Выстроенный в одно время с перечисленными аркадами (1933 г.) двухпролетный мост из Шериковской линии Октоберской ж. д. (пролеты в свету по 47,20 м, стрела 6,83 м).

Таким образом первый по времени постройки железобетонный мост через канал (Химкинский) превзошел по пролету постройки до



Фиг. 175. Хорешевский мост (фигура).



Фиг. 174. Мост через канал № 8.

этого у нас железнодорожные мосты более чем в два раза. Это обстоятельство, равно как и оригинальность предложенной схемы и изобретение Химкинского моста (применение широких у нас пустотелых арок, выше крайних железнодорожных путей на ванзели, неглубокое наложение опор бесшарнирной арки большого пролета на песчаном грунте), должны были принести в себе пристальное внимание.

Проекты строящихся на канале железнодорожных мостов должны были получить утверждение в НКПС. В связи с отменением выше изложенных процесс рассмотрения этих проектов был чрезвычайно медленным и трудным. Только вследствие решительной настойчивости

Строительства канала проект Химкинского моста получил в конце концов соответствующую техническую санацию.

Особенно сильные возражения встречало устройство оснований опор Химкинского моста.

При рассмотрении проекта в соответствующих отысках-заключениях категорически отрицались возможность сооружения большого бесшарнирного моста на свайном основании, запометив в слабых песчаных грунтах, в было предложено отказаться от этой системы моста и построить балочный мост с металлическими пролетными строениями. Такие предложения весьма настойчиво и авторитетно поддерживались различными экспертизами даже в то время, когда постройка



Фиг. 112. Хорошевский мост (фото).

моста являлась главным ходом, для арочного же решения выдвигалось обязательное требование перехода на трехшарнирную систему.

Но эти категорические суждения о недопустимости сооружения бесшарнирного арочного моста на грунте обычного у нас типа не были подтверждены подлинной инженерной оценкой фактического материала, а основывались лишь на предъявленных в ясных представлениях<sup>1</sup>.

Называется показательным, что когда Строительство канала решено возвести на аналогичном грунте пологий арочный мост через канал № 8, применяя из этого раз трехшарнирную систему, то почти тот же круг лиц, требовавших перехода на трехшарнирную систему при сооружении Химкинского моста, выдвинул положение о малой пригодности трехшарнирной арки для железнодорожной нагрузки вследствие неизбежности деформационного перелома пути над средним пролетом.

Опыт проектирования и постройки наших мостов на канале, все произведенные расчеты, данные наблюдений при переводе мостов в рабочее состояние после испытания их нагрузкой, начиная последующим эксплуатацией мостов — все это свидетельствует о правильности выбора систем тип мостов.

Несомненность сооружения больших железнодорожных мостов обусловливается допуском значительных изгибений в бетоне. Расчетами

<sup>1</sup> Решительную помощь в борьбе с рутинерами оказали строители мостов из канала профессора Г. П. Пересыпки, В. А. Гастса, И. Я. Белина.

сжимающие напряжения для бетона в арках при действии основных сил достигали следующих величин (в скобках дается напряжение от совместного действия основных и дополнительных сил):

во Хманикском мосту . . . . . 184,5 (134,6) кг/см<sup>2</sup>  
— выше тары шарнира № 8 . . . . . 86,5 (68,2) .

Для всех обеих железнодорожных мостов в проектах предусматривалась марка бетона  $R_{cu} = 250$  кг/см<sup>2</sup>, что давало по отношению к базе высотам напряжениям Хманикского моста запас, примерно равный 2,5 (2,6). По мнению некоторых работников НИИМС этот запас был мал и по их требованию марки бетона были повышенны для моста через реку № 8 до  $R_{cu} = 300$  кг/см<sup>2</sup> и для Хманикского моста до  $R_{cu} = 350$  кг/см<sup>2</sup>, что давало запас приблизительно 3,5 (2,7). Полученные таким образом при коэффициенте бетона ( $\alpha_f = 16$  си), соответствующей характеру конструкции, требовало расхода высококачественного цемента в размере свыше 400 кг/м<sup>3</sup>.

Несмотря тем в блоках большого объема или при бетонировании пустотных конструкций с перерывами (например при бетонировании коробчатых арок колышами), при постоянных перерывах в укладке бетона коробчатых пластинах спир и т. п.) большой расход цемента влечет за собой значительное развитие термических и усадочных напряжений. В некоторых случаях (например в больших блоках) эти напряжения могут достигать свою значительные величины, что даже установка весьма юного армирования (например расположение у поверхности блока большого количества перекрестных стержней круглого диаметра) является недостаточной для того, чтобы полностью предупредить появление трещин.

Вместе с тем простое возведение марки бетона, без одновременного применения специальных видов арматуры, мало увеличивает реальный запас прочности.

Именно по этим соображениям в проекте Хоровицкого моста, для арок которого допущены весьма высокие сжимающие напряжения — 222 кг/см<sup>2</sup>, былоказано юное армирование арок открытой арматурой, но марка бетона оставлена та же, что и для арок Хманикского моста, где допускаемые напряжения былидвое меньшие.

Косвенное применение сжатых элементов практиковалось и ранее, например в торцевых частях железобетонных мостов и колоннах, но в основных элементах мостов не находило до сего времени широкого практического применения. В частности в мостостроении для элементов, испытывающих большое сжатие, применялось армирование спиралью или металлическими трубками, заполненными бетоном. Эти приемы сложны и неудобны для производства работ. Отметим приведение арок поверченными стаканами свидетельствует о полной недостаточности этой арматуры, чрезвычайной простоте ее монтажа, а также о создаваемых ее применением удобствах бетонирования.

Таким образом вопрос о требованиях, предъявляемых к маркам бетона, в особенности же к бетону железнодорожных мостов, должен быть пересмотрен и поставлен в связи с применением способами армирования.

Не менее важным является вопрос о допускаемых напряжениях на растяжение бетона. От решения этого вопроса зависит возможность широкого внедрения железобетонных балочных пролетных строений, а также и таких конструкций, как арки с затяжками.

Пролетные строения в виде арок с затяжками могут в соответствующих случаях применяться как типовые решения для шоссейных и автомобильных мостов даже при пролетах порядка 150 м.

\* Напряжение в арках выражено на бетонному сечению, без учета арматуры.

В таб. 30 приведены случаи из практики магистрального мостостроения, в которых было допущено высокое напряжение на растяжение.

Таблица 30

Наименование моста и его мостостроительной системы	Система	Растянутые элементы	Приемы изготовления	Напряжение на растяже- ние в кг/см <sup>2</sup>
Железнодорожный мост через канал Ура в Перми	Раковский	Нижний ярус	Бетон	14,3 37
Мост через р. Немь у г. Бадендорф-Ним	Комбинированная	Верхний ярус колонн	Бетон	7,7 62
Мост из узлов Лиффинга в Перми	Розбентский	Раковы	Бетон	17,3 78
Железнодорожный мост Кур-Рука в Алма-Ате	Разрезные балки	Нижний ярус	Бетон	15,5 66
Островной мост у Портовика	Арочный	Подвески	Бетон	8,4 42
Мост Ром-Гоби через р. Сону	-	-	-	9,5 59

Данные табл. 30 характеризуют передовую технику железнодорожного мостостроения последних лет. Между тем существующие нормы НКПС для железнодорожных мостов ограничивают допускаемое напряжение на растяжение бетона величиной всего 20 кг/см<sup>2</sup>. Это ограничение не нужно и нредно. Не нужно оно потому, что правильно спроектированные железобетонные элементы могут без ущерба выдерживать значительно большие напряжения. Бредью же это является по той причине, что при проектировании более сложных и разнобъемных новых конструкций создаются чрезвычайные трудности.

Принцип правильного конструирования сильно растянутых элементов в способах простейшего входа этих элементов в работу были найдены в практике мостостроения не сразу. В частности можно отметить случаи, когда арматура сильно растягиваемых элементов до бетонирования подвергалась предварительному растяжению с тем, чтобы конечные напряжения бетона на растяжение были меньшими. Этот прием при арматуре из обычной стали (Ст. 20) не может дать желаемого результата, так как предварительное сжатие бетона получается в этом случае меньшим, чем его усадочное укорочение. Поэтому бетонирование предварительно сроения Хоролевского моста, в котором растягивающие напряжения достигают 81 кг/см<sup>2</sup>, производилось без применения никаких-либо приемов, вызывающих предварительное напряжение арматуры<sup>1</sup>.

Правильное конструирование растянутых элементов заключается не в увеличении их бетонных сечений с целью уменьшения расчетных напряжений растяжения по сечению бетона, а в достаточно воодушевленном этик элементов рационально распределенной по сечению арматурой.

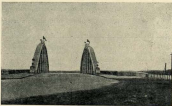
Армирование затяжек Хоролевского моста составляет 11%; кроме того в них применены специальные висые перекрестные хомуты, дополнительные обжимывающие связи бетона с арматурой при растяжении. Опыт сооружения Хоролевского моста наглядно подтверждает, что

<sup>1</sup> Значение 81 кг/см<sup>2</sup> получается при учете веса начинаящего момента (приложение выше значение 60 кг/см<sup>2</sup> получается при учете только веса кончашего момента).

железобетонные элементы могут надежно выполнять инженерную работу как на основе растяжения, так и на совместное действие растяжения и изгиба.

Возможность сооружения железобетонных мостов больших пролетов в значительной степени зависит от того, как удается решить задачу максимального облегчения песс конструкций пролетных строений в опорах.

Одним из способов решения этой задачи в построенных через канал виадуках является применение только двух основных, несущих элементов в пролетном строении. Пролетное строение моста через канал № 8 (одна поверху, два железнодорожных пути) имеет по одному несущему ребру на каждый железнодорожный путь. Пролетное строение



Фиг. 176. Хоровицкий мост (вид со стороны виадука).

Химкинского моста (одна посередине, четыре железнодорожных пути) имеет по одной арке за каждые две железнодорожных пути. Пролетное строение Хоровицкого моста (один виадук, городской мост шириной между параллами 29,50 м) поддерживается всего двумя гибкими фермами в виде арок с затяжками (фиг. 176). Такая концентрация усилий и материала дает возможность значительно уменьшить вес пролетных строений. Что касается опор, то здесь требование уменьшения излишества кладки должно быть увязано с необходимостью обеспечения наивысшей устойчивости опоры.

Примерами рационального конструирования опор распорных мостов могут служить мост через канал № 8 и Химкинский мост. Опоры этих мостов выполнены в виде распластинчатых массивов, воспринимающих непосредственное давление арок; массивы имеют легкие коробчатые железобетонные настилстройки, воспринимающие полностью встречное распору арок давление земли. Несмотря на значительность пролетов, опоры характеризуются сравнительно небольшим объемом кладки и весьма умеренным давлением на грунт.

Применение бетона высокого сопротивления также существенно уменьшило вес конструкции.

При сооружении мостов через канал были практически основны высокие марки литьего бетона, до того почти не применявшиеся у нас. Опыт этого состояния свидетельствует в частности о том, что со стороны цементной промышленности не встречалось затруднений в поставке в достаточном количестве высококачественных цементов, необходимых для возведения крупных железобетонных мостов.

Правительственная комиссия по приемке канала Москва—Волга в своем заключении по железнодорожным сооружениям особо отмечала высокое качество работ и инициативу Строительства канала в деле постройки выдающихся железобетонных временных мостов новейшего типа, к числу которых относятся мост через канал № 8 и Химкинский мост.

В заключении по магистральным шоссейным дорогам правительственной комиссии отмечена инициатива в деле сооружения большого количества железобетонных мостов, в частности признана заслуживающей особого внимания постройка прочного моста большого пролета через Хоролевское спрямление Москвы-реки, с отличным выполнением работ по пролетному строению.

Широко развернутое и успешное строительство больших железобетонных мостов через канал наряду с сооружением Балакарского моста через Неву создало реальную основу для дальнейшего развития инициативы в этом деле.

В табл. 31 приведены крупные мосты, построенные в течение последних четырех лет.

Таблица 31

М о с т	Когда построен	Проектно в м
Химкинский мост — четыре железнодорожных пути	Ноябрь 1935 г.	115
Мост через канал № 8 — два железнодорожных пути	Август 1936 г.	120
Мост из Балакарского через Неву в Ленинград — городской мост	Ноябрь 1936 г.	9 X 101
Хоролевский мост через спрямление Москвы-реки — городской мост	Ноябрь 1937 г.	23,75 + 101,80 + 23,75
Московорожий мост через Москву-реку — городской мост	Ноябрь 1937 г.	92
Пограничный мост через Москву-реку — два железнодорожных пути с пятью пролетами шоссейных путей	Ноябрь 1938 г.	52,80 + 119,90 + 52,80

В настоящий момент строительство железобетонных мостов получило у нас широкое применение и не уступает лучшим образцам мирового маestroстроения, а в некоторых отновлениях даже превосходит их. Опыт проектирования и сооружения мостов на канале Москва—Волга широко используется. Перспективы дальнейшего усиленного строительства железобетонных мостов в СССР весьма велики.

В частности застывают быть отмеченными железобетонные мосты, сооруженные в историческое время Великого НКВД в связи с реконструкцией Верхней Волги. На этих мостах наиболее интересны являются городской мост в Рыбинске с пролетами 101 + 111 + 121 + 225 м, перекрытыми распорно-прочной системой, и железнодорожный мост через Волгу с четырьмя пролетами по 127 м, перекрытыми пролетными строениями в виде арок с затяжками.





